

VYSOKÁ ŠKOLA STROJNÍ A TEXTILNÍ V LIBERCI

<b>PŘEDMLUVA</b>	<b>nositelka Řádu práce</b>
Seznam oznámení nejdůležitějších proměnných a konstant	
<b>1. ÚVOD</b>	<b>Fakulta strojní</b>
1.1. Přehled o současné vývoji teorie hadic a hadicového vedení	9
1.2. Cíl disertace	10
1.3. Zvolené metody pro spracování	11
<b>2. KAPALINY POUŽÍVANÉ V HADICOVÝCH MECHANISMech</b>	13
2.1. Stavová rovnice kapaliny	13
2.2. Objemový modul pružnosti kapaliny	15
2.3. Dynamický proces deformace průcovní kapaliny	18
2.4. Vliv tlaku a termického modulu pružnosti kapaliny	21
ng. Dao Quang Nghiem	25
2.5. Konstrukce hadice	25
<b>ÁKLAZNÍ VLASTNOSTI HADICOVÉHO VEDENÍ A JEJICH VLIV NA</b>	31
3.1.1. Chování hydraulických mechanismů	32
3.1.2. Deformace steny hadice	33
3.1.3. Celková deformační energie	39
3.2.4. Závěr Kandidátská disertační práce	41
3.2.5. Neutrální úhel spletu	42
<b>4. ODPORY VŠ VEDENÍ</b>	45
4.1. Odpor proti pohybu kapaliny R	45
4.2. Odpor proti zrychlení H	50
4.3. Odpor proti deformaci D	50
čední obor: 23-03-9 Stavba výrobních strojů a zařízení	51
4.4. Tlak deformace na odpoře u hadice	51
4.5. Odpor ve vedení	54
<b>5. SOUHRNNÝ MODUL PRUŽNOSTI HADICE ALOKA ŠKODA</b>	57
5.1. Souhrnný modul pružnosti hadice vedení	57
5.2. Souhrnný modul pružnosti hadice vedení	62
5.3. Zajištění souhrnného modulu pružnosti	62
<b>6. OBJEMOVÁ MĚRA HADICOVÉHO VEDENÍ</b>	64
6.1. Výpočetním zjištění objemových měr hadice a srovnání s taklého množství kapaliny	64
z hadice	64
6.1.1. Princip měření H	65
6.1.2. Vlastnosti měření	67
6.1.3. Spracování měření	67

O B S A H	Uvádění objemových změn náhradou závislosti	
PŘEDMLUVA	$\Delta V_c = f(\Delta p)$ , exponenciální závislostí	4
Seznam označení nejdůležitějších proměnných a konstant		5
1. ÚVOD intervalu přetlaku		8
1.1. Přehled o současném stavu problematiky, která je předmětem disertace		9
1.2. Cíl disertace	Jedových změn hadice proměření	10
1.3. Zvolené metody zpracování hadice		11
2. KAPALINY POUŽÍVANÉ V HYDRAULICKÝCH MECHANISMech		13
2.1. Stavová rovnice kapaliny	Bloční zařízení	13
2.2. Objemový modul pružnosti kapaliny	hadice	15
2.3. Dynamický proces deformace pracovní kapaliny		18
2.4. Měření izotermického modulu pružnosti kapaliny		21
3. HADICOVÉ VEDENÍ	Jedových změn hadice	25
3.1. Konstrukce hadice		25
3.2. Deformace hadicového vedení		31
3.2.1. Celková deformace hadicového vedení		32
3.2.2. Deformace stěny hadicového vedení	Jedových	33
3.2.3. Celková deformační energie		39
3.2.4. Závislost změny úhlu $\beta$ na působícím tlaku		41
3.2.5. Neutrální úhel opletu	hadicového vedení hydraulického	42
4. ODPORY VE VEDENÍ		45
4.1. Odpor proti pohybu kapaliny R		45
4.2. Odpor proti zrychlení H		50
4.3. Odpor proti deformaci D		50
4.4. Vliv deformace na odpory u hadice		51
4.5. Odpory ve vedení		54
5. SOUHRNNÝ MODUL PRUŽNOSTI VEDENÍ		57
5.1. Souhrnný modul pružnosti ocelového vedení		57
5.2. Souhrnný modul pružnosti hadicového vedení		62
5.3. Zjištění souhrnného modulu pružnosti		62
6. OBJEMOVÁ ZMĚNA HADICOVÉHO VEDENÍ		64
6.1. Experimentální zjišťování objemových změn hadice měřením vyteklého množství kapaliny z hadice		64
6.1.1. Princip měření		65
6.1.2. Vlastní měření		67
6.1.3. Zpracování naměřených výsledků a zhodnocení		69

## PŘEDMLIVA

6.1.4. Vyjádření objemových změn náhradou závislosti doplňkem $\Delta V_S = f(\Delta p)$ exponenciální závislostí	74
6.1.5. Linearizace závislosti $\Delta V_S = f(\Delta p)$ v určitém intervalu přetlaků	77
6.2. Vyšetřování závislosti $\Delta V_S$ na geometrických parametrech hadice	82
6.3. Zjištování objemových změn hadice proměřením geometrických parametrů hadice	88
6.3.1. Snímání změny vnějšího průměru a délky hadice - uspořádání měřicího zařízení	89
6.3.2. Výpočet změny geometrického objemu hadice	90
6.3.3. Zpracování naměřených hodnot	92
6.4. Zjištování objemových změn hadice souvislým měřením	96
6.4.1. Vlastní měření	98
6.4.2. Zpracování výsledků a zhodnocení	99
6.5. Rozbor chyb metodiky vyšetřování objemových změn hadicového vedení	104
7. VLIV HADICE NA CHOVÁNÍ HYDRAULICKÉHO MECHANISMU	109
7.1. Rovnice popisující chování hydraulického mechanismu	110
7.2. Určení přenosů	114
7.3. Popis programu PŘENOS 1 poděkovat Doc. Ing. Vojtěch	119
7.4. Rozbor vlivu hadice na chování mechanismu	121
8. ZÁVĚR	132
Seznam příloh	136
Seznam použité literatury	137

Liberec, květen 1983

doc. Ing. Vojtěch Švec, Ph.D., Mgr. Duong Quang Nghiem

## PŘEDMLUVA

Hydraulický mechanismus je systém pro přenos energie doplněný transformačním blokem k ovládání parametrů přenášené energie, ve kterém je použito kapaliny jako nositele energie. Systém pro přenos energie je charakterizován tím, že ve stupním členu / převodníku / a ve výstupním členu / převodníku / se skutečně přestup energie nejméně mezi dvěma různými druhy jejího nositele. Vstupní a výstupní členy jsou spojeny přenosovým kanálem. Transformační blok je soubor sérioparalelně zapojených odporů proti přenosu energie uspořádaných tak, aby zajistil požadované změny parametrů přenášené energie. Podle hlavní formy energie přenášené přenosovým kanálem rozlišujeme potenciální a kinetické hydraulické mechanismy (v této práci se omezíme na potenciální tlakové - hydrostatické mechanismy).

U hydraulických mechanismů se v poměrně mnoha případech používá hadicové vedení k spojení členů mechanismu. Charakteristické vlastnosti hadice - zejména kapacitní - jsou značně jiné než vlastnosti trubky a mají značný vliv na chování celého hydraulického mechanismu.

Předložená práce je věnována problematice vyšetřování základních vlastností hadicového vedení a jejich vlivu na chování hydraulického mechanismu. Práce je změřena teoreticky, přičemž mnohé předpoklady i závěry jsou ověřeny experimentálně.

Na tomto místě bych chtěl poděkovat Doc. Ing. Vojtěchu Drábovi, CSc. a Ing. Josefu Cerhovi, CSc. za podporu a povzbuzení v práci, za velmi cenný přístup, s kterým mi pomáhali osvojovat si vědecké a technické poznatky vztahující na téma práce. Stejně tak patří můj dík vedoucímu katedry obrábění a montáže Doc. Ing. Jaromíru Gazdovi, CSc. a celému kolektivu katedry obrábění a montáže za vzácnou všeestrannou pomoc a vytvoření dobrých podmínek, které mi umožnily vypracovat tuto práci a poskytly mi potřeby k experimentální práci.

Liberec, květen 1983 Dovozový průtok Da Quang Nghiem

odpor proti pohybu kapaliny

při turbulentním průtoku

Seznam označení nejdůležitějších proměnných a konstant		
$T$	počáteční teplota kapaliny	[°C]
$G$	kapacita nitě	[N <sup>-1</sup> ·m <sup>5</sup> ]
$G_h$	celková hydraulická kapacita objemu hadice	[N <sup>-1</sup> ·m <sup>5</sup> ]
$G_h$	hydraulická kapacita kapaliny vém přetlaku	[N <sup>-1</sup> ·m <sup>5</sup> ]
$C_s$	hydraulická kapacita stěn vedení přetlaku	[N <sup>-1</sup> ·m <sup>5</sup> ]
$D$	odpor proti deformaci ve vedení	[N·m <sup>-5</sup> ]
$D_V$	vnitřní průměr hydraulického vedení	[m]
$D_U$	vnitřní průměru hydraulického vedení	[m]
$\bar{D}_V$	poměrná změna vnějšího průměru hadice	[1]
$\bar{D}_U$	poměrná změna vnitřního průměru hadice	[1]
$\Delta D_V$	změna vnějšího průměru vedení	[m]
$\Delta D_U$	změna vnitřního průměru vedení	[m]
$d$	průměr nitě (drátu) vedení	[m]
$E$	celková energie systému kapaliny	[J]
$E_t$	modul pružnosti ocelové trubky způsobená	[MPa]
$E_H$	modul pružnosti materiálu hadicového vedení	[MPa]
$E_{I,II,III}$	modul pružnosti v tahu duše, tlakové ordové vložky a obalu hadice	[MPa]
$G_p$	modul pružnosti ve smyku pro pryžem u hadice	[MPa]
$h$	celková tloušťka pryžokordové stěny	[m]
$H$	odpor proti zrychlení proudu kapaliny vách	[Nm <sup>5</sup> s <sup>2</sup> ]
$K$	objemový izometrický modul pružnosti kapaliny	[MPa]
$K_p$	modul pružnosti směsi kapaliny a vách	[MPa]
	vzduchu v kapalině povrchu stěny	[MPa]
$K_S$	souhrnný modul pružnosti ocelové trubky	[MPa]
$K_{SH}$	souhrnný modul pružnosti hadicového vedení	[MPa]
$K_c$	konstanta daná konstrukcí hadice	[MPa]
$L$	délka vlákna odpovídající stoupání šroubovice	[m]
$l$	délka hadice včetně koncovek	[m]
$\Delta l$	změna délky (zkrácení) hadice	[m]
$\bar{l}_{(p)}$	poměrné zkrácení hadice	[1]
$n$	počet vrstev kordových vložek	[1]
$p$	působící přetlak v hadici (inu) hadice	[MPa]
$\Delta p$	změna přetlaku v hadici šroubovice a směrem	[MPa]
$R_L$	odpor proti pohybu kapaliny při laminárním	[°]
$R_K$	isotermický objemový součinitel průtoku	[Nm <sup>-5</sup> s]
$R_T$	odpor proti pohybu kapaliny	[MPa <sup>-1</sup> ]
	při turbulentním průtoku	[Nm <sup>-5</sup> s]
	rezu stěny hadice	[1]

$T$	teplota kapaliny	ryže při deformaci stěny	[°C]
$T_0$	počáteční teplota kapaliny	hadice	[°C]
$t_d$	rozteč nití	deformace průřu hadice	[m]
$U$	celková deformační energie	v objemu hadice	[J]
$V_0$	vnitřní objem vedení	při nulovém přetlaku	[m³]
$V$	vnější objem hadice	při nulovém přetlaku	[m³]
$\Delta V$	celková změna objemu vedení	ve směru	[m³]
$\Delta V_K$	změna objemu kapaliny	ve směru nití	[m³]
$\Delta V_t$	změna objemu trubky, daná deformací	stěn trubky ve směrech $x, Y$	[m³]
$\Delta V_H$	změna objemu hadice, daná deformací	stěn hadice a obal	[m³]
$\vartheta_K$	celková poměrná objemová změna	hydraulického vedení	[1]
$\vartheta_H$	poměrná objemová změna kapaliny	hadice	[1]
$\vartheta_K$	poměrná objemová změna hadice způsobená	radiální deformací stěn hadice	[1]
$W$	výsledná deformační energie	v pryzokordové vrstvě	[J]
$W_c$	celková energie akumulovaná v objemu hadice	vztažená na jednotku povrchu stěny	[J]
$W_{ck}$	celková energie v pryzokordových vrstvách	vztažených na jednotku povrchu stěny	[J]
$W_{cp}$	celková energie v pryzových vrstvách	vztažená na jednotku povrchu stěny	[J]
$W_\epsilon$	deformační energie od normálné deformace	vztažená na jednotku povrchu stěny	[J]
$W_\gamma$	deformační energie při snykovém namáhání	vztažená na jednotku povrchu stěny	[J]
$W_t$	potenciál vnějších sil		[J]
$\alpha$	úhel opletu (ovinu) hadice		[°]
$\alpha_K$	izobarický součinitel objemové		
$\alpha_n$	roztažnosti kapaliny		[K⁻¹]
$\beta$	neutrální úhel opletu (ovinu) hadice		[°]
$\beta_K$	úhel mezi směrem vinutí šroubovice a směrem		[°]
$\gamma$	kolmým k ose hadice		
	izotermický objemový součinitel		
	stlačitelnosti kapaliny		[MPa⁻¹]
	zkos pryzé mezi vlákny v obecném		
	řezu stěny hadice		[1]

$\delta^*$	jmenovitý zkos pryže při deformaci stěny	[1]
$\epsilon_d$	poměrná deformace průměru hadice	[1]
$\epsilon_l$	poměrná deformace délky hadice	[1]
$\epsilon_n$	poměrná deformace stěny ve směru kolmém k ose nití	[1]
$\epsilon_n^*$	jmenovitá poměrná deformace ve směru kolmém k ose nití	[1]
$\epsilon_o$	poměrná deformace ve směru osy nití	[1]
$\epsilon_x, \epsilon_y$	poměrné deformace ve směrech os X, Y	[1]
$M_{I.II.III}$	poissonova konstanta pro duši, tlakovou vložku a obal	[1]
$\rho_K$	měrná hustota kapaliny	$\text{kg m}^{-3}$
$\sigma_m$	střední kvadratická chyba	[1]
$\sigma_n$	napětí ve směru kolmém k ose nití	[MPa]
$\sigma_o$	napětí ve směru osy nití	[MPa]
$\sigma_r$	radiální napětí	[MPa]
$\sigma_t$	obvodové napětí	[MPa]

perimentálním vyšetřením. T. sm. návzechem objistili vlastnosti hadic. **ÚVOD**: jejich vliv na chování hydraulického mechanismu, můželi bychom používat způsobu teoreticko-experimentálního vyšetření.

Dosažení mechanisace a zejména automatizace výrobního procesu je jedním z hlavních požadavků současnosti. Při řešení těchto úkolů hrají důležitou úlohu hydraulické mechanismy, které se v posledních letech rozšířily do mnoha výrobních oborů a úspěšně se uplatňují zejména v souvislosti s automatizací, samočinnou regulací a programovým řízením. Hydraulické mechanismy se stále používají v průmyslu a zejména ve strojírenských výrobách.

Hydraulický mechanismus se skládá z mnoha prvků a částí (z čerpadla, motoru, ovládacích členů, pomocných členů a z vedení). Vedení je jedna z nezbytných součástí hydraulického mechanismu a jeho vlastnosti mají vliv na chování hydraulického mechanismu. U hydraulických mechanismů je používáno kovové (ocelové) a hadicové vedení, jejichž vlastnosti a použití jsou různé. Např. pro ocelovou trubku lze změnu objemu při statickém stavu určit ze vztahu:

$$\Delta V = V_0 \left( \frac{1}{K} + \frac{d}{Eh} \right) \Delta P \quad (1-1)$$

Měření ukázalo, že rozdíl mezi výpočtem podle vzorce (1-1) a experimentem je 4%. Je to poměrně malý rozdíl a takže k výpočtu  $\Delta V$  lze vzorec používat. Naproti tomu pro hadicové vedení vyskytující se u částí, konajících relativní pohyb, nebo majících složité spojení, nemáme zatím způsoby výpočtu, které dávaly shodné výsledky se skutečností. Vlastnosti hadice (odpor, deformace, kapacita, modul pružnosti atd.) závisí na mnoha jejích parametrech. Např. pro hadici máme:

$$\Delta V = V_0 \left[ \frac{\Delta P}{K} + f(M_i, p) \right] \quad (1-2)$$

kde:

$f(M_i, p)$  je funkce, vyjadřující vliv materiálových, geometrických a konstrukčních parametrů stěny hadice, uzavírající geometrický objem  $V_0$ , na působícím tlaku.

Nemůžeme matematicky vypočítat změnu objemu hadice  $\Delta V$ , protože nemáme k disposici  $f(M_i, p)$ . Ale ukázalo se, že můžeme změnu objemu  $\Delta V$  i jiné vlastnosti hadic teoreticko-exp

rimentálním vyšetřením. T. zn. abychom zjistili vlastnosti hadice a jejich vliv na chování hydraulického mechanismu, museli bychom používat způsobu teoreticko-experimentálního vyšetřování. Dosud byly otázky týkající se tohoto problému postupně a částečně zkoumány a řešeny mnoha autory.

### 1. 1. Přehled o současném stavu problematiky, která je předmětem disertace:

Rešené problémy jsou orientovány na tři hlavní otázky :

- Vyšetřování statických a dynamických vlastností kapaliny v potrubí
- Vyšetřování kapacitních vlastností a dynamických charakterů hydraulického potrubí ocelového a hadicového
- Zjištování dynamiky hydraulických mechanismů.

Tyto otázky dostaly značnou pozornost od mnoha autorů již od šedesátých let. Vicent, G.M. /33/ psal o pojmu objemového modulu a jeho důležitosti. Výsledky při zkoumání Haywarda, A.T.J. /13/ se týkají způsobu hodnocení objemového modulu pružnosti hydraulických tekutin a zevšeobecnění izotermické a adiabatické stlačitelnosti hydraulického minerálního oleje. Hudcovský, F. /14/ teoreticko-experimentálně vyšetřoval objemovou pružnost kapalin. Jeho práce představuje stavovou reakci kapaliny, stlačitelnost a objemový modul pružnosti kapaliny, dynamický proces deformace pracovní kapaliny. Fischer, J. /10/ podal experimentální výzkum dynamických vlastností kapaliny v potrubí. Ve spojení s vlastností kapaliny Pavluch, L. /21/ a později Čaruji, I.A. /5/ vyšetřovali nestacionární proudění reálné kapaliny v potrubí.

Problém zjištování vlastností ocelových a hadicových vedení zajímá také mnohé autory. Zymák, V. se věnoval přenosu tlakové energie dlouhým potrubím a tlakovému kmitu v hydraulickém obvodu /38/. Jeho díla o přenosové matici hydraulických potrubí a vlivu počátečních podmínek na přenosové poměry hydraulických potrubí /34/, /35/, ve kterých představuje řešení dynamiky potrubí pomocí symbolické metody operátorového a maticového výpočtu, umožňují výzkumníkům a konstruktérům analyzovat činnosti hydraulických mechanismů. Zymák, V. se také zabýval dynamickými charakteristikami hydraulického potrubí s oscilačním průtokem /37/. Schaedel, H. /28/

teoreticko-experimentálně vyšetřoval vedení a koncentrační prvky tekutin. Roman, N.M. /26/ analyzoval dynamické procesy v potrubí.

Různé autory zajímaly rovněž vlastnosti hadicového vedení Cerha, J. /2/ podal experimentální vyšetření kapacitních vlastností hadicového vedení, a ukázal dvě možnosti zjistit kapacitní parametry hadice: pomocí vytěklého množství kapaliny z "natlakované" hadice nebo proměřením geometrických parameterů (vnějšího průměru a délky) hadice při změně vnitřního přetlaku. Kopáček, J. /16/ experimentálním měřením zjistil objemový modul pružnosti několika druhů pryžových hadic. Výsledky umožňují vypočítat odpory proti deformaci nebo příslušné kapacity hadice i vyšetřovat dynamické chování hydraulických mechanismů, u nichž se vyskytuje hadice.

Dynamické chování hydraulických mechanismů a jejich jednotlivých prvků patří v současné době k nejaktuálnějším problémům. Práce Drázdila, M. /7/ a /8/ se zabývaly základními problémy dynamické syntézy hydraulických mechanismů sestávaných z typických prvků a umožňují vyšetřovat dynamiku hydraulického mechanismu metodou teorie lineární regulace, kdy lze dynamické chování mechanismu popisovat pomocí přenosů, přechodových a frekvenčních charakteristik a blokových schémat. Prokeš, J. /24/ provedl možnosti syntézy hydraulických mechanismů s použitím samočinného počítače. Zymák, V. /36/ zkoumal dynamiku hydraulických obvodů a metody jejich řešení. Je to analytická metoda, která je použitelná pro lineární poměry, graficko-početní metoda a metoda s použitím elektronického analogového počítače. Podobnými způsoby Prokopjev, V. N. vyšetřoval vliv deformace kapaliny na dynamiku hydraulického obvodu /25/.

## 1. 2. Cíl disertace:

Na základě dosavadních prací a jako jejich pokračování jsem za cíl své disertace zvolil zkoumání základních vlastností hadicového vedení a jejich vlivu na chování hydraulických mechanismů.

Disertační práce obsahuje hlavní obsahy následující :  
+ Studium kapacitních vlastností kapalin používaných v hydrau-

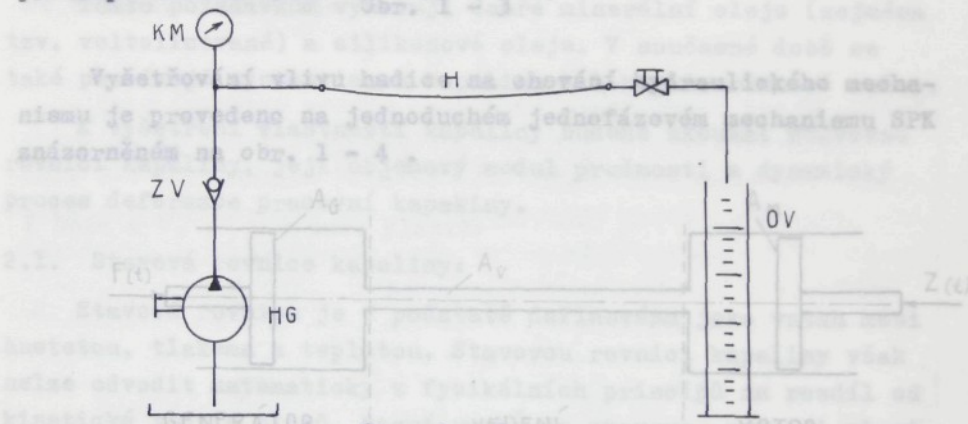
lických mechanismech, tří lapovaného pistu zatlačovaného do val-  
+ konstrukce a vlastnosti hadicového vedení, - 3 . Z hodnoty  
+ teoreticko-experimentální vyšetřování objemových změn hadi-  
cevového vedení,  
+ vyšetřování vlivu hadice na chování jednoduchého hydraulického mechanismu.

### 1. 3. Zvolené metody zpracování:

Při vyšetřování budu používat metody teoreticko-experimentální.

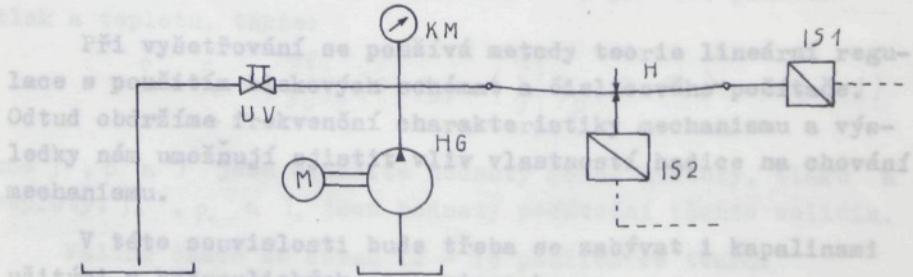
Pro zjištování objemových změn hadicového vedení použiji tří metod:

a) měření a určování množství kapaliny vytékající z měřené hadice do odměřené trubice při změně vnitřního přetlaku podle principu znázorněného na obr. 1 - 1.



Obr. 1 - 1

b) proměření geometrických parametrů (vnějšího průměru a délky) hadice, podle principu na obr. 1 - 2 .



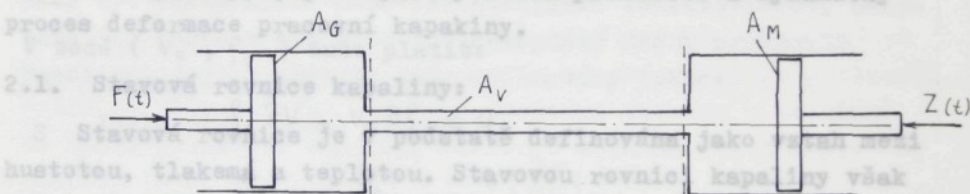
Obr. 1 - 2

c) měření posunutí lapovaného pístu zatlačovaného do valce o známém průměru podle principu na obr. 1 - 3 . Z hodnoty posunutí pístu  $X$  a průměru  $D_p$  lze vypočítat změnu objemu hádce  $\Delta V$  .  
 Když je využit princip kapaliny v hydraulickém mechanismu je přenášení tlakové energie. Na kapaliny používané v hydraulických pohonech jsou kladený znacné požadavky, které jsou podmíněny je:

$P$   $V$   $H$   $X$   $TS$   $IS$

- a) využívání kapaliny při provozní teplotě
- b) musí být při provozní teplotě
- c) nemá moci obsahovat kapaliny nečistoty.
- d) musí mít dobrá vlastnosti
- e) mají mít mezi viskozitu při změně teploty,
- f) co největší modul pružnosti - s tím je spojená tuhosti a přesností práce;

Obr. 1 - 3 ře minerální oleje (zejména tzv. volnolísované) a silikonové oleje. V současné době se také vyšetřování vlivu hadice na chování hydraulického mechanismu je provedeno na jednoduchém jednofázovém mechanismu SPK znázorněném na obr. 1 - 4 .  
 Obr. 1 - 4 Schematický základním souborem zkoumat vlivem  
 proces deformace pružní kapakiny.



Stavovou rovnici je prostata dříchovaná jako funkci mezi hustotou, tlakem a teplotou. Stavovou rovnici lze odvadit matematicky z fyzikálních principů na rozdíl od kinetické GENERÁTOR, která VEDENÍ stavovu MOTOR. plynat formulevat. Přesto však, protože změna měrné hmotnosti kapaliny s tlakem a tepletou je malá, můžeme tuto funkci approximovat prvními třemi členy Taylorovy řady pro dvě proměnné - tlak a teplotu, takže:

Při vyšetřování se používá metody teorie lineární regulace s použitím blokových schémat a číslicového počítače. Odtud obdržíme frekvenční charakteristiky mechanismu a výsledky nám umožňují zjistit vliv vlastností hadice na chování mechanismu.

V této souvislosti bude třeba se zabývat i kapalinami užitými v hydraulických mechanismech.

## 2. KAPALINY POUŽÍVANÉ V HYDRAULICKÝCH MECHANISMech :

Kapaliny jsou důležitou součástí operátoru hydraulického převodu. Hlavní funkcí kapaliny v hydraulickém mechanismu je přenášení tlakové energie. Na kapaliny používané v hydraulických pohonech jsou kladený značné požadavky, které jsou podmíněny jejich kombinovaným namáháním. Hlavní z požadavků jsou:

- a) vypařování kapaliny při provozní teplotě co nejmenší,
- b) musí mít při provozní teplotě dostatečnou tekutost, aby byly hydraulické odpory malé,
- c) nemají obsahovat kapalné nebo pevní nečistoty,
- d) musí mít dobré mazací vlastnosti,
- e) mají mít co nejmenší změnu viskosity při změně teploty,
- f) co největší modul pružnosti - s tím je spojená otázka kapacity mechanismu, tedy jeho tuhosti a přesnosti práce;

Po Těmto požadavkům vyhovují dobře minerální oleje (zejména tzv. voltolisované) a silikonové oleje. V současné době se také používají syntetickou kapalinu a lihoglycerinnové směsi.

K vyšetření vlastností kapaliny budeme zkoumat stavovou rovnici kapaliny, její objemový modul pružnosti a dynamický proces deformace pracovní kapakiny.

### 2.1. Stavová rovnice kapaliny:

Stavová rovnice je v podstatě definována jako vztah mezi hustotou, tlakem a teplotou. Stavovou rovnici kapaliny však nelze odvodit matematicky z fyzikálních principů na rozdíl od kinetické teorie plynů, která umožňuje stavovou rovnici plynů formulovat. Přesto však, protože změna měrné hmotnosti kapaliny s tlakem a teplotou je malá, můžeme tuto funkci approximovat prvními třemi členy Taylorovy řady pro dvě proměnné - tlak a teplotu, takže:

$$\delta = \delta_0 + \left( \frac{\partial \delta}{\partial p} \right)_T (p - p_0) + \left( \frac{\partial \delta}{\partial T} \right)_p (T - T_0) + \dots \quad (2-1)$$

kde  $\delta$ ,  $p$  a  $T$  jsou okamžité hodnoty měrné hustoty, tlaku a teploty;  $\delta_0$ ,  $p_0$  a  $T_0$  jsou hodnoty počáteční těchto veličin.

Velice často se vztah (2-1) používá ve tvaru:

~~součinitel výjadruje změnu objemu s teplotou při~~

konstantním tlaku a nazývá se součinitel objemového rostaření.

$$\beta = \beta_0 \left[ 1 + \frac{1}{K} (P - P_0) - \alpha (T - T_0) \right] \quad (2-2)$$

Hodnota  $\beta$  vyjadřuje změnu objemu se změnou tlaku při konstantní teplotě a nazývá se izotermický objemový modul pružnosti (krátko modul pružnosti kapaliny).  
kde:  
 $K = \left( \frac{\partial P}{\partial \beta} \right)_T \beta_0 \quad \alpha = -\frac{1}{\beta_0} \left( \frac{\partial \beta}{\partial T} \right)_P$   
Dále se bude libovolně zabývat objemovým modulem pružnosti kapaliny.

Rovnice (2-1) resp. (2-2) je linearizovaná stavová rovnice kapaliny. Tedy měrná hustota se zvětšuje se zvětšujícím se tlakem a naopak zmenšuje s rostoucí teplotou. Protože měrná hmotnost kapaliny vztažená na určitý objem, můžeme volit objem  $V$  tak, aby platilo:  $V \cdot \beta = 1$  (2-4):

Po derivaci obdržíme:

$$\frac{\partial}{\partial P} (V \cdot \beta) = 0$$

Tato definice modulu pružnosti kapaliny je totiž jediná, která platí pro termodynamické výpočty. Protože stlačení může být izotermické (isotropické), nazývá se  $V$  bodě  $(V_0, \beta_0)$  bude platit: Izotropický modul pružnosti kapaliny. Jejich hodnoty jsou definovány takto:

$$\beta_0 \frac{\partial V}{\partial P} + V_0 \frac{\partial \beta}{\partial P} = 0$$

$$\frac{\beta_0}{\partial \beta} = -V_0 \left( \frac{\partial P}{\partial V} \right)_T \quad (2-3)$$

Izotropický modul pružnosti:

a pak platí že:

$$K = -V_0 \left( \frac{\partial P}{\partial V} \right)_T$$

kde symboly  $T$  a  $K = -V_0 \left( \frac{\partial P}{\partial V} \right)_T$  jsou konstantní hodnoty a "entropie".

Dále výše  $\alpha = \frac{1}{V_0} \left( \frac{\partial V}{\partial T} \right)_P$  je pouze izotermický objemový modul pružnosti kapaliny a krátce můžeme nazvat pružností kapaliny a používáme symbolu  $K$  místo symbolu  $K_T$ .

kde  $V$  je celkový objem a  $V_0$  je počáteční celkový objem kapaliny.  
kapaliny obsahuje vždy nevelké množství vzduchu, jak rozpuštěného, tak vyloučeného ve formě bublinek. Odstranit vzduch z kapaliny můžeme několika způsoby.

Součinitel  $\alpha$  vyjadřuje změnu objemu s teplotou při

konstantním tlaku a nazývá se součinitel objemového roztažení. Suchu. Za obvyklých podmínek může být v kapalině systému

Hodnota  $K$  vyjadřuje změnu objemu se změnou tlaku při konstantní teplotě a nazývá se izotermický objemový modulen pružnosti (krátce modul pružnosti kapaliny). Dále se budeme hlouběji zabývat objemovým modulem pružnosti kapaliny.

## 2.2 Objemový modul pružnosti kapaliny:

Modul pružnosti je velmi důležitým parametrem kapaliny, protože ovlivňuje dynamické vlastnosti hydraulického mechanismu. Objemový modul pružnosti kapaliny při stlačení je mírou odporu kapaliny k zmenšení svého objemu při působení přetlaku. Je definovaný vztahem (2 - 4) :

$$K = -V_0 \left( \frac{\partial P}{\partial V} \right) \quad \rightarrow [cS]$$

Tato definice modulu pružnosti kapaliny je totiž jediná, která platí pro termodynamické výpočty. Protože stlačení může být izotermické nebo izoentropické (adiabatické), nazýváme jej izotermický nebo izoentropický modul pružnosti kapaliny. Jejich hodnoty jsou definovány takto:

Izotermický modul pružnosti:  $K_T = -V_0 \left( \frac{\partial P}{\partial V} \right)_T$

Izoentrópický modul pružnosti: kapaliny zcela, nelze tedy ve skutečnosti určit a můží objemový modul pružnosti pouhé kapaliny  $K_{ad}$ , ale  $K_{ad} = -V_0 \left( \frac{\partial P}{\partial V} \right)_S$  je vlastně modul pružnosti snížení  $\bar{K}_S$ .

kde symboly  $T$  a  $\alpha$  ad platí pro konstantní hodnoty teploty a "entropie". Soustavající se ze dvou fází: kapaliny a neroz-

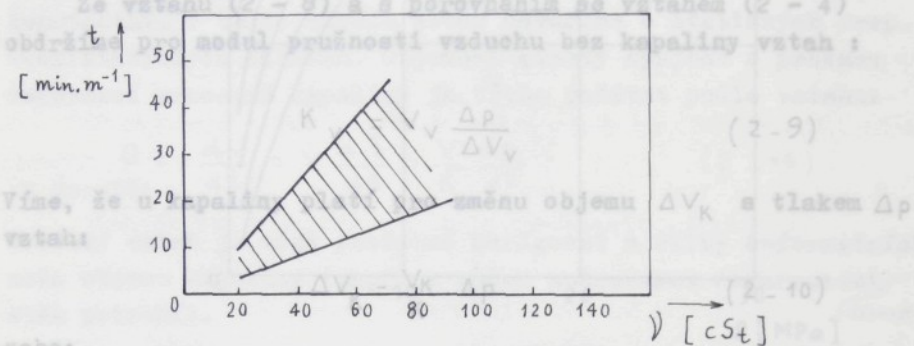
Dále vyšetřujeme konkrétně pouze izotermický objemový modul pružnosti kapaliny (nazývá se krátce modul pružnosti kapaliny) a používáme symbolu  $K$  místo symbolu  $K_T$ .

Víme, že kapalina, obíhající v obvodu hydraulického mechanismu obsahuje vždy nevelké množství vzduchu, jak rozpuštěného, tak vyloučeného ve formě bublinek. Odstranit vzduch z kapaliny zcela není možné. V nejlepším případě ob-

sahuje kapalina ne méně než  $(0,3 + 0,5)\%$  nerozpuštěného vzduchu. Za obvyklých podmínek může být v kapalině systému  $(3 + 5)\%$  nerozpuštěného vzduchu /14/ .

Pro zajímavost si všimněme obr. 2 - 1, kde je zachycen čas potřebný pro uniknutí vzduchové bubblek určité velikosti z minerálního oleje z hloubky  $l \text{ m}$  v závislosti na viskozitě oleje  $\eta$ .

Ze vztahu (2 - 8) a s porovnáním se vztahem (2 - 4) obdržíme modul pružnosti vzduchu bez kapaliny vztah:



$$(2-9)$$

$$(2-10)$$

nebo:

Obr. 2 - 1

Jestliže rozpuštěný vzduch v kapalině nemá praktický vliv na modul pružnosti kapaliny, potom vzduch vyloučený ve formě bubblek může mít značný vliv na změnu modulu pružnosti. Právě na úkor velkého stlačení bubblek vzduchu v kapalině se modul pružnosti kapaliny zmenšuje zejména při nízkých tlacích (obr. 2 - 2).

Není možné odstranit vzduch z kapaliny zcela, nelze tedy ve skutečnosti určit a měřit objemový modul pružnosti pouhé kapaliny  $K$ , ale jenom modul pružnosti směsi  $\bar{K}$ . Všimněme si nyní procesu stlačení a objemového modulu pružnosti směsi sestávající se ze dvou fází: kapaliny a nerozpuštěného vzduchu (plynu), za předpokladu, že objem vzduchu bude konstantní a tlaky v kapalné a plynné fázi budou stejné.

Nechť tedy při atmosférickém tlaku  $p_0$  je objem kapaliny  $V_{K0}$  a vzduchu  $V_{v0}$ . Při tlaku  $p$  pak bude objem vzduchu  $V_v + \Delta V_v$  a při komprezi  $p + \Delta p$  bude objem vzduchu  $V_v$ . Za předpokladu izotermické změny bude podle Boylova zákona:

Závislost  $K/K$  na tlaku  $p$  je na obr. 2 - 2.

$$p(V_v + \Delta V_v) = (p + \Delta p)V_v \quad (2-7)$$

Po úpravě obdržíme:

$$\Delta V_v = V_v \cdot \frac{\Delta p}{p} \quad (2-8)$$

Ze vztahu (2 - 8) a s porovnáním se vztahem (2 - 4) obdržíme pro modul pružnosti vzduchu bez kapaliny vztah:

$$K_v = V_v \frac{\Delta p}{\Delta V_v} \quad (2-9)$$

Víme, že u kapaliny platí pro změnu objemu  $\Delta V_K$  s tlakem  $\Delta p$  vztah:

$$\Delta V_K = \frac{V_K}{K} \cdot \Delta p \quad (2-10)$$

nebo:

$$Obr. 2 - 2$$

$$K = V_K \frac{\Delta p}{\Delta V_K} \quad (2-11)$$

Při adiabatické, resp. při izopropické změně je vypočet

poněkud komplikovanější a takték i výsledný vztah. Přitom se

nevyužívají vztahy (2 - 9) a (2 - 11), ale vztahy (2 - 12) a (2 - 13).

S ohledem na vztahy (2 - 9) a (2 - 11) můžeme pro modul

pružnosti směsi sestávající z kapaliny a nerozpuštěného

vzduchu psát:

$$2.3. \overline{K} = V \frac{\Delta p}{\Delta V} = \frac{V_K + V_v}{\Delta V_K + \Delta V_v} \cdot \Delta p \quad (2-12)$$

Při zvýšení tlaku na průvodce hydraulickou kapalinu se

mění v důsledku její stlačitelnosti její objem a měrná hustota

Tuto aplikaci (2 - 8), (2 - 10) a s přihlednutím, že

$$V_{vo} \cdot p_0 = V_v \cdot p_{aci} \text{ a } p_0 = 9,8066 \cdot 10^4 \text{ Nm}^{-2}, \text{ takže: } V_v = V_{vo} \cdot 10^5 \frac{1}{p}$$

lze po úpravě psát vztah (2 - 12) ve tvaru:

$$\frac{dV}{V} = \frac{d\delta}{1 + \frac{V_K}{V_{vo}} \cdot p \cdot 10^{-5}} \quad (2-14)$$

Lineární zákon o deformaci za předpokladu (2 - 13) pro-

ces je dostatečně dleuhý tak, aby mohlo dojít k ustálení rov-

vážného stavu, vede  $\frac{K}{P} + \frac{V_K}{V_{vo}} \cdot p \cdot 10^{-5}$  změny tlaku na změnu

deformace:

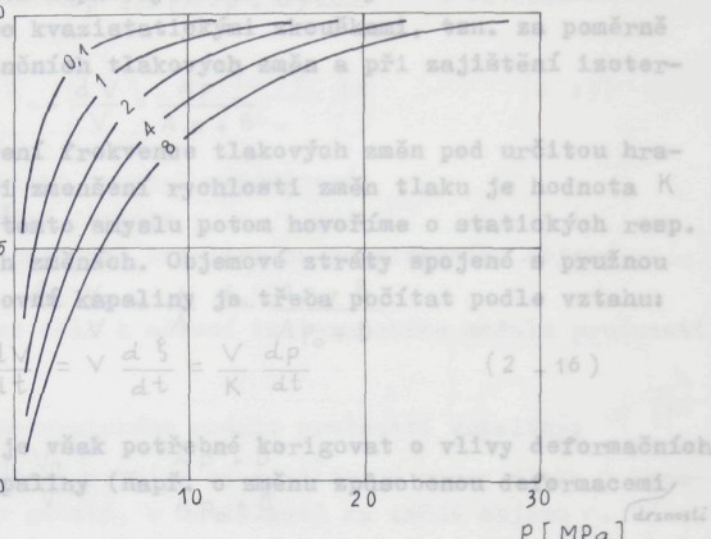
$$\Delta p = K \cdot d\delta \quad (2-15)$$

Závislost  $\bar{K}/K$  na tlaku  $p$  je na obr. 2-1-2. Je na rychlosti změny tlaku, je již dříve zmíněným izotermickým modulem objemové pružnosti kapaliny. Jeho hodnoty se mohou stanovit statickými nebo kvazistatickými metodami. Vzhledem k tomu, že za poměrně nízkých frekvenciích tlakových změn je při zajištění izotermy změny.

Při zmenšení frekvencie tlakových změn pod určitou hranici, resp. při vysokých rychlostech změn tlaku je hodnota  $K$  konstantní. V tomto významu potom hovoříme o statických resp. kvazistatických metodech. Objemové stráty spojené s pružnou deformací pracovní kapaliny je třeba počítat podle vztahu:

$$Q = - \frac{dV}{dt} = V \frac{d\delta}{dt} = \frac{V}{K} \frac{dp}{dt} \quad (2-16)$$

Uvedený vztah je však potřebné korigovat o vlivy deformačních změn objemu kapaliny (vlastností kapaliny) a měřenou deformaci stěn potrubí.



Při určování deformace způsobených konečnou změnou tlaku  $\Delta p$  je možné použít linearizovaný výraz (2-15), a to ve formě  $\delta = K_0 \cdot \Delta p$ . Při adiabatické, resp. polytropické změně je výpočet poněkud komplikovanější a také konečný výsledek je výsledný vztah. Přitom se nevyhneme rozvoji v řadu, takže konečný vztah vystihuje skutečnost jenom přibližně. Přistoupíme k vyšetřování dynamického procesu deformace pracovní kapaliny.

### 2.3. Dynamický proces deformace pracovní kapaliny:

Působením tlaku na pracovní hydraulickou kapalinu se mění v důsledku její stlačitelnosti její objem a měrná hustota. Tuto změnu objemu  $V$  a hustoty  $\rho$  je možné definovat ve vztahu k deformaci  $\xi$  takto (viz. vztah (2-3)): (2-18)

Protože  $\frac{dV}{V} = \frac{d\xi}{\xi}$ , je nutné při výpočtu deformace volit  $K_0$  velmi opatrně. Pro některé minerální oleje je závisí. Linearizovaný zákon o deformaci za předpokladu, že proces je dostatečně dlouhý tak, aby mohlo dojít k ustálení rovávného stavu, vede k přímé závislosti změny tlaku na změně deformace: do rovnice (2-15) za  $K_0$  s  $d\xi/dp$ , pak:

$$dp = K \cdot d\xi \quad (2-15)$$

Koefficient úměrnosti K , který je nezávislý na rychlosti změny tlaku, je již dříve zmíněným izotermickým modulem objemové pružnosti kapaliny. Jeho hodnoty se mohou stanovit statickými nebo kvazistatickými zkouškami, tzn. za poměrně nízkých frekvenčních tlakových změn a při zajištění izotermické změny.

Při zmenšení frekvence tlakových změn pod určitou hranici, resp. při zmenšení rychlosti změn tlaku je hodnota K konstantní. V tomto smyslu potom hovoříme o statických resp. kvazistatických změnách. Objemové ztráty spojené s pružnou deformací pracovní kapaliny je třeba počítat podle vztahu:

$$Q = - \frac{dV}{dt} = V \frac{d\xi}{dt} = \frac{V}{K} \frac{dp}{dt} \quad (2-16)$$

Uvedený vztah je však potřebné korigovat o vlivy deformačních změn objemu kapaliny (např. o změnu způsobenou deformacemi stěn potrubí). (drsností)

Při určování deformací způsobených konečnou změnou tlaku  $\Delta p$  je možné použít linearizovaný výraz (2 - 15), a to ve formě konečných rozdílů, ale to jen tehdy, jestliže hodnota  $\Delta p$  se neliší příliš v porovnání s hodnotami  $K_0 \approx K$ .

$$\Delta P = -K_o \frac{\Delta V}{V_{\text{saturation}}} \quad (2-17)$$

Při jakýchkoli větších změnách tlaku je nutné provést integraci rovnice (2 - 15).

Jestliže  $K$  = konstantní a při malých tlakových spádech vede integrace rovnice (2 - 15) k této exponenciální závislosti:  
 $V = V_0 e^{-\frac{P - P_0}{K}}$  (2 - 18)

Protože však v praxi  $K \neq K_0$ , je nutné při výpočtech deformací volit  $K_0$  velmi opatrně. Pro některé minerální oleje je závislost  $K$  na  $p$  lineární:

$$\text{ka (adiabaticek)} \quad K = A \cdot p + B \quad \text{neuviajloste pak novari} \quad (2-19)$$

Dosadíme-li do rovnice (2 - 15) za  $K = d\delta$ , pak: Pak  
bude platit rovnice

$$K_{ad} = \beta \cdot c^2 \quad (2.22)$$

a převod na hodnotu  $dP = (A \cdot p + B) \frac{dV}{V}$  podle vztahu:

$$K_{ad} = \frac{dV}{V} = \frac{\frac{d^2}{V} Ta \cdot K}{A \cdot p + B} \quad (2.23)$$

kde:  $\alpha$  - koeficient tepelné roztažnosti  
a po integraci:  
 $\alpha = \text{absolutní teplota}$

$C_V$  - měrná kapacita kapaliny za konstantního objemu.

$$/14/. \quad \ln \frac{V_0}{V} = \frac{1}{A} \ln \frac{Ap + B}{Ap_0 + B}$$

Přistoupíme dál V k měření izoentropického modulu pružnosti kapaliny.

Po úpravě:

2.4. Měření izotermického modulu pružnosti kapaliny:

Princip měření je založen na měření změny tlaku p kapaliny usazované v nádobě, v závislosti na změně objemu V. Víme, že podle vztahu (2-4) platí pro izotermický objemový modul a dále upravíme na konečnou rovnici:

$$(p + \frac{B}{A}) V^A = (\frac{Ap + B}{Ap_0 + B}) V_0^A \quad (2.20)$$

Uspoládáme-li nyní měření podle shr. 2-3, můžeme při nebo po dosazení za  $V = \frac{1}{\beta}$  dostaneme:  
vypočítat objemový modul pružnosti kapaliny K.

$$/2/ \quad \text{Obvod pro } (p + \frac{B}{A}) \frac{1}{\beta^A} = (\frac{Ap + B}{Ap_0 + B}) \frac{1}{\beta_0^A} \quad (2.21)$$

se skládá z tlakové nádoby (T), dvou vlučně ovládaných ventili (V1, V2).

Z rovnice je vidět, že v intervalu tlakové změny, ve kterém veličina  $d\beta/dp$  se může pokládat za konstantní, je  $A=1$ . Po získání konstant A a B dosadíme do rovnice (2-19), odkud obdržíme modul pružnosti kapaliny.

Dynamické procesy v kapalinách však většinou neprobíhají izotermicky. Tyto děje přesněji vystihuje izoentropiccká (adiabatická) změna. V této souvislosti pak hovoříme o izoentropickém modulu pružnosti  $K_{ad}$ . Tento modul je možno určit z rychlosti šíření tlakových kmitů v kapalině. Pak bude platit rovnice:

$$K_{ad} = \beta \cdot c^2 \quad (2.22)$$

a převod na hodnotu K je možné provést podle vztahu:

$$K_{ad} = \left( 1 + \frac{\alpha^2 \cdot T_a \cdot K}{\beta \cdot C_v} \right) K \quad (2.23)$$

kde:  $\alpha$  - koeficient tepelní roztažnosti

$T_a$  - absolutní teplota

$C_v$  - měrná kapacita kapaliny za konstantního objemu.

/14/. TN

Přistoupíme dálé k měření izotermického modulu pružnosti kapaliny.

#### 2.4. Měření izotermického modulu pružnosti kapaliny:

Princip měření spočívá ve zjišťování změny tlaku p kapaliny uzavřené v nádobě, v závislosti na změně objemu V. Víme, že podle vztahu (2 - 4) platí pro izotermický objemový modul pružnosti kapaliny:

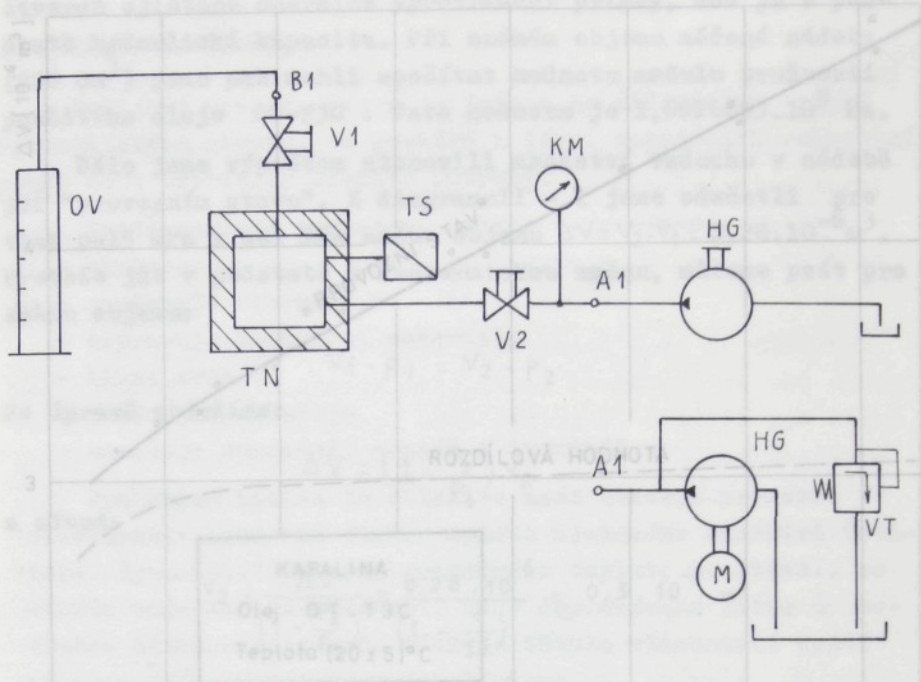
$$K = V \frac{\Delta p}{\Delta V}$$

Postup měření:

Uspořádáme-li nyní měření podle obr. 2 - 3, můžeme při známém objemu V nádoby a naměřených hodnotách  $\Delta V$  a  $\Delta p$  vypočítat objemový modul pružnosti kapaliny K.

/3/. Obvod pro měření objemového modulu kapaliny (obr. 2 - 3) se skládá z tlakové nádoby (TN), dvou ručně ovládaných ventilů (V1, V2) a odměrného válce (OV). Napájení může být buď ručním hydrogenerátorem nebo hydrogenerátorem s elektrickým motorem (M). Obvod je vybaven kontrolním manometrem (KM). Tlaková nádoba (TN) je válcového tvaru a je vybavena z konstrukční oceli. Objem nádoby je  $200 \text{ cm}^3$ . Stěny jsou dostatečně silné, aby bylo zanedbáno zvětšení objemu nádoby vlivem tlaku. (Pro namáhání tlaku 15 MPa činí změna objemu vlivem roztažnosti stěn  $0,14\%$  celkového objemu). Nádoba je opatřena dvěma ventily V1 a V2 s ručním ovládáním. Ve stěně nádoby je otvor pro napojení tenzometrického tlakového snímače (TS).

/32/. Z hodnot pro "ideální stav" byla meteden nejmenších



Obr. 2 - 3

**Postup měření:**

- 1/ uzavřeme ventil  $V_1$  a otevřeme ventil  $V_2$
- 2/ ručním hydrogenerátorem naplníme nádobu na určitý tlak a pak uzavřeme ventil  $V_2$
- 3/ ventilem  $V_1$  odpouštíme kapalinu z nádoby do odměrného válce a zaznamenáme hodnoty  $\Delta p$  a  $\Delta V$ .

**Výsledky měření:**

Všechny naměřené hodnoty byly vyneseny do grafu (diagr. II - 1). Je to měření modulu pružnosti kapaliny v "ideálním" (odvzdušněném) a v "provozním stavu". "Ideálním stavem" rozumíme stav kapaliny v nádobě po naplnění ruční pumpou. "Provozním stavem" rozumíme takový stav, kdy byl obvod připojen k zdroji tlaku HA - 1,2 - 200 a po dobu 10ti minut byl v činnosti. Ze závislosti pro "provozní stav" a "ideální stav" byla utvořena rozdílová hodnota.

Z hodnot pro "ideální stav" byla metoda nejmenších

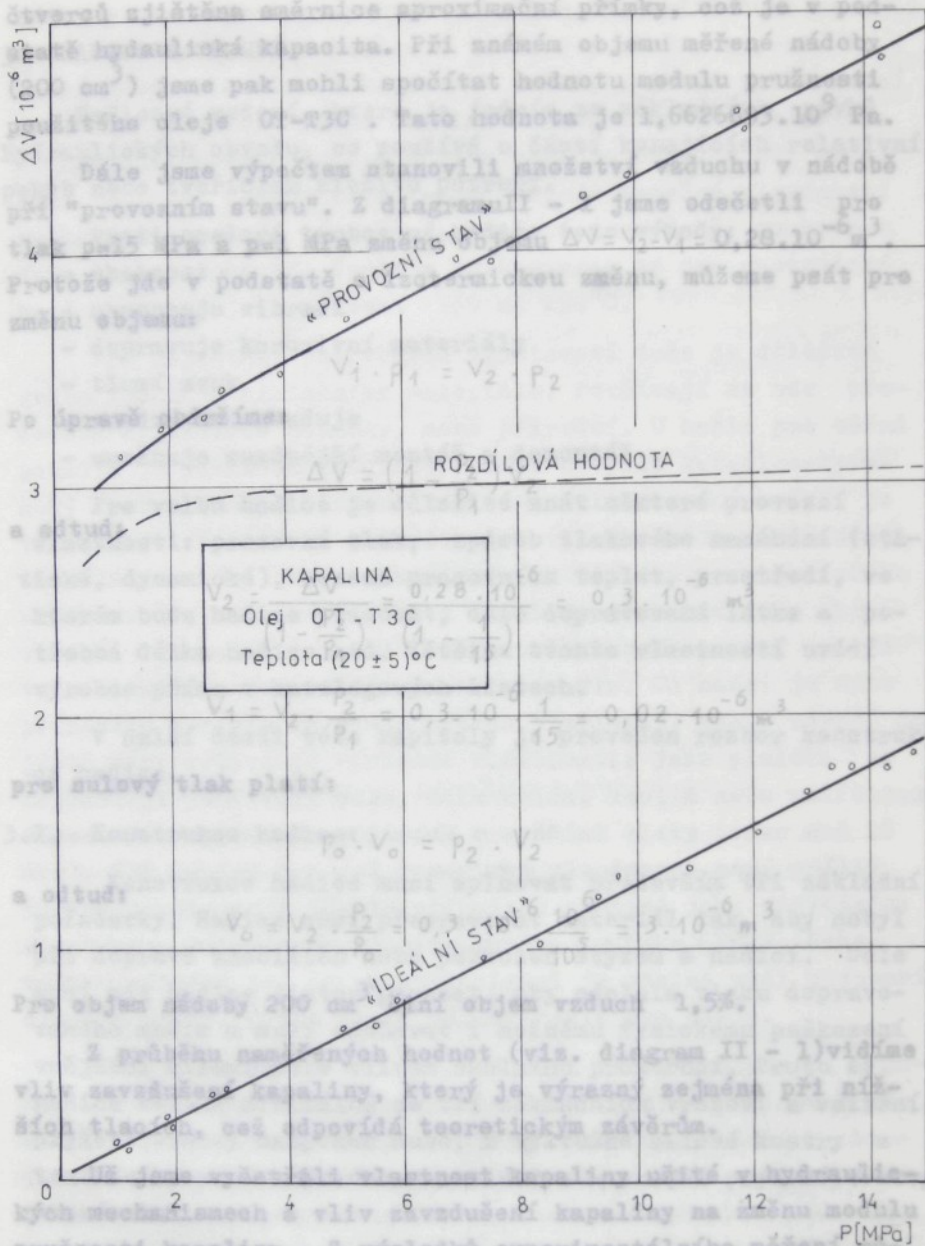


Diagram II.1

čtverců zjištěna směrnice approximační přímky, což je v podstatě hydraulická kapacita. Při známém objemu měřené nádoby ( $200 \text{ cm}^3$ ) jsme pak mohli spočítat hodnotu modulu pružnosti použitého oleje OT-T3C. Tato hodnota je  $1,6626693 \cdot 10^9 \text{ Pa}$ .

Dále jsme výpočtem stanovili množství vzduchu v nádobě při "provozním stavu". Z diagramu II - 1 jsme odečetli pro tlak  $p=15 \text{ MPa}$  a  $p=1 \text{ MPa}$  změnu objemu  $\Delta V = V_2 - V_1 = 0,28 \cdot 10^{-6} \text{ m}^3$ . Protože jde v podstatě o izotermickou změnu, můžeme psát pro změnu objemu:

- dehydratuje korozivní materiály
- tlumí zvuk

$$V_1 \cdot p_1 = V_2 \cdot p_2$$

Po úpravě obdržíme:

- umožňuje snadnější montáž a demontáž.

Pro velbu hadice je důležitě znát některé provozní a odtud:

tiskovost: pracovní tlak, způsob tlakového namáhání (statické, dynamické),  $V_2 = \frac{\Delta V}{(1 - \frac{P_2}{P_1})} = \frac{0,28 \cdot 10^{-6}}{(1 - \frac{1}{15})} = 0,3 \cdot 10^{-6} \text{ m}^3$ , která bude mít vliv na tlakovou vlastnost hadice a po-

třební délka hadice. Výrobce všechny tyto vlastnosti uvádí výrobce přímo v katalogových listech.

$$V_1 = V_2 \cdot \frac{P_2}{P_1} = 0,3 \cdot 10^{-6} \cdot \frac{1}{15} = 0,02 \cdot 10^{-6} \text{ m}^3$$

pro nulový tlak platí:

$$p_o \cdot V_o = p_2 \cdot V_2$$

a odtud:  $V_o = V_2 \cdot \frac{P_2}{P_o} = 0,3 \cdot 10^{-6} \cdot \frac{10^6}{10^5} = 3 \cdot 10^{-6} \text{ m}^3$ . Dle požadavky. Hadice musí splňovat především tři základní

Pro objem nádoby  $200 \text{ cm}^3$  činí objem vzduch  $1,5\%$ .

Z průběhu naměřených hodnot (viz. diagram II - 1) vidíme vliv zavzdoušení kapaliny, který je výrazný zejména při nížších tlacích, což odpovídá teoretickým závěrům.

Už jsme vyšetřili vlastnost kapaliny užité v hydraulických mechanismech a vliv zavzdoušení kapaliny na změnu modulu pružnosti kapaliny. Z výsledků experimentálního měření můžeme izotermický modul pružnosti kapaliny považovat za konstantní. V další kapitole se budeme zabývat konstrukcí a vlastnostmi hadicového vedení.

vložku, chránící tlakovou vložku před chemickým působením.

látky a zaručuje nepropustnost hadice. Materiál duše se volí

### 3. HADICOVÉ VEDENÍ

Hadicové vedení, které je jedním ze základních prvků hydraulických obvodu, se používá u částí konajících relativní pohyb nebo tvořících složité potrubí.

Proti ocelové trubce má hadice tyto výhody: po kterou

- chebnost působí. Teplota vulkanizace se pro syntetické kaučuky může pohybovat od 150 do 230°C.
- absorbuje vibrace mezi 150 až 230°C.

- dopravuje korozivní materiály

- tlumí zvuk
- snadno se skladuje

- umožňuje snadnější montáž a demontáž.

Pro volbu hadice je důležité znát některé provozní vlastnosti: pracovní tlak, způsob tlakového namáhání (statické, dynamické), rozsah pracovních teplot, prostředí, ve kterém bude hadice pracovat, dále dopravovaná látka a potřebná délka hadice atd. Většinu těchto vlastností uvádí výrobce přímo v katalogových listech.

V další části této kapitoly je proveden rozbor konstrukce hadice.

#### 3.1. Konstrukce hadice:

Konstrukce hadice musí splňovat především tři základní požadavky. Hadice musí přepravovat materiál tak, aby nebyl při dopravě znečištěn nebo poškozen stykem s hadicí. Dále musí mít hadice jistou pevnost, aby odolala tlaku dopravovaného media a musí odolávat i možnému fyzickému poškození vnějšími silami nebo vlivem okolního prostředí. Proto se hadice skládá minimálně ze tří základních vrstev: z vnitřní pryžové vrstvy nazývané duše, z výztužné silové kostry z textilního nebo kovového materiálu a z vnější pryžové vrstvy zvané obal.

##### 3.1.1. Duše:

Duše tvoří vnitřní vrstvu hadice, která musí být odolná vůči dopravované látce; přenáší tlak této látky na tlakovou vložku, chrání tlakovou vložku před chemickým působením.

látky a zaručuje nepropustnost hadice. Materiál duše se volí s ohledem na použití hadice a tvoří jej většinou pryž. Pryž se získává vulkanizací kaučukové směsi, přičemž vulkanizací rozumíme vytváření pevné chemické vazby mezi jednotlivými molekulami kaučuku pomocí vulkanizačního činidla při působení teploty. Jakost této vazby určuje konečné vlastnosti vulkanizátoru a je závislá na teplotě a na době, po kterou tato teplota působí. Teplota vulkanizace se pro syntetické kaučuky pohybuje v rozmezí 150 až 230°C.

Pro zajištění potřebných vlastností duše je důležitá volba vhodného základního materiálu. Používají se zde především syntetické kaučuky, méně přirodní. U hadic pro běžná použití je základem kaučukové směsi obvykle butadienstyrenový kaučuk (SBR). Složení výsledné vulkanizační směsi je různé a je závislé na požadovaných vlastnostech. Nejčastěji se skládá z síry jako vulkanizačního činidla, z organického urychlovače, zinkové bělohy a kyseliny stearové jako aktivátorů. Pro zajištění lepší zpracovatelnosti pryže, se do vulkanizační směsi přidávají změkčovadla. Do směsi je dále přidáváno plnidlo (z ekonomického hlediska), které rovněž do jisté míry ovlivňuje výsledné vlastnosti; jako plnidla se nejčastěji používají saze, dále křída, kaolin nebo uhličitan vápenatý. U hadic pracujících s vyššími tlaky (více než 15 MPa), SBR kaučuk pro své dynamické vlastnosti není příliš vhodný, proto se v těchto případech používá jako základního elastomeru butadienakrylonitrilového kaučuku (NBR). Jeho velkou výhodou je, že po vulkanizaci je odolný vůči působení olejů a paliv. Proto tvoří základ hadic pro oleje.

Z dalších materiálů se používají plastické hmoty. U hadic nízkotlakých PVC a hadic vysokotlakých polyamidy. V některých případech je duše vyráběna z termoplastických kaučuků. Pro hadice značně teplotně namáhané se s výhodou používá kaučuk chloroprenový. Jeho značnou nevýhodou však je vysoká výrobní cena. V poslední době byl vyvinut zcela nový typ kaučuku, tzv. etylénpropylénový kaučuk (EPMD), jehož použití v oblasti směsí pro výrobu hadic (pro jeho vynikající vlastnosti: vysoká odolnost proti oxidaci, chemickým činidlům, vysoké teplotě), bude v budoucnu jistě narůstat.

Na kaučukové směsi jsou kladený důležité požadavky: vysoká pevnost za syrova, (nutná vzhledem k vysokému tahu ovinovacích strojů, aby nadcházelo k deformaci nevulkanizované duše), dále odolnost vůči vysokým teplotám ( $90 + 140^{\circ}\text{C}$ ) a dosazení dobré adheze mezi duší a tlakovou vložkou popř. tlakovou vložkou s obalem, aby hadice byla po vulkanizaci vytvářena kompaktní celek.

Proto jsou vlastnosti nevulkanizované duše jedním z nejdůležitějších faktoru pro výrobu hadic a často určují celou technologii výroby hadic. Pro výrobu hadice existují v podstatě dvě základní technologie:

a) technologie trnová: používaná především pro výrobu vysokotlakých hadic. Uvnitř duše je během konfekce uložen trn s vnějším průměrem shodným s vnitřním průměrem vyráběné hadice. Konfekce hadice se provádí buď na ohebných nebo kovových trnech. Kovových trnů se používá pro menší délky hadic (do 20 m), materiál trnů bývá ocelová nebo duzalová trubka. Ohebných trnů se používá k výrobě dlouhých hadic (až 300 m) a materiál trnů je plastická hmota (polypropylen, polyamidy) nebo pryž. V poslední době většina výrobců přechází na tuto technologii, která se stává progresivnější.

b) technologie beztrnová: používaná pro výrobu nízko-tlakých hadic (např. hadice pro vodu, hadice pro svářecké plyny). V některých případech se používá pro výrobě vysokotlakých hadic speciálních, kdy je jako duše použita trubka z polyamidu.

Někdy se pro zlepšení vlastností nevulkanizované duše u vysokotlakých hadic používá ochraného opletu, který není součástí tlakové vložky, umožňuje uložení tlakové vložky tak, aby nemohlo dojít k porušení celistvosti duše. Při výrobě dlouhých hadic ( $100 + 300$  m), se duše nechrání opletou, ale ztužuje se podchlazováním na teplotu  $-40$  až  $-70^{\circ}\text{C}$ , kdy syrová duše dostane vlastnosti kovu a tlaková vložka se na duši může ukládat přímo.

### 3.1.2. Tlaková vložka:

Tlaková vložka tvoří pevnou část hadice odolnou tlakovým

silám. Druh a způsob uložení tlakové vložky udává typ hadice.

Z hlediska tlakových sil lze hadice rozdělit na: podtlakové a tlakové; a ty pak dále na vysokotlaké a nízkotlaké.

Podle použitého materiálu tlakové vložky na:

a) hadice přízové - jsou tvořeny textilním materiálem. nejčastěji se používají chemická vlákna na bázi regenerované celulozy, vyráběná viskózovou technologií. Méně potom přírodní materiály (bavlna, len). Z jiných materiálů jsou to polyamidy, polyestery, a také polyvinylalkohol. Všechny uvedené materiály se používají výhradně ve formě kordového či technického hedvábí nebo nití z něho vyrobených. V poslední době se uplatňují vlákna na bázi aromatických polyamidů, která se pevnostně vyrovnají vláknům ocelovým.

b) hadice drátové - jsou tvořeny drátem. Používá se vysokopevnostní drát (ocelový o pevnosti až 3000 MPa, o průměrech 0,25 až 0,56 mm), který musí být i dostatečně poddajný, aby umožnil co nejkvalitnější uložení tlakové vložky. Pro dosažení dobré soudržnosti s vnější vrstvou, se používá pomasazený drát. Pro hadice bez pryžového obalu se používá pozikovaný drát, který pro svou vyšší odolnost vůči povětrnostním vlivům zajistuje ochranu proti vnějšímu mechanickému poškození kostry hadice.

Důležité je dosažení dobré soudržnosti tlakové vložky s ostatními vrstvami hadice. Toho se dosahuje použitím cementů, použitím impregnované příze nebo použitím adhezivních směsí.

Podle způsobu uložení tlakové vložky se hadice dělí: na hadice oplátené, hadice ovinované, hadice zavalované a případně na hadice speciální.

1/ Hadice oplátené:

Tlaková vložka těchto hadic je tvořena přízovým nebo drátovým opletem. U přízových hadic se používají až čtyři vrstvy opletu, u drátových většinou jedna nebo dvě. Polovina přízí nebo drátů tvoří pravé spirály a druhá polovina levé spirály, které jsou mezi sebou vzájemně propleteny. Soudržnost jednotlivých vrstev se zabezpečuje u přízových opletů nanášením cementů (což jsou rezinky kaučuků v organických

rozpouštědlech) na jednotlivé oplety. U drátových opletů se soudržnost dosahuje ukládáním tenké vrstvy pryže (tzv. mezi-gumy). Prolétáním příze nebo drátu je způsoben vlnitý tvar příze nebo drátu v místě přechodu z polohy pod do polohu nad (tzv. zvlnění).

Změna úhlu mezi pravotočivou a levotočivou spirálou v opletu způsobí u hotové hadice to, že hadice při působení tlaku mění svůj objem, což je spojeno se změnou délky a průměru hadice. Na většinu hadic je kladen požadavek na minimální změny objemu. Úhel mezi osou hadice a pramenem příze či drátu se nazývá úhlem opletu  $\alpha$ . Úhel opletu, při kterém nedochází k žádné změně délky a průměru, se nazývá neutrální nebo také úhel rovnováhy  $\alpha_n$ . Hodnota tohoto úhlu je pro všechny typy a průměry hadic stejná a činí  $54^{\circ}44'$ . Tato hodnota se dá odvodit z rovnováhy sil v hadici nebo z faktu, že objem hadice je při tomto úhlu maximální. Odvození tohoto úhlu je provedeno v kapitole 3.2.5. Je-li hodnota úhlu opletu jiná než hodnota neutrálního úhlu, dochází ke změně délky a průměru hadice tak, aby hadice zaujala maximální objem a tím se hodnota úhlu opletu změnila na neutrální. To znamená, že když úhel opletu je menší než  $54^{\circ}44'$ , pak při působení vnitřního přetlaku se bude délka hadice zkracovat a průměr se bude zvětšovat, a je-li úhel opletu větší než  $54^{\circ}44'$  bude tomu naopak. V paxi se hodnota úhlu opletu neměří, ale počítá se z tzv. odtahu, což je délka hadice odpovídající jedné smyčce spirály  $t = \pi D_s / t_g \alpha$ , kde  $D_s$  je oplétaný průměr. U některých speciálních hadic je oplet hadice úmyslně uložen pod jiným úhlem než neutrálním. V těchto případech se využívá změny průměru hadice.

Pro oplétané hadice je možno si předem vypočítat tlak, při kterém dojde k porušení soudržnosti hadice (tzv. peruchový tlak). Pro jeho výpočet existují orientační vzorce, jejichž chyba však bývá až 30% /15/. Při návrhu hadice je většinou zadána hodnota peruchového tlaku, na který má být hadice vyrobena a z něho se zpětně vypočítá počet přízí nebo drátů v pramenu. U víceopletových hadic je skutečností to, že jednotlivé oplety nejsou namáhaný stejnouměrně a z celkového peruhového tlaku drží první oplet u dvoeopletových

hadic 2/3 a u tříopletových přibližně 4/7 poruchového tlaku.

#### 2/ Hadice ovinované:

Tlaková vložka je zde tvořena ovílnem z příze či drátu. Hadice mohou mít pouze sudý počet jednotlivých vrstev ovinů. U přízových hadic se dělají většinou dvě vrstvy ovinu, u drátových až šest vrstev. Polovina vrstev tvorí pravotočivé spirály, druhá polovina levotočivé a nejsou mezi sebou vzájemně propleteny. Pro dosažení soudržnosti jednostlivých vrstev ovinu se používají stejné materiály jako u opletů. Vlastnosti ovinovaných hadic jsou lepší než oplétaných, poněvadž jednotlivé vrstvy nejsou mezi sebou propleteny a nedochází ke zvlnění. Výrazné je především zlepšení dynamických vlastností hadic, tj. odolnosti hadice vůči tlakovým rázům. Úhel mezi přízí resp. drátem ve spirále a osou hadice se nazývá úhel ovinu a platí pro něj totéž jako u oplétaných. Vzhledem k stejněmernějšímu rozložení příze či drátu v ovinu oproti opletu, je u ovinovaných hadic desahováno až o 10% vyšších poruchových tlaků než u oplétaných (při náhradě jednoho opletu ekvivalentním párem ovinů). Vzhledem ke skutečnosti, že výroba ovinovaných hadic je produktivnější než výroba oplétaných a vzhledem k lepším vlastnostem těchto hadic, je jejich výroba perspektivnější a přechází se stále ve větší míře na výrobu těchto hadic.

#### 3/ Hadice zavalované:

Tlaková vložka je tvořena nabalenou textilní tkanicí z bavlny nebo syntetických přízí. Pro dosazení dobré soudržnosti mezi jednostlivými vrstvami hadice se používá tkanina s nanesenou kaučukovou směsí. Délky těchto hadic jsou omezeny délkou zařízení, na kterém je zavalování prováděno. Zavalovaná textilní vložka má plátěnou vazbu se stejným počtem podélných (útek) a příčných (osnova) nití. V případě, kdy jsou osnovní nitě rovnoběžné s osou hadice vzniká tuhá hadice, která se ale při ohnutí zploštěje. Tomu lze zabránit otočením textilu o 45°.

#### 4/ Hadice speciální:

Mimo výše uvedených základních typů tlakových vložek se

používají ještě některé speciální typy. Je to např. spirála tvořená jedním drátem. Průměr drátu je pro rozdílné průměry hadic různý. Pro nejmenší průměry hadic se používá drát o průměru 0,5 mm. Tato tlaková vložka se používá hlavně u hadic s velkým průměrem a většinou v kombinaci s tlakovou vložkou zavalovanou nebo oplétanou.

Dalším typem jsou tkané nebo pletené tlakové vložky. U tkaných tlakových vložek jsou kordové nitě vinuty pod malým stoupáním a jsou protkány podélnými přízemi. Při použití bavlny nebo syntetických přízí se dá vlášť utkat bez duše, která se vsune až před konečnou vulkanizací. Hadice tohoto typu se obvykle vyrábějí bez obalu (např. požární hadice). Pletené tlakové vložky se používají především u hadice s malým poruchovým tlakem.

V poslední době se používají tlakové vložky, které jsou součástí duše hadice. Jsou to krátká vlákna zamíchaná do směsi na duši a při vytlačování orientovaná tak, že po vulkanizaci je možno použít tétoho duší jako náhrady některých nízkotlakých hadic.

$$3.1.3. \text{ Obal: } = V_0 \left[ \frac{\Delta P}{K} + f(M_i, P) \right] \quad (3-2)$$

Obal chrání tlakovou vložku před mechanickým poškozením a chemickými účinky prostředí. Musí být proto odolný vůči prostředí, ve kterém má být hadice použita. Vnější vzhled obalu určuje norma ČSN 63 5305. Nejčastějším materiálem obalu je pryž. V poslední době se také používají plastické hmoty (PVC, polyamidy). Materiál pro obal je dán kompromisem mezi několika jeho vlastnostmi. Jsou to především: olejvzdornost, teplovzdornost, ohelnost při nízkých teplotách, odolnost vůči chemikáliím, odolnost vůči oděru, dobrá adheze k tlakové vložce a plamenuvzdornost. Pro jeho výběr platí obdobné jako pro materiál duše.

Konstrukce hadice má značný vliv na vlastnosti hadice, zejména na její deformaci při vnitřním přetlaku.

Přitopíme k vyšetření deformace u hadicového vedení.  
kde,  $C_1$  : celková hydraulická kapacita systému, daná vztahem  
3.2. Deformace hadicového vedení:

### 3.2.1. Celková deformace hadicového vedení:

Při působení vnitřního přetlaku, který se přenáší na stěny hadice pomocí dopravované látky, dochází k deformaci hadice a vzhledem k určité poddajnosti přepravované látky i k deformaci této látky. Budeme-li předpokládat, že přepravovaná látka je kapalina, potom můžeme pro celkovou deformaci psát:

$$\Delta V = V_0 [ \beta_K \cdot \Delta P + f(M_i, P) ] \quad (3-1)$$

kde:  $\Delta V$  - celková změna objemu při působení tlaku  $\Delta P$  na hadici  
 $V_0$  - objem uzavřený stěnami hadice při  $\Delta P = 0$  váním.  
 $\beta_K$  - izotermický objemový součinitel stlačitelnosti kapaliny

$f(M_i, P)$  - funkce vyjadřující vliv materiálových, geometrických

a konstrukčních parametrů stěny hadice, uzávírající dající stejný objem  $V_0$  na působícím tlaku.

Platí:

Vztah (3-1) lze dále rozepsat:

$$V = V_0 + \Delta V_S = \frac{\pi}{4} \cdot (D_o + \Delta D)^2 \cdot (l_o + \Delta l) \quad (3-6)$$

$$\Delta V = V_0 \left[ \frac{\Delta P}{K} + f(M_i, P) \right] \quad (3-2)$$

Při zanedbání elementárních veličin druhého a vyššího rádu kde:  $K$  : izotermický objemový modul pružnosti kapaliny.

Ze vztahu (3-1), (3-2) je zřejmé, že změna objemu je dána součtem (superpozicí) změny objemu vlivem stlačitelnosti kapaliny a změny objemu způsobené deformací stěny hadice.

Potom můžeme psát:

změny objemové závislosti na délce a na priméru na začátku drátu, když je drát posazen v mírnou polohu drátu a směrem kolmo k osi hadice. Odvození je provedeno za následujících předpokladů:

$\Delta V_K$  : deformace objemu kapaliny

$\Delta V_S$  : deformace stěny hadice

V případě, že změny jsou lineární platí:

(příslušná křivka hadice předpokládáme, že se skládá z křížících se vrstev prýží založených kordových vláken)

$$\Delta V = V_0 \left[ \frac{1}{K} + f(M_i) \right] \Delta P = C_h \cdot \Delta P \quad (3-4)$$

Vzhledem k modulům pružnosti obou materiálů (prýži a kordu), kde,  $C_h$  : celková hydraulická kapacita systému, daná vztahem:

Deformace probíhá bez změny délky nití kordu. Deformace tedy

probíhá změnou vlnou kosočtverci vytvořených nitěmi kordu sousedního vlnového pásmo

$$C_h = C_K + C_S = \frac{V_0}{K} + V_0 \cdot g(M_i) \quad (3.5)$$

Dále předpokládáme, že napětí v pryži jsou velice malé kde  $C_S$ ,  $C_K$  : hydraulická kapacita stěn vedení, kapaliny.

Už jsme výše vyšetřili deformaci objemu kapaliny  $\Delta V_K$  a víme, že můžeme deformaci objemu kapaliny nebo izotermický objemový modul pružnosti kapaliny  $K$  zjistit za předpokladu, že změna objemu kapaliny při působení tlaku je malá a lineární (viz. kap. 2.). Nemůžeme však matematicky vypočítat  $\Delta V_S$  hadice, protože nemáme k dispozici  $f(M_i, P)$  ani hydraulickou kapacitu stěn hadice  $C_S$ . Musíme proto deformaci stěny hadice  $\Delta V_S$  zjistit teoreticko-experimentálním vyšetřováním. V další budeme vyšetřovat deformaci pouze stěny hadice.

### 3.2.2. Deformace stěny hadicového vedení:

Pro deformaci stěny hadice o počáteční délce  $\ell_0$  odpovídající stoupání šroubovice navinutého vlákna na počátečním průměru  $D_0$ , platí:

$$V = V_0 + \Delta V_S = \frac{\pi}{4} \cdot (D_0 + \Delta D)^2 \cdot (\ell_0 + \Delta \ell) \quad (3.6)$$

Při zanedbání elementárních veličin druhého a vyššího řádu obdržíme:

$$\Delta V_S = V_0 \left( 2 \frac{\Delta D}{D_0} + \frac{\Delta \ell}{\ell_0} \right) \quad (3.7)$$

Nyní odvodíme závislost zařízeny délky a změny průměru na změně úhlu  $\beta$ , kde  $\beta$  je úhel mezi spirálou příze či drátu a směrem kolmým k ose hadice. Odvození je provedeno za následujících předpokladů:

Vzhledem k vlastní konstrukci hadice předpokládáme, že veškeré tlakové působení zachycuje tlaková vložka, která se skládá z křížících se vrstev pryží založitých kordových vláken (prízových, drátových).

Vzhledem k modulům pružnosti obou materiálů (pryž 1 až 5 MPa, textilní kord 1000 až 2000 MPa) předpokládáme, že deformace probíhá beze změny délky nití kordu. Deformace tedy

probíhá změnou úhlů kosočtverců vytvořených nitěmi kordu sousedních vrstev (viz. obr. 3 - 1).

Dále předpokládáme, že napětí v pryži jsou velice malá ve srovnání s napětími ve vláknech (nitích) kordu. To znamená, že veskeré silové působení se přenáší pouze pomocí vláken.

$L$  : délka vlákna odpovídající stoupání šroubovice.  
Dle dle (3 - 7) obdržíme:

element před deformací

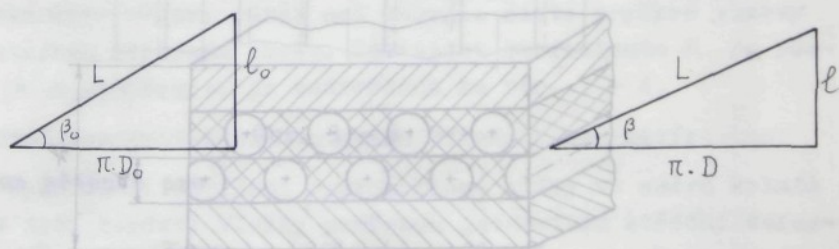
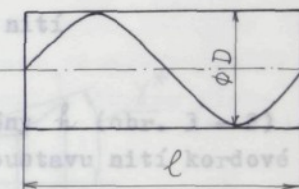
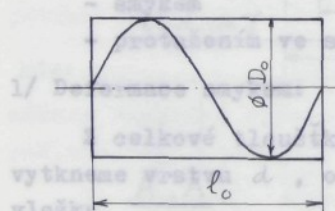
element po deformaci

$$\Delta V_S = V_0 \cdot \left( 2 \frac{\cos \beta}{\cos \beta_0} + \frac{\sin \beta}{\sin \beta_0} - 3 \right) \quad (3 - 10)$$

Dle výše uvedené změny  $\beta$  na působícím tlaku.

předpoklad je proveden za určitých zjednodušení působení. Tak třeba je řečeno, že při působení země na vlny délky  $\lambda$  je vlnová různost konstantní v celém rozsahu deformace. Tento předpoklad je vlastně roviny v místech výskytu kosočtvercového elementu.

výskytu kosočtvercového elementu v podstatě dvěma způsoby:  
- smykovým



Obr. 3 - 1

Smyková deformace prýmekordové stěny je dána středním

(jmenovitě) záležitost vyplývá: Jak vyplývá z obr. 3 - 3, je zkos  
pryže mezi vlákny v řezu A - A dán vztahem:

$$\varepsilon_D = \frac{D - D_0}{D_0} = \frac{\cos \beta - \cos \beta_0}{\cos \beta_0} \quad (3 - 8)$$

$$\varepsilon_\ell = \frac{\ell - \ell_0}{\ell_0} = - \frac{\sin \beta - \sin \beta_0}{\sin \beta_0} \quad (3 - 9)$$

kde:

J : úhel určující polohu řezu

kde, L : délka vlákna odpovídající stoupání šroubovice.

Dosadíme-li do (3 - 7), obdržíme:

Deformační energie vrstvy při mykém namáhání je rovná:

$$\Delta V_S = V_0 \cdot \left( 2 \frac{\cos \beta}{\cos \beta_0} + \frac{\sin \beta}{\sin \beta_0} - 3 \right) \quad (3 - 10)$$

Dále odvodíme závislost změny  $\beta$  na působícím tlaku.

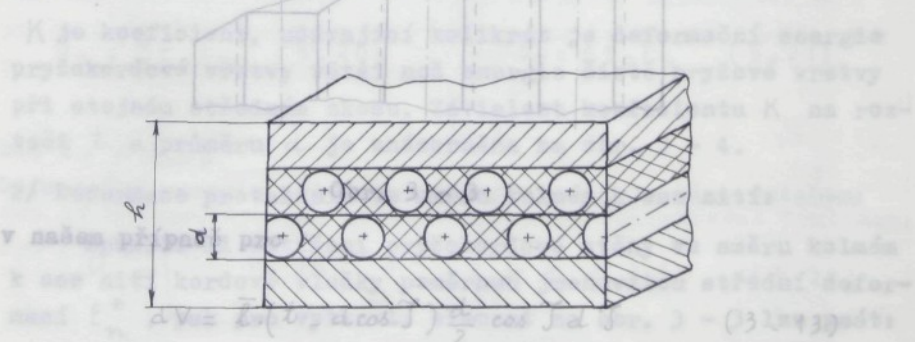
Výpočet je proveden za určitých zjednodušujících předpokladů. Jak již bylo řečeno, prostá deformace bez změny délky vláken. Modul pružnosti je konstantní v celém rozsahu deformace. Dále výpočet předpokládá roviný stav napjatosti.

Z toho je zřejmé, že kosočtverečné elementy pryžokordové vrstvy jsou namáhaný v podstatě dvěma způsoby:

- smykem
- protažením ve směru kolmém k ose nití

#### 1/ Deformace smykem:

Z celkové tloušťky pryžokordové stěny  $h$  (obr. 3 - 2) vytkneme vrstvu  $d$ , obsahující jednu soustavu nití kordové vložky.



kde  $\bar{\ell}$  : délka výtky Obr. 3 - 12 mentu pedál nití a proplatí

(3 - 11). Předpokládáme, že myková deformace pryžokordové stěny je dána středním

(jmenovitým) zkosem  $\gamma^*$ . Jak vyplývá z obr. 3 - 3, je zkosa prýže mezi vlakny v řezu A - A dán vztahem:

$$du = \frac{G_p \cdot \gamma^2}{\gamma} = \gamma^* \frac{G_p \cdot \bar{l} \cdot t \cdot d}{2t} \cdot \frac{1}{t - d \cos \bar{\gamma}} \quad (3 - 11)$$

kde:

$\bar{\gamma}$ : úhel určující polohu řezu  
jemu přezekordové vlně vypočtenou délku  $\bar{l}$ , tloušťkou d

a roztečí  $t$  vztahem:

$d$ : průměr vláken

Deformační energie vrstvy při snykovém návnáhání je rovna:

$$U_1 = \int_{-\frac{\pi}{2}}^{\frac{\pi}{2}} du = \frac{G_p \cdot \gamma^2}{2} \cdot \int_{-\frac{\pi}{2}}^{\frac{\pi}{2}} \frac{1}{t - d \cos \bar{\gamma}} d\bar{\gamma} \quad (3 - 12)$$

je předpokladu, že vložení vlny do nulového místu počítáme

$$\frac{G_p \cdot \gamma^2 \cdot \bar{l} \cdot t^2}{2} \cdot \arctg \left[ \frac{t + d}{\bar{l} - d} \right] - \frac{\pi}{2} \quad (3 - 15)$$

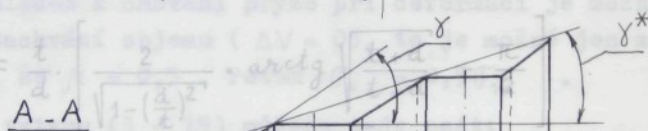


a energie vzniklá vložením vlny do nulového místu bude:

$$W_1 = U_1 + \frac{G_p \cdot \gamma^2 \cdot \bar{l} \cdot t^2}{2} \cdot \arctg \left[ \frac{t + d}{\bar{l} - d} \right] - \frac{\pi}{2} \quad (3 - 16)$$

kde:

$$K = \frac{t}{d} \cdot \frac{1}{2} \cdot \arctg \left[ \frac{t + d}{\bar{l} - d} \right] \quad (3 - 17)$$



K je koeficient, který vždyjí když je deformační energie prýzkordové vrstvy stejná než energie čisté prýžové vrstvy při stejném zkose. Vzhledem k gradientu K na rozteči t a průměru d je znázorněna na obr. 3 - 4.

2/ Deformační protažení Obr. 3 - 3 kolmá k osě nití: takto v našem případě protažení prýzkordové stěny ve směru kolmém k osě nití kordové vložky poměru jmenovité střední deformačí  $\epsilon_n^*$   $dV = \bar{l} \cdot (t \cdot d \cos \bar{\gamma}) \frac{d}{2} \cos \bar{\gamma} d \bar{\gamma}$  (3 - 13) platí:

kde  $\bar{l}$  : délka vytknutého elementu podél nití a pro  $\gamma$  platí  $(3 - 11)$ . Potom obdržíme:

$$dU = \frac{G_P}{2} \cdot \gamma^2 \cdot dV = \frac{G_P}{2} \cdot \gamma^2 \cdot \frac{\bar{l} \cdot t^2 \cdot d}{2(t - d \cdot \cos \bar{\gamma})} \cdot \cos \bar{\gamma} \cdot d\bar{\gamma} \quad (3-14)$$

Deformační energie při smykovém namáhání akumulovaná v objemu pryžokordové vrstvy vymezeném délou  $\bar{l}$ , tloušťkou  $d$  a roztečí  $t$ , je dána vztahem:

$$U_I = \int_{-\frac{\pi}{2}}^{+\frac{\pi}{2}} dU = \frac{G_P}{2} \cdot \gamma^2 \cdot \frac{\bar{l} \cdot t^2 \cdot d}{2} \cdot \int_{-\frac{\pi}{2}}^{+\frac{\pi}{2}} \frac{1.0 \cos \bar{\gamma}}{t - d \cos \bar{\gamma}} \cdot d\bar{\gamma} =$$

Obr. 3 - 4

Za předpokladu, že prodloužení vlneného nulové, můžeme psát:

$$\frac{G_P}{2} \cdot \gamma^2 \cdot \bar{l} \cdot t^2 \left[ \frac{2}{\sqrt{1 - (\frac{d}{t})^2}} \cdot \operatorname{arctg} \sqrt{\frac{t+d}{t-d}} - \frac{\pi}{2} \right] \quad (3-15)$$

a energie vztavená na jednotku povrchu vrstvy bude:

potom:  $W_\gamma = \frac{U_I}{\bar{l} \cdot t} = K \cdot d \cdot \frac{G_P \cdot \gamma^2}{2} \quad (3-16)$

kde: Vzhledem k chování pryže při deformaci je možno použít zákona zachávání objemu ( $\Delta V = 0$ ) je možné jen za předpokladu, že  $K = \frac{t}{d} \cdot \left[ \frac{2}{\sqrt{1 - (\frac{d}{t})^2}} \cdot \operatorname{arctg} \sqrt{\frac{t+d}{t-d}} - \frac{\pi}{2} \right]$ .  $(3-17)$

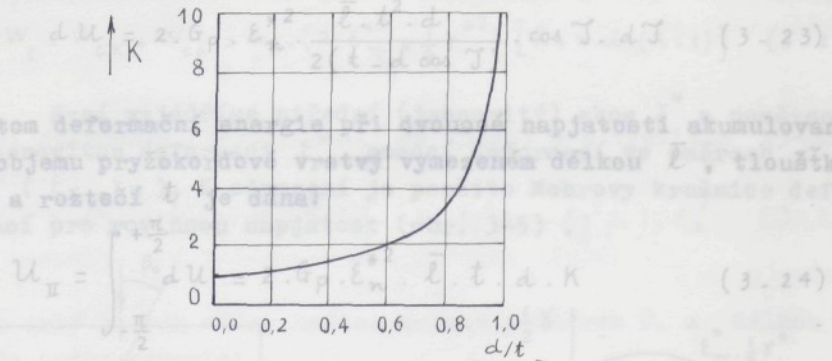
Ze vztahu  $(3-19)$  můžeme tedy psát:

$K$  je koeficient, udávající kolikrát je deformační energie pryžokordové vrstvy větší než energie čistě pryžové vrstvy při stejném středním zkusu. Závislost koeficientu  $K$  na rozteči  $t$  a průměru  $d$  je znázorněna na obr. 3 - 4.

2/ Deformace protažením ve směru kolmém k ose nití: tahem:

Způsobí-li zatížení pryžokordové stěny ve směru kolmém k ose nití kordové vložky poměrnou jmenovitou střední deformací  $\varepsilon_n^*$ , pak pro vytknutý element na obr. 3 - 3 lze psát:

V našem případě  $\varepsilon_n = \varepsilon_n^* \cdot \frac{t}{t - d \cdot \cos \bar{\gamma}}$   $(3-13), (3-18) \quad (3-18)$   
a  $(3-21)$  vyplývá:



Potom deformační energie při dvouosé napjatosti akumulovaná v objemu prýžekordové vrstvy výměrem délky  $\bar{L}$ , tloušťkou  $d$  a roztaží  $t$  je daná vztahem:

$$U_{II} = \int_{-\frac{\pi}{2}}^{\frac{\pi}{2}} d U_{II} \cdot d \cdot \bar{L} \cdot t \cdot d \cdot K \quad (3-24)$$

kde  $K$  je koeficient daný vztahem (3-17).

Obr. 3 - 4

Energie vztázená na jednotku povrchu vrstvy bude:

Za předpokladu, že prodloužení vláken je nulové, můžeme psát:

$$W_E = \frac{U_{II}}{\bar{L} \cdot t} = 2 \cdot G_p \cdot E_n^{*2} \cdot d \cdot K \quad (3-25)$$

$$\varepsilon_o = \frac{1}{E_p} \cdot (\sigma_o - \mu \sigma_n) = 0 ,$$

### 3.2.3. Celková deformační energie:

Je-li prýžekordová vrstva současně snykovou a normálnou deformační energii stanovit potom:  $\varepsilon_n = \frac{\sigma_n}{E_p} \cdot (1 - \mu^2)$  takže celková deformační energie akumulovaná v objemu prýžekordové vrstvy vztázená na jedno Vzhledem k chování prýže při deformaci je možno použít zákona zachvání objemu ( $\Delta V = 0$ ), to je možné jen za předpokladu, že  $\mu = 0,5$ . Potom  $\sigma_o = 0,5 \sigma_n$ . (3-26)

Ze vztahu (3 - 19) můžeme tedy psát:

Máme-li hodici o celkové tloušťce stěny  $n$  skládající se z  $n$  prýžekordových vrstev a dalších vrstev (viz. obr. 3-2), pak pro prýžekordovou vrstvu platí:  $\sigma_o = \frac{2}{3} E_p \varepsilon_n$  (3-21)

$$W_c = n (W_e + W_t) = n K d \cdot G_p \left( 2 E_n^{*2} + \frac{1}{2} Y^{*2} \right) \quad (3-27)$$

kde  $E_p = 3 \cdot G_p$

Deformační energie při dvouosé napjatosti je dána vztahem: což je celková energie akumulovaná v prýžekordových vrstvách.

Pro průvodové vrstvy platí:  $U = \int \frac{1}{2E} \cdot (\sigma_o^2 + \sigma_n^2 - 2\mu \sigma_o \sigma_n) dV \quad (3-22)$

$$W_{ep} = G_p \cdot \int (V) \cdot n \cdot d \cdot \left( 2 E_n^{*2} + \frac{1}{2} Y^{*2} \right) \quad (3-28)$$

V našem případě s použitím vztahů (3 - 13), (3 - 18), (3-20) a (3 - 21) vyplývá:

celková energie akumulovaná v objemu hadice o tloušťce  $d$  vztázená na jednotku povrchu stěny bude:

$$W_c dU = 2 \cdot G_p \cdot \varepsilon_n^{*2} \cdot \frac{\bar{l} \cdot t^2 \cdot d}{2(t - d \cos \gamma)} \cdot \cos \gamma \cdot d\gamma \quad (3-23)$$

Potom deformační energie při dvouosé napjatosti akumulovaná v objemu pryžokordové vrstvy vymezeném délkom  $\bar{l}$ , tloušťkou  $d$  a roztečí  $t$  je dána:

$$U_{II} = \int_{-\frac{\pi}{2}}^{+\frac{\pi}{2}} dU = 2 \cdot G_p \cdot \varepsilon_n^{*2} \cdot \bar{l} \cdot t \cdot d \cdot K \quad (3-24)$$

kde  $K$  je koeficient daný vztahem (3-17).

Energie vztavená na jednotku povrchu vrstvy bude:

$$W_\varepsilon = \frac{U_{II}}{\bar{l} \cdot t} = 2 \cdot G_p \cdot \varepsilon_n^{*2} \cdot d \cdot K \quad (3-25)$$

### 3.2.3. Celková deformační energie:

Je-li pryžokordová vrstva namáhána současně smykovou a normálnou deformací, je možné deformační energii stanovit jako součet těchto dílčích energií, takže celková deformační energie akumulovaná v objemu pryžokordové vrstvy vztavená na jednotku povrchu vrstvy bude:

$$W = W_\gamma + W_\varepsilon = K \cdot d \cdot G_p \cdot \left( 2 \cdot \varepsilon_n^{*2} + \frac{1}{2} \gamma^{*2} \right) \quad (3-26)$$

Dále odvodíme závislost mezi deformacemi  $\gamma$  a  $\varepsilon$ .  
Máme-li hadici o celkové tloušťce stěny  $h$  skládající se z  $n$  pryžokordových vrstev a dalších vrstev (viz. obr. 3-2), pak pro pryžokordové vrstvy platí:

$$W_{CK} = n(W_\gamma + W_\varepsilon) = n \cdot K \cdot d \cdot G_p \cdot \left( 2 \cdot \varepsilon_n^{*2} + \frac{1}{2} \gamma^{*2} \right) \quad (3-27)$$

což je celková energie akumulovaná v pryžokordových vrstvách.  
Pro pryžové vrstvy platí:

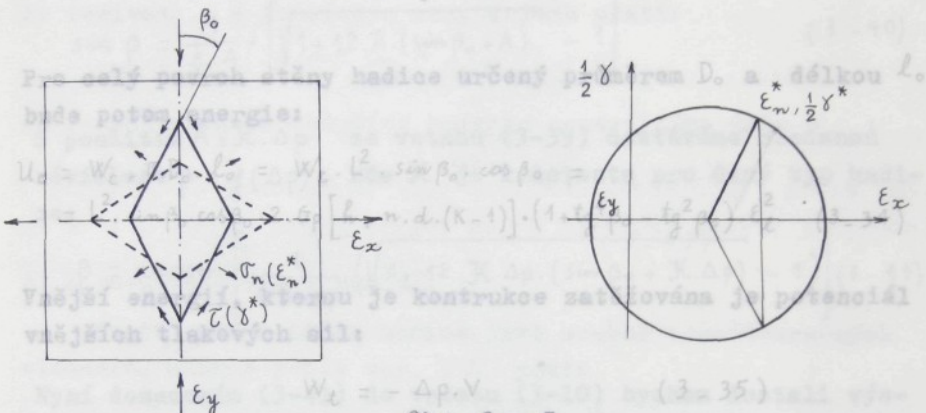
$$W_{CP} = G_p \cdot (h - n \cdot d) \cdot \left( 2 \cdot \varepsilon_n^{*2} + \frac{1}{2} \gamma^{*2} \right) \quad (3-28)$$

Potom celková energie akumulovaná v objemu hadice o tloušťce  $h$  vztavená na jednotku povrchu stěny bude:

Za předpokladu nulového prodloužení vláken ( $\varepsilon_x = 0$ ) obdržíme:

$$W_c = W_{CK} + W_{CP} = G_p \cdot (2 \cdot \varepsilon_n^{*2} + \frac{1}{2} \gamma^{*2}) \cdot [h + n.d.(K-1)] \quad (3-29)$$

Nyní vyjádříme střední (jmenovitý) zkos  $\gamma^*$  a poměrnou jmenovitou deformaci  $\varepsilon_n^*$  pomocí deformací ve směrech  $x$  a  $y$  ( $\varepsilon_x, \varepsilon_y$ ). K odvození je použito Mohrovy kružnice deformací pro rovinou napjatost (obr. 3-5)  $\tan^2 \beta_0 \cdot \varepsilon_x - \varepsilon_y$  (3-33)



Obr. 3-5

Celková energie bude potom dělena součtem energie potenciální a kinetické. Z obr. 3-5 vyplývají vztahy:

$$E = U_c + W_t \quad \gamma^* = (\varepsilon_x - \varepsilon_y) \cdot 2 \cdot \sin \beta_0 \cdot \cos \beta_0 \cdot [h + n.d.(K-1)] \quad (3-30)$$

$$\varepsilon_n^* = \varepsilon_x \cdot \cos^2 \beta_0 + \varepsilon_y \cdot \sin^2 \beta_0 \quad (3-31)$$

kde je využito vztahu (3-9) a pro objem  $V$  platí:

Dále odvodíme závislost mezi deformacemi  $\varepsilon_x$  a  $\varepsilon_y$ :

$$V = \frac{\pi D^2}{4} \ell = \frac{L^3}{48} \cdot \cos^2 \beta_0 \cdot \sin \beta_0 \quad (3-37)$$

$$z^2 = x^2 + y^2 ,$$

$$x = z \cdot \sin \beta_0 ,$$

$$y = z \cdot \cos \beta_0 , \text{ minimální celkové}$$

$$dx = dz \cdot \sin \beta_0 ; \quad dy = dz \cdot \cos \beta_0 ;$$

$$z^2 = z^2 \sin^2 \beta_0 + z^2 \cos^2 \beta_0 ,$$

$$2zdz = 2z \cdot dz \sin^2 \beta_0 + 2z \cdot dz \cos^2 \beta_0 ,$$

$$\frac{dz}{z} = \frac{dz}{z} \cdot \sin \beta_0 \cdot \sin \beta_0 + \frac{dz}{z} \cdot \cos \beta_0 \cdot \cos \beta_0 ,$$

$$L^2 \sin \beta_0 \cdot \cos \beta_0 \cdot 2G_p \cdot [h + n.d.(K-1)] \cdot (1 + \tan^2 \beta_0) \cdot \frac{1}{\sin \beta_0} \cdot \cos \beta_0 \cdot$$

$$2 \cdot (\sin \beta_0 - \sin \beta_0) - \Delta p \cdot \frac{L}{48} \varepsilon_z = \varepsilon_x \cdot \sin^2 \beta_0 + \varepsilon_y \cdot \cos^2 \beta_0 .$$

Za předpokladu nulového prodloužení vláken ( $\varepsilon_x = 0$ ) obdržíme:

$$\varepsilon_y = -\varepsilon_x \cdot \operatorname{tg}^2 \beta_0$$

Nyní dosazením (3-30), (3-31) do (3-29) a s využitím (3-32) obdržíme:

$$W_c = 2 \cdot G_p \cdot [h + n \cdot d \cdot (K-1)] \cdot (1 + \operatorname{tg}^4 \beta_0 - \operatorname{tg}^2 \beta_0) \cdot \varepsilon_x^2 \quad (3-33)$$

$$\sin \beta = \frac{1}{\sqrt{1 + 12 \cdot A \cdot (\sin \beta_0 + A)}} \quad (3-40)$$

Pro celý povrch stěny hadice určený průměrem  $D_o$  a délkom  $l$ , bude potom energie:

$$U_c = W_c \cdot \pi D_o \cdot l_o = W_c \cdot L^2 \cdot \sin \beta_0 \cdot \cos \beta_0 = \text{dána pro daný typ hadice} \\ = L^2 \cdot \sin \beta_0 \cdot \cos \beta_0 \cdot 2 \cdot G_p [h + n \cdot d \cdot (K-1)] \cdot (1 + \operatorname{tg}^4 \beta_0 - \operatorname{tg}^2 \beta_0) \cdot \varepsilon_e^2 \quad (3-34)$$

Vnější energií, kterou je konstrukce zatěžována je potenciál vnějších tlakových sil:

$$W_t = -\Delta p \cdot V \quad (3-35)$$

Celková energie bude potom dána součtem energie potenciální a energie deformační: je zřejmé, že změna objemu splňuje

$$E = U_c + W_t = L^2 \cdot \sin \beta_0 \cdot \cos \beta_0 \cdot 2 \cdot G_p [h + n \cdot d \cdot (K-1)] \cdot (1 + \operatorname{tg}^4 \beta_0 - \operatorname{tg}^2 \beta_0) \cdot \left( \frac{\sin \beta - \sin \beta_0}{\sin \beta_0} \right)^2 - \Delta p \cdot \frac{L^3}{4\pi} \cdot \cos^2 \beta \cdot \sin \beta \quad (3-36)$$

kde je využito vztahu (3-9) a pro objem  $V$  platí: (3-42)

$$V = \frac{\pi D^2}{4} l = \frac{L^3}{4\pi} \cdot \cos^2 \beta \cdot \sin \beta \quad (3-37)$$

3.2.4. Závislost změny úhlu  $\beta$  na působícím tlaku:

Závislost  $\beta = f(\Delta p)$  dostaneme z podmínky minima celkové energie systému. To je:

$$\frac{\partial E}{\partial \beta} = 0$$

Po derivaci obdržíme:  $\alpha = \frac{\pi}{2} - \beta$

$$L^2 \cdot \sin \beta_0 \cdot \cos \beta_0 \cdot 2 \cdot G_p [h + n \cdot d \cdot (K-1)] \cdot (1 + \operatorname{tg}^4 \beta_0 - \operatorname{tg}^2 \beta_0) \cdot \frac{1}{\sin^2 \beta_0} \cdot \cos \beta \\ \cdot 2 \cdot \left( \frac{\sin \beta - \sin \beta_0}{\sin \beta_0} \right)^2 - \Delta p \cdot \frac{L^3}{4\pi} \cdot (\cos^3 \beta - 2 \cdot \cos \beta \cdot \sin^2 \beta) = 0$$

Úpravou vyplývá:

$$\sin \beta_0 - \sin \beta_0 - A \cdot (1 - 3 \sin^2 \beta) = 0 \quad (3-38)$$

kde:

$$A = \frac{\tan \beta_0}{16\pi \cdot (1 + \tan^2 \beta_0 - \tan^2 \beta)} \cdot \frac{\Delta p \cdot L}{G_p \cdot [h + n \cdot d \cdot (K-1)]} = K \cdot \Delta p \quad (3-39)$$

Z rovnice (3-38) obdržíme:

$$\sin \beta = \frac{1}{6 \cdot A} \cdot \left[ \sqrt{1 + 12 \cdot A \cdot (\sin \beta_0 + A)} - 1 \right] \quad (3-40)$$

S použitím  $A = K \cdot \Delta p$  ze vztahu (3-39) dostáváme hledanou závislost  $\beta = f(\Delta p)$ , kde  $K$  je konstanta pro daný typ hadice:

$$\beta = \arcsin \left[ \frac{1}{6 \cdot K \cdot \Delta p} \cdot \left( \sqrt{1 + 12 \cdot K \cdot \Delta p \cdot (\sin \beta_0 + K \cdot \Delta p)} - 1 \right) \right] \quad (3-41)$$

Nyní dosazením (3-41) do vztahu (3-10) bychom dostali výslednou změnu objemu hadice při působení vnitřního přetlaku.

Z předvedeného výpočtu je zřejmé, že změna objemu způsobená deformací stěny hadice je vedle působícího tlaku závislá tež na materiálových, geometrických a konstrukčních parametrech hadice. Můžeme tedy psát:

$$\Delta V_s = F(\beta_0, L, h, n, d, t, G_p, \Delta p) \quad (3-42)$$

Pro deformaci hadice o počáteční délce  $l_{0H}$  je potřeba do výpočtu tuto délku zahrnout. Ta se projeví ve zvětšení konstanty  $K$  o hodnotu  $\frac{l_{0H}}{l_0}$ , krát větší a v dosazení příslušného počátečního objemu  $V_0$ .

### 3.2.5. Neutrální úhel opletu:

Pod pojmem úhel opletu rozumíme úhel mezi osou hadice a spirálou tvořenou pramenem příze či drátu. Platí pro něj:

$$\alpha = \frac{\pi}{2} - \beta$$

Při neutrálním úhlu opletu (úhlu rovnováhy) nedochází při působení vnitřního přetlaku ke změnám délky resp. průměru hadice (pozn. nemáme-li ovšem na myslu změnu průměru

danou deformací vnitřní prýžové vrstvy-duše). Hodnotu tohoto úhlu lze odvodit z podmínky, že objem hadice při tomto úhlu je maximální, nebo z rovnováhy sil v hadici.

a) Z podmínky maximálního objemu:

Podle vzorce (3-37) máme:

$$V = \frac{L^3}{4\pi} \cdot \cos^2 \beta \cdot \sin^2 \beta \quad (3-47)$$

Po derivaci a s podmínkou max. objemu platí:

$$\frac{\partial V}{\partial \beta} = \frac{L^3}{4\pi} \cdot (-2 \cos \beta \cdot \sin^2 \beta + \cos^3 \beta) = 0$$

Po řešení rovnice obdržíme hodnotu neutrálního úhlu  $\alpha_n$ :

$$\operatorname{tg}^2 \beta_n = \frac{1}{2}, \quad \beta_n = 35^\circ 15' 52''$$

*v případě konstrukce bude zatížena symetricky, potom směry x a y budou vlastně směry hlevních napětí a myková síla bude nutná. Platí tedy:*

$$\alpha_n = 54^\circ 44' 08'' \quad (3-43)$$

b) Z rovnováhy sil v hadici:

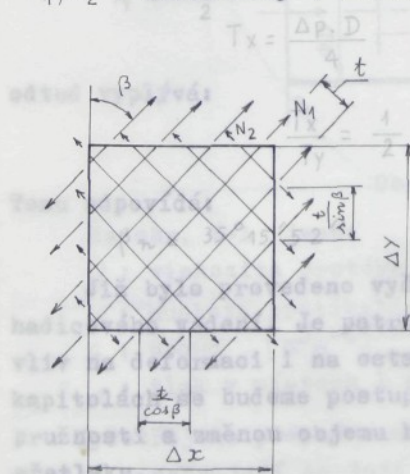
Uvažujeme-li stěnu hadice jako soubor kosočtverečných elementů, můžeme podle obr. 3-6 psát:

$$F_{VY} = (N_1 + N_2) \cdot \cos \beta \cdot \frac{\Delta x \cdot \cos \beta}{t} \cdot \frac{n}{2} \quad (3-44)$$

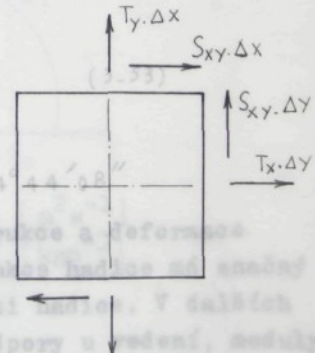
kde: uvažujeme-li hadici jako tenkostěnnou válcovou nádobu, pak při zatížení: počet vrstev

výsledná síla působící na řez  $\Delta x$  elementu  $\Delta x \cdot \Delta y$

$N_1, N_2$ : osové síly v nitích jdoucích směry 1, 2



$$(3-52)$$



$$(3-53)$$

Obr. 3 - 6

Tuto sílu lze vyjádřit pomocí intenzity  $T_y$  sil vztažených na jednotku délky řezu. Potom :

$$F_{vy} = T_y \cdot \Delta x \quad (3-45)$$

$$T_y = \frac{n}{2t} \cdot (N_1 + N_2) \cdot \cos^2 \beta \quad (3-46)$$

obdobně sílu  $F_{vx}$  působící na řez  $\Delta y$  pomocí intenzity  $T_x$  :

$$F_{vx} = T_x \cdot \Delta y \quad (3-47)$$

$$T_x = \frac{n}{2t} \cdot (N_1 + N_2) \cdot \sin^2 \beta \quad (3-48)$$

Pro smykovou sílu  $S_{xy}$  namáhající element  $\Delta x \cdot \Delta y$  platí:

$$S_{xy} = \frac{n}{2t} \cdot (N_1 - N_2) \cdot \sin \beta \cdot \cos \beta \quad (3-49)$$

V případě, že konstrukce bude zatižena symetricky, potom směry  $x$  a  $y$  budou představovat směry hlavních napětí a smyková síla bude nulová. Platí tedy:

$$N_1 = N_2 ; \quad T_y = \frac{n}{t} \cdot N \cos^2 \beta ; \quad T_x = \frac{n}{t} \cdot N \cdot \sin^2 \beta$$

Z toho vyplývá závislost mezi intenzitami sil  $T_x$  a  $T_y$  :

$$T_x = T_y \cdot \tan^2 \beta \quad (3-50)$$

Uvažujeme-li hadici jako tenkostěnu válcovou nádobu, pak při zatižení vnitřním přetlakem vzniknou v nádobě obvodové a osové síly o intenzitách:

$$T_y = \frac{\Delta p \cdot D}{2} \quad (3-51)$$

$$T_x = \frac{\Delta p \cdot D}{4} \quad (3-52)$$

odtud vyplývá:

$$\frac{T_x}{T_y} = \frac{1}{2} \quad (3-53)$$

Tomu odpovídá:

$$\beta_n = 35^\circ 15' 52'' ; \quad \alpha_n = 54^\circ 44' 08''$$

Již bylo provedeno vyšetření konstrukce a deformace hadicového vedení. Je patrné, že konstrukce hadice má značný vliv na deformaci i na ostatní vlastnosti hadice. V dalších kapitolách se budeme postupně zabývat odpory u vedení, moduly pružnosti a změnou objemu hadicového vedení při vnitřním přetlaku. neprojeví se její vliv na velikost odporu. V tomto

#### 4. ODPORY VE VEDENÍ:

K přeměně energie dochází na odporech, působících proti přenosu energie. Pod pojmem odpor se rozumí schopnost prvku přeměnit tlakovou energii na některou jinou formu energie. Při přenosu energie se vyskytuje tři druhy odporu:

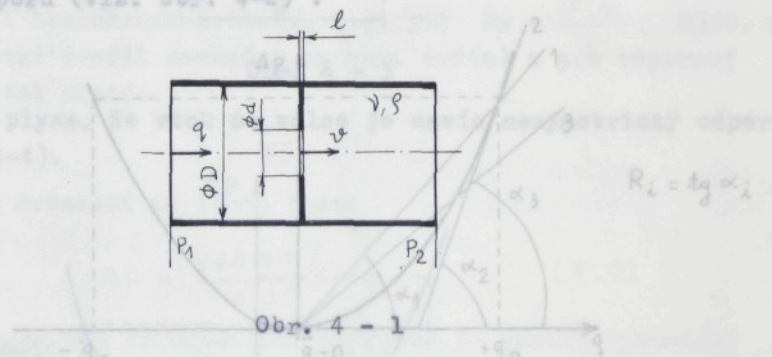
1. odpor proti pohybu kapaliny  $R$
2. odpor proti zrychlení  $H$
3. odpor proti deformaci  $D$

4.1. Odpor proti pohybu kapaliny  $R$ :

Do této skupiny odporů řadíme odpory, na kterých se přeměnuje energie vlivem tření při relativním pohybu částí prvků či kapaliny. Jeho elektrickou analogií je ohmický odporník. Tyto odpory jsou dvojího druhu:

- a) odpory místní
  - b) odpory rozložené
- a) Místní odpory:

Místní odpory jsou způsobené změnou průtočného průřezu nebo směru proudu. Nejsou uvažovat tři způsoby linearizace místního odporu (viz. obr. 4-2):



Na obr. 4-1 jsou:

$\nu$ : výskozita protékající kapaliny [ $m^2 s^{-1}$ ]

$\rho$ : hustota protékající kapaliny [ $kg m^{-3}$ ]

$q$ : proud [ $m^3 s^{-1}$ ]

$P_{1,2}$ : tlak v místech 1 a 2 [ $N m^{-2}$ ]

Vyšetřujeme případ naznačený na obr. 4-1, kde délka je malá a neprojeví se její vliv na velikost odporu. V tomto

případě můžeme pro tlakovou ztrátu  $\Delta p = p_1 - p_2$  psát:

$$\Delta p = \xi \cdot \frac{\rho}{2} \cdot v^2 = \xi \cdot \frac{\rho}{2} \cdot \left( \frac{q}{A} \right)^2 \quad (4-1)$$

V obvodu mechanismu SPK se místní odpor uplatňuje hlavně kde  $\xi$ : ztrátový součinitel Tento odpor je závislý na konkrétním druhu vtoku do válce a na poloze pistu, t.j.

$A = \frac{\pi d^2}{4}$  Ztrátový součinitel  $\xi$  závisí na mnoha faktorech, které lze analiticky velmi těžko poстиhnout a proto se při výpočtech vychází z empiricky zjištěných hodnot.

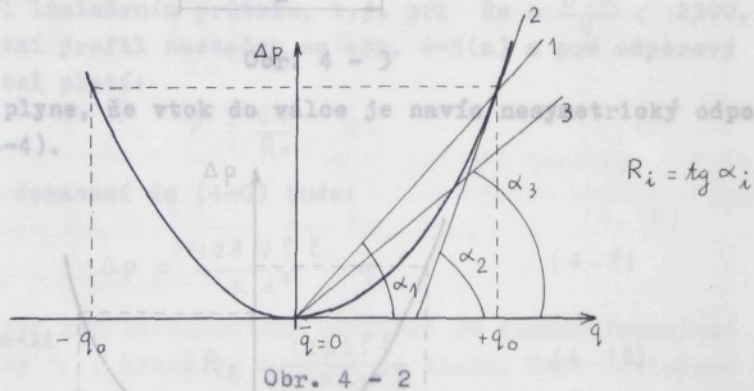
Zavedením pojmu hydraulického odporu  $R_m$ , který definujeme:

$$R_m = \xi \frac{\rho}{2A^2} = 0,4 \frac{\rho}{2} \left( \frac{1}{A_1} + \frac{1}{A_2} \right)^2$$

můžeme pro tlakový spád psát:

$$\Delta p = R_m q^2 \quad (4-3)$$

Tuto nelineární závislost je obvykle potřeba linearizovat. V podstatě můžeme uvažovat tři způsoby linearizace místního odporu (viz. obr. 4-2) :



1- sečnou z  $\bar{q} = 0$  do  $q_0$ :

$$R_1 = R_m \cdot q_0 = \xi \cdot \frac{\rho}{2A^2} \cdot q_0 \quad (4-4)$$

2- tečnou v  $q_0$ :

$$R_2 = \left. \frac{\partial \Delta p}{\partial q} \right|_{q_0} = \xi \frac{\rho}{A^2} \cdot q_0 \quad (4-5)$$

3- z rovnosti ztracených výkonů plyne:

$$R_3 = \frac{2}{3} R_m \cdot q_0 = \xi \frac{g}{3A^2} q_0 \quad (4-6)$$

vedení a třídy kapaliny o státní  
sebou.

V obvodu mechanismu SPK se místní odpor uplatňuje hlavně v místech vtoku do válce. Tento odpor je závislý na konkrétním provedení vtoku do válce a na poloze pistu, t.j. vzdálenosti pistu ode dna válce. Např. pro centrický vtok (obr. 4-3) a dostatečně velké  $Z$  můžeme použít vzorců pro odpor změny průřezu potrubí podle Bordy:

$$q > 0 : R_m = 1,11 \frac{g}{2} \left( \frac{1}{A_1} - \frac{1}{A_2} \right)^2 \quad (4-8)$$

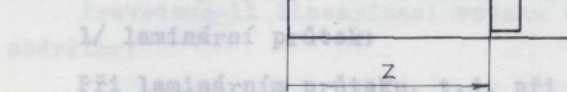
kde

$$q < 0 : R_m = 0,4 \frac{g}{2} \left( \frac{1}{A_1} - \frac{1}{A_2} \right)^2$$

$\lambda$ : délka vedení [m]

$d$ : vnitřní průměr vedení [m]

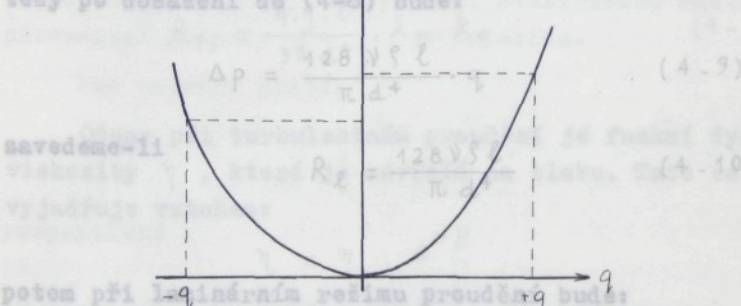
Not: Ze vztahu (4-8) je patrné, že tento typ odporu se projeví vždy když  $A_2 > d$ , tzn. u vedení. Zde je opět třeba rozlišit dva různé typy: laminární a turbulentní průtok.



Při laminárním průtoku, t.j. při  $Re = \frac{\bar{V} \cdot d}{\eta} < 2300$ , je rychlosťní profil naznačen na obr. 4-5(a) a pro odporevý součinitel platí:

Z toho plyne, že vtok do válce je navíc nesymetrický odpor (obr. 4-4).

tedy po dosazení do (4-6) bude:



potom při laminárním režimu proudění  $q$  bude:

$\Delta P = R_L \cdot q \quad (4-11)$

2/ turbulentní průtok:

Při turbulentním průtoku, t.j. při  $Re \geq 2300$ , je rych-

b) Rozložené odpory: (jen na obr. 4-5(b))

Odpory rozložené jsou způsobené třením kapaliny o stěny vedení a třením vrstev kapaliny pohybujících relativně mezi sebou.

Při výpočtu ztráty můžeme vycházet ze známého vztahu (4-1), ale místo součinitele ztrát  $\xi$  zavedeme:

$$\xi = \lambda \frac{l}{d} \quad (4-7)$$

(a)

(b)

takže vztah (4-1) se mění na:

$$\Delta p = \lambda \frac{l}{d} \cdot \frac{q^2}{2} \cdot \frac{\rho}{A^2} \quad (4-8)$$

kde

$\lambda$  : odporový součinitel

$l$  : délka vedení [m]

$d$  : vnitřní průměr vedení [m]

kde: Ze vztahu (4-8) je patrné, že tento typ odporu se projeví všude tam, kde  $l \gg d$ , tzn. u vedení. Zde je opět třeba rozlišit dva případy: laminární a turbulentní průtok.

Provedeme-li linearizaci vztahu (4-12) jako výše, 1/ laminární průtok:

Při laminárním průtoku, t.j. při  $Re = \frac{\bar{v} \cdot d}{\nu} < 2300$ , je rychlostní profil naznačen na obr. 4-5(a) a pro odporový součinitel platí:

$$R_{T2} = \frac{\lambda}{Re} = \frac{64}{Re} \quad (4-15)$$

tedy po dosazení do (4-8) bude:

$$R_{T3} = \frac{128}{\pi d^4} \cdot Re \quad (4-16)$$

$$\Delta p = \frac{128 \nu \xi l}{\pi d^4} \cdot q \quad (4-9)$$

zavedeme-li viskozitu  $\eta$ , která  $R_\ell = \frac{128 \nu l}{\pi d^4}$  tlaku, t.j.  $(4-10)$  vyjadřuje vztahem:

potom při laminárním režimu proudění bude:

Uvedené vztahy (4-12), (4-13) platí stacionární papř. pro kvazistacionární proudění, t.j. pro stacionární proudění, kdy dochází k deformačních vlnám v průniku profilu, je třeba uvažovat

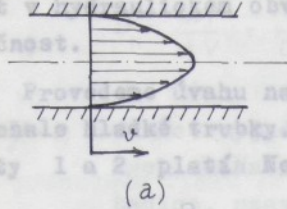
2/ turbulentní průtok:

odpor jako funkci frekvence.

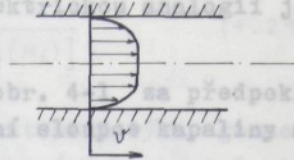
Při turbulentním průtoku, t.j. při  $Re \geq 2300$ , je rych-

lostní profil naznačen na obr. 4-5(b).

Tento odpor představuje dynamické údinky setrvačných hmot v obvodu. Jeho elektrickou analогíí je indukčnost.



(a)



(b)

Prověření uvažu naznačenou na obr. 4-5(a) za předpokladu deformačního trubky. Pro rychlení sídla v kapaliny mezi místy 1 a 2 platí Newtonov zákon:

$$P_1 = \rho_1 g h_1 + \frac{1}{2} \rho_1 v_1^2$$

$$(4-17)$$

přičemž střední rychlosť proudění a hmota jsou dány vztahy:

Pro odporový součinitel platí:  $m = \lambda_T \cdot \frac{0,316}{Re}$ , (4-18)

po dosazení, úpravě a zavedení  $R_T$  - t.j. odporu při turbulentním režimu proudění, bude:

$$\text{kde: } \Delta p = \frac{m \cdot d_1}{A^2 \cdot dt} = R_T \cdot \frac{d q}{dt} \quad (4-19)$$

$$R_T = \frac{8 \delta \lambda_T l}{\pi^2 d^5} \quad (4-13)$$

Provedeme-li linearizaci vztahu (4-12) jako výše, obdržíme:

Z vztahu (4-20) vyplývá, že odpor proti rychlení ve vedení je  $R_{T1} = \frac{2 \cdot \eta \cdot l}{\pi \cdot d^4} \cdot \lambda_T \cdot Re$  (4-14)

4.3. Odpor proti deformaci D:  $R_{T2} = \frac{4 \cdot \eta \cdot l}{\pi \cdot d^4} \cdot \lambda_T \cdot Re \quad (4-15)$

Tento odpor vyplývá růst sloupce kapaliny a stěn kolem kapaliny (potrubí, válec). Elektrickou analogií jeho převrácené hodnoty je  $R_{T3} = \frac{4 \cdot \eta \cdot l}{3 \pi \cdot d^4} \cdot \lambda_T \cdot Re \quad (4-16)$

Pro potrubí platí:

Odpor při turbulentním proudění je funkci dynamické viskozity  $\eta$ , která je závislá na tlaku. Tato závislost se vyjadřuje vztahem:

respektivně:

$$\eta = \eta_0 \cdot e^{\alpha P}$$

Uvedené vztahy (4-12), (4-13) platí stacionární popř. pro kvazistacionární proudění. Pro nestacionární proudění, kdy dochází k deformaci rychlostního profilu, je třeba uvažovat odpor jako funkci frekvence.

4.2. Odpor proti zrychlení  $H$  :

Tento odpor představuje dynamické účinky setrvačných hmot v hydraulickém obvodu. Jeho elektrickou analogií je indukčnost.

Provedeme úvahu naznačenou na obr. 4-1 za předpokladu dokonale hladké trubky. Pro urychlení sloupce kapaliny mezi místy 1 a 2 platí Newtonův zákon:

$$P = m \cdot a = A \cdot \Delta p \quad (4-17)$$

přičemž střední rychlosť, zrychlení a hmota jsou dány vztahy:

$$v = \frac{q}{A}; \quad a = \frac{dv}{dt} = \frac{1}{A} \cdot \frac{dq}{dt}; \quad m = l \cdot A \cdot \rho \quad (4-18)$$

takže po dosazení těchto výrazů do (4-17) bude:

$$\Delta p = \frac{m}{A^2} \cdot \frac{dq}{dt} = \frac{l \rho}{A} \cdot \frac{dq}{dt} = H \frac{dq}{dt} \quad (4-19)$$

kde:  $H$  je odpor proti zrychlení ve vedení je deformace velmi malá. Proti tomu deformace u hadice dost veliká, proto bychom měli přičítat vliv deformace na odpor  $R$  navíc.

Ze vztahu (4-20) vyplývá, že odpor proti zrychlení ve vedení je konstantní.

### 4.3. Odpor proti deformaci $D$ :

Tento odpor vyjadřuje tuhost sloupce kapaliny a stěn kolem kapaliny (potrubí, válec). Elektrickou analogií jeho převrácené hodnoty  $C = \frac{1}{D}$  je kapacita.

Pro potrubí platí:

$$P = \frac{V_0}{\nu_H \left( \frac{1}{K} + \frac{d}{E \cdot s} \right)} \int q \cdot dt = D \cdot \int q \cdot dt$$

respektivně :

$$dP = D \cdot dv$$

kde  $\bar{\ell}_P = \frac{\Delta l}{l}$  - poměrné změna délky hadice

$$\nu_H = \frac{D}{V_0} = \frac{dP}{dv} = \frac{1}{C} = \frac{1}{V_0 \left( \frac{1}{K} + \frac{d}{E \cdot s} \right)}$$

z experimentálních výsledků máme např. pro hadice

Je 1 Pro hadici platí také vztah (4-22), ale odpor proti deformaci se zjišťuje vztahem: tedy:

$$R_{LH} = R_H = \frac{dP}{dV} = \frac{1}{C_H} = \frac{1}{V_0 \left[ \frac{1}{K} + g(M_i) \right]} = 0,86 R \quad (4.24)$$

Při pracovním tlaku 8 MPa bude:

kde  $g(M_i)$ : funkce vyjadřující vliv materiálových, geometrických, konstrukčních a výrobních parametrů stěny hadice, uzavírající geometrický objem  $V_0$ , na působícím tlaku.

Víme, že deformace u hadice je mnohem větší než u trubky stejné světlosti a délky, což má vliv na odpory v hadici. Dále se budeme tímto problémem zabývat konkrétněji.

#### 4.4. Vliv deformace na odpory u hadice :

##### 4.4.1. Vliv deformace na odpor proti pohybu $R$ u hadice :

U trubky při výpočtu  $R$  považujeme  $d$  a  $l$  za konstantní při různých vnitřních přetlacích, protože je deformace velmi malá. Při tomu je deformace u hadice dost velká, proto bychom měli přičítat vliv deformace na odpor  $R$  navíc.

Máme např. pro ocelovou trubku u laminárního proudění:

$$R_L = \frac{128 \eta \cdot l}{\pi d^4}$$

Připočítáme-li u hadice stejného rozměru vliv deformace při vnitřním přetlaku, bude:

$$R_{LH} = \frac{128 \eta (l - \Delta l)}{\pi (d + \Delta d)^4} = \frac{128 \eta l}{\pi d^4} \times \frac{l - \Delta l}{l} \times \frac{d^4}{(d + \Delta d)^4}$$

$$R_{LH} \approx R_{LA} \times \frac{1 - \bar{e}_P}{1 + 4 \bar{e}_P} \approx R_L \times \frac{1 - \bar{e}_P^2}{1 + 2 \bar{v}_H + 2 \bar{e}_P}$$

kde: hadice stejného rozměru při pracovním přetlaku  $p$ , který činí  $\bar{e}_P = \frac{\Delta l}{l}$  - poměrná změna délky hadice

$$\bar{v}_H = \frac{\Delta V}{V_0} - poměrná změna vnitřního objemu hadice$$

Z experimentálních výsledků máme např. pro hadice

Js 10 PNT 028046 : při pracovním tlaku 4 MPa, získáme  
 $\bar{e}_p = 0,01$ ;  $v_H = 0,06$ , bude tedy:

$$R_{LH} = R_L \times \frac{1 - \bar{e}_p}{1 + 2v_H + 2\bar{e}_p} = \frac{1 - 0,01}{1 + 0,12 + 0,02} = 0,86 R_L$$

Při pracovním tlaku 8 MPa bude:

$$\bar{e}_p = 0,016; v_H = 0,069; R_{LH} = 0,84 R_L$$

Při pracovním tlaku 12 MPa bude:

$\bar{e}_p = 0,02$ ;  $v_H = 0,077$ ;  $R_{LH} = 0,85 R_L$

Odtud vyplývá, že vlivem deformace bude odpor  $R_H$  u hadice menší než u trubky stejného rozměru. Tento rozdíl je kolem 15%.

4.4.3. Vliv deformace na kapacitu u hadice:

Pro turbulentní proudění máme:

Při vyšetřování chování hydraulického mechanismu se často používá t.zv.  $R_T = \frac{8 \beta \lambda_T l}{\pi^2 d^5}$ , která je opačnou hodnotou odporu proti deformaci

Provedeme-li linearizaci, dostaneme např. :

Z experimentantu dostáváme, např. pro trubku Je10,  $l = 1$  m :

$$C = \frac{A}{D} = 0,8779, R_{T2} = \frac{4 \eta l}{\pi d^4} \lambda_T \cdot Re \quad (\text{tato hodnota je příslušná výsledku vypočítanému})$$

Postupujeme podobně a dostaneme podobné výsledky jako u laminární proudění.

4.4.2. Vliv deformace na odpor proti zrychlení  $H$  u hadice:

Podobným způsobem jako u odporu  $R$  připočítáme vliv deformace na odpor  $H_H$  u hadice navíc. Je jasné, že vliv hadice u chování mechanismu je v podstatě vlivem stoupání kapacity (ve srovnání s kapacitou trubky) a je možné  $H = \frac{m}{A^2} = \frac{\beta V_o}{A^2} = \frac{\beta \cdot A \cdot l}{A^2} = \frac{\beta \cdot l}{A} = \frac{\beta \cdot l^2}{V_o}$  proti pohybu a proti zrychlení u hadice u trubky. Tento závěr byl ověřen.

U hadice stejného rozměru při pracovním přetlaku  $p$ , který činí deformaci  $\Delta l$  a  $\Delta V$  bude:

$$H_H = \frac{l(l - \Delta l)^2}{V_o + \Delta V} = \frac{\beta l^2}{V_o} \left[ \frac{(l^2 - 2l \cdot \Delta l + \Delta l^2) \cdot V_o}{(V_o + \Delta V) \cdot l^2} \right]$$

hadice a u trubky.

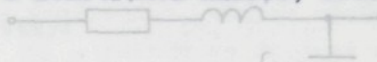
Již jsme  $H_H \approx lH \times \frac{(1 - 2\bar{\ell}_P)}{(1 + v_H)}$  druhý odpor. Víme, že se ve vedení nebo v hydraulickém obvodu vyskytuje současně tři druhy odporu. Přistojnice máte k vyšetřování všechn tří druhů odporu. Vedení uvažujete jako:

$$P = 4 \text{ MPa}, \bar{\ell}_P = 0,01, v_H = 0,06 \rightarrow H_H = 0,92 H$$

$$P = 8 \text{ MPa}, \bar{\ell}_P = 0,016, v_H = 0,069 \rightarrow H_H = 0,91 H$$

$$P = 12 \text{ MPa}, \bar{\ell}_P = 0,02, v_H = 0,077 \rightarrow H_H = 0,89 H$$

Odtud vyplývá, že vlivem deformace bude odpor  $H_H$  u hadice menší než u trubky stejného rozměru. Rozdíl mezi nimi závisí na rozměru a konstrukci hadice, všeobecně je kolem 10%.



#### 4.4.3. Vliv deformace na kapacitu u hadice :

Při vyšetřování chování hydraulického mechanismu se často používá t.z.v. kapacita, která je opačnou hodnotou odporu proti deformaci  $D$ :

$$C = \frac{1}{D} = \frac{dV}{dp}$$

Z experimentantu dostáváme, např. pro trubku Js10,  $\ell = 1 \text{ m}$ :

$$C = \frac{1}{D} = 0,05759 [10^{-6} \text{ m}^3 \text{ MPa}^{-1}] \quad (\text{tato hodnota je příslušná výsledku vypočtovému}).$$

Pro hadici stejného rozměru Js10 PNT 028046 experimentantem máme  $C_H = \frac{1}{D_H} = 0,1652 \cdot 10^{-6} \text{ m}^3 \text{ MPa}^{-1}$ .

Vidíme, že je tady  $C_H$  větší než  $C$  u trubky téměř třikrát (u hadice OPTIMIT je ještě větší).

Pokud jde o chování hydraulického mechanismu, je jasné, že vliv hadice na chování mechanismu je v podstatě vliv stoupání kapacity (ve srovnání s kapacitou trubky) a je mnohem větší než vliv způsobený rozdílem odporu proti pohybu a proti zrychlení u hadice a u trubky. Tento závěr byl ověřen v kap. 7.

Jinak řečeno, při vyšetřování vlivu vlastností hadice na chování hydraulického mechanismu, vlivy rozdílem mezi odpory  $R$  a  $H$  u trubky a u hadice jsou velmi malé a znebatelné ve srovnání s vlivem způsobeným rozdílem kapacit u

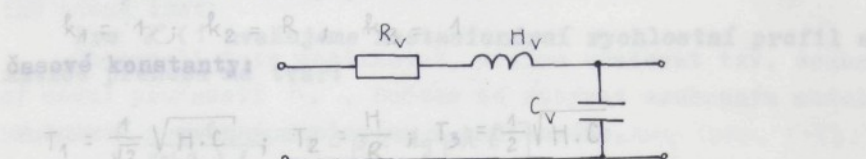
hadice a u trubky.

Již jsme vyšetřili jednotlivé druhy odporů. Víme, že se ve vedení nebo v hydraulickém obvodu vyskytuje současně tři druhy odporů. Přistoupíme proto k vyšetřování všech tří druhů odporů ve vedení současně.

4.5. Odpory ve vedení:  $k_4(T_4 s + 1)$  ;  $k_4(T_4^2 s^2 + 2a_4 T_4 s + 1)$

Odpory R, H a D vedení uvažujeme jako:

a) soustředěné parametry:



součinitelé poměrného tlumení: Obr. 4 - 6

pro  $\lambda_V > l$  ;  $a_3 = \frac{R_V}{\sqrt{C_V}}$

kde  $\lambda_V$  je vlnová délka tlakových změn v potrubí určovaná vztahem:  $k_4(T_4 s + 1) = C_V s$

$\lambda_V = \frac{a}{f}$ , kde  $a$  je rychlosť šíření tlakových vln  
 $f$  je frekvence tlakových vln

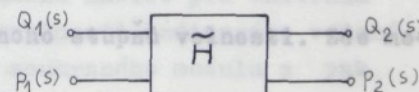
Tento model má jeden stupeň volnosti. Změny tlaku a proudu probíhají v celém potrubí současně. Při řešení předpokládáme kvazistacionární rychlostní profil.

Potrubí můžeme chápat z hlediska přenosu tlaku a proudu za čtyřčlen (obr. 4-7).

pro  $\lambda_V < l$

Tento model má nekonečně mnoho řešení. Umožní výpočet kvazistacionární rychlostního profilu

$$\begin{bmatrix} Q_2(s) \\ P_1(s) \end{bmatrix} = \tilde{H} \begin{bmatrix} Q_1(s) \\ P_2(s) \end{bmatrix} \quad (4-25)$$



O tom, který rychlostní profil budeme uvažovat, rozhoříme-li za vstupní hodnoty  $Q_1(s)$  a  $P_2(s)$  a za výstupní hodnoty  $Q_2(s)$  a  $P_1(s)$  pak lze přenos potrubí popsat seriově paralelní maticí přenosu  $\tilde{H}$ , která má tvar:

$$\tilde{H} = \begin{bmatrix} \frac{\cosh \lambda t}{k_1(T_1^2 s^2 + 2a_1 T_1 s + 1)} & \frac{k_2 (T_2 s + 1) k_3 (T_3^2 s^2 + 2a_3 T_3 s + 1)}{k_1 (T_1^2 s^2 + 2a_1 T_1 s + 1)} \\ \frac{k_4 (T_4 s + 1)}{k_1 (T_1^2 s^2 + 2a_1 T_1 s + 1)} & \frac{H s + R_1}{1 + G_1} \end{bmatrix}$$

kde  $H$ ,  $R_1$ ,  $G_1$ ,  $a_1$ ,  $T_1$ ,  $T_2$ ,  $T_3$ ,  $T_4$ ,  $a_2$ ,  $a_3$ ,  $a_4$  se nazývají jednotlivé parametry vztahem k těsné potrubí.

kde pro těsné potrubí jsou konstanty:

$$k_1 = 1; \quad k_2 = R; \quad k_3 = 1$$

časové konstanty:

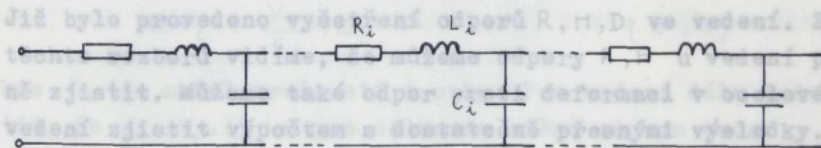
$$T_1 = \frac{1}{\sqrt{2}} \sqrt{H \cdot C}; \quad T_2 = \frac{H}{R}; \quad T_3 = \frac{1}{2} \sqrt{H \cdot C}$$

součinitelé poměrného tlumení:

$$a_1 = \frac{R}{2\sqrt{2}} \sqrt{\frac{C}{H}}; \quad a_3 = \frac{R}{4} \sqrt{\frac{C}{H}}$$

a přenos  $k_4 (T_4 s + 1) = C \cdot s$

b) Rozložené parametry :



Obr. 4 - 8

Tento model má nekonečně mnoho stupňů volnosti. Zde mohou nastat dva případy:

1. kvazistacionární rychlostní profil
2. nestacionární rychlostní profil

O tom, který rychlostní profil budeme uvažovat, rozhoduje parametr  $\chi = \frac{d}{2} \sqrt{\frac{\omega}{\gamma}}$

Pro  $\chi > 10$  uvažujeme kvazistacionární rychlostní profil a přenosová matice  $\tilde{H}$  má tvar:

$$\tilde{H} = \begin{bmatrix} \frac{1}{\cosh \lambda l} ; z \tanh \lambda l \\ 1 ; \tanh \lambda l ; \frac{1}{\cosh \lambda l} \\ z ; \tanh \lambda l ; \frac{1}{\cosh \lambda l} \end{bmatrix} \quad (4-27)$$

prožito v následujících výpočtech je problém, jak zjistit modul pružnosti trubky, když vyskytuje vedení. Je zřejmé, že tento modul pružnosti je totéž s modulem pružnosti protékajícího vedení, tedy jak kapalina tak nosná část.

kde  $\lambda = \sqrt{(H_1 s + R_1) \cdot (C_1 s + G_1)}$   $Z = \sqrt{\frac{H_1 s + R_1}{C_1 s + G_1}}$

pozn.  $H_1$ ,  $C_1$ ,  $R_1$  a  $G_1$  se nazývají jednotlivé parametry vztažené na jednotku délky potrubí.

Pro  $\lambda < 1$  uvažujeme nestacionární rychlostní profil a matici přenosu má tvar:

$$\tilde{H} = \begin{bmatrix} \frac{1}{\cos \beta \lambda l} ; -\beta z \tan \beta \lambda l \\ -\frac{1}{\beta Z} \tan \beta \lambda l ; \frac{1}{\cos \beta \lambda l} \end{bmatrix} \quad (4-28)$$

Jak je známo, platí pro změnu objemu kapaliny podle vztahu (2-10):

Jednotlivé prvky matic jsou kromě již známých parametrů  $\lambda$ ,  $Z$  ještě závislé na bezrozměrovém součiniteli  $\beta$ .  
nemáme výpočetního vedení, který dává výsledky vyhovující skutečnosti. /1,23/

Již bylo provedeno vyšetření odporů  $R$ ,  $H$ ,  $D$  ve vedení. Z těchto rozborů vidíme, že můžeme odpory  $R$ ,  $H$  u vedení počítat a zjistit. Můžeme také odpor proti deformaci v ocelovém vedení zjistit výpočtem s dostatečně přesnými výsledky. Proti tomu ještě nemáme dodnes výraz na výpočet odporu proti deformaci u hadicového vedení, který dává výsledky vyhovující skutečnosti. Abychom zjistili odpor  $D$  u hadicového vedení, musíme zjistit objemovou změnu hadice při vnitřním přetlaku a dále souhrnný modul pružnosti hadicového vedení. Přistoupíme proto k vyšetřování souhrnného modulu a pak objemové změny hadicového vedení. (5.3)

Modul pružnosti trubky nyní odvodíme z teorie tlustostenných nádob.

Máme danou tlustostennou nádobu, namáhanou vnitřním přetlakem  $p$  (viz. obr. 5-1).

## 5. SOUHRNNÝ MODUL PRUŽNOSTI VEDENÍ :

V praxi se někdy vyskytuje problém, jak zjistit modul pružnosti nějakého hydraulického vedení. Je zřejmé, že tento modul pružnosti nebude totožný s modulem pružnosti protékající kapaliny, ani s modulem pružnosti nosné části, jež tvoří vedení.

Lze předpokládat, že na objemové změně hydraulického vedení se budou podílet obě složky vedení, tedy jak kapalina tak nosná část.

Chceme-li toto postihnout, musíme uvažovat tzv. souhrnný modul pružnosti  $K_s$ . Budeme se zabývat souhrnným modulem pružnosti uvedení ocelového a hadicového. (obr. 5-1b)

Rovnice rovnováhy do radiálního směru pak má tvar:  
5.1. Souhrnný modul pružnosti ocelového vedení :

(1) Jak bylo již dříve uvedeno, platí pro změnu objemu kapaliny podle vztahu (2-10) :

$$\text{Po úpravě } \Delta V_K = \frac{V_K}{K} \cdot \Delta P$$

Uvažíme-li ekvivalentní vztah pro změnu objemu trubky, dostaneme: Uvažujeme-li případ pro otevřenou tlakovou nádobu, pak

$$G_o = 0 \quad \Delta V_t = \frac{V_t}{E_t} \cdot \Delta P \quad (5-1) \quad \text{(5-1a)}$$

kde  $E_t$  je modul pružnosti trubky. Pro vedení dále bude platit, že  $V_K = V_t = V_o$  - a pro celkovou změnu objemu bude: (5-5)

$$\Delta V = \Delta V_K + \Delta V_t \quad (5-2)$$

čímž po dosazení dostaneme: (5-6)

$$\Delta V = \frac{V_o}{K} \cdot \Delta P + \frac{V_o}{E_t} \cdot \Delta P$$

kde  $E_r$  je radiální prodloužení, pro které platí:

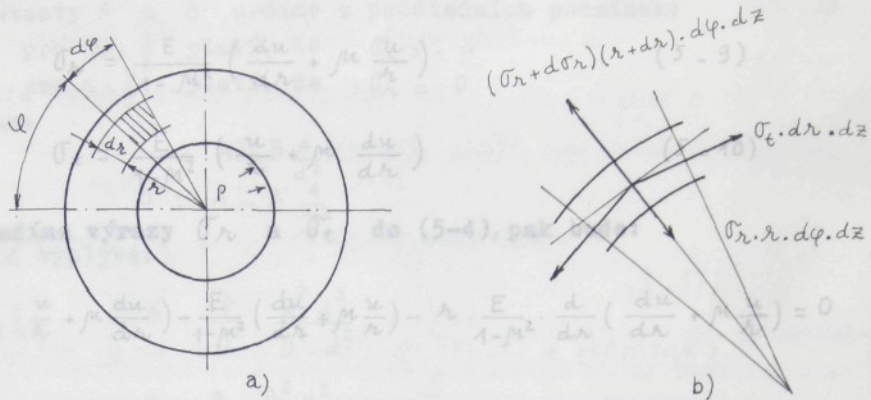
nebo

$$\Delta V = V_o \left( \frac{1}{K} + \frac{1}{E_t} \right) \cdot \Delta P \quad (5-3)$$

$E_t$  je obyčejné prodloužení, pro které platí:

Modul pružnosti trubky nyní odvodíme z teorie tlustostenných nádob. (5-8)

Máme danou tlustostennou nádobu, namáhanou vnitřním přetlakem  $p$  (viz. obr. 5-1).



Obr. 5 - 1

Vyjměme z ní element o rozměrech  $dr, dz, d\varphi$  (obr. 5-1b)

Rovnice rovnováhy do radiálního směru pak má tvar:

$$(\sigma_r + d\sigma_r)(r+dr)d\varphi dz - \sigma_r \cdot r d\varphi - \sigma_t \cdot dr d\varphi = 0 \quad (5-1)$$

Po úpravě obdržíme:

$$\sigma_t - \sigma_r - r \frac{d\sigma_r}{dr} = 0 \quad (5-4)$$

Uvažujeme-li případ pro otevřenou tlakovou nádobu, pak

$\sigma_o = 0$  a jde o rovinou napjatost, takže podle Hookova zákona pro jednotlivá napětí platí:

$$\sigma_r = \frac{E}{1-\mu^2} (\epsilon_r + \mu \epsilon_t) \quad (5-5)$$

$$\sigma_t = \frac{E}{1-\mu^2} (\epsilon_t + \mu \epsilon_r) \quad (5-6)$$

Po dosazení do (5-5) a (5-6) obdržíme:

kde  $\epsilon_r$  je radiální prodloužení, pro které platí:

$$\epsilon_r = \frac{du}{dr} \quad (5-7)$$

$du$  je délková změna elementu  $dr, dz, r d\varphi$ .

$\epsilon_t$  je obvodové prodloužení, pro které platí:

$$\text{Označíme-li } \frac{E}{1-\mu} = B, \text{ pak:} \quad (5-8)$$

Po dosazení (5-7), (5-8) do (5-5) a (5-6) obdržíme:

Konstanty A a B určíme z počátečních podmínek:

$$\sigma_r = \frac{E}{1-\mu^2} \left( \frac{du}{dr} + \mu \frac{u}{r} \right) \quad (5-9)$$

potom:

$$\sigma_t = \frac{E}{1-\mu^2} \left( \frac{u}{r} + \mu \frac{du}{dr} \right) \quad (5-10)$$

dosadíme výrazy  $\sigma_r$  a  $\sigma_t$  do (5-4), pak bude:  
odtud vyplývá:

$$\frac{E}{1-\mu^2} \left( \frac{u}{r} + \mu \frac{du}{dr} \right) - \frac{E}{1-\mu^2} \left( \frac{du}{dr} + \mu \frac{u}{r} \right) - r \cdot \frac{E}{1-\mu^2} \cdot \frac{d}{dr} \left( \frac{du}{dr} + \mu \frac{u}{r} \right) = 0$$

Po úpravě obdržíme diferenciální rovnici:

$$\frac{d^2 u}{dr^2} + \frac{1}{r} \frac{du}{dr} - \frac{1}{r^2} u = 0 \quad (5-11)$$

Předpokládáme řešení ve tvaru  $u = c_1 r^\lambda$ ; z charakteristické rovnice dostaneme  $\lambda_{1,2} = \pm 1$ , takže rovnice (5-11) má tvar řešení:

$$u = c_1 r + c_2 \frac{1}{r} \quad (5-12)$$

Dosadíme (5-12) do (5-7) a (5-8) obdržíme:  
potom dosazením do vztahu (5-12) :

$$\sigma_r = \frac{du}{dr} = c_1 - c_2 \frac{1}{r^2}$$

$$\text{anebo: } \sigma_t = \frac{u}{r} = c_1 + c_2 \frac{1}{r^2}$$

Po dosazení do (5-5) a (5-6) obdržíme:

$$\sigma_r = \frac{E}{1-\mu^2} \left[ c_1 (1+\mu) - c_2 (1-\mu) \frac{1}{r^2} \right] \quad (5-13)$$

$$\sigma_t = \frac{E}{1-\mu^2} \left[ c_1 (1+\mu) + c_2 (1-\mu) \frac{1}{r^2} \right] \quad (5-14)$$

Označíme-li  $\frac{Ec_1}{1-\mu} = A$  a  $\frac{Ec_2}{1+\mu} = B$ , pak:

$$\sigma_r = A - B \frac{1}{r^2}; \quad \sigma_t = A + B \frac{1}{r^2}$$

Konstanty A a B určíme z počátečních podmínek:

pro  $r = \frac{d}{2}$  platí, že  $\sigma_r = -P$

pro  $r = \frac{D}{2}$  platí, že  $\sigma_r = 0$

potom:

$$\begin{aligned} -P &= A - B \frac{4}{d^2} \\ 0 &= A - B \frac{4}{D^2} \end{aligned}$$

odtud vyplývá:

$$A = \frac{P}{D^2} \cdot \frac{D^2 - d^2}{D^2 + d^2}$$

Dosadíme u na vztahu (5-1) do (5-17) a obdržíme:

$$B = \frac{P}{4} \cdot \frac{D^2 - d^2}{D^2 + d^2} \quad (5-18)$$

Z konstant A a B určíme konstanty  $c_1$  a  $c_2$ :

Pro nás případ tenkostěnné trubky můžeme uvažovat  $D \approx d$ , pak pro  $\mu = 1/4$  dostaneme:

$$c_1 = \frac{A}{E} (1 - \mu) = \frac{P}{ED^2} \cdot \frac{D^2 - d^2}{D^2 + d^2} (1 - \mu)$$

$$c_2 = \frac{B}{E} (1 + \mu) = \frac{P}{4E} \cdot \frac{D^2 - d^2}{D^2 + d^2} (1 + \mu)$$

potom dosazením do vztahu (5-12):

$$u = \frac{pd}{2E} \left[ \frac{D^2 + d^2}{D^2 - d^2} + \mu \right] \quad (5-19)$$

anebo:

$$u = \frac{pd}{2E} \left[ \frac{D^2 + d^2}{(D-d)(D+d)} + \mu \right]$$

Vidíme, že souhrnný modul pružnosti  $K_s$  pro tenkostěnné trubky je

Je-li tloušťka stěny  $h = \frac{D-d}{2}$ , můžeme psát:

$$u = \frac{pd}{2E} \left[ \frac{D^2 + d^2}{2h(D+d)} + \mu \right] \quad (5-21)$$

Z vztahu (5-21) můžeme též vytvořit poměr:

Vyjádříme-li vnitřní objem trubky:

$$\frac{\Delta V}{\Delta P} = \frac{\pi d^2}{4} E \cdot l \quad (5-22)$$

můžeme přibližně psát: hydraulická kapacita  $C_h$ .

Převrácená hodnota hydraulické kapacity se nazývá odpor proti deformaci

$$\Delta V_t \approx \frac{\pi(d+2u)^2 - \pi d^2}{4} \cdot l \approx \pi \cdot d \cdot u \cdot l$$

Podle vztahu (5-1) platí, že i hadicového vedení:

Jak bylo již výše uvedeno, platí pro změnu objemu hadicového vedení vztah (3-4)

$$E_t = \frac{V_t \cdot \Delta P}{\Delta V_t}$$

Po dosazení  $V_t$  a  $\Delta V_t$  do (5-1) obdržíme:

$$\frac{1}{E_t} = \frac{4u}{d \cdot P} \quad (5-17)$$

Dosadíme  $u$  ze vztahu (5-16) do (5-17) a obdržíme: kde je  $\mu$  konstanta geometrických konstrukcí, výšek a vzdáleností stěny hadice, usazující se vztahem  $\frac{1}{E_t} = \frac{2}{E} \left[ \frac{D^2 + d^2}{2h(D+d)} + \mu \right]$  na působení tlaku, zavádějící se vztahy (2-10) a (5-1), můžeme jej rovněž napsat ve tvaru:

Pro náš případ tenkostěné trubky můžeme uvažovat  $D \approx d$ , pak pro  $\mu = 1/4$  dostaneme:

$$\text{kde } \frac{1}{E_t} = \frac{2}{E} \left[ \frac{2d^2}{4 \cdot h \cdot d} + \frac{1}{4} \right] \quad (5-18)$$

a odtud modul pružnosti tenkostěné trubky

$$E_t = \frac{K_{SH}}{d} g(m) \quad (5-19)$$

Po dosazení (5-19) do (5-3) dostaneme: kterou dosud nemáme k dispozici a nemůžeme matematicky zjistit.

$\Delta V = V_0 \left( \frac{1}{K} + \frac{d}{E \cdot h} \right) \cdot \Delta P$  hadicového vedení proto (5-20) je experimentálně:

Srovnáme-li vztah (5-20) se vztahy (2-10) a (5-1), vidíme, že souhrnný modul pružnosti  $K_S$  pro tenkostěné trubky můžeme napsat ve tvaru:

Pro celkové vedení:

$$K_S = \frac{1}{\frac{1}{K_0} + \frac{d}{E \cdot h}} \quad (5-21)$$

Ze vztahu (5-21) můžeme též vytvořit poměr:

Pro hadicové vedení:

$$\frac{\Delta V}{\Delta P} = V_0 \left( \frac{1}{K} + \frac{d}{E \cdot h} \right) \quad (5-22)$$

$$K_{SH} = \frac{1}{V_0} = \frac{V_0}{\Delta V} \cdot \frac{\Delta P}{\Delta V}$$

a tento poměr se nazývá hydraulická kapacita  $C_h$ .

Převrácená hodnota hydraulické kapacity se nazývá odpor proti deformaci, který již byl výše zmíněn.

### 5.2. Souhrnný modul pružnosti hadicového vedení :

Jak bylo již dříve uvedeno, platí pro změnu objemu hadicového vedení vztah (3-4) :

zde je možné vypočítat souhrnný modul pružnosti vedení.

Již  $\Delta V_H = \Delta V_K + \Delta V_S = V_0 \left[ \frac{1}{K} + g(M_i) \right] \cdot \Delta p$  pružnosti vedení se redukuje na měření a zjistění směny objemu vedení kde  $g(M_i)$  je funkce vyjadřující vliv materiálových, geometrických, konstrukčních a výrobních parametrů stěny hadice, uzavírající geometrický objem  $V_0$ , na působícím tlaku.

Srovnáme-li tento vztah se vztahy (2-10) a (5-1), můžeme jej rovněž napsat ve tvaru:

$$\Delta V_H = \frac{V_0}{K_{SH}} \cdot \Delta p \quad (5-23)$$

kde  $K_{SH}$  je souhrnný modul pružnosti hadicového vedení určený vztahem:

$$K_{SH} = \frac{1}{\frac{1}{K} + g(M_i)} \quad (5-24)$$

Pro výpočet  $K_{SH}$  je nutno znát funkci  $g(M_i)$ , kterou dosud nemáme k dispozici a nemůžeme matematicky zjistit. Souhrnný modul pružnosti hadicového vedení proto zjistíme experimentálně.

### 5.3. Zjištění souhrnného modulu pružnosti :

Pedle vztahů (5-20), (5-21), (5-23) a (5-24) máme:  
Pro ocelové vedení:

$$K_s = \frac{1}{\frac{1}{K} + \frac{d}{E \cdot h}} = V_0 \cdot \frac{\Delta p}{\Delta V}$$

Pro hadicové vedení:

$$K_{SH} = \frac{1}{\frac{1}{K} + g(M_i)} = V_0 \cdot \frac{\Delta p}{\Delta V_H}$$

Z toho vyplývá, že princip měření  $K_s$  nebo  $K_{SH}$ , který platí pro vedení ocelové a hadicové, by spočíval ve zjištění změny tlaku  $p$  kapaliny uzavřené ve vedení, v závislosti na změně objemu  $V$ . Potom, podle výše uvedených vztažů můžeme při známém objemu  $V_0$  a naměřených příslušných hodnotách  $\Delta V$  a  $\Delta p$  vypočítat souhrnný modul pružnosti vedení.

Jinak řečeno, zjištění souhrnného modulu pružnosti vedení se redukuje na měření a zjištění změny objemu vedení při vnitřním přetlaku. Zařízení a uspořádání měření  $K_s$  nebo  $K_{SH}$  jsou proto totožná jako zařízení a uspořádání měření objemové změny vedení, což bude provedeno v další kapitole. I kdy experimentálními. V experimentální části této práce budou srovnány výsledky měření na ocelovém vedení s vypočítanými výsledky podle (5-20), čímž bude vykonána kontrola.

Obdobně pro hadicové vedení podle (3-2) platí:

$$\text{změna vedení } \Delta V = V_0 \left[ \frac{\Delta p}{K_s} + f(M_s, p) \right] \quad \text{při tlaku } K_s \text{ a měření } f(M_s, p) \text{ je funkce měřeného tlaku.}$$

Z tohoto vztahu však nemůžeme vypočítat  $\Delta V$ , poněvadž nemáme k dispozici  $f(M_s, p)$ . Odvození vztahu (51) je vypočítání:

Odvoďme-li závislost změny objemu hadice na změně úhlu  $\beta$ , kde  $\beta$  je úhel mezi spirálem příze nebo drátku a směrem kolmým k osy hadice, za některých předpokladů (viz. kap. 3.2.) můžeme podle (3-10) psát:

$$\Delta V_s = V_0 \cdot \left( 2 \cdot \frac{\cos \beta}{\sin \beta} + \frac{\sin \beta}{\cos \beta} - 3 \right)$$

Tady je  $\beta$  zase funkce neznámych parametrů hadice. Jinak řečeno, nemáme dosud způsoby výpočtu, které dávají shodné výsledky se skutečností. Abychom zjistili objemovou změnu hadice, museli bychom tedy používat experimentálního způsobu.

v další části budeme experimentálně vyšetřovat celkovou objemovou změnu, změnu objemu pouhé svěny hadice a změnu geometrických parametrů (vařejšího průměru a délky) hadice při působení vnitřního tlaku pomocí různých metod.

6.1. Experimentální zjištění objemových změn hadice  
měřením vyteklého množství kapaliny z hadice :

## 6. OBJEMOVÁ ZMĚNA HADICOVÉHO VEDENÍ :

Jak bylo již uvedeno, při působení vnitřního tlaku, který se přenáší na stěny hadice pomocí dopravované látky, dochází k deformaci vedení a vzhledem k určité poddajnosti přepravované látky i k deformaci této látky. Budeme-li předpokládat, že přepravovaná látka je kapalina, potom můžeme pro celkovou objemovou změnu u ocelové trubky podle (5-20) psát:

$$\text{kde: } \Delta V = V_0 \left( \frac{1}{K} + \frac{d}{E \cdot h} \right) \Delta P$$

Tento výraz dává dost shodné výsledky ve srovnávání s výsledky experimentálními. V experimentální části této práce budou srovnány výsledky měření na ocelovém vedení s vypočítanými výsledky podle (5-20), čímž bude vykonána kontrola.

6.1.1. Obdobně pro hadicové vedení podle (3-2) platí:

Princip měření odpovídá v měření konečných objemových změn vedení

$$\Delta V = V_0 \left[ \frac{\Delta P}{K} + f(M_i, P) \right]$$

Z tohoto vztahu však nemůžeme vypočítat  $\Delta V$ , poněvadž nemáme k dispozici  $f(M_i, P)$ .

Odvodíme-li závislost změny objemu hadice na změně úhlu  $\beta$ , kde  $\beta$  je úhel mezi spirálou příze nebo drátu a směrem kolmým k ose hadice, za některých předpokladů (viz. kap. 3.2.) můžeme podle (3-10) psát:

Odvození z  $\Delta V_s = V_0 \cdot \left( 2 \cdot \frac{\cos \beta}{\cos \beta_0} + \frac{\sin \beta}{\sin \beta_0} - 3 \right)$

Tady je  $\beta$  zase funkcí neznámých parametrů hadice. Jinak řečeno, nemáme dosud způsoby výpočtu, které dají shodné výsledky se skutečností. Abychom zjistili objemovou změnu hadice, museli bychom tedy používat experimentálního způsobu.

V další části budeme experimentálně vyšetřovat celkovou objemovou změnu, změnu objemu pouhé stěny hadice a změnu geometrických parametrů (vnějšího průměru a délky) hadice při působení vnitřního tlaku pomocí různých metod.

6.1. Experimentální zjištování objemových změn hadice  
měřením vyteklého množství kapaliny z hadice :

Podle tohoto způsobu budou hodnoty celkových objemových změn hadice získané měřením vyteklého množství kapaliny z hadice zatížené vnitřním přetlakem. Naměřené výsledky nám dávají závislost  $\Delta V = f(\Delta P)$ .

Podle (3-3) můžeme pro celkovou objemovou změnu hadice psát:

$$\Delta V = \Delta V_K + \Delta V_S$$

kde:  $\Delta V_K$  : objemová změna kapaliny

$\Delta V_S$  : objemová změna pouhé stěny hadice.

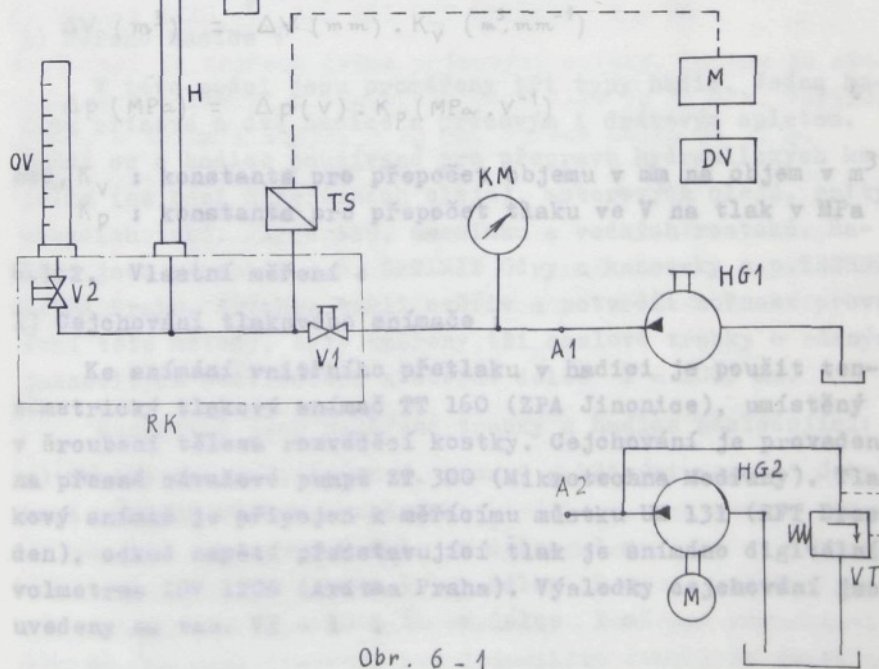
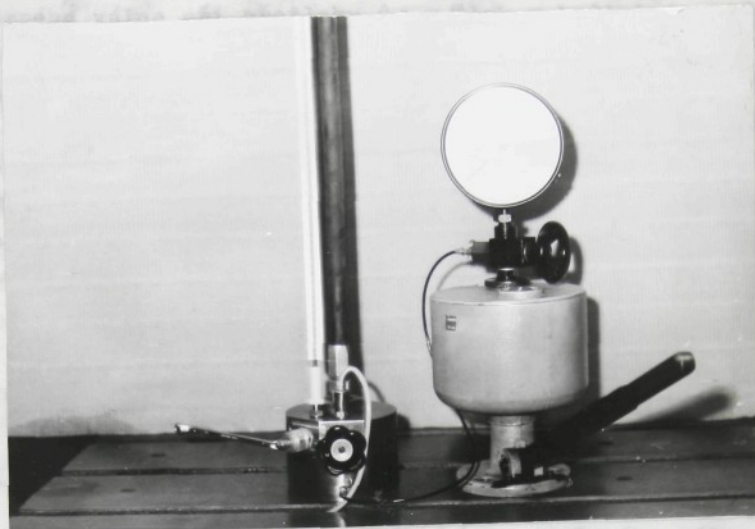
Můžeme závislost  $\Delta V_K = f(\Delta P)$  vypočítat podle vztahu (2-10), potom dostaneme závislost  $\Delta V_S = f(\Delta P)$  tím, že od naměřené závislosti  $\Delta V = f(\Delta P)$  odečteme závislost  $\Delta V_K = f(\Delta P)$ .

#### 6.1.1. Princip měření :

Princip měření spočívá v měření konečných objemových změn vedení a kapaliny se změnami působícího tlaku. K měření bylo použito zařízení znázorněné na obr. 6-1.

Pracovní obvod na obr. 6-1 se skládá z rozváděcí kostky (RK), která obsahuje přívodní ventil (V1) a vypouštěcí ventil (V2), šroubení M 8x1 pro zdroje tlaku, šroubení pro připojení měřeného objektu (hadice), šroubení pro připojení snímače tlaku (TS) a nástavec pro odměrný válec (OV). Obvod je vybaven ještě kontrolním manometrem (KM). Napájení obvodu bude buď ručním hydrogenerátorem (HG1) nebo hydrogenerátorem s elektromotorem (HG2).

Při vlastním měření postupujeme následovně. Nejprve naplníme rozváděcí kostku hydraulickou kapalinou tak, aby nikde nedošlo k uzavření určitého vzduchu. Všechny ventily jsou otevřeny. Po naplnění rozváděcí kostky uzavřeme ventil V2, přichytíme koncovku hadice na rozváděcí kostku a ručním hydrogenerátorem pomalu naplňujeme objem hadice. Po zaplnění celého objemu hadice, přišroubujeme druhou koncovku hadice ke šroubu napínacího lanka. Ručním generátorem zvyšujeme tlak. Hadici natlakujeme na určitý přetlak a zavřeme ventil V1. Potom postupně otevřáme ventil V2 a odpouštíme do odměrného válce určité množství kapaliny odpovídající pře-



Obr. 6 - 1

tlaku v hadici. Měříme tedy množství kapaliny  $V_T$  vyteklé do odměrného válce při přetlaku  $\Delta p$ . Tlak v hadici je snímán tenzometrickým snímačem a přes měřící můstek je jeho hodnota ukazována digitálním volmetrem. Naměřené hodnoty  $\Delta p$  a  $V_T$  jsou odečítány ve voltech a v milimetrech stupnice odměrného válce. Proto je pro zpracování výsledků nutno ocejchovat tenzometrický snímač a odměrný válec. Dále je potom nutno přepočítat množství kapaliny vyteklé do odměrného válce  $V_T$  na množství kapaliny v hadici  $\Delta V$ . Potom platí:

$$\Delta V_i = V_{T \max} - V_{Ti}$$

kde

$\Delta V_i$  : množství kapaliny natlačené do hadice při působení menších přetlaku  $\Delta p_i$  než převod mezi odečítanou hodnotou

$V_{T \max}$  : celkové (maximální) množství kapaliny vyteklé do válce, odpovídající přetlaku  $\Delta p = 0$

$V_{Ti}$  : množství kapaliny vyteklé do odměrného válce, odpovídající přetlaku  $\Delta p_i$

Při cejchování tenzometrického snímače a odměrného válce platí:

$$K_v = 0,0136 \cdot 10^{-6} \text{ m}^3 \cdot \text{mm}^{-1} \quad (6-5)$$

$$\Delta V (\text{m}^3) = \Delta V (\text{mm}) \cdot K_v (\text{m}^3 \cdot \text{mm}^{-1})$$

$$\Delta p (\text{MPa}) = \Delta p (\text{V}) \cdot K_p (\text{MPa} \cdot \text{V}^{-1})$$

kde,  $K_v$  : konstanta pro přepočet objemu v mm na objem v  $\text{m}^3$

$K_p$  : konstanta pro přepočet tlaku ve V na tlak v MPa.

### 6.1.2. Vlastní měření :

#### 1) Cejchování tlakového snímače :

Ke snímání vnitřního přetlaku v hadici je použit tenzometrický tlakový snímač TT 160 (ZPA Jinonice), umístěný v šroubení tělesa rozváděcí kostky. Cejchování je provedeno na přesné závažové pumpě ZT 300 (Mikrotechna Modřany). Tlakový snímač je připojen k měřícímu můstku UM 131 (RFT Dresden), odkud napětí představující tlak je snímáno digitálním volmetrem IDV 1200 (Aritma Praha). Výsledky cejchování jsou uvedeny na tab. VI - 1 .

P(MPa)	U (V)	U (V)	U (V)
2,5	0,0300	0,0298	0,0300
5,0	0,0595	0,0597	0,0597
7,5	0,0902	0,0900	0,0902
10,0	0,1200	0,1197	0,1200
12,5	0,1510	0,1506	0,1517
15,0	0,1820	0,1820	0,1825

Tab. VI - 1

Ze zjištěných hodnot při cejchování byl pomocí metody nejmenších čtverců vypočítán převod mezi odcítanou hodnotou ve voltech a tlakem:

$$K_p = 82,2 \text{ MPa.V}^{-1} \quad (6-4)$$

## 2) Cejchování odměrného válce :

Je použit odměrný válec cejchovaný v /32/. Převodní konstanta pro objem bude potom:

$$K_v = 0,0136 \cdot 10^{-6} \text{ m}^3 \cdot \text{mm}^{-1} \quad (6-5)$$

## 3) Měřené hadice :

V této práci jsou proměřeny tři typy hadic. Jedna hadice přízová a dvě hadice s přízovým i drátovým opletem. Jedná se o hadice používané pro přepravu hydraulických kapalin (na bázi minerálních olejů), motorových olejů, nafty, mazacích tuků, glycerinu, amoniaku a vodních roztoků. Hadice jsou výrobkem n.p. OPTIMIT Odry a koncovky n.p. TECHNO-METRA Praha. Abychom mohli ověřit a potvrdit možnost provedení této metody, byly změřeny tři ocelové trubky o různých jmenovitých světlostech a stejné délce  $l = 1000$  mm.

### 6.1.3 Konkrétně jsou naměřené trubky a hadice následující:

- a) Trubky ocelové, bezešvé, přesné s běžnými mezními úchylkami ČSN 42 6710 v rozměrech: měřeny tři ocelové  $6 \times 1$  v délce  $1 \text{ m}$  v různých světlostech (J66, J68, J610) a střední  $8 \times 1$  v délce  $1 \text{ m}$  měřené hodnoty pak byly srovnány s výpočtem  $10 \times 1$  v délce  $1 \text{ m}$ . Závislosti  $\Delta V$  na  $\Delta p$  byly vypočteny pro jednotlivé trubky do grafů

b) Hadice Js10 272 326 3 10 21 1OPNT 028406 VIII.76 :  
hadice s drátovým opletem a se dvěma oplety přízovými, je  
určena pro tlaky až 16 MPa. Poruchový tlak je 45 MPa. Vnitř-  
ní průměr 10 mm a vnější 21 mm. Měřená délka je 1 m.

c) Hadice OPTIMIT 8/17 PND 21/416-81 IX . 82 :

vnitřní vrstva (duše) je pryžová. Vyztužení je tvořeno dvěma  
přízovými oviny a jedním drátěným opletem. Hadice je stavěna  
na přetlak 21 MPa. Poruchový tlak je 63 MPa. Vnitřní průměr  
- 8 mm a vnější - 17 mm. Měřená délka je 1,25 m.

d) Hadice OPTIMIT 10/21 PND 21/338-81 III . 82 :  
konstrukce je totožná jako u hadice c). Hadice je stavěna na  
přetlak 15 MPa. Poruchový tlak je 45 MPa. Vnitřní průměr -  
10 mm a vnější - 21 mm. Měřená délka je 1,6 m.

e) Hadice OPTIMIT 13/25 PND 21/340-81 :  
konstrukce je totožná jako u hadic c) a d). Hadice je sta-  
věna na přetlak 12,5 MPa. Poruchový tlak je 37,5 MPa. Vnitř-  
ní průměr - 13 mm a vnější - 25 mm. Měřená délka je 1,0 m.

f) Hadice Js10 272 326 011 020 OPTIMIT X . 78 :

vyztužení je tvořeno dvěma přízovými oplety. Hadice je sta-  
věna na přetlak 12,5 MPa. Poruchový tlak je 35 MPa. Vnitřní  
průměr - 10 mm a vnější - 20 mm. Měřená délka je 1 m.

4) Hydraulická kapalina : měřením, tak i mezi jednotlivými

Pro vlastní měření je použito hydraulické kapaliny  
OT T3C. Jedná se o minerální olej, jehož modul pružnosti je  
v rozsahu prováděného měření konstantní a má velikost:

$$K_K = 1,662669 \cdot 10^3 \text{ MPa} \quad /30/$$

6.1.3. Zpracování naměřených výsledků a zhodnocení :

1) Pro ocelové trubky :

Jak bylo řečeno, s účelem ověřit možnosti metody byly  
změřeny tři ocelové trubky o různých jmenovitých světlostech  
(Js6, Js8, Js10) a stejně délce 1 m. Naměřené hodnoty pak  
byly srovnány s vypočítanými výsledky. Naměřené závislosti  
 $\Delta V$  na  $\Delta p$  byly vyneseny pro jednotlivé trubky do grafů

(viz. obr. 6-2 v příloze). Jak je z obrázku patrné, závislosti u jednotlivých ocelových trubek jsou lineární. Víme, že lze hodnotu deformace ocelové trubky matematicky vyčíslit z již uvedeného vztahu:

$$\Delta V = \Delta V_K + \Delta V_T = V_0 \left( \frac{1}{K} + \frac{d}{E \cdot s} \right) \cdot \Delta P$$

Při známých parametrech  $K_K = 1,66 \cdot 10^3$  MPa,  $d = 10$  mm,  $E = 2,1 \cdot 10^5$  MPa,  $s = 1$  mm, lze spočítat deformaci trubky o délce 1000 mm, např. při přetlaku 10 MPa.

Při srovnání s příslušnými naměřenými hodnotami u stejného přetlaku vidíme, že grafické záznamy jsou dostatečně přesné (chyba je kolem 7%). Navíc lze průběh deformace ocelové trubky považovat za průběh stlačení kapaliny. Deformace trubky totiž činí okolo 7% celkové deformace. Vynesením této závislosti do grafů hadic si lze vytvořit představu o ovlivnění závislosti deformace hadice při zanedbání stlačitelnosti v ní uzavřeného objemu kapaliny.

Z uvedených výsledků tedy vyplývá možnost měření objemových změn na sestaveném zařízení.

2) Hadice Jsl0 272 326 3 1021 1OPNT 628406 VIII . 76 :  
Abychom zjistili objemovou změnu hadice a současně vliv času a rychlosti měření na naměřené hodnoty, měření bylo provedeno tak, že při měření hadice byly ponechány jak mezi jednotlivými dílčími měřeními, tak i mezi jednotlivými měřeními různé časové intervaly:

1/ jednotlivá měření byla provedena rychle za sebou a v závěru se nenechala hadice relaxovat (viz. obr. 6-3 v příloze),

2/ měření je obdobné jako u 1/, ale mezi skončeným měřením a opětným natlakováním hadice byl ponechán časový interval  $\approx 15$  min. (viz. obr. 6-4 v příloze),

3/ mezi jednotlivými dílčími měřeními byl ponechán interval  $\approx 3$  min., po skončení měření byla hadice ihned natlakována a měření se opakovalo (viz. obr. 6-5 v příloze),

4/ mezi jednotlivými dílčími měřeními byl ponechán časový interval  $\approx 3$  min., mezi skončeným měřením a opětným

natlakováním byl ponechán interval = 15 min. (viz. obr. 26-6 v příloze).

Každé měření bylo prováděno 3x.

Z uvedených výsledků vidíme, že naměřené hodnoty téměř nezávisí na času a rychlosti měření nebo tato souvislost je zanedbatelná. To znamená, že lze měřit rychle za sebou a nemusíme nechat hadice relaxovat.

Kromě toho vidíme také, že odchylka mezi jednotlivými měřeními je malá a chyba nepřekročila 5%. Z toho vyplývá, že pro každou hadici stačí provádět měření třikrát.

Při srovnání s výsledky zjištěnými u ocelové trubky docházíme k tomu, že pro tento typ hadice činí deformace kapaliny okolo 8% celkové deformace a tento poměr se zmenšuje se klesáním přetlaku.

Na obr. 6-7 v příloze jsou provedeny závislosti poměrné změny objemu hadic 272 326 PNT 628406 různých geometrických parametrů (Js10 délky 1000 mm, 500 mm a 1500 mm; Js8 - délky 1000 mm) na vnitřním přetlaku. Jak je z obrázku patrné, geometrické parametry hadice mají značný vliv na její objemovou změnu a tato souvislost není lineární, ale je dost složitá. Ještě se vrátíme k tomuto problému.

3) Hadice OPTIMIT PND : májí zhruba tvar daný na obr. 6-12

Pro tento druh hadice byla prováděna měření tří hadic o různých geometrických parametrech a výsledky byly uvedeny na grafech (v příloze) :

obr. 6-8 : hadice OPTIMIT 8/17 PND 21/416-81 IX-82, l=1,25m

obr. 6-9 : hadice OPTIMIT 10/21 PND 21/338-81, III-82, l = 1,6 m

obr. 6-10: hadice OPTIMIT 13/25 PND 21/340-81 l = 1,0 m.

Abychom zjistili, jaký je rozdíl objemových změn mezi hadicemi stejného druhu a stejného geometrického rozměru, byla prováděna pro každý druh hadice měření na pěti hadicích stejného rozměru. Každé měření bylo prováděno třikrát.

Z uvedených grafů vidíme, že rozdíl při měření různých hadic stejného rozměru není moc velký. Chyba při měření u

V oblasti nelinearity je směrnice tečeň ke křivce

přetlaku 4 MPa je (6 + 15)%, u přetlaku 8 MPa je (8 + 12)% a u přetlaku 12 MPa je (5 + 7)%. Z toho vyplývá, že při měření změny objemu hadice nebo obecně při vyšetřování vlastností hadice je potřeba provádět měření na několika hadicích stejného druhu a rozměru a odtud zjišťovat střední hodnoty. Tímto způsobem lze snížit chybu při měření na menší než 8%.

4) Hadice Js10 272 326 011 020 OPTIMIT  $\varnothing = 1$  m :

Bylo prováděno měření hadice Js10 OPTIMIT, u níž je objemová změna mnohem větší ve srovnání s objemovou změnou u hadice PNT a PND. Výsledky byly uvedeny na obr. 6-11 v příloze.

Měřením zjištěné hodnoty deformací nebudou přesně odpovidat skutečným hodnotám při provozu hadice. Odchylka je způsobena montáží hadice při měření proto vzniká v hadici axiální složka napětí, která částečně velikost deformací ovlivňuje. Úměrná souhrnnému modulu pružnosti hadice. Ten

Odečítáme-li objemovou změnu kapaliny v hadici od celkové změny objemu, obdržíme změnu objemu stěny hadice, což nám umožnuje odstranit vliv kapaliny při vyšetřování vlastností hadice.

Skutečné závislosti změny objemu stěny hadice na vnitřním přetlaku  $\Delta V_s = f(\Delta p)$  mají zhruba tvar daný na obr. 6-12. Výrazná nelineární závislost v okolí bodu  $\Delta p_1$  je způsobena změnou vlastnosti hadice při deformaci, především změnou modulu pružnosti tlakové vložky jako celku.

V rozsazích tlaků (0 až  $\Delta p_1$ ) a ( $\Delta p_2$  až  $\Delta p_3$ ) je však závislost přibližně lineární. Proto je možné nahradit závislost  $\Delta V_s = f(\Delta p)$  v těchto intervalech dvěma lineárními závislostmi.

Vzhledem ke skutečnosti, že deformace podle přímky 1 probíhá pouze v malém počátečním rozsahu a tudiž je pro uživatele hadice nezajímavá (pozn. směrnice přímky 1 je úměrná velikostem modulu pružnosti pryže a tlakové vložky v nezатíženém stavu). Pro výpočet však lze předpokládat, že deformace zde probíhá především deformací pryže duše.

V oblasti nelineární je směrnice tečny ke křivce

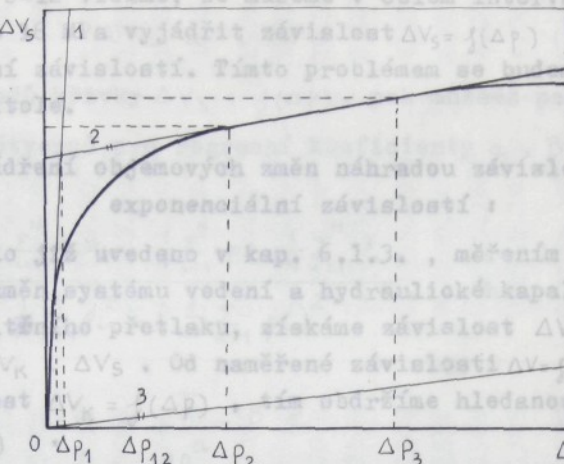
Z obr. 6-12 vidíme, že můžeme v celém intervalu přetlaku od 0 do  $\Delta p$  vyjádřit závislost  $\Delta V_S = f(\Delta p)$  přibližně exponenciální závislostí. Toto problém se bude zabývat v další kapitole.

#### 6.1.4. Vyjádření objemových změn náhradou závislosti exponenciální závislosti :

Jak bylo již uvedeno v kap. 6.1.3., měřením konečných objemových změn soustavu vedeného s hydraulické kapaliny při působení vnitřního tlaku, získáme závislost  $\Delta V = f(\Delta p)$ , kde  $\Delta V = \Delta V_K + \Delta V_S$ . Od naměřené závislosti  $\Delta V = f(\Delta p)$  odečteme závislost  $\Delta V_K = f_1(\Delta p)$  a tím získáme hledanou závislost  $\Delta V_S = f_2(\Delta p)$ .

Vidíme, že takto získaná závislost je nelineární a leží v určitém intervalu na Obr. 6 - 12 nelineární závislosti.

$\Delta V_S = f(\Delta p)$  úměrná souhrnnému modulu pružnosti hadice. Ten je z největší části určen souhrnným modulem pružnosti tlakové vložky. Souhrnný modul tlakové vložky je charakterizován modullem pružnosti materiálu tlakové vložky a úhlem vinutí šroubovice vláken. Při působení a změně vnitřního tlaku dochází ke změně úhlu vinutí a tím ke změně souhrnného modulu pružnosti. Dále může ke změně souhrnného modulu pružnosti dojít změnou modulu pružnosti materiálu s působícím tlakem. To se vyjadřuje zřetelněji v případech, kdy je tlaková vložka tvořena viskoelastickými materiály. Proto je v případě přízových hadic nelineární oblast výraznější než u hadic drátových, což odpovídá získaným výsledkům při měření. Potom hodnota úhlu vinutí dosáhne hodnoty blízké úhlu neutrálnímu a tedy deformace hadice bude ovlivňován pouze změnou modulu pružnosti materiálu tlakové vložky. Od určitého tlaku již ke změně souhrnného modulu nedochází, bude platit pro deformaci Hookův zákon a hodnota souhrnného modulu bude úměrná směrnici přímky 2. To se dá vysvětlit doménkou, že materiál bude "tvrdnout" vlivem dostatečně velkého tlaku, jeho struktura bude "zpevňována", modul pružnosti materiálu se stane skoro konstantním a tím bude skoro konstantní také souhrnný modul pružnosti hadice.

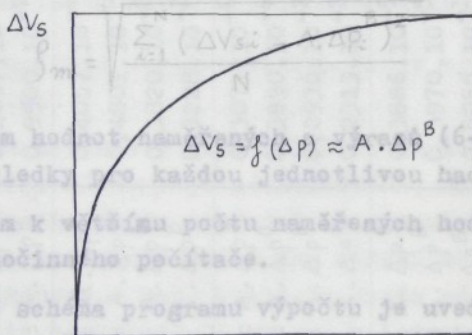


nebo z obr. 6-12 vidíme, že můžeme v celém intervalu přetlaku od 0 do 16 MPa vyjádřit závislost  $\Delta V_S = f(\Delta p)$  (přibližně exponenciální závislostí). Tímto problémem se budeme zabývat v další kapitole.

nejsou výsledky pro regresní koeficienty a, B, A psát:  
6.1.4. Vyjádření objemových změn náhradou závislosti exponenciální závislosti :

Jak bylo již uvedeno v kap. 6.1.3., měřením konečných objemových změn systému vedení a hydraulické kapaliny při působení vnitřního přetlaku, získáme závislost  $\Delta V = f(\Delta p)$ , kde  $\Delta V = \Delta V_K + \Delta V_S$ . Od naměřené závislosti  $\Delta V = f(\Delta p)$  odečteme závislost  $\Delta V_K = f(\Delta p)$ , tím obdržíme hledanou závislost  $\Delta V_S = f(\Delta p)$ .

Vidíme, že takto získaná závislost je nelineární a lze ji v určitém intervalu nahradit exponenciální závislosti (obr. 6-13). pro střední kvadratickou chybu psát:



Vzhledem k vztahu mezi počtu naměřených hodnot, je vhodné používat samočinné počítací.

Blokové schéma programu výpočtu je uvedeno zjednodušeně na obr. 6-14 v příloze. Program je napsán v jazyku FORTRANu a vyřešen na počítači EC 101.

Obr. 6-13

Potom můžeme psát: zímtě programem zjistit exponenciální závislosti na přetlaku ohně směny vedení  $\Delta V$  (změny objemu stěn + kapaliny) nebo směrové obíracové směny vedení:  $\Delta V_S = A \cdot \Delta p^B$  (6-6) kde A a B jsou regresní koeficienty. K jejich stanovení použijeme lineární regrese. To znamená, že exponenciální závislost nejprve linearizujeme zlogaritmováním a potom regresí získané koeficienty, vyjadřující směrnici a úsek na ose y přivedeme na regresní koeficienty exponenciály. Platí tedy:

$$\log \Delta V_S = \log A + B \log \Delta p$$
 pro jednotlivé typy hadic jsou uvedeny v tab. VI - 2

neboli

$$\bar{v} = a + B \cdot p \quad (6-7)$$

Máme-li N bodů křivky  $\Delta V_s = f(\Delta p)$ , pak můžeme podle metody nejmenších čtverců pro regresní koeficienty  $a$ ,  $B$ ,  $A$  psát:

$$B = \frac{\frac{1}{N} \sum_{i=1}^N p_i v_i - \frac{1}{N} \sum_{i=1}^N p_i \cdot \frac{1}{N} \sum_{i=1}^N v_i}{\frac{1}{N} \sum_{i=1}^N p_i^2 - \left( \frac{1}{N} \sum_{i=1}^N p_i \right)^2} \quad (6-8)$$

$$a = \bar{v} - B \bar{p} \quad (6-9)$$

$$A = 10^a \quad (6-10)$$

Při výpočtu regresních koeficientů podle vztahů (6-8), (6-9) a (6-10) můžeme pro střední kvadratickou chybu psát:

$$\rho_m = \sqrt{\frac{\sum_{i=1}^N (\Delta V_{si} - A \cdot \Delta p_i)^2}{N}} \quad (6-11)$$

Použitím hodnot naměřených a výrazů (6-8) až (6-11) obdržíme výsledky pro každou jednotlivou hadici.

Vzhledem k většímu počtu naměřených hodnot, je vhodné používat samočinného počítače.

Blokové schéma programu výpočtu je uvedeno zjednodušeně na obr. 6-14 v příloze. Program je napsán v jazyku FORTRANU a vyřešen na počítači EC 1033.

Podobně lze tímto programem zjistit exponenciální závislosti na přetlaku objemové změny vedení  $\Delta V$  (změny objemu stěn + kapaliny) nebo poměrné objemové změny vedení:

$$\Delta V = A_1 \cdot \Delta p^{B_1}; \quad v = A_2 \cdot \Delta p^{B_2}; \quad v_s = A_3 \cdot \Delta p^{B_3}$$

$$\text{kde } v = \frac{\Delta V}{V_0}; \quad v_s = \frac{\Delta V_s}{V_0}.$$

Těchto výsledků bude používano při zhodnocení a srovnání výsledků zjištěných různými experimentálními způsoby, které budou představeny v dalších kapitolách. Získané výsledky pro jednotlivý typ hadice jsou uvedeny v tab. VI - 2

Hadicø	Vztah	Koeficient A	Koeficient B	$\beta_m$	$\beta_m [\%]$
OPTIMIT 8/17 PND 21/416 81 IX-1982	$\Delta V_s = A \cdot \Delta P^B$ $\Delta V = A \cdot \Delta P^B$ $V = A \cdot \Delta P^B$ $V_A = A \cdot \Delta P^B$	$0,5969 \cdot 10^{-6}$ $0,6393 \cdot 10^{-6}$ $0,1017 \cdot 10^{-1}$ $0,9500 \cdot 10^{-2}$	$0,5404$ $0,5831$ $0,5831$ $0,5404$	$0,4372 \cdot 10^{-7}$ $0,6065 \cdot 10^{-7}$ $0,9656 \cdot 10^{-3}$ $0,6959 \cdot 10^{-3}$	4,5% 4,0% 4,5% 4,0%
OPTIMIT 10/21 PND 21/338 81 III-1982	$\Delta V_s = A \cdot \Delta P^B$ $\Delta V = A \cdot \Delta P^B$ $V = A \cdot \Delta P^B$ $V_A = A \cdot \Delta P^B$	$0,4057 \cdot 10^{-6}$ $0,4801 \cdot 10^{-6}$ $0,3820 \cdot 10^{-2}$ $0,3228 \cdot 10^{-2}$	$0,7328$ $0,7886$ $0,7886$ $0,7328$	$0,2790 \cdot 10^{-7}$ $0,3793 \cdot 10^{-7}$ $0,3021 \cdot 10^{-3}$ $0,2220 \cdot 10^{-3}$	1,5% 1,5% 1,5% 1,5%
OPTIMIT 13/25 PND 21/340 81	$\Delta V_s = A \cdot \Delta P^B$ $\Delta V = A \cdot \Delta P^B$ $V = A \cdot \Delta P^B$ $V_A = A \cdot \Delta P^B$	$0,3071 \cdot 10^{-6}$ $0,3890 \cdot 10^{-6}$ $0,2930 \cdot 10^{-2}$ $0,2313 \cdot 10^{-2}$	$0,7386$ $0,8048$ $0,8048$ $0,7386$	$0,3380 \cdot 10^{-7}$ $0,2323 \cdot 10^{-7}$ $0,1754 \cdot 10^{-3}$ $0,2545 \cdot 10^{-3}$	2,5% 1,0% 1,0% 2,0%
Jst 10 272 326 3 1021 10 PNT 628406	$\Delta V_s = A \cdot \Delta P^B$ $\Delta V = A \cdot \Delta P^B$ $V = A \cdot \Delta P^B$ $V_A = A \cdot \Delta P^B$	$0,3886 \cdot 10^{-5}$ $0,3970 \cdot 10^{-5}$ $0,5055 \cdot 10^{-1}$ $0,4948 \cdot 10^{-1}$	$0,1309$ $0,1568$ $0,1568$ $0,1309$	$0,1535 \cdot 10^{-6}$ $0,2280 \cdot 10^{-6}$ $0,2903 \cdot 10^{-2}$ $0,1955 \cdot 10^{-2}$	4,5% 4,0% 4,0% 4,0%
Jst 10 272 326 011 020 OPTIMIT X.78	$\Delta V_s = A \cdot \Delta P^B$ $\Delta V = A \cdot \Delta P^B$ $V = A \cdot \Delta P^B$ $V_A = A \cdot \Delta P^B$	$0,5167 \cdot 10^{-5}$ $0,5243 \cdot 10^{-5}$ $0,6675 \cdot 10^{-1}$ $0,6579 \cdot 10^{-1}$	$0,2980$ $0,3096$ $0,3096$ $0,2980$	$0,1079 \cdot 10^{-6}$ $0,1438 \cdot 10^{-6}$ $0,1832 \cdot 10^{-2}$ $0,1374 \cdot 10^{-2}$	1,0% 1,5% 1,5% 1,0%

( $\Delta V$  [ $10^{-6} \text{ m}^3$ ],  $\Delta V_s$  [ $10^{-6} \text{ m}^3$ ],  $\mathcal{V}$  [%],  $V_s$  [%] a  $\Delta p$  [MPa])

Z uvedených výsledků vidíme, že chyba při nahradě závislosti  $\Delta V_s = f(\Delta p)$  závislostí  $\Delta V_s = A \cdot \Delta p^B$  je poměrně malá, a proto můžeme v určitém intervalu počítat  $\Delta V_s$  podle vyhledaných výsledků. Tento závěr platí i pro vztahy  $\Delta V = f(\Delta p)$  nebo vztahy mezi  $\mathcal{V}$ ,  $V_s$  a  $\Delta p$ .

kde Při měření změn objemu při vyšších tlacích již nebylo odebírání  $\Delta p$  a  $\Delta V_s$  tak přesné jako při tlacích nižších. Bylo to působeno rychlým poklesem tlaku vzhledem k netěsnostem v obvodu.

Stanovení exponenciální závislosti  $\Delta V_s = A \cdot \Delta p^B$  znamená dosti velké množství výpočtů. Na druhé straně, při vyšetřování chování celého mechanismu je často třeba docházet k linearizování závislosti  $\Delta V_s$  na  $\Delta p$ . V těchto případech není vhodné používat exponenciální závislosti. V další kapitole zkusíme vypočítat a zjistit linearizované závislosti  $\Delta V_s$  na  $\Delta p$  v určitém intervalu pracovního přetlaku.

6.1.5. Linearizace závislosti  $\Delta V_s = f(\Delta p)$  v určitém intervalu přetlaku:

Jak bylo uvedeno v kap. 6.1.3. a na obr. 6-2, v rozsahu tlaku  $\Delta p_2$  až  $\Delta p_3$  je závislost  $\Delta V_s$  na  $\Delta p$  přibližně lineární. Víme také, že obyčejně ve skutečnosti není pracovní přetlak hadice menší než 4 MPa a není větší než 16 MPa (pro hadice měřené v kap. 6.1.3.). Proto nás napadá, zda je možné nahradit závislost  $\Delta V_s$  na  $\Delta p$  v intervalu přetlaků (4 + 16) MPa lineární závislostí a jaké velikosti dosáhne chyba při této nahradě.

Při linearizaci máme vztah:

$$\Delta V_s = A + B \cdot \Delta p \quad (6-12)$$

kde koeficienty A a B zjištujeme zase pomocí experimentálních výsledků a metody nejmenších čtverců:

$$B = \frac{\frac{1}{N} \sum_{i=1}^N \Delta V_{si} \cdot \Delta p_i - \frac{1}{N} \sum_{i=1}^N \Delta p_i \cdot \frac{1}{N} \sum_{i=1}^N \Delta V_{si}}{\frac{1}{N} \sum_{i=1}^N \Delta p_i^2 - \left( \frac{1}{N} \sum_{i=1}^N \Delta p_i \right)^2} \quad (6-13a)$$

$$A = \overline{\Delta V_s} - B \cdot \overline{\Delta p} \quad (6-13b)$$

Střední kvadratická chyba bude:

$$\beta_m = \sqrt{\frac{\sum_{i=1}^N [\Delta V_{si} - (A + B \cdot \Delta p_i)]^2}{N}} \quad (6-13c)$$

kde N je počet naměřených údajů v intervalu (4 až 16) MPa.

Je vhodné používat podobného programu výpočtu, jehož blokové schéma je uvedeno na obr. 6-14 s příslušnými opravami. Řešíme program také na počítači EC 1033 a obdržíme výsledky uvedené v tab. VI - 3. V tabulce byly také uvedeny výsledky  $\Delta V_s = A \cdot \Delta p^B$  napsané již v tab. VI - 2 s takovým účelem, že můžeme lehce srovnat přesnosti mezi dvěma metodami, t.j. náhradou exponenciální závislosti a náhradou linearizovanou závislosti. Podobně byly v tab. VI - 4 vyneseny exponenciální a linearizované závislosti  $\Delta V$  na  $\Delta p$ .

Z výsledků v tabulkách je patrné, že lze v intervalu přetlaku (4 až 16) MPa nahradit závislosti  $\Delta V_s = f(\Delta p)$  a  $\Delta V = f(\Delta p)$  linearizovanými závislostmi  $\Delta V_s$  a  $\Delta V$  na  $\Delta p$  s dostatečně malou chybou. To platí pro hadice s tlakovou vložkou drátovou i přízovou. Chyba při této náhradě je ekvivalentní ve srovnávání s chybou při náhradě exponenciální závislosti a výpočet je snadnější. Z toho vyplývá, že lze linearizovaných závislostí  $\Delta V$  a  $\Delta V_s$  na  $\Delta p$  používat při vyšetřování vlastností hadice v intervalu (4 až 16) MPa. Na druhé straně, jak bylo řečeno, máme pro hadice vztahy výpočtu souhrnného modulu pružnosti a kapacity:

$$K_{SH} = \frac{V_o \cdot \Delta p}{\Delta V} = V_o \cdot \frac{dp}{dv}$$

$$C_H = \frac{1}{D_H} = \frac{\Delta V}{\Delta p} = \frac{dv}{dp}$$

Používáme-li linearizované závislosti, bude platit:

$$C_H = \frac{d(A + B \cdot \Delta p)}{dp} = B$$

a pak:

$$K_{SH} = \frac{V_o}{C_H} = \frac{V_o}{B}$$

Hodice		Vztah	Koeficient A	Koeficient B	$\beta_m$	$\beta_m [\%]$
OPTIMIT	8/17 FND 21/416	$\Delta V = A + B \cdot \Delta P$	0,8433.10 <sup>-6</sup>	0,1579.10 <sup>-6</sup>	0,5853.10 <sup>-7</sup>	4,6%
		$\Delta V_S = A + B \cdot \Delta P$	0,8433.10 <sup>-6</sup>	0,1200.10 <sup>-6</sup>	0,4372.10 <sup>-7</sup>	4,5%
81	IX-1982	$\Delta V_S = A \cdot \Delta P^B$	0,5969.10 <sup>-6</sup>	0,5404		
OPTIMIT	10/21 FND 21/328	$\Delta V_S = A + B \cdot \Delta P$	0,4975.10 <sup>-6</sup>	0,1671.10 <sup>-6</sup>	0,3933.10 <sup>-7</sup>	2,0%
		$\Delta V_S = A \cdot \Delta P^B$	0,4057.10 <sup>-6</sup>	0,7328	0,2790.10 <sup>-7</sup>	1,5%
OPTIMIT	13/25 FND 21/338	$\Delta V_S = A + B \cdot \Delta P$	0,4638.10 <sup>-6</sup>	0,1180.10 <sup>-6</sup>	0,4055.10 <sup>-7</sup>	3,0%
		$\Delta V_S = A \cdot \Delta P^B$	0,3071.10 <sup>-6</sup>	0,7386	0,3380.10 <sup>-7</sup>	2,5%
J810	272 326 3 1021	$\Delta V_S = A + B \cdot \Delta P$	0,4088.10 <sup>-5</sup>	0,1179.10 <sup>-6</sup>	0,8778.10 <sup>-7</sup>	2,5%
		$\Delta V_S = A \cdot \Delta P^B$	0,3886.10 <sup>-5</sup>	0,1309	0,1535.10 <sup>-6</sup>	4,5%
J810	272 326 011 020	$\Delta V_S = A + B \cdot \Delta P$	0,6433.10 <sup>-5</sup>	0,3753.10 <sup>-6</sup>	0,1024.10 <sup>-6</sup>	1,0%
OPTIMIT	X.78	$\Delta V_S = A \cdot \Delta P^B$	0,5167.10 <sup>-5</sup>	0,2980	0,1079.10 <sup>-6</sup>	1,0%

Hadice	Vztah	Koeficient A	Koeficient B	$\beta_m [\%]$
OPTIMIT 8/17 PND 21/416 31 IX-1982	$\Delta V = A + B \cdot \Delta p$ $\Delta V = A \cdot \Delta p^B$	$0,8433 \cdot 10^{-6}$ $0,6394 \cdot 10^{-6}$	$0,1579 \cdot 10^{-6}$ $0,5873$	$0,5853 \cdot 10^{-7}$ $0,6073 \cdot 10^{-7}$
OPTIMIT 10/21 PND 21/338 81 III-1982	$\Delta V = A + B \cdot \Delta p$ $\Delta V = A \cdot \Delta p^B$	$0,4975 \cdot 10^{-6}$ $0,4801 \cdot 10^{-6}$	$0,2428 \cdot 10^{-6}$ $0,7886$	$0,3393 \cdot 10^{-7}$ $0,3793 \cdot 10^{-7}$
OPTIMIT 13/25 PND 21/340 81	$\Delta V = A + B \cdot \Delta p$ $\Delta V = A \cdot \Delta p^B$	$0,4638 \cdot 10^{-6}$ $0,3890 \cdot 10^{-6}$	$0,1980 \cdot 10^{-6}$ $0,8048$	$0,4055 \cdot 10^{-7}$ $0,2323 \cdot 10^{-7}$
J 810 272 326 3 1021 10 PNT 628406	$\Delta V = A + B \cdot \Delta p$ $\Delta V = A \cdot \Delta p^B$	$0,4088 \cdot 10^{-5}$ $0,3970 \cdot 10^{-5}$	$0,1652 \cdot 10^{-6}$ $0,1568$	$0,8778 \cdot 10^{-7}$ $0,2280 \cdot 10^{-6}$
J 810 272 326 011 020 OPTIMIT X.78	$\Delta V = A + B \cdot \Delta p$ $\Delta V = A \cdot \Delta p^B$	$0,6433 \cdot 10^{-5}$ $0,5243 \cdot 10^{-5}$	$0,4226 \cdot 10^{-6}$ $0,3096$	$0,1024 \cdot 10^{-6}$ $0,1438 \cdot 10^{-6}$

Tab. VI - 4

Zde koeficient  $B$  ve výrazu  $\Delta V = A + B \cdot \Delta P$  přímo vyjadřuje kapacitu hadice a odtud lze vypočítat souhrnný modul pružnosti hadice. To ukazuje také že můžeme při vyšetřování vlastností hadice a zjištování vlivu vlastností hadice na chování hydraulického mechanismu považovat kapacitu a souhrnný modul pružnosti hadice za konstantní, což činí chybu menší než 5% v intervalu (4 až 16) MPa. V tab. VI - 5 byly vyneseny hodnoty  $C_H$  a  $K_{SH}$  pro 5 naměřených hadic.

měření Hadice	$C_H$ [ $10^{-6} \cdot m^3 \cdot MPa^{-1}$ ]	$V_0$ [ $10^{-6} \cdot m^3$ ]	$K_{SH}$ [MPa]
OPTIMIT 8/17 PND 21/416 81 IX-1982	0,1579	62,8318	397,92
OPTIMIT 10/21 PND 21/338 81 III-1982	0,2428	125,6637	517,56
OPTIMIT 13/25 PND 21/340 nové zařízení 81	0,198	132,7323	670,4
Js10 272 326 3 10 21 10 PNT 628406	0,1652	78,5398	475,42
$\Delta V$ Js10 272 326 011 020 OPTIMIT X.78	0,4226	78,5398	185,85

hadice :

Tab. VI - 5

Podle vztahu (3-42)

Všechny výsledky v kap. 6.1. byly získány pomocí experimentálního zjištování objemových změn hadice měřením vyteklého množství kapaliny z hadice zatížené vnitřním přetlakem. Lze říci, že tato metoda dává dostatečně přesné výsledky, kterých se dá dobře používat při vyšetřování vlastností hadice a jejího vlivu na chování hydraulického mechanismu.

Nedostatek metody spočívá v tom, že někdy při měření dlouhých nebo hodně poddajných hadic je objem odměrného válce nedostačující. Rovněž odečítání objemu v milimetrech není

příliš vhodné. Proto by bylo výhodné převádět množství výteklé kapaliny na elektrický signál. To by šlo realizovat např. pomocí indukčního snímače.

Množství nerozpustěného vzduchu v kapalině ovlivňuje přesnost metody, musíme proto při měření vyloučit vzduch z kapaliny co nejlépe.

Měřením zjištěné hodnoty deformací nebudou přesně odpovídat skutečným hodnotám deformací při provozu hadice. Odchylka je způsobena montáží hadice při měření a proto při měření vzniká v hadici axiální složka napětí, která častečně ovlivňuje velikost deformací.

Kromě toho, tento způsob není vhodný při vyšetřování dynamických vlastností hadice nebo vyšetřování chování celého hydraulického systému, kde hadice je jeho součástí. V těchto případech dochází k velmi rychlé časové změně vnitřního přetlaku a nesmíme vypustit kapalinu z hadice. Proto by bylo vhodnější, kdybychom vyšetřovali a zjišťovali objemové změny hadice měřením vnějších geometrických parametrů hadice a odtud vypočítali vnitřní objemové změny hadice při vnitřním přetlaku.

S tímto cílem jdeme nejdříve k vyšetřování závislosti  $\Delta V_s$  na vnitřních geometrických parametrech hadice.

6.2. Vyšetřování závislosti  $\Delta V_s$  na geometrických parametrech hadice :  
Podle vztahu (3-42) platí:  
$$\Delta V_s = F(\beta_0, L, h, n, d, t, G_p, \Delta p)$$
  
To znamená, že  $\Delta V_s$  je funkcií geometrických parametrů hadice ( $d$  a  $l$ ) i parametrů konstrukčních a materiálových. Známe  $d$  a  $l$  hadice,  $\Delta p$  můžeme zjistit měřením. Ostatní parametry však obyčejně nemáme k dispozici.

Odtud vyplývá otázka, jaká je závislost  $\Delta V_s$  na parametrech  $d$ ,  $l$  hadice, zda se z toho stanoví experimentální formule výpočtu  $\Delta V_s$ . Dojdeme k vyšetřování této otázky použitím výsledků při stanovení exponenciální závislosti  $\Delta V_s = A \cdot \Delta p^B$ .

Získané výsledky uvedené v kap. 6.1.2. dávají regresní koeficienty, které platí pro určitý druh hadice o určitém rozměru.

Máme pro hadice HVT 272 326 OPTIMIT X.78 o různých průměrech a délkách koeficienty A a B, které jsou uvedeny v tab. VI - 6 . /30/

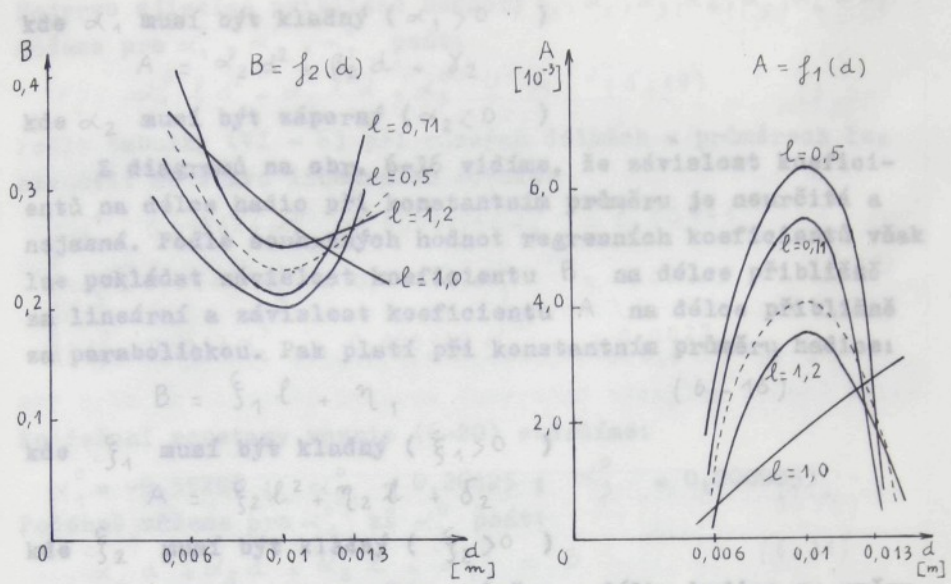
Průměr hadice m	koef.	dílčí hodnoty regresních koeficientů			
		$\ell = 0,5m$	$\ell = 0,71m$	$\ell = 1,0m$	$\ell = 1,2m$
0,006	B	0,26	0,29	0,35	0,38
	A	$2,32 \cdot 10^{-3}$	$1,44 \cdot 10^{-3}$	$5,50 \cdot 10^{-4}$	$3,77 \cdot 10^{-4}$
0,01	B	0,20	0,21	0,28	0,25
	A	$6,43 \cdot 10^{-3}$	$5,55 \cdot 10^{-3}$	$1,73 \cdot 10^{-3}$	$3,55 \cdot 10^{-3}$
0,013	B	0,26	0,30	0,24	0,27
	A	$1,56 \cdot 10^{-3}$	$9,11 \cdot 10^{-4}$	$2,70 \cdot 10^{-3}$	$1,67 \cdot 10^{-3}$

Tab. VI - 6

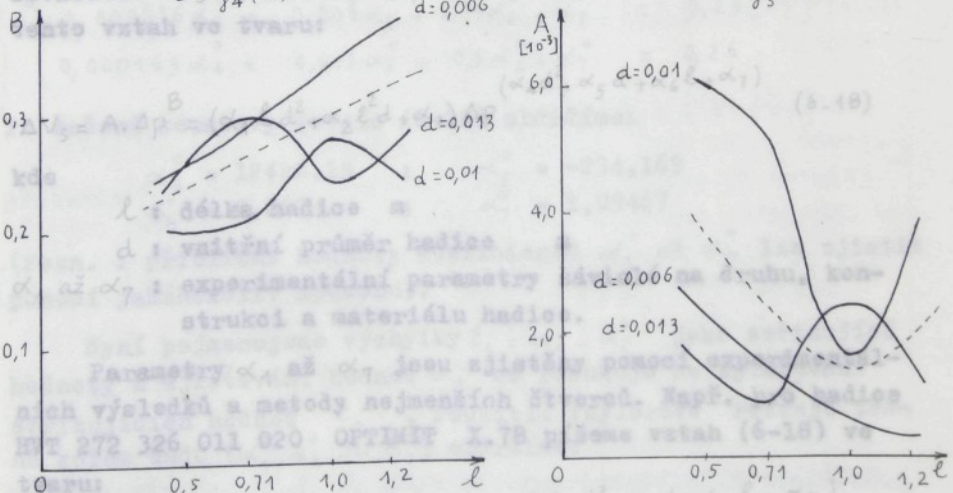
Z výsledků v tabulce vyplývá, že se koeficienty A a B mění v souvislosti na měně průměru a délky hadice. Jinak řečeno, můžeme A a B považovat za funkce průměru a délky hadice. Abychom zjistili závislosti A a B na rozměrech hadice, museli bychom z hodnot v tabulce nakreslit diagramy vyjadřující závislosti koeficientů na průměru hadice při určitých délkách a závislosti na délce při určitých průměrech. Diagramy  $A = f_1(d)$  a  $B = f_2(d)$  jsou nakresleny na obr. 6-15 a diagramy  $A = f_3(\ell)$  a  $B = f_4(\ell)$  na obr. 6-16 .

Z diagramů na obr. 6-15 můžeme předpokládat, že lze při určitých délkách a v určitém intervalu průměrů přibližně považovat závislosti koeficientů A a B na průměru za parabolické:

$$B = \alpha_1 d^2 + \beta_1 d + \gamma_1 \quad (6-14)$$



Ve skutečnosti se vliv průměru a délky hadice na změnu objemu hadice (t.j. na koeficienty  $A$  a  $B$ ) uplatňuje současně. Kombinaci vlivu  $\varnothing$  a  $l$  na koeficienty a matematickým spracováním lze odvodit všeobecný vzorec vyjadřující závislost  $B = f_4(l)$  nebo  $A = f_3(l)$ .



Obr. 6 - 16

kde  $\alpha_1$  musí být kladný ( $\alpha_1 > 0$ )

$$A = \alpha_2 d^2 + \beta_2 d + \gamma_2$$

kde  $\alpha_2$  musí být záporný ( $\alpha_2 < 0$ )

Z diagramů na obr. 6-16 vidíme, že závislost koeficientů na délce hadic při konstantním průměru je neurčitá a nejasná. Podle souhrnných hodnot regresních koeficientů však lze pokládat závislost koeficientu B na délce přibližně za lineární a závislost koeficientu A na délce přibližně za parabolickou. Pak platí při konstantním průměru hadice:

$$B = \xi_1 l + \eta_1 \quad (6-16)$$

kde  $\xi_1$  musí být kladný ( $\xi_1 > 0$ )

$$A = \xi_2 l^2 + \eta_2 l + \delta_2$$

kde  $\xi_2$  musí být kladný ( $\xi_2 > 0$ )

Ve skutečnosti se vliv průměru a délky hadice na změnu objemu hadice (t.j. na koeficienty A a B) uplatňuje současně. Kombinací vlivu l a d na koeficienty a matematickým zpracováním lze odvodit všeobecný vzorec vyjadřující závislost  $\Delta V_S$  přímo na  $\Delta p$ , l a d. Předpokládáme tento vztah ve tvaru:

$$\Delta V_S = A \cdot \Delta p = (\alpha_1 l d^2 + \alpha_2 l^2 d + \alpha_3) \Delta p \quad (6-18)$$

kde  $\alpha_1 = 12426,19$ ;  $\alpha_2 = -234,169$

l : délka hadice m;  $\alpha_3 = 1,09467$

d : vnitřní průměr hadice m

$\alpha_1$  až  $\alpha_7$  : experimentální parametry závislé na druhu, konstrukci a materiálu hadice.

Nyní pojednáváme všechny tyto parametry jako seřazující Parametry  $\alpha_1$  až  $\alpha_7$  jsou zjistěny pomocí experimentálních výsledků a metody nejmenších čtverců. Např. pro hadice HVT 272 326 011 020 OPTIMIT X.78 píšeme vztah (6-18) ve tvaru:

$$V = (\alpha_1 l d^2 + \alpha_2 l^2 d + \alpha_3) \frac{(\alpha_4 d^2 + \alpha_5 d + \alpha_6 l + \alpha_7)}{\Delta p} \quad (6-23)$$

Nejprve zjistíme přibližné hodnoty  $\alpha_1^o, \alpha_2^o, \alpha_3^o, \alpha_4^o, \alpha_5^o, \alpha_6^o$  a  $\alpha_7^o$ . Můžeme pro  $\alpha_1^o, \alpha_2^o, \alpha_3^o$  psát:

$$\alpha_1^o d^2 + \alpha_2^o l^2 d + \alpha_3^o = A \quad (6-19)$$

Podle tabulky (VI - 6) při různých délkách a průměrech lze stanovit soustavu lineárních rovnic:

$$\left\{ \begin{array}{l} \alpha_3^o + 0,003024 \alpha_2^o + 0,00002556 \alpha_1^o = 0,00144 \\ \alpha_3^o + 0,0144 \alpha_2^o + 0,00012 \alpha_1^o = 0,00355 \end{array} \right. \quad (6-20)$$

$$\left\{ \begin{array}{l} \alpha_3^o + 0,013 \alpha_2^o + 0,000169 \alpha_1^o = 0,0027 \\ \dots \end{array} \right. \quad (6-25)$$

Pak můžeme pro  $\alpha_4^o, \alpha_5^o, \alpha_6^o, \alpha_7^o$  psát soustavu lineárních rovnic:

$$\alpha_1^o = -9,59286; \quad \alpha_2^o = 0,26425; \quad \alpha_3^o = 0,0008853 \quad (6-26)$$

Podobně můžeme pro  $\alpha_4^o$  až  $\alpha_7^o$  psát:

$$\alpha_4^o d^2 + \alpha_5^o l^2 d + \alpha_6^o l + \alpha_7^o = B \quad (6-21)$$

Pak máme soustavu lineárních rovnic:

$$\left\{ \begin{array}{l} 0,000036 \alpha_4^o + 0,006 \alpha_5^o + 1,0 \alpha_6^o + \alpha_7^o = 0,35 \\ 0,0001 \alpha_4^o + 0,01 \alpha_5^o + 1,2 \alpha_6^o + \alpha_7^o = 0,25 \end{array} \right. \quad (6-22)$$

$$\left\{ \begin{array}{l} 0,000036 \alpha_4^o + 0,006 \alpha_5^o + 0,71 \alpha_6^o + \alpha_7^o = 0,29 \\ 0,000169 \alpha_4^o + 0,013 \alpha_5^o + 0,5 \alpha_6^o + \alpha_7^o = 0,26 \end{array} \right. \quad (6-27)$$

Po řešení soustavy rovnic (6-22) obdržíme:

$$\alpha_4^o = 12426,19; \quad \alpha_5^o = -234,169$$

$$\text{přičemž: } \alpha_6^o = 0,207; \quad \alpha_7^o = 1,09467$$

(Pozn.: přibližné hodnoty koeficientů  $\alpha_i^o$  až  $\alpha_7^o$  lze zjistit pomocí jakéhokoliv způsobu).

Nyní pojmenujeme výchylky  $\xi_i = \alpha_i - \alpha_i^o$  jako seřizující hodnoty a zjištování hodnot  $\alpha_i$  se redukuje na zjištování seřizujících hodnot  $\xi_i$ . Použitím Taylorová rozvoje těsně kolem bodu  $(\alpha_1^o, \alpha_2^o, \dots, \alpha_7^o)$  obdržíme:

$$f(p, d, l; \alpha_1 \div \alpha_7) \approx f(p, d, l; \alpha_1^o \div \alpha_7^o) + \sum_{i=1}^7 \frac{\partial f(p, d, l; \alpha_1^o \div \alpha_7^o)}{\partial \alpha_i} \xi_i \quad (6-23)$$

Zde je potřeba programovat a počítat na počítači. Hodnoty můžete počítat podle vztahů:

kde:

$$\varphi(p, d, l; \alpha_1 \dots \alpha_7) = \sum_{i=1}^7 \frac{\partial f(p, d, l; \alpha_1 \dots \alpha_7)}{\partial \alpha_i} \varepsilon_i \quad (6-24)$$

Označíme-li :

$$V_i = \varphi_i - f(p_i, d_i, l_i; \alpha_1 \dots \alpha_7) \quad (i = 1 \dots n) \quad (6-25)$$

Pak bude platit:

$$V_i \approx \varphi(p_i, d_i, l_i; \alpha_1 \dots \alpha_7) \quad (i = 1 \dots n) \quad (6-25)$$

Podle metody nejmenších čtverců zvolíme  $\alpha_1$  až  $\alpha_7$  tak, aby byla co nejmenší poměrná čtverečná odchylka určená vztahem:

$$\sigma_n = \sqrt{\frac{1}{n} \sum_{i=1}^n [V_i - \varphi(p_i, d_i, l_i; \alpha_1 \dots \alpha_7)]^2} \quad (6-26)$$

Pomocí metody nejmenších čtverců obdržíme soustavu lineárních rovnic pro  $\varepsilon_1$  až  $\varepsilon_7$  ve tvaru:

$$\left\{ \begin{array}{l} [\varphi_1, \varphi_2] \varepsilon_1 + [\varphi_2, \varphi_3] \varepsilon_2 + \dots + [\varphi_7, \varphi_1] \varepsilon_7 = [V, \varphi_1] \\ [\varphi_2, \varphi_1] \varepsilon_1 + [\varphi_3, \varphi_2] \varepsilon_2 + \dots + [\varphi_1, \varphi_7] \varepsilon_7 = [V, \varphi_2] \\ \dots \\ [\varphi_7, \varphi_1] \varepsilon_1 + [\varphi_1, \varphi_2] \varepsilon_2 + \dots + [\varphi_7, \varphi_7] \varepsilon_7 = [V, \varphi_7] \end{array} \right. \quad (6-27)$$

přičemž:

$$[\varphi_r, \varphi_s] = \sum_{i=1}^n \left[ \frac{\partial f(p_i, d_i, l_i; \alpha_1 \dots \alpha_7)}{\partial \alpha_r} \times \frac{\partial f(p_i, d_i, l_i; \alpha_1 \dots \alpha_7)}{\partial \alpha_s} \right] \quad (6-28)$$

$$[V, \varphi_r] = \sum_{i=1}^n V_i \frac{\partial f(p_i, d_i, l_i; \alpha_1 \dots \alpha_7)}{\partial \alpha_r} \quad (6-29)$$

kde hodnoty  $V_i$ ,  $p_i$ ,  $d_i$ ,  $l_i$  máme od experimentálních výsledků. Dosazením hodnot  $[\varphi_r, \varphi_s]$  a  $[V, \varphi_r]$  do soustavy rovnic (6-27) a řešením této soustavy obdržíme hodnoty  $\varepsilon_1$  až  $\varepsilon_7$ . Tady můžeme programovat a počítat na počítači. Hodnoty  $\alpha_i$  lze počítat podle vztahu:

$$6.3.1. \text{ Snímání změny vnitřního průměru a délky hadice} \quad (6-30)$$

Vzorec (6-18) nám názorně dává závislost  $\Delta V_s$  na  $\Delta p$ , d a l. Je to obecný vzorec. Koeficienty  $\alpha_3$  a  $\alpha_7$  můžeme považovat za koeficienty vyjadřující závislost  $\Delta V_s$  na konstrukčních a materiálových parametrech hadice. Pro každý druh (sortiment) hadice se musí formulovat jednotlivý vzorec (způsob stanovení je totožný jako stanovení vzorce  $\Delta V_s = A \cdot \Delta p^B$  co do množství měření, jejich přesnost je stejná ale výpočet je složitější).

Nedostatek vzorce spočívá v tom, že stanovení a použití vzorce jsou náročná, komplikovaná a je nutno používat samočinného počítače.

Z uvedených vyšetřování vidíme, že objemová změna vedení je závislá na jeho geometrických parametrech. To znamená, že při změně vnitřního přetlaku dojde ke změně geometrických vnitřních i vnějších parametrů hadice. Z toho vzniká problém, zda můžeme objemovou změnu hadice zjistit proměřením geometrických vnějších parametrů hadice. V další kapitole se budeme tímto problémem zabývat.

### 6.3. Zjišťování objemových změn hadice proměřením geometrických parametrů hadice :

Z měření vyplývá, že při působení vnitřního přetlaku dochází ke změně průměru a délky hadice. Tyto změny závisí rovněž na konstrukci hadice, zejména na opletu či ovinutí kostry hadice. Jde nám o problém, jak zjistíme deformaci hadice pomocí měření změn geometrických parametrů, t.j. vnějšího průměru a délky hadice, jaký je vztah mezi změnami vnějšího a vnitřního objemu hadice a zda proměřením geometrických parametrů hadice vypočítáme a zjistíme kapacitní vlastnosti hadice.

Obr. (6 - 17a)

V této kapitole bude ukázána a zhodnocena možnost měření objemových deformací hadicového vedení proměřením jeho geometrických parametrů, t.j. vnějšího průměru a délky. Změny vnějšího průměru a délky hadice naměřené při statickém zatižení hadice vnitřním přetlakem budou použity pro výpočet změny objemu hadice, resp. poměrné změny objemu.

### 6.3.1. Snímání změny vnějšího průměru a délky hadice - uspořádání měřícího zařízení :

Změna vnějšího průměru byla snímána pomocí indukčního snímače polohy IWT 102 (RFT Dresden) s taliřkovým doteckem (IS2 na obr. 6-18), jehož celkové uspořádání je zřejmé z obr. (6-17a, b). Z uspořádání držáku snímače rovněž vyplývá, že je nutno měřenou výchylku  $\Delta Y$  přepočít na změnu průměru  $\Delta D$ .

Přepočet výchylky  $\Delta Y$  na změnu vnějšího průměru hadice  $\Delta D$  provedeme dle obr. (6-17a). Změna měřená snímačem je dána změnou poloměru  $\Delta R$  a posunutím středu kružnice  $Y$  :

$$\Delta Y = \Delta R + Y \quad (6-31)$$

Posunutí středu kružnice  $Y$  lze psát z obr. (6-17a) :

$$Y = \Delta R - \frac{1}{\sin \alpha} \quad (6-32)$$

Obr. (6-17b)

Změna délky hadice (resp. její zkrácení  $\Delta l$ ) byla snímána indukčním snímačem polohy IS 302 (RFT Dresden). Celkové uspořádání je znázorněno na obr. (6-18).

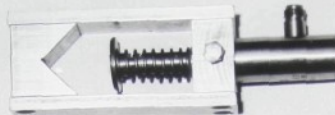
Jednotlivé měřicí součásti byly uskladněny nastavením tlakového ventilu na tlakových a výkonových přetlaku v kombinaci se škrťicím ventilem VS (V-1-15). Přetlak v hadici byl odečítán pomocí tlakového snímače TS, který je připojen k osciloskopu OG (SLS 1000 Dresden) přes můstek UK. Napájení obvodu bylo zajištěno hydraulickým agregátem HA (HA 1,2 - 200 INOVA Praha,  $Q_{max} = 1,2 \text{ l.min}^{-1}$ ,  $p_{max} = 20 \text{ MPa}$ ). Hodnoty změny průměru  $\Delta D$  a délky  $\Delta l$  byly zaznamenány pro každou úroveň zvoleného přetlaku ve dvou měřeních. Záznam hodnot  $\Delta D$  a  $\Delta l$  byl proveden také na osciloskopu OG.

Hadice byla při měření pochována ve vložení, které má tvorbu Odtud lze vyjádřit změnu poloměru, resp. průměru hadice: při měření.

$$\Delta D = 2 \cdot \Delta R = 2 \frac{\Delta Y}{1 + \frac{1}{\sin \alpha}} \quad (6-33)$$

### 6.3.2. Výpočet změny geometrického objemu hadice :

Pro úhel  $\alpha = 45^\circ$  je  $\sin \alpha = \frac{\sqrt{2}}{2}$ , pak změna průměru: geometrický, t.j. vnější průměr  $\Delta D = 0,828427 \text{ u.}$ .  $\Delta Y$ : četně koncovek, ne



Obr. (6-17b)

Změna délky hadice (resp. její zkrácení  $\Delta l$ ) byla snímána indukčním snímačem polohy IWT 302 (RFT Dresden). Celkové uspořádání je znázorněné na obr. (6-18).

Jednotlivé úrovně přetlaku byly dosavány nastavením tlakového ventilu VT, při nízkých úrovních přetlaku v kombinaci se škrtícím ventilem VS (VŠ 1-15). Přetlak v hadici byl odečítán pomocí tlakového snímače TS, který je připojen k oscilografu OG (8LS-1 RFT Dresden) přes můstek UM. Napájení obvodu bylo zajištěno hydraulickým agregátem HA (HA 1,2 - 200 INOVA Praha,  $Q_{jm} = 1,2 \text{ l.min}^{-1}$ ,  $p_{max} = 20 \text{ MPa}$ ). Hodnoty změny průměru  $\Delta D$  a délky  $\Delta l$  byly zaznamenány pro každou úroveň zvoleného přetlaku ve dvou měřeních. Záznam hodnot  $\Delta D$  a  $\Delta l$  byl proveden také na oscilografu OG. Hadice byla při měření položena ve vedení, které má tvar písma "V" a proto zaručovalo její přímost a stabilitu při měření.

#### 6.3.2. Výpočet změny geometrického objemu hadice :

Původní vnější objem hadice  $V$ , daný její geometrií, t.j. vnějším průměrem  $D$  a délkou  $l$  včetně koncovek, se

při zvýšení průřezu  $\Delta P$  a skrácení hadice  $\Delta l$  vlivem vonného tlaku.

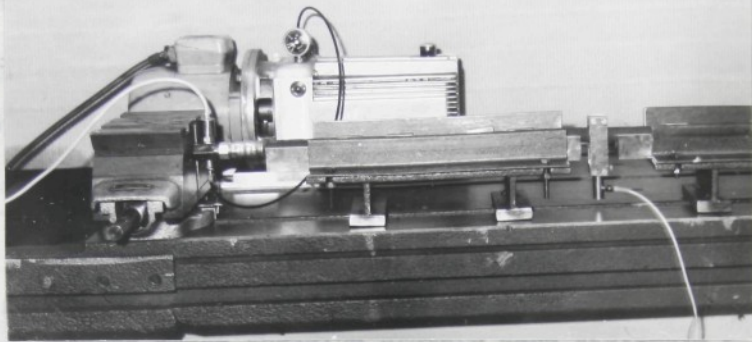
Po rozebrání:

[V.  $\Delta V$ ]

(6-36)

Osnova:

kde:



$\bar{l}$  : poměrná změna délky dáná přetlakem  $P$   
pak po dosazení (6-37) a (6-38) do (6-36) obdržíme vztah pro změnu vonného objemu  $\Delta V$ :

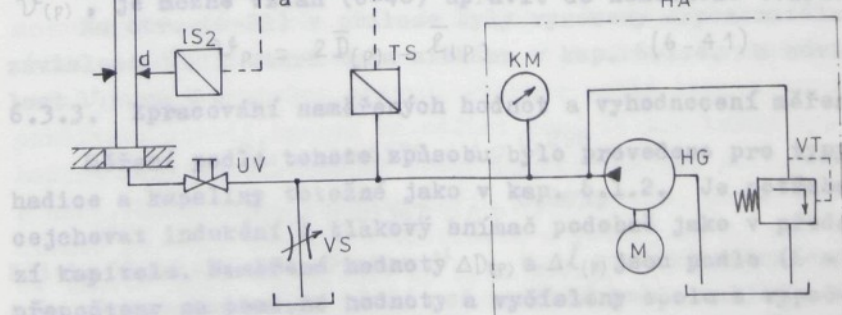
$$IS_1 \frac{U_t}{\ell} = \left[ \frac{\bar{l}^2(1 - \bar{x}^2 - \bar{D}^2 - 2\bar{l})}{4} \right] P \quad (6-39)$$

Odkud je poměrnou změnu vonného objemu zjistíme:

$$(U_t)_P = \frac{[\Delta V]_P}{V} = \left[ \frac{\bar{l}(2 + \bar{D}) - \bar{l}(1 + \bar{D})^2}{V} \right] P \quad (6-40)$$

Při mazání malých veličin druhého a třetího rádu a osná-  
čení veličin, které jsou funkciemi přetlaku jako  $\bar{D}_P$ ,  $\ell_P$ ,

$V_P$ , je možné vztah (6-40) upravit do konečného tvaru:



Obr. 6-18

při změně průměru  $\Delta D$  a zkrácení hadice  $\Delta l$  vlivem vnitřního přetlaku  $p$  zvětší o hodnotu  $\Delta V_v$ . Pro objem hadice po deformaci platí:

$$1) \text{ Hadice } \stackrel{\text{SLO}}{[V + \Delta V_v]}_p = \left[ \frac{\pi}{4} (D + \Delta D)^2 (l - \Delta l) \right]_p \quad (6-36)$$

Po roznásobení a vytáhnutí hodnoty  $\frac{\pi}{4} D^2 l = V$  obdržíme:

$$[V + \Delta V_v]_p = \left\{ \frac{\pi}{4} D^2 l \left[ 1 + 2 \left( \frac{\Delta D}{D} \right) + \left( \frac{\Delta D}{D} \right)^2 - \left( \frac{\Delta l}{l} \right) - 2 \left( \frac{\Delta D}{D} \right) \left( \frac{\Delta l}{l} \right) - \left( \frac{\Delta D}{D} \right)^2 \left( \frac{\Delta l}{l} \right) \right] \right\}_p \quad (6-36)$$

Označíme-li  $\left( \frac{\Delta D}{D} \right)_p = \bar{D}$  a pomocí programu výpočtu na počítači stejného typu, kap. 6.1.4, získáme výsledky v tab.

VI - 7.

$$\left( \frac{\Delta l}{l} \right)_p = \bar{l} \quad (6-38)$$

kde:

$\bar{D}$  : poměrná změna vnějšího průměru daná přetlakem  $p$

$\bar{l}$  : poměrná změna délky daná přetlakem  $p$

pak po dosazení (6-37) a (6-38) do (6-36) obdržíme vztah pro změnu vnějšího objemu  $\Delta V$  :

$$[\Delta V_v]_p = \left\{ \frac{\pi}{4} D^2 l \left[ 2\bar{D} + \bar{D}^2 - \bar{l} - 2\bar{D}\bar{l} - \bar{D}^2 \bar{l} \right] \right\}_p \quad (6-39)$$

Odkud pro poměrnou změnu vnějšího objemu platí:

$$(V)_p = \frac{[\Delta V_v]_p}{V} = \left[ \bar{D} (2 + \bar{D}) - \bar{l} (1 + \bar{D})^2 \right]_p \quad (6-40)$$

Při zanedbání malých veličin druhého a třetího řádu a označení veličin, které jsou funkciemi přetlaku jako  $\bar{D}_{(p)}$ ,  $\bar{l}_{(p)}$ ,  $V_{(p)}$ , je možné vztah (6-40) upravit do konečného tvaru:

$$V_p = 2\bar{D}_{(p)} - \bar{l}_{(p)} \quad (6-41)$$

### 6.3.3. Zpracování naměřených hodnot a vyhodnocení měření :

Měření podle tohoto způsobu bylo provedeno pro typy hadice a kapaliny totožné jako v kap. 6.1.2. Je potřeba církovat indukční a tlakový snímač podobně jako v předchozí kapitole. Naměřené hodnoty  $\Delta D_{(p)}$  a  $\Delta l_{(p)}$  jsou podle (6-37) přepočteny na poměrné hodnoty a vyčísleny spolu s vypočtenou poměrnou změnou objemu podle (6-41). Hodnoty  $\bar{D}_{(p)}$ ,  $\bar{l}_{(p)}$  a  $V_{(p)}$  byly vyneseny v grafech (viz. obr. (6-20) až (6-23))

v příloze).

Přistoupíme k vyšetřování každé hadice.

1) Hadice Js10 272 326 011 020 OPTIMIT X.78 :

Vypočtené hodnoty z měření byly vyneseny na obr. (6-20) v příloze. Vidíme, že jejich průběh je obdobný jako průběh změny vnitřního objemu hadice (viz. kap. 6.1.). Odtud vyplývá, že je také možné vyjadřovat závislosti  $\bar{D}(p)$ ,  $\bar{l}(p)$  a  $\bar{V}(p)$  na přetlaku  $\Delta p$  náhradními exponenciálními závislostmi. Metodou nejmenších čtverců a pomocí programu výpočtu na počítači stejného jako v kap. 6.1.4. obdržíme výsledky v tab. VI - 7.

Vztah	Koeficient A	Koeficient B	$\sigma_m [\%]$
$\bar{D}(p) = A \cdot \Delta p^B$	$0,1144 \cdot 10^{-1}$	0,6684	4%
$\bar{l}(p) = A \cdot \Delta p^B$	$0,8582 \cdot 10^{-2}$	0,7021	3%
$\bar{V}(p) = A \cdot \Delta p^B$	$0,1376 \cdot 10^{-1}$	0,6639	8%
$\Delta V(p) = A \cdot \Delta p^B$	$0,4323 \cdot 10^{-5}$	0,6639	7%

experimentem, pak můžeme z naměřených hodnot změny vnějšího objemu vypočítat i vnitřní objemový značky s dostatečnou přesností. Vidíme, že výsledky nejsou tak přesné jako u předchozí metody, ale lze jich používat.

Na obr. (6-21) v příloze byly vyneseny exponenciální závislost  $\bar{V}_s$ , která byla získána v kap. 6.1.4. a závislost  $\bar{V}(p)$  na  $\Delta p$ . Uvedený výsledek. Abychom mohli tohoto vztahu používat, museli bychom to udělat pro každý typ hadice uděláme několik měření na hadicích o několika různých délcech, potom vypočítáme střední hodnoty koeficientů a použijeme je pro hadice Křivka  $\bar{V}(p)$  leží pod křivkou  $\bar{V}_s$ , t.j. poměrná změna vnitřního objemu hadice je větší než poměrná změna vnějšího objemu. Z toho nás zajímá, jaký je vztah mezi objemovou změnou vnitřní a vnější.

Máme vztahy:

$\mathcal{V}_s = A_1 \cdot \Delta P^{B_1}$  u hadice OPTIMIT obdržíme výsledky vypočtené z naměřených hodnot vynesené na obr. (6-22) v příloze. Ve srovnání s výrazem u hadice PNT je méně zhruba dvakrát Z toho vyplývá: je malá (poměrná chyba při měření je kolem 15 až 20%). Z měřených hodnot metodou nejmenších čtverců lze výraz sjetí  $\mathcal{V}_{(P)} = A_2 \cdot \Delta P^{B_2}$  u hadice PNT je menší zhruba dvakrát. Právě jíž měří  $\mathcal{V}_{(P)}$ , abychom provedli výpočty s hledanou mezi objemovou změnou vnitřní a vnější.

$$3) \text{ Hadice } \mathcal{V}_s = \mathcal{V}_{(P)} \times A_3 \cdot \Delta P^{B_3} \quad (6-42)$$

kde  $A_3 = A_1 / A_2$  a  $B_3 = B_1 - B_2$ . Výraz (6-42) dává vztah mezi poměrnou změnou vnitřního a vnějšího objemu hadice. To je zase exponenciální závislost.

Foužitím experimentálních hodnot a metodou nejmenších čtverců obdržíme pro hadici Js10 272 326 011 02061OPTIMIT

X.78 vztah: malé a jemné, proto je těžko zjistit přesně. Z

$$\mathcal{V}_s = \mathcal{V}_{(P)} \cdot 4,7812 \cdot \Delta P^{-0,3659} \quad (6-43)$$

( $\beta_m = 0,1532 \cdot 10^{-6}$ ;  $\beta_m [\%] = 1,5\%$ )

Z výsledku vyplývá, obdržíme-li koeficienty  $A_3$  a  $B_3$  experimentantem, pak můžeme z naměřených hodnot změn vnějšího objemu vypočítat vnitřní objemové změny s dostatečnou přesností.

Nevýhoda spočívá v tom, že se pro hadice různých geometrických parametrů, materiálových a konstrukčních vlastností vyskytují koeficienty  $A_3$  a  $B_3$  různé. Proto nemá vztah (6-43) skutečný význam. Abychom mohli tohoto vztahu používat, museli bychom to udělat tak, že pro každý typ hadice uděláme experiment oběma způsoby měření na hadicích o několika různých geometrických parametrech, potom vypočítáme střední hodnoty koeficientů a použijeme je pro hadice tohoto typu. Ta metoda by byla možná, ale vyvolá dosti velké množství experimentantů.

2) Hadice Js10 272 326 3 10 21 1OPNT 628406 :

Podobně jako u hadice OPTIMIT obdržíme výsledky vypočtené z naměřených hodnot a vynesené na obr. (6-22) v příloze. Ve srovnání s výsledky u hadice PNT (obr. 6 - 20) vidíme, že změna objemu hadice PNT je menší zhruba dvakrát a přesnost měření je malá (poměrná chyba při měření je kolem 15 až 20%). Z měřených hodnot metodou nejmenších čtverců lze taky zjistit náhradní exponenciální závislosti  $\nu_{(p)}$ ,  $\bar{D}_{(p)}$  a  $\bar{l}_{(p)}$  na  $\Delta p$ , ale poměrné chyby dosahují až (18+20)%. Proto již nemá význam, abychom provedli výpočty a hledali vztah mezi objemovou změnou vnitřní a vnější.

### 3) Hadice OPTIMIT 10/21 PND 21/338-81 III-1982 :

Vypočtené výsledky z naměřených hodnot pro tuto hadici byly vyneseny na obr. (6-23) v příloze.

Změny vnějšího průměru a délky, t.j. obecně vnější deformace u této hadice jsou velmi malé a výsledky měření jsou nepřesné. Používalo se zařízení měření dávajícího velkou přesnost, ale deformace vnějšího průměru a délky hadice jsou příliš malé a jemné, proto je těžko zjistit přesně. Z experimentálních křivek ani nemůžeme náhradné exponenciální závislosti přibližně formulovat, tedy nelze vyhledat vztah mezi deformací vnitřní a vnější, který dává dostatečnou a uživatelnou přesnost.

Ze všech výsledků v této kapitole lze předběžně udělat závěr, že se dá metoda zjištování objemových změn hadice proměřením geometrických parametrů (vnějších) uplatnit jen pro hadice přízovým opletem, obecně pro hadice mající dostatečně velkou vnější deformaci. Měření u hadic s drátovým opletem, které mají velmi malé vnější deformace, nedává přesné výsledky proto, že při měření vnější deformace hadice má její konstrukce značnější a složitější vliv na měřené hodnoty než u měření vnitřních deformací, což způsobuje nepřesnost měření.

Potřebujeme vyhledat způsob, který nám umožňuje odstranit nebo omezit nedostatek metody měření vnějších geometrických parametrů a dává dostatečně přesné výsledky, současně umožňuje vyšetřovat i dynamické vlastnosti hadice a

jejich vliv na chování celého hydraulického mechanismu, t. zn. nemusíme při měření vypustit kapalinu z měřené hadice. Přistoupíme k vyšetřování deformace hadice souvislým měřením

#### 6.4. Zjištování objemových změn hadice souvislým měřením :

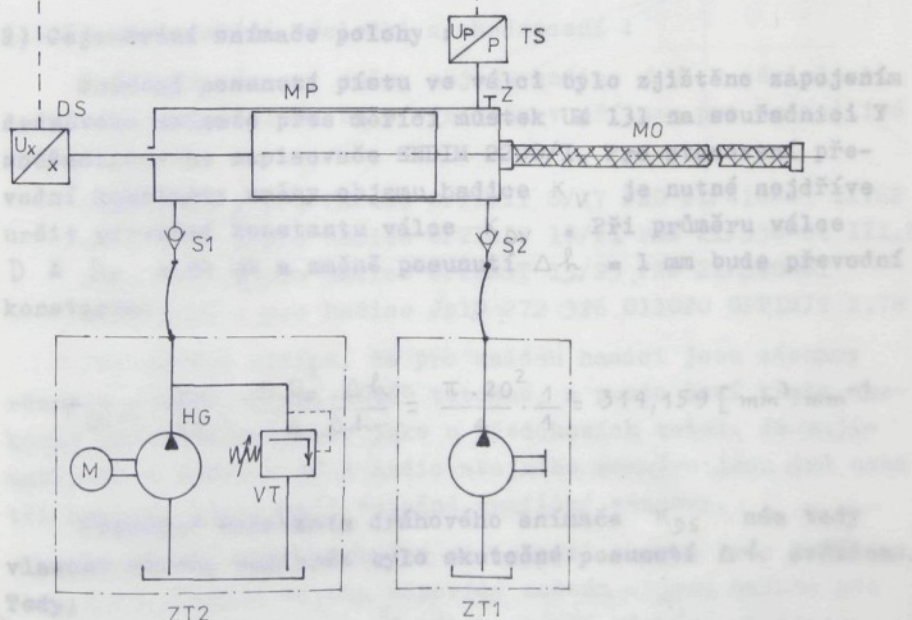
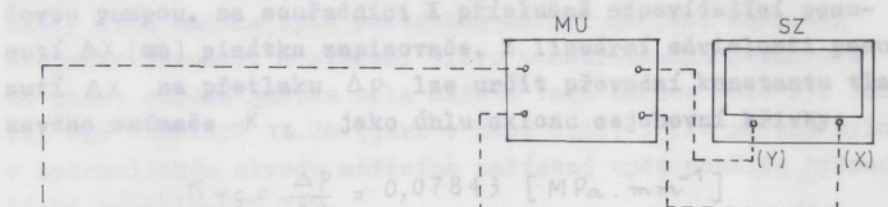
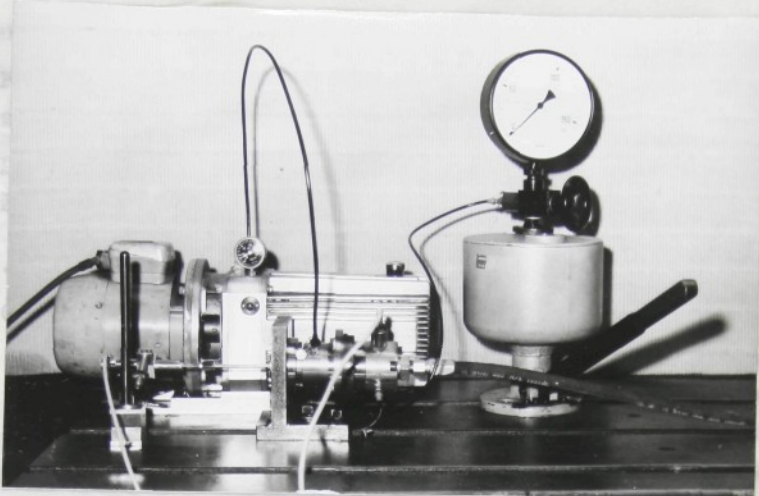
Jak bylo ukazáno, zjištování objemových změn hadice měřením vytéklého množství kapaliny z hadice zatížené vnitřním přetlakem není výhodné v případu, kdy nemůžeme vypustit kapalinu z hadice, např. při vyšetřování dynamických vlastností hadice nebo vyšetřování vlivu vlastností hadice na chování celého hydraulického mechanismu. Kromě toho, tímto způsobem lze zjišťovat objemové změny hadice jenom při sňazování přetlaku v hadici.

V této kapitole se budeme zabývat zjištováním objemových změn hadice souvislým měřením, které umožnuje vyšetřovat objemové změny hadice i při stlačování. Princip metody je znázorněn na obr. (6-24).

HLAVNÍ částí měřicího zařízení je měřící přípravek MP, t.j. válec a lapovaný píst o známém průměru  $D_p$ , (jeho konstrukce je znázorněna na výkresu  $\otimes$  (VI-01) v příloze). Na pravou stranu válce je připojen zdroj tlaku ZT1 (ruční zkouška trysek spalovacích motorů - n.p. MOTORPAL JIHLAVA), který se používá k naplnění měřeného objektu MO (hadice). Na levou stranu je připojen zdroj tlaku ZT2 (HA 1,2 - 200 - np. INOVA PRAHA), který se skládá z hydrogenerátoru HG po-háněného elektrickým motorem M. K odvzdušnění je použita zátka Z. Na válec je připojen pro snímání úrovně tlaku ten-zometrický tlakový snímač TS (TT 160 - np. ZPA JINOVICE) spojený dále s můstekem MU (UM 131 - RFT - NDR) a napojený na souřadnicového zapisovače SZ (ENDIM 2200/I NDR). Snímání posunutí pistu je zajištěno drahovým snímačem DS (IWT 302-RFT-NDR), který je připojen na pist a dále spojen přes můstek MU na souřadnici Y zapisovače SZ.

Postup měření :

1. Naplníme hadici MO ve svislé poloze zdrojem tlaku ZT1
2. Vyčkáme, až se obvod co nejlépe odvzduší, a lehce za-



Obr. 6-24

šroubujeme zátku na konci hadice

3. Porovnáme hadici, doplníme ruční pumpou. Po dokonalem odvzdušnění uzavřeme zátku Z a šroub na konci hadice

4. Provedeme měření při stoupání a klesání přetlaku ve válci použitím zdroje tlaku ZT2.

#### 6.4.1. Vlastní měření :

1) Cejchování snímače tlaku :  $10^{-7} \text{ [m}^3 \cdot \text{mm}^{-1}\text{]}$

Pro snímání úrovně vnitřního přetlaku v měřené hadici byl použit tenzometrický tlakový snímač TT 160. Při cejchování byl tlakový snímač připojen na přesnou laboratorní závažovou pumpu ZT 300 (MIKROTECHNA - MODŘANY). Na souřadnici Y zapisovače byl vynášen přetlak  $\Delta p$  [MPa] vyvozený závažovou pumpou, na souřadnici X příslušně odpovídající posunutí  $\Delta x$  [mm] písátka zapisovače. Z lineární závislosti posunutí  $\Delta x$  na přetlaku  $\Delta p$  lze určit převodní konstantu tlakového snímače  $K_{TS}$  jako úhlu sklonu cejchovní křivky:

$$K_{TS} = \frac{\Delta p}{\Delta x} = 0,07843 \text{ [MPa} \cdot \text{mm}^{-1}\text{]}$$

2) Cejchování snímače polohy : závislosti :

Snímání posunutí pistu ve válci bylo zjištěno zapojením dráhového snímače přes měřící můstek UM 131 na souřadnici Y souřadnicového zapisovače ENDIM 2200/I. Pro stanovení převodní konstanty změny objemu hadice  $K_V$  je nutné nejdříve určit převodní konstantu válce  $K_{OV}$ . Při průměru válce  $D = D_p = 20 \text{ mm}$  a změně posunutí  $\Delta h = 1 \text{ mm}$  bude převodní konstanta:

$$K_{OV} = \frac{\Delta V}{\Delta h} = \frac{\pi \cdot D_p^2 \cdot \Delta h}{4 \cdot \Delta h} = \frac{\pi \cdot 20^2}{4} \cdot \frac{1}{1} = 314,159 \text{ [mm}^3 \cdot \text{mm}^{-1}\text{]}$$

Převodní konstanta dráhového snímače  $K_{DS}$  nám tedy vlastně udává, kolikrát bylo skutečné posunutí  $\Delta h$  zvětšeno. Tedy: Spodní křivka odpovídá změně objemu hadice při stoupání přetlaku a horní křivka - při klesání přetlaku.

$K_{DS} = \frac{\Delta Y}{\Delta h} = \frac{71}{10} = 7,1 \text{ [mm} \cdot \text{mm}^{-1}]$  je hysteresi hadice  
Výsledná převodní konstanta změny objemu hadice  $K_V$  kladná odpovídající posunutí pisátka o 1 mm bude:

$$K_V = \frac{\Delta V}{\Delta Y} = \frac{K_{OV}}{K_{DS}} = \frac{314,159}{7,1} \text{ [mm}^3 \cdot \text{mm}^{-1}]$$
 výsledků měření pro hadice PND a OPTIMIT lze předchozě vyvodit, že u hadice s přívodním spletarem je tento rozdíl v pracovním naměření u hadice s drátovým spletarem.

Ke spracování naměřených výsledků používáme středních

### 3) Měřené hadice a použitá kapalina :

Pro ověření metody byly proměřeny tři druhy hadice PND, které již byly naměřeny metodou v kap. 6.1. Jako dříve pro každý druh hadice byla prováděna měření na pěti hadicích stejného rozměru. K ověření vlivu konstrukčních parametrů na změnu objemu hadice byla měřena také hadice Js10 272 326 011 020 OPTIMIT X.78 (jako v kap. 6.1.). Při měření byla v hydraulickém obvodu měřicího zařízení opět použita hydraulická kapalina OT T3C.

#### 6.4.2. Zpracování výsledků a zhodnocení :

Grafické záznamy změny objemu hadice  $\Delta V$  v závislosti na působícím přetlaku byly vyneseny v příloze pro jednotlivé hadice:

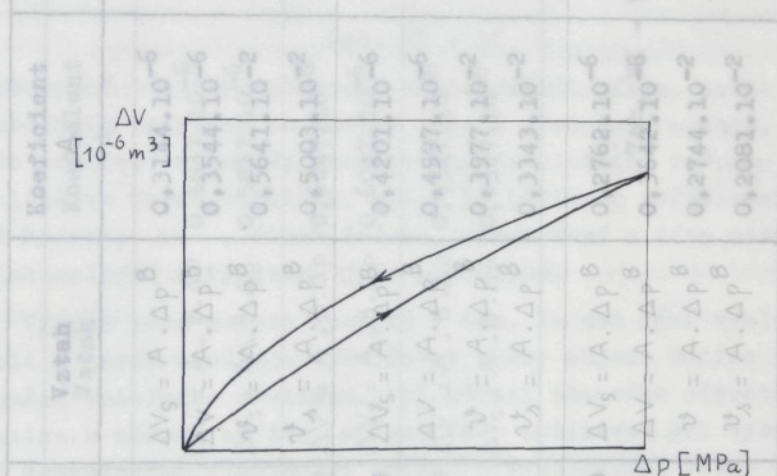
- Obr. 6-25 : pro hadice OPTIMIT 8/17 PND 21/416-81 IX.82  
obr. 6-26 : pro hadice OPTIMIT 10/21 PND 21/338-81 III.82  
obr. 6-27 : pro hadice OPTIMIT 13/25 PND 21/340-81  
obr. 6-28 : pro hadice Js10 272 326 011020 OPTIMIT X.78

Při měření vidíme, že pro každou hadici jsou záznamy různých pokusů měření téměř totožné, a proto není třeba opakovat měření několikrát jako u předchozích metod. Je zajímavé, že z každých pěti hadic stejného rozměru jsou dvě nebo tři hadice, které mají totožné grafické záznamy.

V grafech mají skutečné závislosti zhruba tvar daný na obr. 6-29. Spodní křivka odpovídá změnám objemu hadice při stoupání přetlaku a horní křivka - při klesání přetlaku.

Rozdíl mezi nimi se dá vysvětlit deformační hysteresí hadice: změna objemu hadice při stoupajícím přetlaku nedosahuje okažitě hodnoty změny objemu odpovídající okamžitému přetlaku, ale je vždy menší. Proti tomu, při klesajícím přetlaku je okamžitá změna objemu hadice vždy větší. To vyjadřuje konstrukční a materiálové vlastnosti hadice. Z výsledků měření pro hadice PND a OPTIMIT lze předběžně vyvodit, že u hadice s přízovým opletem je tento rozdíl výraznější než u hadice s drátovým opletem.

Ke zpracování naměřených výsledků používáme středních hodnot získaných z grafických záznamů. Metodika a postup výpočtu jsou stejné jako v kapitole 6.1.4. Používáme předchozího programu výpočtu a pomocí počítače EC 1033 obdržíme závislosti  $\Delta V$ ,  $\Delta V_s$ ,  $v$ ,  $v_s$  na  $\Delta p$  a hodnoty  $C_H$ ,  $K_{SH}$  uvedené postupně v tab. VI - 8, VI - 9 a VI - 10.



Obr. 6 - 29

Chyba při výpočtu je poměrně malá (zhruba 3 + 8%). Ve srovnání s výsledky v kap. 6.1.4. je chyba větší. Příčina spočívá v tom, že tady se počítá se středními hodnotami při stoupání a snížení přetlaku, zatímco v kap. 6.1.4. se počítal jenom při snížení přetlaku.

Vidíme, že změny objemu získané tímto způsobem jsou vždy menší než hodnoty získané v kap. 6.1.4. Při měření

Hadice Hodnocení		Vztah $V_ztah$	Koeficient Koeficient Alient	Koeficient Koeficient $B_{client}$	$\beta_m$	$\beta_m [\%]$
OPTIMIT	8/17 PND 21/416	$\Delta V_S = A \cdot \Delta p^B$	$0,3144 \cdot 10^{-6}$	$0,7359$	$0,1329 \cdot 10^{-6}$	7,6%
OPTIMIT	8/17 PND 21/416	$\Delta V = A \cdot \Delta p^B$	$0,3544 \cdot 10^{-6}$	$0,7713$	$0,1297 \cdot 10^{-6}$	6,2%
61	IX-1982	$v^g = A \cdot \Delta p^B$	$0,5641 \cdot 10^{-2}$	$0,7713$	$0,2065 \cdot 10^{-2}$	6,2%
81	IX-1982	$V_A = A \cdot \Delta p^B$	$0,5003 \cdot 10^{-2}$	$0,7359$	$0,2116 \cdot 10^{-2}$	7,6%
OPTIMIT	10/21 PND 21/338	$\Delta V_S = A \cdot \Delta p^B$	$0,4201 \cdot 10^{-6}$	$0,6711$	$0,1215 \cdot 10^{-6}$	6,1%
OPTIMIT	13/25 PND 21/340	$\Delta V = A \cdot \Delta p^B$	$0,4997 \cdot 10^{-6}$	$0,7374$	$0,1243 \cdot 10^{-6}$	4,6%
81	III-1982	$v^g = A \cdot \Delta p^B$	$0,3977 \cdot 10^{-2}$	$0,7374$	$0,9893 \cdot 10^{-3}$	4,6%
		$V_A = A \cdot \Delta p^B$	$0,3343 \cdot 10^{-2}$	$0,6711$	$0,9665 \cdot 10^{-3}$	6,1%
OPTIMIT	13/25 PND 21/340	$\Delta V_S = A \cdot \Delta p^B$	$0,2762 \cdot 10^{-6}$	$0,7674$	$0,1334 \cdot 10^{-6}$	7,9%
		$\Delta V = A \cdot \Delta p^B$	$0,3642 \cdot 10^{-6}$	$0,8222$	$0,1310 \cdot 10^{-6}$	5,4%
81		$v^g = A \cdot \Delta p^B$	$0,2744 \cdot 10^{-2}$	$0,8222$	$0,9867 \cdot 10^{-3}$	5,4%
		$V_A = A \cdot \Delta p^B$	$0,2081 \cdot 10^{-2}$	$0,7674$	$0,1005 \cdot 10^{-2}$	7,9%

Hadice	Vztah	Koeficient A	Koeficient B	$\rho_m$	$\rho_m [\%]$
OPTIMI 8/17 PND IX-1982 81	$\Delta V = A + B \cdot \Delta p$ $\Delta V_s = A + B \cdot \Delta p$	$0,5833 \cdot 10^{-6}$ $0,5833 \cdot 10^{-6}$	$0,1477 \cdot 10^{-6}$ $0,1098 \cdot 10^{-6}$	$0,1093 \cdot 10^{-6}$ $0,1093 \cdot 10^{-6}$	3,3% 3,9%
OPTIMI 10/21 PND III-1982 81	$\Delta V = A + B \cdot \Delta p$ $\Delta V_s = A + B \cdot \Delta p$	$0,6047 \cdot 10^{-6}$ $0,6047 \cdot 10^{-6}$	$0,2096 \cdot 10^{-6}$ $0,1339 \cdot 10^{-6}$	$0,1043 \cdot 10^{-6}$ $0,1043 \cdot 10^{-6}$	3,9% 5,2%
OPTIMI 13/25 PND 81	$\Delta V = A + B \cdot \Delta p$ $\Delta V_s = A + B \cdot \Delta p$	$0,4327 \cdot 10^{-6}$ $0,4327 \cdot 10^{-6}$	$0,1967 \cdot 10^{-6}$ $0,1168 \cdot 10^{-6}$	$0,1225 \cdot 10^{-6}$ $0,1225 \cdot 10^{-6}$	5,0% 7,3%

Tab. VI - 9

do přetlaku v kuse 10 30 mm.	$C_H$ $[10^{-6} \text{ m}^3 \text{ MPa}^{-1}]$	$V_0$ $[10^{-6} \text{ m}^3]$	$K_{SH}$ [MPa]
Již jsme teoreticko-experimentálně vyšetřovali objemové OPTIMIT 8/17 různými metodami. V dle Přílohy k rozboru chyb metodiky při vyšetřování objemových změn ha- dicevého vedení.	0,1477	62,8318	425,4015
OPTIMIT 10/21 6.5. PND obecných deformací stá- hadicevého vedení	0,2096	125,6637	559,5405
OPTIMIT 13/25 změn PND obecných deformací stá- poutlaku. Můžeme tedy pro hadice s vnitřním vedení	0,1967	132,7323	674,7956

vedení užít vztahy obdobné vztahu pro vedení tvořené ocelovou tenkostěnnou trubkou. Toto vedení (5-20) můžeme pro

je stoupání přetlaku působené zatlačováním pístu, avšak ne vtlacováním kapaliny do hadice jako v předchozí metodě, a proto nepůsobí stoupání množství nerozpustěného vzduchu v kapalině ve formě bubblek, které je příčinou zvětšování získané hodnoty  $\Delta V$ . Jinak řečeno, odvzdušení u této metody je dokonalejší a výsledky jsou přesnější. objemovou zařízení

Výhoda této metody spočívá v tom, že nám dává výsledky rychle a navíc umožňuje vyšetřovat změny objemu hadice i při stoupání vnitřního přetlaku. Při měření nemusíme odpustit kapalinu z měřené hadice, můžeme tedy aplikovat při vyšetřování dynamických vlastností hadice a vyšetřování vlivu hadice na chování celého hydraulického mechanismu. Tato metoda umožňuje dosáhnout automatizace měření a zjištování výsledků. Je-li na můstek připojen navíc nějaký elektrický číslicový zapisovač, obdržíme současně grafický záznam i číslicové hodnoty měření, které dodáváme do programu výpočtu a pomocí samočinného počítače zjistíme výsledky rychle.

Měřicí schopnost zařízení je závislá na průměru pístu a rozsahu snímače dráhy DS ( $\pm 10$  mm). Zvětšením průměru pístu a válce můžeme rozšířit schopnost měření zařízení. Např.

v našem případě, pístem o průměru 20 mm můžeme pro hadici Jsl0 272 326 011 026 OPTIMIT X-78 ( $l = 1,0 \text{ m}$ ) měřit jenom do přetlaku kolem 10 MPa. Kdyby bylo nutno naměřit do tlaku 16 MPa, bylo by potřeba používat pístu a válce o průměru 30 mm.

Již jsme teoreticko-experimentálně vyšetřovali objemové změny hadice různými metodami. V další kapitole přistoupíme k rozboru chyb metodiky při vyšetřování objemových změn hadicového vedení.

#### 6.5. Rozbor chyb metodiky vyšetřování objemových změn hadicového vedení :

Hadicové vedení vykazuje nelineární závislost objemových změn působených deformací stěn hadice na působícím vnitřním přetlaku. Nelze tedy pro určení objemových změn hadicového vedení užít vztahy obdobné vztahu pro vedení tvořené ocelovou tenkostennou trubkou. Podle vztahu (5-20) můžeme pro poměrnou objemovou změnu takového vedení psát:

$$\psi = \frac{\Delta V}{V_0} = \left( \frac{1}{K} + \frac{d}{E \cdot s} \right) \cdot P \quad (6-47)$$

Dosazením tétoho vztahu do (5-20) dostaneme

Pro hadicové vedení lze pro poměrnou objemovou změnu vedení psát:

$$\psi = \frac{\Delta V}{V_0} = \frac{P}{K} + \psi_H(P) \quad (6-48)$$

kde  $\psi_H(P)$  je poměrná objemová změna způsobená pouze deformací stěn hadice.

Poměrná objemová změna stěn hadice bude kromě působícího vnitřního přetlaku záviset rovněž na daných materiálových a konstrukčních parametrech hadice. Podle dosavadních zkušeností a výsledků se vyjadřuje obecnou exponenciální závislostí (viz. kap. 6.1.) při approximaci naměřených hodnot metodou nejmenších čtverců:

$$\psi_H(P) = \frac{\Delta V_s}{V_0} = \frac{1}{V_0} \cdot A \cdot P^\beta$$

Vyšetření objemových změn hadicového vedení není tedy jednoduché. Praktické metody vycházejí z měření absolutní objemové změny vedení  $\Delta V$ , která je dána součtem absolutních objemových změn kapaliny  $\Delta V_K$  a stěn hadice  $\Delta V_H$ , t.j. podle (3-3): bylo by se dopustit při této metodě vůči přesnému určení, jehož  $\Delta V = \Delta V_K + \Delta V_H$  (6-53) ?

Zde pro stlačitelnost kapaliny platí:  
Po vydělení rovnice geometrickým objemem vedení při atmosférickém tlaku ( $V_0$ ) lze pro poměrnou objemovou změnu psát:

$$\mathcal{V} = V_K + V_H \quad (6-49)$$

pro poměrnou objemovou změnu kapaliny bude:

Poměrnou objemovou změnu stěn hadice lze určit odečtením poměrné objemové změny kapaliny  $V_K$  od celkové poměrné objemové změny vedení  $\mathcal{V}$ .

Víme, že objemová změna kapaliny, resp. její stlačitelnost, závisí kromě působícího tlaku  $p$  a modulu pružnosti  $K$  ještě na skutečném, t.j. okamžitém objemu kapaliny, takže ve vztahu (3-3) bude pro  $\Delta V_K$  platit:

Pro relativní chybu této metody užití vztahů (6-53) a (6-55) platí:  $\Delta V_K = (V_0 + \Delta V_H) \cdot \frac{p}{K}$  (6-50)

Dosazením tohoto vztahu do (3-3) dostaneme: (6-57)

$$\Delta V = V_0 \frac{p}{K} + \Delta V_H \left( \frac{p}{K} + 1 \right) \quad (6-51)$$

MPa a modul pružnosti kapaliny lze vzít  $K = 1,66 \cdot 10^7$  MPa  
Pro poměrnou objemovou změnu platí: (6-56), bude relativní chyba metody (6-50) nepřekročit 1%.

$$V = \frac{\Delta V}{V_0} = \frac{p}{K} + \left( 1 + \frac{p}{K} \right) V_H \quad (6-52)$$

měřenou objemovou změnu vedení přisoudíme tedy deformaci stěn hadice.

Odkud bude poměrná objemová změna stěn hadice:

$$V_H = \frac{V - \frac{p}{K}}{1 + \frac{p}{K}} \quad (6-58)$$

Pro poměrnou objemovou změnu stěn hadice lze platit:

Z odměřené celkové objemové změny vypočteme tedy poměrnou objemovou změnu stěn hadice podle (6-53) nejpřesněji. Metoda používaná dosud při vyšetřování kapacitních

vlastností hadicového vedení byla založena na určování poměrné objemové změny stěny hadice z celkové poměrné objemové změny odečítáním poměrné objemové změny kapaliny, určované ovšem z geometrického objemu vedení při atmosférickém tlaku. Jaké chyby se dopustíme při této metodě oproti přesnému určení, jehož výsledkem je vztah (6-53) ?

Zde pro stlačitelnost kapaliny platí:

$$^1\Delta V_K = V_0 \cdot \frac{P}{K} \quad (6-54)$$

Odtud vyplývá rovnost:

pro poměrnou objemovou změnu kapaliny bude:

$$^1v_K = \frac{^1\Delta V_K}{V_0} = \frac{P}{K} \quad (6-55)$$

Ze vztahu (6-52) buď pro zcelkovou poměrnou objemovou změnu hadice platí:

poměrná objemová změna stěn hadice pak dosazením (6-55) do (6-49) bude:

$$^1v_H = v - \frac{P}{K} \quad (6-56)$$

Pro relativní chybu této metody užitím vztahů (6-53) a (6-56) platí:

$$^1\varepsilon = \frac{^1v_H - v_H}{v_H} = \frac{P}{K} \quad (6-57)$$

(je pravděpodobně roven  $10^{-2} = 1\%$ . Konstanta A nám tedy dle (6-61) přímo udává relativní chybu v %). Celkové poměrné objemové změny všechny odpovídají různým chybám, daným konstantou A, jsou vypočteny v tab. VI - 8.

V našem případě, kdy měřený rozsah tlaku je  $P \in \langle 0,16 \rangle$  MPa a modul pružnosti kapaliny lze vzít  $K = 1,66 \cdot 10^3$  MPa (jeho závislost na tlaku lze zanedbat /16/), bude relativní chyba metody  $^1\varepsilon$  řádově pod  $10^{-2}$ , t.j. nepřekročí 1%.

Zkusme dále zanedbat stlačitelnost kapaliny zcela. Na měřenou objemovou změnu vedení přisoudíme tedy deformaci stěn hadice:

Tab. VI - 8

Z tabulkových vztahů všechny poměrné objemové změny  $v$  je zřejmé, že u hadice s přízovým opatem, kde celková posádrová deformace je menší než u hadice s nosovým opatem, relativní chyba:

Pro poměrnou objemovou změnu hadice zde platí:

$^2v_H = v$  (6-59)

nemálo překročit 1%. U hadice s nosovým opatem je deformace vzhledem k menším deformacím a stlačitelnost kapaliny u nich je výrazně větší, takže relativní chyba je výrazně menší. Vypočteme relativní chybu této velmi zjednodušené metody použitím vztahů (6-59) a (6-53) :

$$Již \text{ je } {}^2\varepsilon = \frac{\mathcal{V}_H - \mathcal{V}_h}{\mathcal{V}_h} = \frac{P}{K} \cdot \frac{\mathcal{V}+1}{\mathcal{V}-\frac{P}{K}} = {}^1\varepsilon \cdot \frac{\mathcal{V}+1}{\mathcal{V}-\frac{P}{K}} \quad (6-60)$$

Vyjádříme relativní chybu  ${}^2\varepsilon$  jako  $A$  - násobek relativní chyby  ${}^1\varepsilon$  :

$${}^2\varepsilon = \frac{P}{K} \cdot \frac{\mathcal{V}+1}{\mathcal{V}-\frac{P}{K}} = \frac{P}{K} \cdot A \quad (6-61)$$

Odtud vyplývá rovnost:

$$\frac{\mathcal{V}+1}{\mathcal{V}-\frac{P}{K}} = A \quad (6-62)$$

Ze vztahu (6-62) bude pro celkovou poměrnou objemovou změnu hadice platit:

$$\mathcal{V} = \frac{A \cdot \frac{P}{K} + 1}{A - 1} \quad (6-63)$$

Poměr  $\frac{P}{K}$ , jak bylo dříve uvedeno (platí pro  $P = 16 \text{ MPa}$ ), je přibližně roven  $10^{-2} = 1\%$ . Konstanta  $A$  nám tedy dle (6-61) přímo udává relativní chybu v %. Celkové poměrné objemové změny vedení odpovídající různým chybám, daným konstantou  $A$ , jsou vypočteny v tab. VI - 8.

$A \approx {}^2\varepsilon [\%]$	1	2	4	6	8	10	15	20
$\mathcal{V} [1]$	$\infty$	1,02	0,317	0,212	0,154	0,122	0,082	0,036

Tab. VI - 8

Z tabulkových hodnot celkové poměrné objemové změny  $\mathcal{V}$  je zřejmé, že u hadice s přízovým opletem, kde celková poměrná objemová změna  $\mathcal{V}$  dosahuje asi 15%, by poměrná chyba neměla překročit 10%. U hadice s ocelovým opletem však dochází k menším deformacím a stlačitelnost kapaliny u nich lze zanedbat na úkor větší nepřesnosti metody měření.

Již bylo provedeno vyšetřování vlastností hadice. Je jasné, že vlastnosti hadice závisí na její parametrech geometrických, konstrukčních, materiálových i výrobních. V další kapitole nás zajímá, na jaké míře se chování celého hydraulického obvodu ovlivňuje vlastnostmi hadice, zejména kapacitními. Přistoupíme k vyšetřování vlivu hadice na chování hydraulického mechanismu.

Hadice mohou ovlivnit dynamickou charakteristiky generátoru, hydromotoru a celého mechanismu, a také na parametry kmitání v obvodu. Deformace určují velikost a charakter změn namáhání ústrojí mechanismu, vliv zatížení na rychlosť motoru proto, že dynamická charakteristika mechanismu závisí na jeho tuhosti.

Kvůli vlastním charakterům hadice, zejména značně větší deformaci u hadice než u trubky, má hadice značný vliv na chování, konkrétně na přesnost, tuhost i na dynamické vlastnosti hydraulického mechanismu.

V této kapitole budeme zkoumat, jaký je vliv hadice na chování hydraulického mechanismu. Abychom zjistili vliv hadice, vyšetřovali bychom nejjednodušší obvod znázorněný na obr. 7-1. Formu a podstatné podmínky řešení úloh si lze shrnout takto:

1/ hydrostatický mechanismus SPK uvažujeme jako součást kombinovaného mechanismu. Účinek hnací části a hnané části mechanismu na "hydraulický člen" respektujeme redukovánými hmotami a silami na píst generátoru a motoru. Pohybující se hmotnosti považujeme za konstantní a odpovídají základní potřebě pístu motoru a generátoru,

2/ dynamické parametry vyjadřujeme pomocí odporů proti přenosu tlakové energie, t.zn. odporu proti pohybu  $R$ , odporu proti zrychlení  $M$  (hydraulické indukčnosti), odporu proti deformaci  $D$  (jehož převýšenou hodnotou je hydraulická kapacita  $C$ ). Objemové stráty postihneme svodovým odporom  $R_s$  či svodovou propustností  $G_s$ . Hydraulické kapacity považujeme za konstantní. Odory  $R$  a  $R_s$  jsou linearizované,

3/ podmínky preudění kapaliny (oleje) považujeme za izotermické,

## 7. VLIV HADICE NA CHOVÁNÍ HYDRAULICKÉHO MECHANISMU :

Vedení, jakobylo řečeno výše, je jedna z součástek hydraulického mechanismu a jeho vlastnosti ovlivňují chování celého mechanismu. Pružné deformace vedení (obsahujícího kapalinu a stěny vedení) mají vliv množství kapaliny protékající hydromechanismem, na dynamické charakteristiky generátoru, hydromotoru a celého mechanismu, a také na parametry kmitání v obvodu. Deformace určují velikost a charakter změn namáhání ústrojí mechanismu, vliv zatížení na rychlosť motoru proto, že dynamické charakteristiky mechanismu závisí na jeho tuhosti.

Kvůli vlastním charakterům hadice, zejména značně větší deformaci u hadice než u trubky, má hadice značný vliv na chování, konkrétně na přesnost, tuhost i na dynamické vlastnosti hydraulického mechanismu.

V této kapitole budeme zkoumat, jaký je vliv hadice na chování hydraulického mechanismu. Abychom zjistili vliv hadice, vyšetřovali bychom nejjednodušší obvod znázorněný na obr. 7-1. Formu a podstatné podmínky řešení úloh můžeme shrnout takto:

1/ hydrostatický mechanismus SPK uvažujeme jako součást kombinovaného mechanismu. Účinek hnací části a hnané části mechanismu na "hydraulický člen" respektujeme redukovanými hmotami a silami na píst generátoru a motoru. Pohybující se hmotnosti považujeme za konstantní a odpovídají základní poloze pístu motoru a generátoru,

2/ dynamické parametry vyjadřujeme pomocí odporů proti přenosu tlakové energie, t.zn. odporu proti pohybu  $R$ , odporu proti zrychlení  $H$  (hydraulické indukčnosti), odporu proti deformaci  $D$  (jehož převrácenou hodnotou je hydraulická kapacita  $C$ ). Objemové ztráty postihneme svodovým odparem  $R_s$  či svodovou propustností  $G_s$ . Hydraulické kapacity považujeme za konstantní. Odopy  $R$  a  $R_s$  jsou linearizované,

3/ podmínky proudění kapaliny (oleje) považujeme za izotermické,

Generátor je jednotlivé úlohy budou při daných předpokladech řešeny lineárním, resp. linearizovaném oboru s využitím Laplaceovy transformace, operátorových a frekvenčních přenosů.

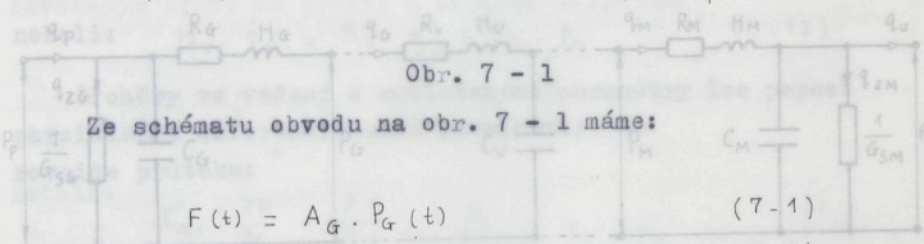
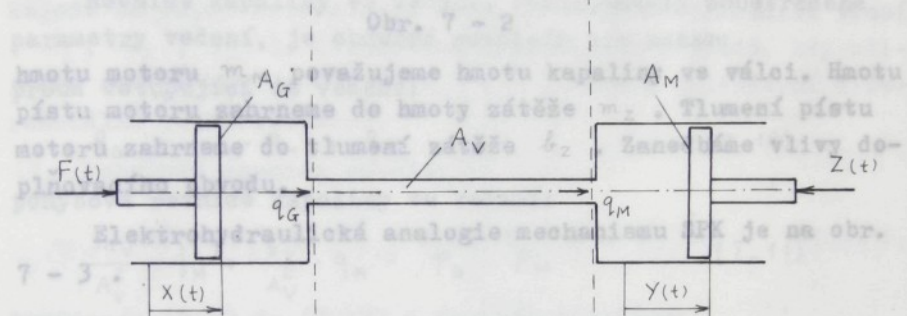
### 7.1. Rovnice popisující chování hydraulického mechanismu:

Jednofázový jednoduchý mechanismus SPK představuje dynamickou soustavu s více stupni volnosti, a jeho schéma je znázorněné na obr. 7 - 1.

GENERÁTOR

VEDENÍ

MOTOR



Ze schématu obvodu na obr. 7 - 1 máme:

$$F(t) = A_G \cdot P_G(t) \quad (7-1)$$

$$X(t) = X_0 \sin \omega t \quad (7-2)$$

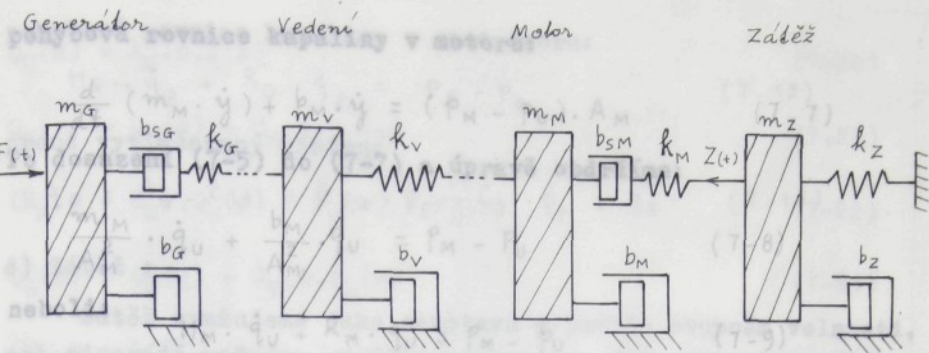
$$Z(t) = A_M \cdot P_M(t) \quad (7-3)$$

$$Y(t) = Y_0 \sin (\omega t + \varphi) \quad (7-4)$$

Dynamické schéma soustavy je naznačeno na obr. 7 - 2.

U vedení můžeme uvažovat buď rozložené parametry, t.j. konstituční hmotné s nekonečně mnoha stupni volnosti, nebo soustředěné parametry (1 stupeň volnosti).

Pro řešení uvažujeme následující úpravy:  
Místa vtoku do válců zahrneme do generátoru nebo motoru. Za



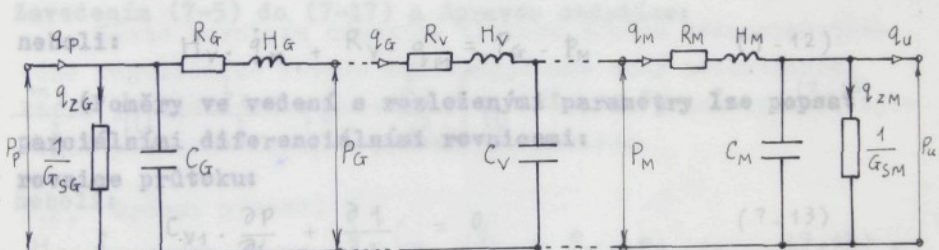
b) Vedení :

Rovnice kapaliny ve vedení s rozloženými soustředěnými parametry vedení, je dánou na obr. 7 - 2

hmotu motoru  $m_M$  považujeme hmotu kapaliny ve válci. Hmotu pístu motoru zahrneme do hmoty zátěže  $m_z$ . Tlumení pístu motoru zahrneme do tlumení zátěže  $b_z$ . Zanedbáme vlivy doplňovacího obvodu.

Elektrohydraulická analogie mechanismu SPK je na obr.

7 - 3.



pohybová rovnice:

Obr. 7 - 3

Tuto soustavu můžeme popsat soustavou diferenciálních rovnic jednotlivých prvků:

a) Motor :

užitečný proud:

Píst  $q_u = A_M \cdot \dot{\gamma}$  (7-5)  
 (vačka, kulisa), proti proudu vstupujícímu do par-

proud vstupující do motoru:

$q_M = G_{SM} \cdot P_u + C_M \cdot \dot{P}_u + q_u$  (7-6)

pohybová rovnice kapaliny v motoru:

$$\frac{d}{dt} (m_M \cdot \dot{y}) + b_M \cdot \dot{y} = (p_M - p_U) \cdot A_M \quad (7-7)$$

Po dosazení (7-5) do (7-7) a úpravě obdržíme:

$$\frac{m_M}{A_M^2} \cdot \dot{q}_U + \frac{b_M}{A_M^2} \cdot q_U = p_M - p_U \quad (7-8)$$

neboli:

$$H_M \cdot \dot{q}_U + R_M \cdot q_U = p_M - p_U \quad (7-9)$$

b) Vedení :

Rovnice kapaliny ve vedení, uvažujeme-li soustředěné parametry vedení, je obdobná rovnicím pro motor:

průvod vstupující do vedení:

$$q_G = C_V \cdot p_M + q_M \quad (7-10)$$

pohybová rovnice kapaliny ve vedení:

$$\frac{m_V}{A_V^2} \cdot \dot{q}_M + \frac{b_V}{A_V^2} \cdot q_M = p_G - p_M \quad (7-11)$$

Zavedením (7-5) do (7-11) a úpravou obdržíme:

neboli:  $H_V \cdot \dot{q}_M + R_V \cdot q_M = p_G - p_M \quad (7-12)$

(Poměry ve vedení s rozloženými parametry lze popsat parciálními diferenciálními rovnicemi:

rovnice průtoku:

neboli:  $C_{V1} \cdot \frac{\partial p}{\partial t} + \frac{\partial q}{\partial x} = 0 \quad (7-13)$

pohybová rovnice:

rovnice, popisující mechanismus SFK, lze obecně řešit za předpokladu, že se jedná o lineární diferenciální rovnice s konstantními koeficienty. Ve skutečnosti jsou koef.

kde  $H_{V1}$ ,  $R_{V1}$  a  $C_{V1}$  jsou parametry vedení vztažené na jednotku délky). Řešitelné, je potřeba zjednodušeně povážit koeficienty za konstantní. Další zjednodušení rovnic:

c) Generátor :

Píst generátoru je nuceně veden pohonovým mechanismem (vačka, kulisa), proto jeho parametry nezahrnujeme do parametrů generátoru. Z toho vyplývá, že generátor je popsán stejnými rovnicemi jako motor:

pohybová rovnice kapaliny v generátoru:

$$H_G \cdot \dot{q}_P + R_G \cdot q_P = p_p - p_g \quad (7-15)$$

proud vytlačovaný pístem:

$$q_p = A_G \cdot \dot{x}(t) = G_{SG} \cdot p_p + C_G \cdot \dot{p}_p + q_G \quad (7-16)$$

d) Zátěž:  $q_u(s) + C_U \cdot s \cdot p_M(s)$

Zátěž uvažujeme jako soustavu s jedním stupněm volnosti, což odpovídá možnému využití mechanismu SPK. Užitečnou složku  $Z_U$ , t.j. složku konající práci mimo mechanismus SPK, redukujeme na odpor setrvačných hmot, pružiny a viskozního tření ( $m_z$ ,  $b_z$ ,  $k_z$ ). (Uvažování konkrétních případů, kdy užitečná složka zátěže  $Z_U(s) = Z_U(y)$ , vede k nelineární diferenciální rovnicí zátěže).

$$(H_Z \cdot \text{Pohybová rovnice zátěže: } (s) - p_n(s)) \quad (7-27)$$

$$q_p(m_z \cdot \ddot{y} + b_z \cdot \dot{y} + p_n \cdot A_M + k_z \cdot y) = p_u \cdot A_M \quad (7-17)$$

Zavedením (7-5) do (7-17) a úpravou obdržíme:

Tento rovnici odpovídá blokové schéma dvouparametruvého regulačního obvodu znázorňujícího celý mechanismus,  $\frac{m_z}{A_M^2} \cdot \dot{q}_U + \frac{b_z}{A_M^2} \cdot q_U + \frac{k_z}{A_M^2} \int q_U \cdot dt = p_u - p_n$  (7-18)

neboli:

$$H_Z \cdot \dot{q}_U + R_Z \cdot q_U + \frac{1}{C_Z} \int q_U \cdot dt = p_u - p_n \quad (7-19)$$

Získané rovnice, popisující mechanismus SPK, lze obecně řešit za předpokladu, že se jedná o lineární diferenciální rovnice s konstantními koeficienty. Ve skutečnosti jsou koeficienty rovnic funkциemi parametrů proměnných s časem. Aby byly získané rovnice řešitelné, je střeba zjednodušeně povážovat koeficienty za konstantní. Další zjednodušení rovnic spočívá v tom, že můžeme zanedbat svodové propustnosti

a) Prvni případ:  $G_{SM} = G_{SG} = 0$

Jedním ze způsobů řešení je převedení rovnic (7-5), (7-6), (7-9), (7-10), (7-12), (7-15), (7-16) a (7-19) do operátorového tvaru pomocí Laplaceovy transformace:

$$Q_U(s) = A_M \cdot s \cdot Y(s) \quad (7-20)$$

$$Q_M(s) = Q_U(s) + C_M \cdot s \cdot P_U(s) \quad (7-21)$$

$$(H_M \cdot s + R_M) \cdot Q_U(s) = P_M(s) - P_U(s) \quad (7-22)$$

$$Q_G(s) = Q_M(s) + C_V \cdot s \cdot P_M(s) \quad (7-23)$$

$$(H_V \cdot s + R_V) \cdot Q_M(s) = P_G(s) - P_M(s) \quad (7-24)$$

$$(H_G \cdot s + R_G) \cdot Q_P(s) = P_P(s) - P_G(s) \quad (7-25)$$

$$Q_P(s) = Q_G(s) + C_G \cdot s \cdot P_P(s) \quad (7-26)$$

$$(H_Z \cdot s + R_Z + \frac{1}{C_Z \cdot s}) \cdot Q_U(s) = P_U(s) - P_n(s) \quad (7-27)$$

$$Q_P(s) = A_G \cdot s \cdot X(s) \quad (7-28)$$

Těmito rovnicemi odpovídá blokové schéma dvouparametrového regulačního obvodu znázorňujícího celý mechanismus, které je znázorněno na obr. 7-4. V dalším přistoupíme k zjištění přenosů řízení a poruchy mechanismu.

### 7.2. Určení přenosů :

Ze schématu na obr. 7-4 můžeme zjistit přenos řízení a poruchy mechanismu. Abychom zjistili vliv hadicového vedení na chování mechanismu, budeme vyšetřovat tři případy:

- Generátor je s motorem spojen vedením ocelovým
- Generátor je s motorem spojen vedením hadicovým
- Generátor je "bezprostředně" spojen s motorem.

Postupně provedeme k určení přenosů pro každý jednotlivý případ:

#### a) První případ:

Ze schématu na obr. 7-4 při spojení trubkou, která má kapacitu  $C_V$ , odpor proti zrychlení  $H_V$  a odpor proti pohybu  $R_V$ , vyplývá přenos řízení:

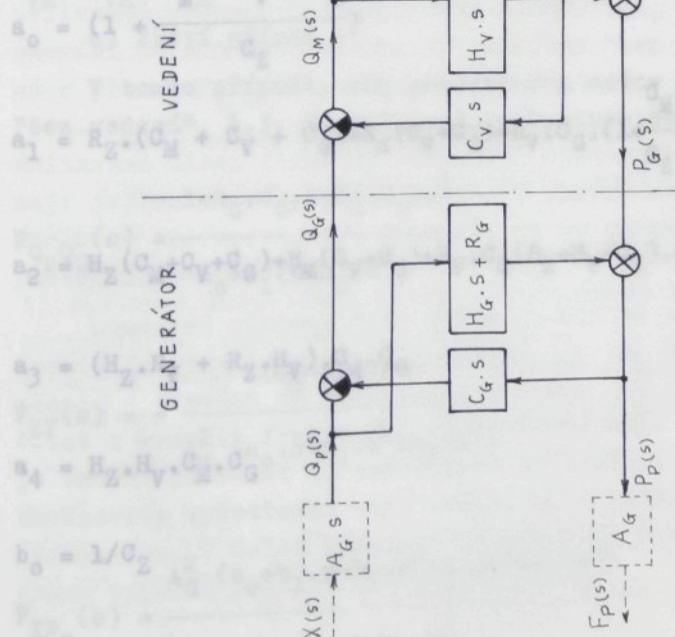
$$F_{Q_P Q_U}(s) = \frac{Q_U(s)}{Q_P(s)} = \frac{Y(s)}{1 - H_2 \cdot C_2 \cdot s - A_M \cdot s^2 - a_1 \cdot s^3 - a_2 \cdot s^4 - a_3 \cdot s^5} \quad (7-29)$$

a přenosy paruchy:

$$F_{ZY}(s) = \frac{Y(s)}{Z(s)} = \frac{(C_M + C_V + C_2) \cdot s^2 + (b_1 + b_2) \cdot s^3 + b_3 \cdot s^4}{A_2^2 \cdot (a_0 + a_1 \cdot s + a_2 \cdot s^2 + a_3 \cdot s^3 + a_4 \cdot s^4)} \quad (7-30)$$

$$F_{XP_p}(s) = \frac{P_p(s)}{X(s)} = \frac{H_M \cdot s + R_M}{(b_0 + b_1 \cdot s + b_2 \cdot s^2 + b_3 \cdot s^3 + b_4 \cdot s^4)} \quad (7-31)$$

kde:



obr. 7 - 4

$$F_{Q_P Q_U}(s) = \frac{Q_U(s)}{Q_P(s)} = \frac{1 - R_G \cdot C_G \cdot s - H_G \cdot C_G \cdot s^2}{a_0 + a_1 \cdot s + a_2 \cdot s^2 + a_3 \cdot s^3 + a_4 \cdot s^4} \quad (7-29)$$

a přenosy poruchy:

$$Y(s) = \frac{Z(s)}{F_{ZY}(s)} = \frac{C_V + C_M}{R_Z + C_M \cdot R_Z + H_V \cdot (1 + \frac{C_V}{C_Z}) + R_V \cdot C_M \cdot R_Z + H_V \cdot H_Z}$$

$$b_3 = R_G = - \frac{(C_M + C_V + C_G) \cdot s + R_V \cdot C_M \cdot C_G \cdot s^2 + H_V \cdot C_M \cdot C_G \cdot s^3}{A_M^2 (a_0 \cdot s + a_1 \cdot s^2 + a_2 \cdot s^3 + a_3 \cdot s^4 + a_4 \cdot s^5)} \quad (7-30)$$

$$F_{XFP}(s) = \frac{F_P(s)}{X(s)} = \frac{A_G^2 (b_0 + b_1 \cdot s + b_2 \cdot s^2 + b_3 \cdot s^3 + b_4 \cdot s^4)}{H_G (C_V + C_M \cdot C_G + H_V \cdot C_M \cdot H_Z)} \quad (7-31)$$

Přenosy  $a_0 + a_1 \cdot s + a_2 \cdot s^2 + a_3 \cdot s^3 + a_4 \cdot s^4$  jeou podobné jako výrazy (7-29), (7-30) a (7-31) a tím roz-

kde: když  $C_V, H_V, R_V$  seceslového vedení nahradíme hodnotami  $C_{VH}, H_{VH}, R_{VH}$ ,  $C_M + C_V + C_G$  seceslového.

$$a_0 = (1 + \frac{C_M}{C_Z})$$

$$a_1 = R_Z \cdot (C_M + C_V + C_G) + R_M (C_V + C_G) + R_V \cdot C_G \cdot (1 + \frac{C_M}{C_Z}) \quad (7-29a)$$

$$a_2 = H_Z (C_M + C_V + C_G) + H_M (C_V + C_G) + H_V \cdot C_G (R_Z + H_V / C_Z) \cdot C_M \cdot C_G \quad (7-29a)$$

$$a_3 = (H_Z \cdot R_V + R_Z \cdot H_V) \cdot C_M \cdot C_G \quad (7-30a)$$

$$a_4 = H_Z \cdot H_V \cdot C_M \cdot C_G$$

$$b_0 = 1/C_Z \quad A_G^2 (b_0 + b_1 \cdot s + b_2 \cdot s^2 + b_3 \cdot s^3 + b_4 \cdot s^4)$$

$$F_{XFP}(s) = \frac{a_0 + a_1 \cdot s + a_2 \cdot s^2}{a_0 + a_1 \cdot s + a_2 \cdot s^2} \quad (7-31a)$$

kde:

$$b_1 = R_G \left( 1 + \frac{C_V + C_M}{C_Z} \right) + R_V \left( 1 + C_M / C_Z \right) + R_M + R_Z$$

$$b_2 = R_G (C_V \cdot R_M + C_V \cdot R_Z + C_M \cdot R_Z) + H_G \left( 1 + \frac{C_V + C_M}{C_Z} \right) + R_V \cdot C_M \cdot R_Z + \\ + H_V \left( 1 + C_M / C_Z \right) + H_M + H_Z$$

$$b_3 = R_G (C_V \cdot H_M + C_V \cdot H_Z + C_M \cdot H_Z) + H_G (C_V \cdot R_M + C_V \cdot R_Z + C_M \cdot R_Z) + \\ + R_V \cdot C_M \cdot H_Z + H_V \cdot C_M \cdot R_Z$$

$$b_4 = H_G (C_V \cdot H_M + C_V \cdot H_Z + C_M \cdot H_Z) + H_V \cdot C_M \cdot H_Z$$

b) Druhý případ :

Přenosy řízení a poruchy při spojení hadicovým vedením jsou podobné jako výrazy (7-29), (7-30) a (7-31) s tím rozdílem, že  $C_V$ ,  $H_V$ ,  $R_V$  ocelového vedení nahradíme hodnotami  $C_{VH}$ ,  $H_{VH}$ ,  $R_{VH}$  vedení hadicového.

c) Třetí případ :

Přenosy řízení a poruchy při spojení hadicovým vedením jsou podobné jako výrazy (7-29), (7-30) a (7-31) s tím rozdílem, že  $C_V$ ,  $H_V$ ,  $R_V$  ocelového vedení nahradíme hodnotami  $C_{VH}$ ,  $H_{VH}$ ,  $R_{VH}$  vedení hadicového.

Ovlivňuje to vlastnosti vedení hadicového mechanismu, t.j. ovlivňuje chování hadicového mechanismu. Při spojení "bez vedení" se jedná o V tomto případě, kdy generátor a motor jsou spojeny "bez vedení", t.j.  $C_V = H_V = R_V = 0$ , bude tedy:  $F_{ZY}(s) = \frac{(C_M + C_G) \cdot s}{a_0 + a_1 \cdot s + a_2 \cdot s^2}$

$$F_{ZY}(s) = - \frac{(C_M + C_G) \cdot s}{A_M^2 (a_0 \cdot s + a_1 \cdot s^2 + a_2 \cdot s^3)} \quad (7-30a)$$

Obrázové přenosy  $F(s)$  podle (7-29) až (7-31a) můžeme zavedením výrazu  $(C_M + C_G) \cdot s$  za komplexní pro-  
řenos  $F_{ZY}(s) = - \frac{A_G^2 (b_0 + b_1 \cdot s + b_2 \cdot s^2 + b_3 \cdot s^3 + b_4 \cdot s^4)}{a_0 + a_1 \cdot s + a_2 \cdot s^2}$  (7-31a)

kde:

7.3. Po  $C_M + C_G$  programu PŘENOS :

$a_0 = 1 + \frac{C_M + C_G}{C_Z}$  Nejdříve  
Program PŘENOS (v jazyku FEL-FORTRAN) realizuje výpočet  
frekvenčních přenosů a odtud příslušných logaritmických  
amplitudových a fázových charakteristik. Schématicky lze  
 $a_1 = R_Z(C_M + C_G) + R_M \cdot C_G$  podobně programu znášeného sbr. 7-5 v  
příloze.

$a_2 = H_Z(C_M + C_G) + H_M \cdot C_G$  Vzhledem k tomu, že uvedené vedení je bezstrátové se sou-  
středěnými parametry, t.j.  $H_Y$  a  $C_Y$  jsou konstantní a  $R_Y = 0$ ,  
 $b_0 = 1/C_Z$  pory způsobené změnou průtoku hadice mění ve-  
dení a válci počítajíme za odpory proti pohybu kapaliny u  
 $b_1 = R_G(1 + C_M/C_Z) + R_M + R_Z$

Abychom zjistili vliv hadice na chování mechanismu,  
 $b_2 = R_G \cdot C_M \cdot R_Z + H_G(1 + C_M/C_Z) + H_M + H_Z$  vlastnosti hadice, což  
bude charakterizováno podle kapacity hadicového vedení ke  
 $b_3 = R_G \cdot C_M \cdot H_Z + H_G \cdot C_M \cdot R_Z$

$b_4 = H_G \cdot C_M \cdot H_Z$  Když podlejme mají hodnoty od 5 do 3000, které vyplývají z ex-  
perimentů.

Z výše získaných výsledků vidíme, že vlastnosti vedení  
ovlivňují přenosy hydraulického mechanismu, t.j. ovlivňují  
chování celého mechanismu. Při spojení "bez vedení" se jed-  
ná o přenos  $F_{Q_P Q_U}(s)$  odpovídající kmitavému členu druhého  
řádu. Vlivem vedení se parametrů vedení se přenos mění a odpovídá  
kmitavému členu čtvrtého řádu. Při spojení trubkou a hadicí  
mají jejich přenosy podobný tvar a rozdíl mezi nimi spočívá  
jenom ve velikosti, což znamená, že se soustava v obou pří-  
padech chová podobně.

Obrazové přenosy  $F(s)$  podle (7-29) až (7-31a) můžeme  
zavedením ryze imaginární proměnné  $j\omega$  za komplexní pro-  
měnnou  $s$  převést na frekvenční přenosy  $F(j\omega)$  a pak vypo-  
čítat a kreslit frekvenční charakteristiky. Tento výpočet  
je vhodné provádět na samočinném počítači a výsledky by nám  
umožňovaly vyšetřovat vliv hadice na chování hydraulického  
mechanismu. V další kapitole přistoupíme k sestavení pro-  
gramu výpočtu přenosů a charakteristik.

## 7.3. Popis programu PŘENOS :

Program PŘENOS (v jazyku FEL-FORTRAN) realizuje výpočet frekvenčních přenosů a odtud příslušných logaritmických amplitudových a fázových charakteristik. Schématicky lze jednodušené blokové schéma programu znázornit obr. 7-5 v příloze.

Při výpočtu považujeme vedení za bezzástrátové se soustředěnými parametry, t.j.  $H_V$  a  $C_V$  jsou konstantní a  $R_V = 0$ . Místní odpory způsobené změnou průtočného průřezu mezi vedením a válci považujeme za odpory proti pohybu kapaliny u motoru  $R_M$  a u generátoru  $R_G$ .

By abychom zjistili vliv hadice na chování mechanismu, provedeme výpočty pro různé hodnoty kapacity hadice, což bude charakterizováno poměrem kapacity hadicevého vedení ke kapacitě motoru, tak že:

$$\delta = \frac{C_H}{C_M} \quad (7-32)$$

kde poměry mají hodnoty od 5 do 3000, které vyplývají z experimentálních výsledků získaných v kapitole 6.

Hlavní program provádí čtení vstupních dat a výpočty jednotlivých konstant přenosů. Oba podprogramy pak provádějí výpočet bodů frekvenčních charakteristik.

Význam vstupních údajů uvádí tabulka VII - 1.

Výstupní údaje obsahují hodnoty pro přenosy řízení a poruchy:

- a) kruhové frekvence
- b) reálné a imaginární složky frekvenčních charakteristik
- c) amplitudy (absolutní hodnoty)
- d) amplitudové logaritmické frekvenční charakteristiky
- e) fázové logaritmické frekvenční charakteristiky

Výsledky výpočtů podle programu jsou uvedeny v diagramech (VII - 1a,b), (VII - 2a,b) a (VII - 3a,b), pomocí nichž můžeme v další kapitole vyšetřovat vliv hadice na chování celého hydraulického mechanismu.

Označení	Význam	Hodnota
Text.	Prog.	
fre	DM	průměr pístu motoru
den	DG	průměr pístu generátoru
lov	DV	světlost ocelového vedení
hadic	DH	světlost hadicového vedení
C <sub>M</sub>	CM	kapacita motoru
tiště	(H)	krivky (H) vyjadrují charakteristiky
C <sub>v</sub>	CV	kapacita ocelového vedení
10HBT	623406	světlosti 10 ms a délky 1 m, jejichž hodnoty je
m <sub>M</sub>	MM	hmotnost kapaliny v motoru
m <sub>G</sub>	MG	hmotnost kapaliny v generátoru
m <sub>V</sub>	MV	hmotnost kapaliny v ocel. vedení
m <sub>H</sub>	MH	hmotnost kapaliny v had. vedení
m <sub>Z</sub>	MZ	pohybová hmotnost zátěže
b <sub>V</sub>	BV	součinitel tlumení ve vedení
b <sub>M</sub>	BM	součinitel tlumení v motoru
b <sub>G</sub>	BG	součinitel tlumení v generátoru
b <sub>Z</sub>	BZ	součinitel tlumení v zátěži
k <sub>Z</sub>	KZ	konstanta tuhosti pružiny v zátěži /změřeno/
N		počet bodů frekvenční charakteristiky a počet poměru DELTA(J)
$\omega(t)$	OMEGA(t)	otačky budícího hřídele generátoru
$\delta(t)$	DELTA(t)	poměry kapacity hadicového vedení ke kapacitě motoru

Tab. VII - 1

$$X(s) = \frac{Q_p(s)}{A_G \cdot s} \quad Y(s) = \frac{Q_u(s)}{A_m \cdot s}$$

a pak obdržíme:

$$F_{xy}(s) = \frac{Y(s)}{X(s)} = \frac{Q_u(s) \cdot A_m \cdot s}{A_m \cdot s \cdot Q_p(s)} = \frac{Q_u(s)}{Q_p(s)} = \frac{A_m}{A_G} \cdot F_{q,p}(s) \quad (7-33).$$

#### 7.4. Rozbor vlivu hadice na chování mechanismu :

Na diagramech jsou znázorněny amplitudové a fázové frekvenční charakteristiky pro mechanismus spojený "bez vedení" (tlusté křivky značené písmenem (B) na diagr.), ocelovým vedením (tlusté křivky (T)) a pro mechanismus spojený hadicovým vedením s různými hodnotami poměru  $\delta$  (určeného vztahem 7 - 32), t.j. s různými hodnotami kapacity hadice. Tlusté křivky (H) vyjadřují charakteristiky odpovídající poměru  $\delta = 17,4$ , t.j. pro hadici Js10 272 326 3 10 21 1OPNT 628406 světlosti 10 mm a délky 1 m, jejíž kapacita je považována za konstantní v intervalu přetlaku (4 + 16) MPa.

Pomocí diagramů lze názorně vidět a postihnout vliv hadice na chování mechanismu (konkrétně na dynamickou vlastnost, přesnost a tuhost celého mechanismu). Za tímto účelem dochází k postupnému vyšetřování jednotlivých přenosů a charakteristik.

##### 7.4.1. Přenos $F_{Q_P Q_U}(s)$ :

Přenos řízení který je zjištěn výrazem (7-29)

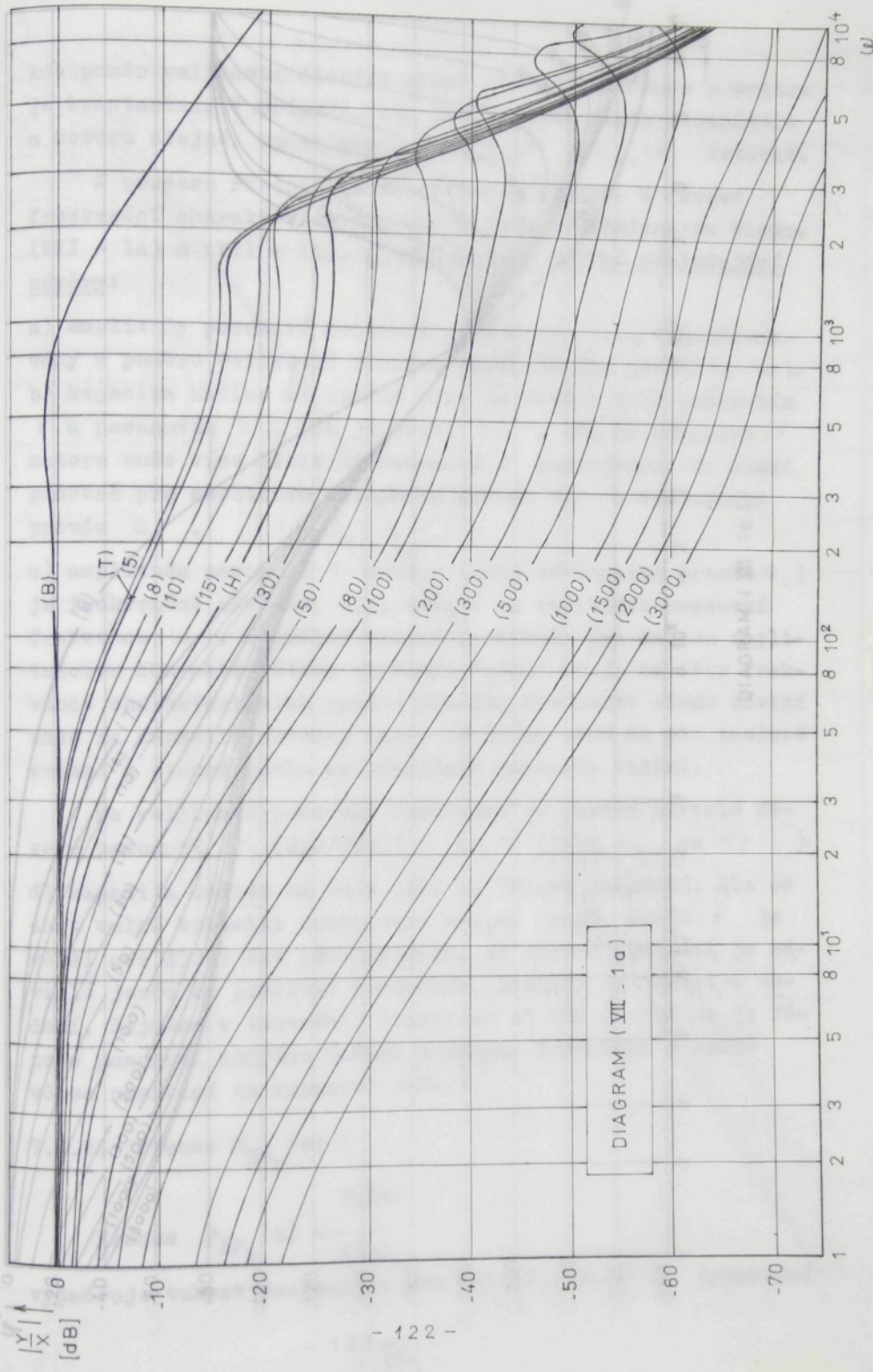
$$F_{Q_P Q_U}(s) = \frac{Q_U(s)}{Q_P(s)}$$

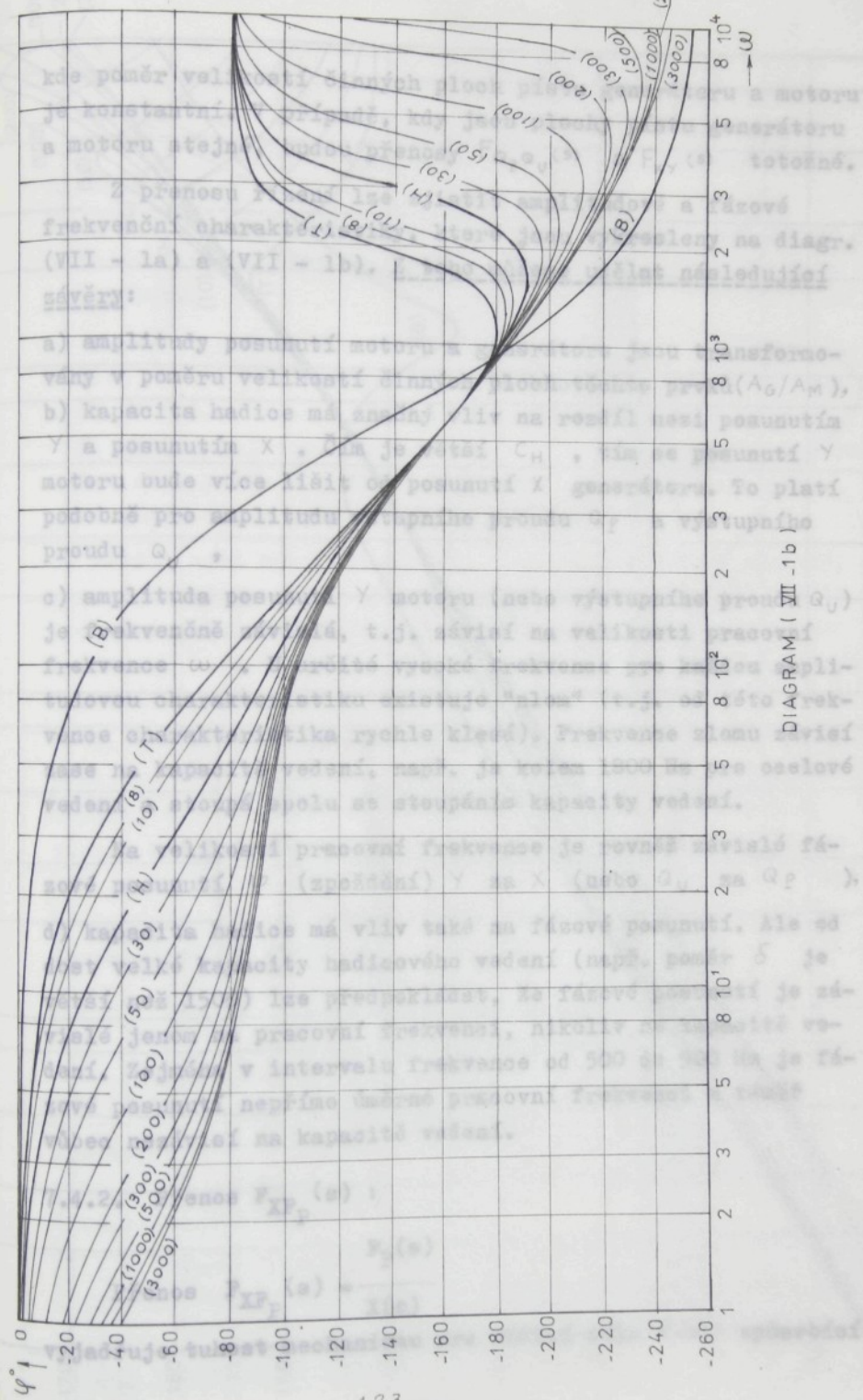
vyjadřuje vztah mezi vstupním a výstupním proudem kapaliny v mechanismu, a tím nám umožnuje vyšetřovat dynamické vlastnosti mechanismu. Z hlediska reprodukce pohybu pomocí mechanismu SPK mezi dvěma členy mechanismu spojené přímo nebo vedením, nás zajímá vztah mezi vstupem X a výstupem Y posunutí pístu generátoru a motoru (viz. obr. 7-1). Lze říci, že přenos řízení  $F_{Q_P Q_U}(s)$  vyjadřuje také vztah mezi X a Y, poněvadž podle (7-20) a (7-28) máme:

$$X(s) = \frac{Q_P(s)}{A_G \cdot s} ; \quad Y(s) = \frac{Q_U(s)}{A_M \cdot s}$$

a pak obdržíme:

$$F_{XY}(s) = \frac{Y(s)}{X(s)} = \frac{Q_U(s) \cdot A_G \cdot s}{A_M \cdot s \cdot Q_P(s)} = \frac{A_G}{A_M} \cdot F_{Q_P Q_U}(s) \quad (7-33)$$





kde poměr velikostí činných ploch pistu generátoru a motoru je konstantní. V případě, kdy jsou plochy pistu generátoru a motoru stejné, budou přenosy  $F_{Q_p Q_u}(s)$  a  $F_{x_y}(s)$  totožné.

Z přenosu řízení lze zjistit amplitudové a fázové frekvenční charakteristiky, které jsou vykresleny na diagr. (VII - 1a) a (VII - 1b). Z toho můžeme udělat následující závěry:

- amplitudy posunutí motoru a generátoru jsou transformovány v poměru velikostí činných ploch těchto prvků ( $A_G/A_M$ ),
- kapacita hadice má značný vliv na rozdíl mezi posunutím  $Y$  a posunutím  $X$ . Čím je větší  $C_H$ , tím se posunutí  $Y$  motoru bude více lišit od posunutí  $X$  generátoru. To platí podobně pro amplitudu vstupního proudu  $Q_p$  a výstupního proudu  $Q_u$ ,
- amplituda posunutí  $Y$  motoru (nebo výstupního proudu  $Q_u$ ) je frekvenčně závislá, t.j. závisí na velikosti pracovní frekvence  $\omega$ . U určité vysoké frekvence pro každou amplitudovou charakteristiku existuje "zlom" (t.j. od této frekvence charakteristika rychle klesá). Frekvence zlomu závisí zase na kapacitě vedení, např. je kolem 1800 Hz pro ocelové vedení a stoupá spolu se stoupáním kapacity vedení.

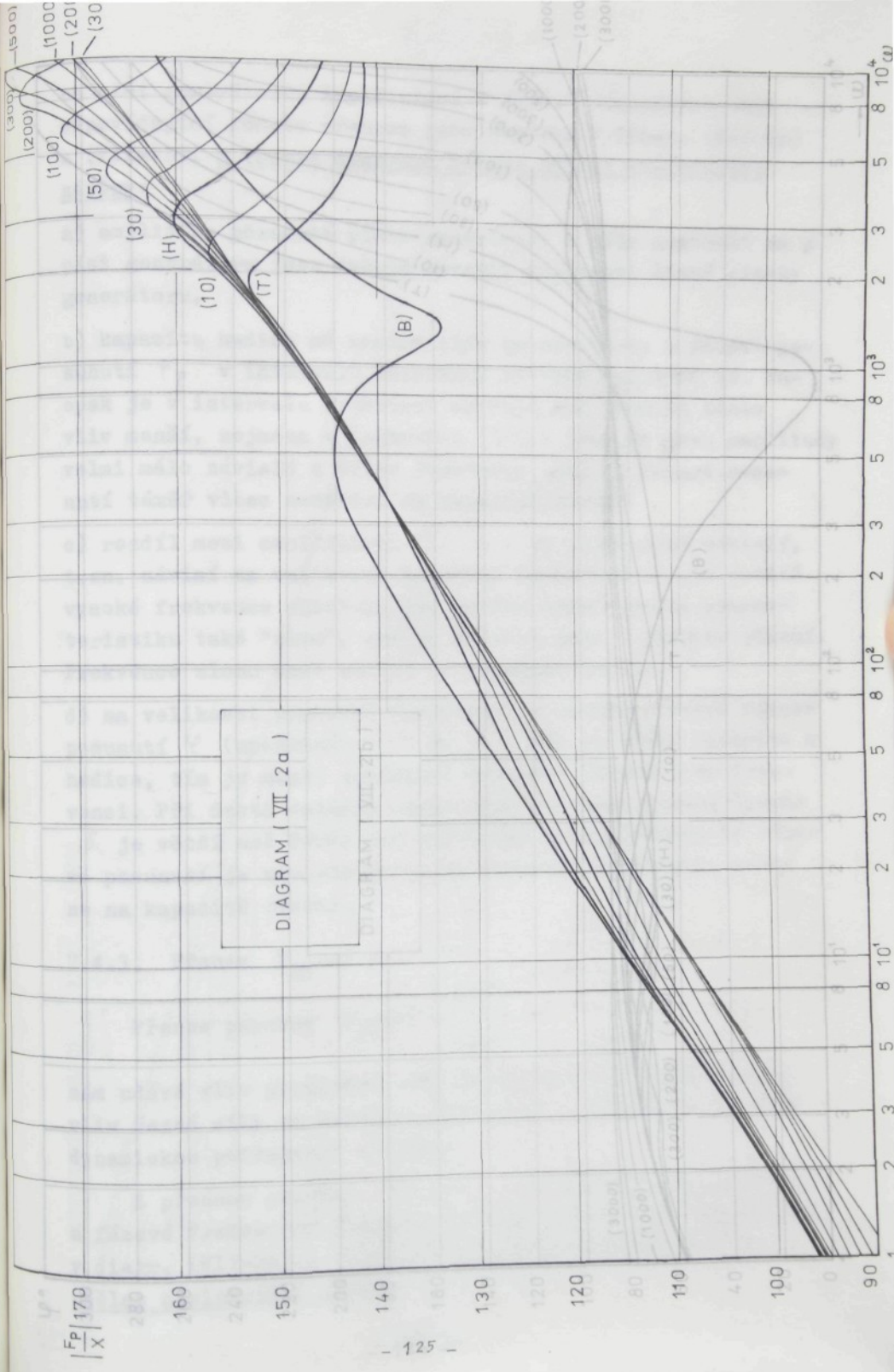
Na velikosti pracovní frekvence je rovněž závislé fázové posunutí  $\psi$  (zpoždění)  $Y$  za  $X$  (nebo  $Q_u$  za  $Q_p$ ),

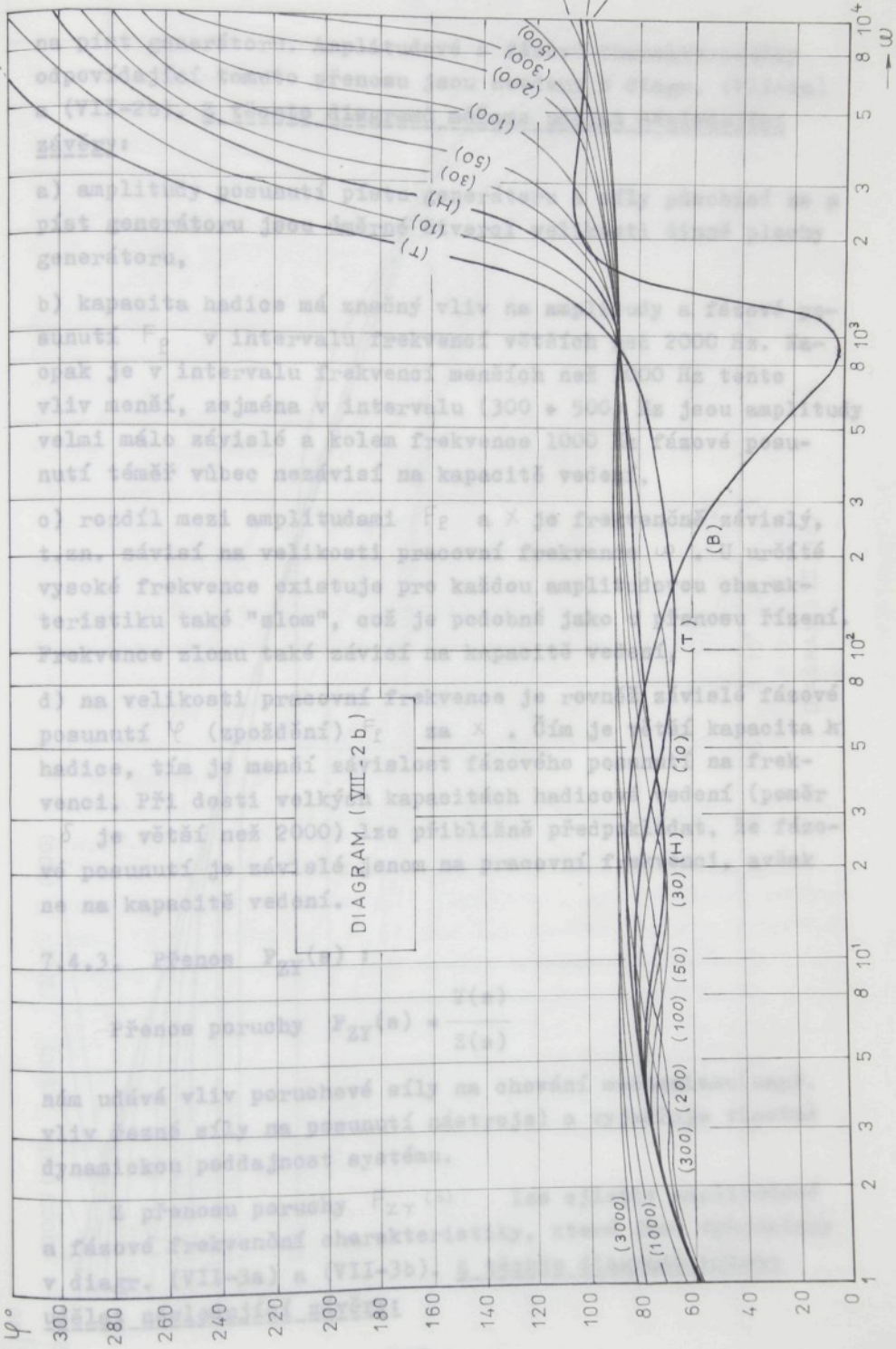
d) kapacita hadice má vliv také na fázové posunutí. Ale od dost velké kapacity hadicového vedení (např. poměr  $\delta$  je větší než 1500) lze předpokládat, že fázové posunutí je závislé jenom na pracovní frekvenci, nikoliv na kapacitě vedení. Zejména v intervalu frekvence od 500 do 900 Hz je fázové posunutí nepřímo úměrné pracovní frekvenci a téměř vůbec nezávisí na kapacitě vedení.

#### 7.4.2. Přenos $F_{X F_p}(s)$ :

$$\text{Přenos } F_{X F_p}(s) = \frac{F_p(s)}{X(s)}$$

vyjadřuje tuhost mechanismu pro řídicí sílu  $F(t)$  způsobící





na píst generátoru. Amplitudové a fázové charakteristiky odpovídající tomuto přenosu jsou uvedeny v diagr. (VII-2a) a (VII-2b). Z těchto diagramů můžeme udělat následující závěry:

- amplitudy posunutí pístu generátoru a síly působící na píst generátoru jsou úměrné čtverci velikosti činné plochy generátoru,
- kapacita hadice má značný vliv na amplitudy a fázové posunutí  $F_p$  v intervalu frekvencí větších než 2000 Hz. Naopak je v intervalu frekvencí menších než 1000 Hz tento vliv menší, zejména v intervalu (300 + 500) Hz jsou amplitudy velmi málo závislé a kolem frekvence 1000 Hz fázové posunutí téměř vůbec nezávisí na kapacitě vedení,
- rozdíl mezi amplitudami  $F_p$  a  $\times$  je frekvenčně závislý, t.zn. závisí na velikosti pracovní frekvence  $\omega$ . U určité vysoké frekvence existuje pro každou amplitudovou charakteristiku také "zlom", což je podobné jako u přenosu řízení. Frekvence zlomu také závisí na kapacitě vedení,
- na velikosti pracovní frekvence je rovněž závislé fázové posunutí  $\psi$  (zpoždění)  $F_p$  za  $\times$ . Čím je větší kapacita  $k$  hadice, tím je menší závislost fázového posunutí na frekvenci. Při dosti velkých kapacitách hadicové vedení (poměr  $\delta$  je větší než 2000) lze přibližně předpokládat, že fázové posunutí je závislé jenom na pracovní frekvenci, avšak ne na kapacitě vedení.

#### 7.4.3. Přenos $F_{ZY}(s)$ :

$$\text{Přenos poruchy } F_{ZY}(s) = \frac{Y(s)}{Z(s)}$$

nám udává vliv poruchové síly na chování mechanismu (např. vliv řezné síly na posunutí nástroje) a vyjadřuje vlastně dynamickou poddajnost systému.

Z přenosu poruchy  $F_{ZY}(s)$  lze zjistit amplitudové a fázové frekvenční charakteristiky, které jsou vykresleny v diagr. (VII-3a) a (VII-3b). Z těchto diagramů můžeme udělat následující závěry:

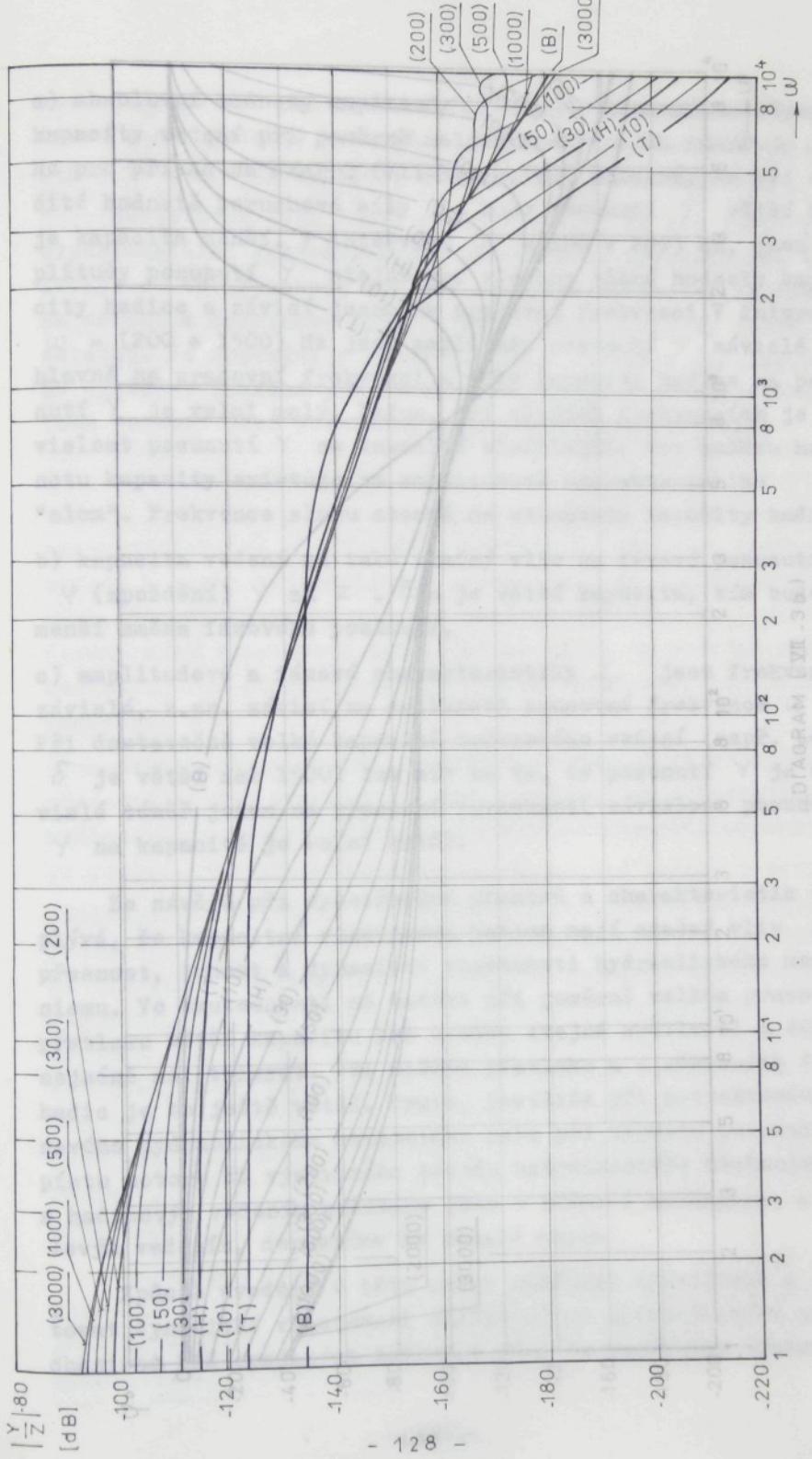


DIAGRAM (VII-3a)

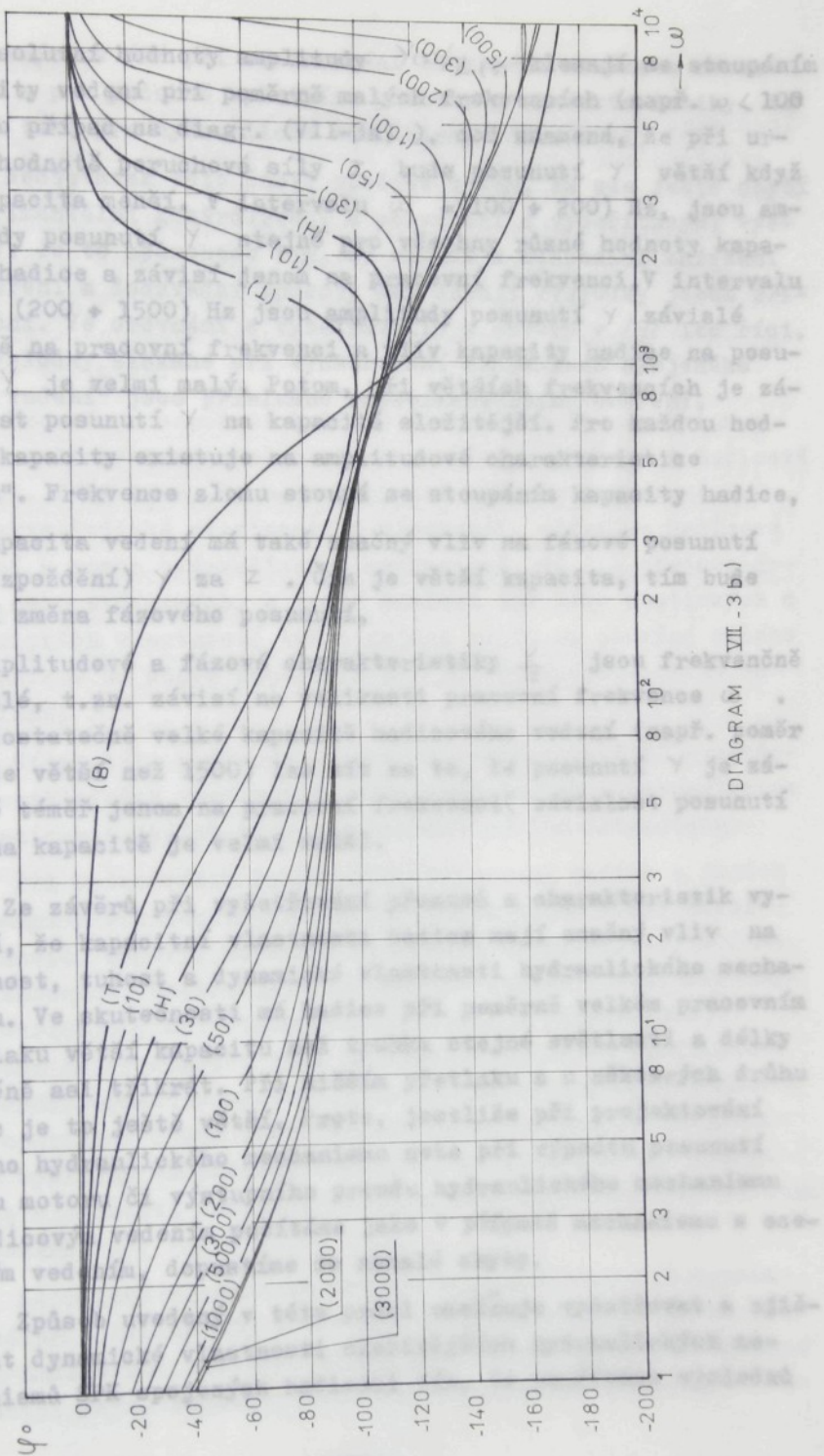


DIAGRAM (VII - 3 b)

a) absolutní hodnoty amplitudy  $\frac{Y(s)}{Z(s)}$  klesají se stoupáním kapacity vedení při poměrně malých frekvencích (např.  $\omega < 100$  Hz pro případ na diagr. (VII-3a)), což znamená, že při určité hodnotě poruchové síly  $Z$  bude posunutí  $Y$  větší když je kapacita menší. V intervalu  $\omega = (100 + 200)$  Hz, jsou amplitudy posunutí  $Y$  stejné pro všechny různé hodnoty kapacity hadice a závisí jenom na pracovní frekvenci. V intervalu  $\omega = (200 + 1500)$  Hz jsou amplitudy posunutí  $Y$  závislé hlavně na pracovní frekvenci a vliv kapacity hadice na posunutí  $Y$  je velmi malý. Potom, při větších frekvencích je závislost posunutí  $Y$  na kapacitě složitější. Pro každou hodnotu kapacity existuje na amplitudové charakteristice "zlom". Frekvence zlomu stoupá se stoupáním kapacity hadice,

b) kapacita vedení má také značný vliv na fázové posunutí  $\Psi$  (zpoždění)  $Y$  za  $Z$ . Čím je větší kapacita, tím bude menší změna fázového posunutí,

c) amplitudové a fázové charakteristiky  $\frac{Y}{Z}$  jsou frekvenčně závislé, t.zn. závisí na velikosti pracovní frekvence  $\omega$ . Při dostatečně velké kapacitě hadicového vedení (např. poměr  $\delta$  je větší než 1500) lze mít za to, že posunutí  $Y$  je závislé téměř jenom na pracovní frekvenci (závislost posunutí  $Y$  na kapacitě je velmi malá).

Ze závěrů při vyšetřování přenosů a charakteristik vyplývá, že kapacitní vlastnosti hadice mají značný vliv na přesnost, tuhost a dynamické vlastnosti hydraulického mechanismu. Ve skutečnosti má hadice při poměrně velkém pracovním přetlaku větší kapacitu než trubka stejně světlosti a délky nejméně asi třikrát. Při nižším přetlaku a u některých druhů hadic je to ještě větší. Proto, jestliže při projektování nového hydraulického mechanismu nebo při výpočtu posunutí pístu motoru či výstupního proudu hydraulického mechanismu s hadicovým vedením počítáme jako v případě mechanismu s ocelovým vedením, dopustíme se nemalé chyby.

Způsob uvedený v této práci umožňuje vyšetřovat a zjišťovat dynamické vlastnosti složitějších hydraulických mechanismů SPK spojených hadicemi tím, že používáme výsledků

zkoumaných v /8/ při sestavování blokového schématu mechanismu a pak podobně vyšetříme přenosy a charakteristiky. To platí také pro hydraulické mechanismy SSK a SSPK.

Nedostatek této části spočívá v tom, že zde ještě chybí experimentální kontrolování a porovnání s vypočítanými výsledky. Je to způsobeno tím, že nemáme k dispozici zařízení na měření a dosavadní způsoby nám dávají výsledky jenom orientační. Ve srovnání s vyšetřováním a závěry v /3/ lze říci, že výsledky získané při vyšetřování mechanismu spojeného "bez vedení" jsou příslušné experimentálnímu ověření.

Vedení je součástí každého hydraulického mechanismu. V hydraulických mechanismech se používají ocelová a hadicová vedení. Díky tomu, že hadice oproti ocelové trubce má své charakteristické vlastnosti a přednosti, užívá se hadicové vedení u mnoha hydraulických mechanismů, ať již stejnosměrných, nebo střídavých, a tudíž známost jak jeho statických a dynamických vlastností tak i jejich vlivu na chování celého mechanismu se stává nezbytnou při návrhu hydraulického mechanismu.

Cílem této práce je teoretico-experimentální vyšetření základních vlastností hadic používaných v hydraulickém mechanismu a jejich vlivu na chování celého mechanismu.

Při vyšetřování konstrukce, deformací hadice a jejích základních vlastností (malý délkový opletu, souhrnný možný pružnosti, odpory, kapacita, objemové změny atd.) vidíme, že vlastnosti hadice jsou závislé na jejích konstrukčních, geometrických, materiálových a výrobních parametrech, když příjemně nejvýraznější vliv na vlastnosti hadice mají konstrukční parametry hadice. Tyto parametry ohýbajně závisí k dispozici a dosud ještě nemáme spolehlivý výsledek, který nám dává výsledky dostatečně odpovídající skutečnosti. Musíme proto vlastnosti hadice zjišťovat teoretico-experimentálním způsobem.

Kapacitní vlastnosti hadice byly v této práci experimentálně zjištěny tím způsobem, že používali mnoho obřejnou hadice při vnitřním plnění a mnoho výsledků ostatní hodnoty (např. kapacita nebo souhrnný modul pružnosti

## 8. ZÁVĚR :

V dnesní době, kdy se hydraulické mechanismy uplatňují téměř u všech výrobních strojů a kdy zvýšení produktivity práce bývá velmi často spojeno se zvýšováním pohybové frekvence těchto strojů, nabývají na důležitosti dynamické vlastnosti mechanismů. Pokud se vede v úvahu vyšetřování vlastnosti celého mechanismu, dochází především k problému zjistit vlastnosti jednotlivých součástí, z nichž je mechanismus sestaven.

Vedení je součástí každého hydraulického mechanismu. V hydraulických mechanismech se používají ocelová a hadicová vedení. Díky tomu, že hadice oproti ocelové trubce má své charakteristické vlastnosti a přednosti, užívá se hadicové vedení u mnoha hydraulických mechanismů, ať již stejnosměrných nebo střídavých, a tudíž znalost jak jeho statických a dynamických vlastností tak i jejich vlivu na chování celého mechanismu se stává nezbytnou při návrhu hydraulického mechanismu.

Cílem této práce je teoreticko-experimentální vyšetřování základních vlastností hadic používaných v hydraulickém mechanismu a jejich vlivu na chování celého mechanismu.

Při vyšetřování konstrukce, deformací hadice a jejích základních vlastností (změny úhlu opletu, souhrnný modul pružnosti, odpory, kapacita, objemové změny a.t.d.) vidíme, že vlastnosti hadice jsou závislé na jejích konstrukčních, geometrických, materiálových i výrobních parametrech, přičemž nejvýraznější vliv na vlastnosti hadice mají konstrukční parametry hadice. Tyto parametry obvykle nemáme k dispozici a dosud ještě nemáme způsob výpočtu, který nám dává výsledky dostatečně odpovídající skutečnosti. Musíme proto vlastnosti hadice zjišťovat teoreticko-experimentálním způsobem.

Kapacitní vlastnosti hadice byly v této práci experimentálně zjištěny tím způsobem, že jsme zjistili změny objemu hadice při vnitřním přetlaku a odtud vypočetli ostatní hodnoty (např. kapacitu nebo souhrnný modul pružnosti).

hadicového vedení).

- měřením výteklého množství kapaliny z hadice zatížené vnitřním přetlakem do odměrného válce,
- proměřením vnějších geometrických parametrů hadice,
- souvislým měřením s použitím pistu a válce známého průměru.

Způsob měření výteklého množství kapaliny z hadice nám dával výsledky dost přesné a odpovídající skutečnosti. Z naměřených hodnot lze metodou nejmenších čtverců zjistit exponenciální nebo linearizovanou závislost  $\Delta V_s$  na  $\Delta p_s$  dostatečnou přesností. Experiment byl proveden na několika hadicích různých co do konstrukce i geometrických parametrů (průměry a délky). Naměřené a vypočtené výsledky umožňují vyšetřovat závislost kapacitních vlastností hadice na parametrech konstrukčních, materiálových a geometrických. Z výsledků vyplývá důležitý závěr, že pro všechny typy hadic o různých parametrech můžeme kapacitu nebo souhrnný modul pružnosti hadice v intervalu obyčejných pracovních přetlaků považovat za konstantní s dostatečnou přesností. Tento závěr se důsledně využíval v této práci při vyšetřování vlivu hadice na chování celého hydraulického mechanismu, v němž je použita hadice jako jeho součást.

Vyšetřování objemové změny hadice proměřením vnějších geometrických parametrů hadice by nám umožňovalo zjišťovat vztah mezi vnější a vnitřní objemovou změnou. Výsledky jsou jasným výrazným důkazem, že konstrukce hadice značně ovlivňuje změnu objemu a obecně vlastnosti hadice. Tento způsob však platí snad jenom pro hadice s přízovým opletem, obecně pro hadice mající dostatečně velkou deformaci. U hadice s drátovým opletem je změna vnějšího průměru a délky hadice velmi malá, je proto těžké měřit přesně a při měření se dopustíme dost velké chyby.

Zjišťování změny objemu hadice souvislým měřením nám dává rychle výsledky, které odpovídají výsledkům získaným měřením výteklého množství kapaliny z měřené hadice. Tento způsob umožňuje měřit při klesání i stoupání vnitřního pře-

tlaku a nemusíme odpustit kapalinu z měřené hadice.

Výsledků získaných při měření změny objemu hadice mohou konstruktéři používat při volbě hadic nebo vyšetřování vlastností hadice, při projektování a kontrolovaní chování hydraulického mechanismu, v němž se používá hadic. Zařízení není složité, měření je provedeno bez obtíží a výsledky jsou získány poměrně rychle. Bylo by třeba podle těchto metod zjistit kapacitní vlastnosti jednotlivých typů hadic, poněvadž každý sortiment hadice má svůj vlastní charakter konstrukční, materiálový a výrobní (technologický), a proto má vlastní kapacitní vlastnosti. Abychom rychle obdrželi výsledky, měli bychom zpracovat naměřené hodnoty a vypočítat pomocí samočinného počítače. Bylo by také třeba vyšetřovat dynamické vlastnosti hadice, které nebyly v této práci vyšetřeny kvůli tomu, že jsem na to neměl dost času a zařízení.

V práci bylo také uvedeno vyšetřování vlivu vlastnosti hadice na chvání jednoduchého hydraulického mechanismu SPK. Metodou teorie lineární regulace s použitím blokového schématu a číslicového počítače obdržíme logaritmické amplitudové a fázové frekvenční charakteristiky přenosu řízení a poruchy mechanismu. Z výsledků vyplývá, že kapacitní vlastnosti hadice mají značný vliv na přesnost, tuhost a dynamiku hydraulického mechanismu. Kapacita hadice proměňuje amplitudové a fázové charakteristiky mechanismu a ovlivňuje závislosti amplitudy a fázové posunutí na pracovní frekvenci mechanismu. Z výsledků je patrné, že nemůžeme při projektování nového hydraulického mechanismu, při výpočtu posunutí pístu motoru či výstupního proudu hydraulického mechanismu s hadicovým vedením počítat jako u mechanismu s ocelovým vedením o stejných světlostech a délkách, poněvadž takový výpočet bude vyvolávat nemalé chyby.

Aplikování navrženého způsobu nám umožňuje vyšetřovat a zjišťovat dynamické vlastnosti jak složitějších hydraulických mechanismů SPK, tak i hydraulických mechanismů SSK a SSPK.

Výzkumy v této oblasti jsou vlastně v záčátcích,

přesto můžeme od nich očekávat, že přinesou řadu zajímavých výsledků nejen teoretických, ale především praktických.

Tato metoda a její výsledky by konstruktérům mohly pomáhat při navrhování a projektování nových hydraulických mechanismů používajících hadice, při kontrolování a proměření správnosti chování mechanismů. Získané poznatky z této práce bude možné bez těžkostí aplikovat v konkrétních podmínkách Vietnamu a mají tedy pro moji vlast praktický význam.

Seznam použité literatury

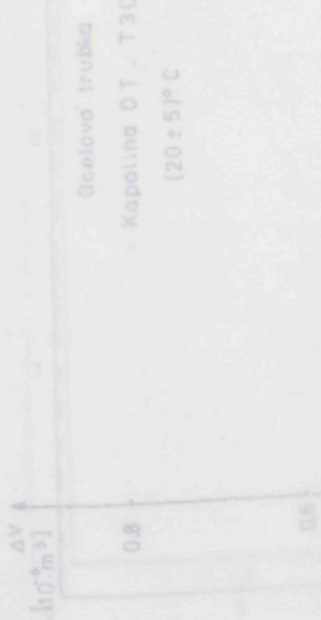
- SEZNAM PŘÍLOH
- /1/ ČERHA, J. : Hydrostatické mechanismy v oboru výrobních strojů. VŠST - Liberec 1971
- 1) Obrázky :
- /2/ ČERHA, J. : Experimentální vyšetření kapacitních vlastností 6-2 , 6-3 , 6-4 , 6-5 , 6-6 , 6-7 , 6-8 , se o tekutinách 6-9 , 6-10 , 6-11 , 6-14 , 6-20 , 6-21 , 6-22 , 6-23 , 6-25 , 6-26 , 6-27 , 6-28 ,
- /3/ ČERHA, J. : Příspěvek k problematice hydrostatických mechanismů se střídavým proudem kapaliny jedno- a dvoufázovým. (kandidátská disertační práce). VŠST - Liberec 1981
- Poznámka k výkresu VI - 01
- /4/ RASTA, T.M. : Mačinostrojítelská hidravika. Liberec 1963
- Moskva 1963
- /5/ ČARUJI, I.A. : Neustanovivší sa dviženie realnoji Židkosti v trubach. M : Nádca - 1973
- /6/ ČSN 63 5305 : Fryzová hadice - výrobené ustanovení a zkoušení. 1969
- /7/ DRÁDIL, M. : Základy elektro-hydraulických analogií. VŠB - Ostrava 1966
- /8/ DRÁDIL, M. : Dynamická syntéza hydraulických mechanismů z typizovaných prvků (kandidátská disertační práce) ČVUT - Praha 1968
- /9/ ERNEST, V.J. : Experimentální sjištění objemových změn hadicového vedení. DP - VS - 190/81
- /10/ VŠST : Liberec
- /10/ FISCHER, J. : Experimentální výzkum dynamických vlastností kapaliny v potrubí. - 1979
- /11/ STROJÍRENSTVÍ č.8 - 1977
- /11/ FRANTA, I. a kolektiv : Zpracování kauškových směsí a vlastnosti prýž. 2. vyd. SNTL - Praha 1969
- /12/ HANUŠ, B. ; BALDA, M. : Základy technické kybernetiky VŠST - Liberec 1979
- /13/ HAYWARD, A.T.J. : How to estimate the bulk modulus

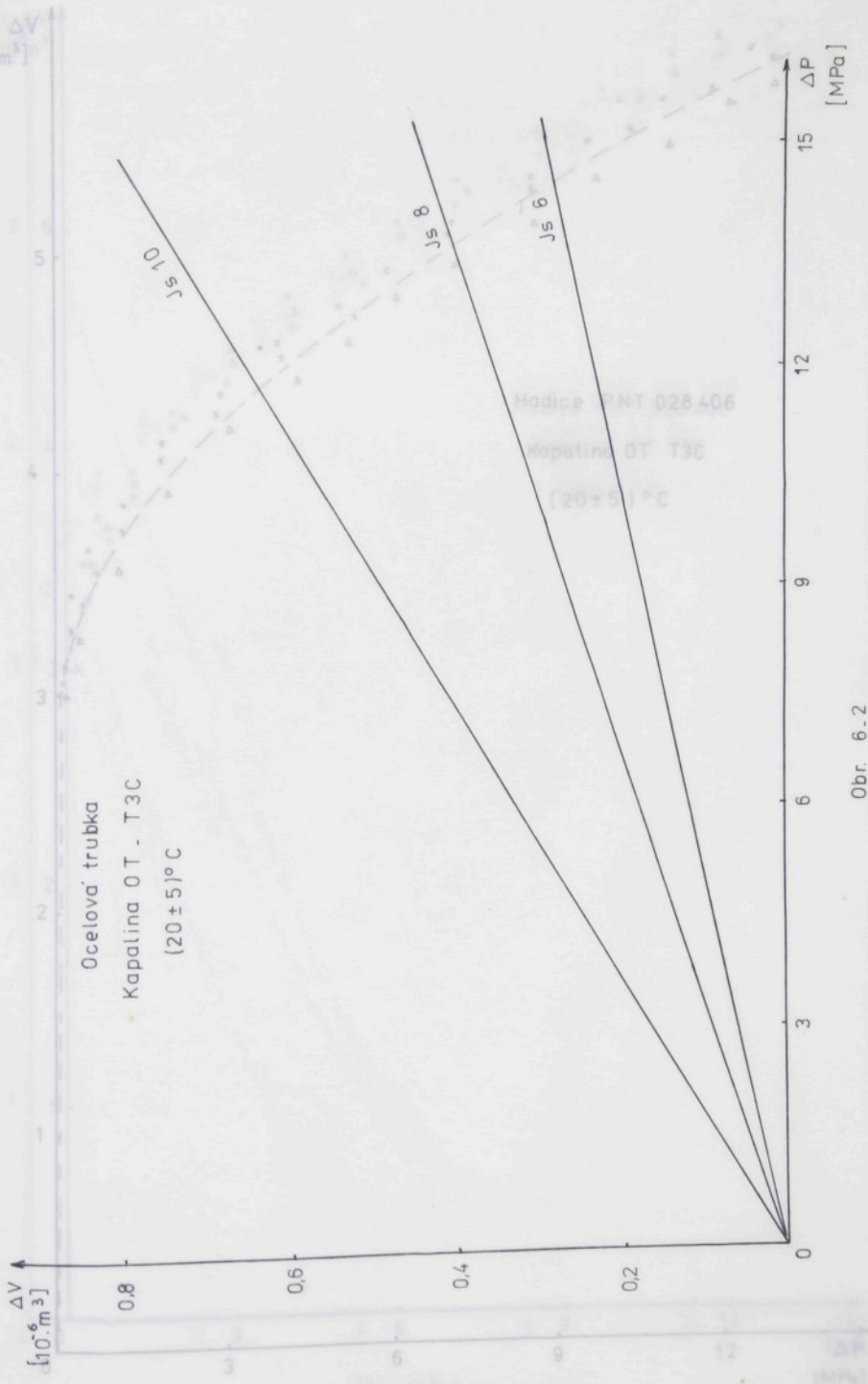
- /1/ CERHA, J. : Hydraulické mechanismy v oboru výrobních strojů. VŠST - Liberec 1971
- /2/ CERHA, J. : Experimentální vyšetření kapacitních vlastností hadicového vedení. In : IX. konference o tekutinových mechanismech, K. Vary - Ostrava, ČSVTS, Praha 1980
- /3/ CERHA, J. : Příspěvek k problematice hydrostatických mechanismů se střídavým proudem kapaliny jedno- a dvoufázových. (kandidátská disertační práce), VŠST - Liberec 1981
- /4/ BAŠTA, T.M. : Mašinostrojítelnaja gidravlika. Moskva 1963
- /5/ ČARUJI, I.A. : Neustanovivšejesia dviženie realnoji židkosti v trubach. M : Nédra - 1975
- /6/ ČSN 63 5305 : Fryžové hadice - všeobecná ustanovení a zkoušení. 1969
- /7/ DRÁŽDIL, M. : Základy elektrohydraulických analogií. VŠB - Ostrava 1966
- /8/ DRÁŽDIL, M. : Dynamická synhesa hydraulických mechanismů z typisovaných prvků (kandidátská disertační práce) ČVUT - Praha 1968
- /9/ ERNEST, V.J. : Experimentální zjištování objemových změn hadicového vedení. DP - VS - 190/81
- /10/ FISCHER, J. : Experimentální výzkum dynamických vlastností kapaliny v potrubí. - 1975
- /11/ FRANTA, I. a kolektiv : Zpracování kaučukových směsí a vlastnosti pryže. 2. vyd. SNTL - Praha 1969
- /12/ HANUŠ, B. ; BALDA, M. : Základy technické kybernetiky nem truboprovodů. VŠST - Liberec 1979
- /13/ HAYWARD, A.T.J. : How to estimate the bulk modulus

- /27/ of hydraulis fluids. Hydraulis pneumatic power, 1970
- /14/ HUDECOVSKÝ, F. : Objemová pružnost kapalin. Strojírenství č.2 - 1970
- /15/ KOLEKTIV : Dny nové techniky o výrobě a použití hadic. Untersuchungen über die konzentrierten Dissert. an der RTH Zürich - 1978
- /16/ KOPÁČEK, J. : Objemový modul pružnosti prýžových hadic. Strojírenská výroba č.12 - 1980
- /17/ KOŽEŠNÍK, J. : Kmitání mechanických soustav. proti deformaci hydraulického vedení. Praha - 1979, nejedná se o hadicového.
- /18/ MÁŠEK, J. : Zjištování dynamických vlastností hadicového vedení. DP - VS - 372/81 VŠST - Liberec
- /19/ OLEHLA, M. ; TIŠER, J. : Použití FORTRANu v praxi. VŠST - Liberec 1972
- /20/ PAVLÍČEK, Z. : Teoreticko-experimentální vyšetření kapacitních vlastností hadicového vedení. DP - VS - 179/80 - VŠST Liberec
- /21/ PAVLUCH, L. : Nestacionární proudění kapaliny v potrubí. Strojírenství č.4 - 1971
- /22/ PONOMAREV, S.D. : Rasčety rezinovych i rezinokordnych dětalej. In : Rasčety na pročnost v mašinostrojenii Moskva 1958
- /23/ PROKEŠ, J. : Hydraulické mechanismy. ČVUT - Praha 1972
- /24/ PROKEŠ, J. : Možnosti syntézy hydraulických mechanismů s použitím samočinného počítače. Hydraulika č.5 - 1975
- /25/ PROKOFJEV, V.N. : Vlijanie deformaci židkosti na dynamiku hidropriiveda. Vestnik mašinostrojenia č.6 - 1973
- /26/ ROMAN, N.M. : Analiz dynamičeskych procesov v sostavnom truboprovodě. Prikladnaja mechanika č.11-1981
- /39/ Strojírenství č.4 - 1977

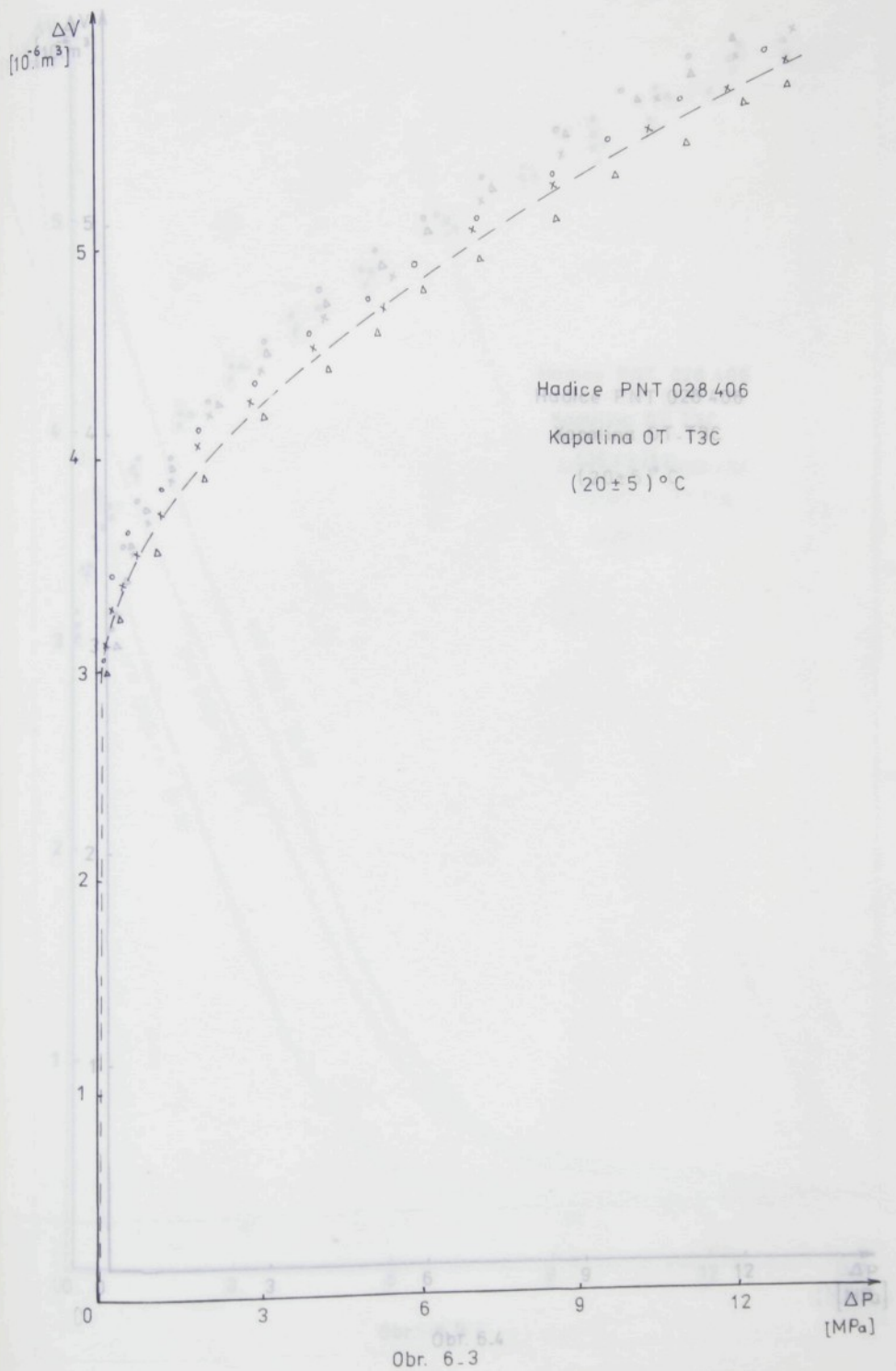
- /27/ RŮŽIČKA, M. : Řešení základních rovnic hydraulického dynamiky. Strojírenství č.2 - 1970 odborné
- /28/ SCHAEDEL, H. : Theoretische und experimentelle Untersuchungen an Leitungen und konzentrierten Bauelementen der Fluidik. Dissert. an der RWTH Aachen 1968.
- /29/ ŠPAČEK, L. : Základní rovnice hydrodynamiky. Strojírenství č.1 - 1970
- /30/ ŠUSTR, R. : Experimentální vyšetření odporu proti deformaci hydraulického vedení, zejména hadicového. DP - VS - 169/79 VŠST Liberec
- /31/ TIMOŠENKO, Š. : Kmitání ve strojírenství SNTL - Praha 1960
- /32/ TŮMA, M. : Experimentální vyšetření odporu proti deformaci hadicového vedení. DP - VS - 158/78 VŠST - Liberec
- /33/ VICENT, G.M. : What is bulk modulus and when is it important? Hydraulic pneumatics, November 1969
- /34/ ZYMÁK, V. : Přenosové matice hydraulických potrubí Automatizace č.6 - 1970
- /35/ ZYMÁK, V. : Vliv počátečních podmínek na přenosové poměry hydraulických potrubí. Automatizace č.6 - 1971
- /36/ ZYMÁK, V. : Dynamika hydraulických obvodů a metody jejich řešení. Strojírenství č.1 - 1972
- /37/ ZYMÁK, V. : Dynamické charakteristiky hydraulického potrubí s oscilačním průtokem. Strojnícký časopis č.5 - 1974
- /38/ ZYMÁK, V. : Rezonance potrubí s jednou charakteristikou a jednoduchými okrajovými podmínkami. Celostátní konference o hydraulických mechanismech ČSVTS - Praha
- /39/ ZYMÁK, V. : Potrubí s oscilačním průtokem kapaliny. Strojírenství č.4 - 1977

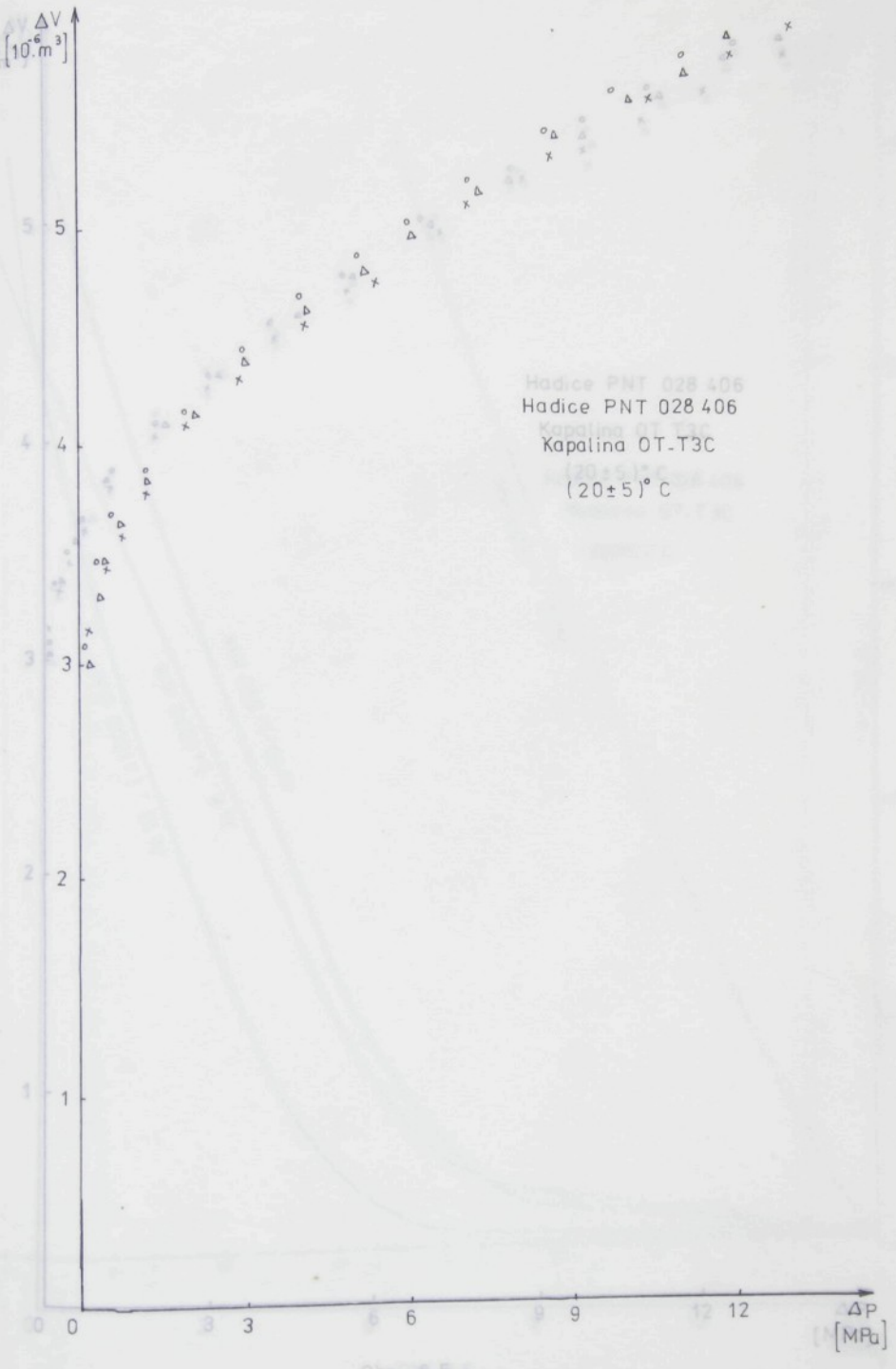
- /40/ DAO-QUANG-NGHIEM : Základní vlastnosti vedení užitého  
v hydraulických mechanismech. (písemná část odborné  
zkoušky kandidátství minima), VŠST - Liberec 1981
- /41/ PHAN-VAN-HAP : Cơ sở phương pháp tinh  
Nha xuat ban THV DHCN - Hanoi 1969

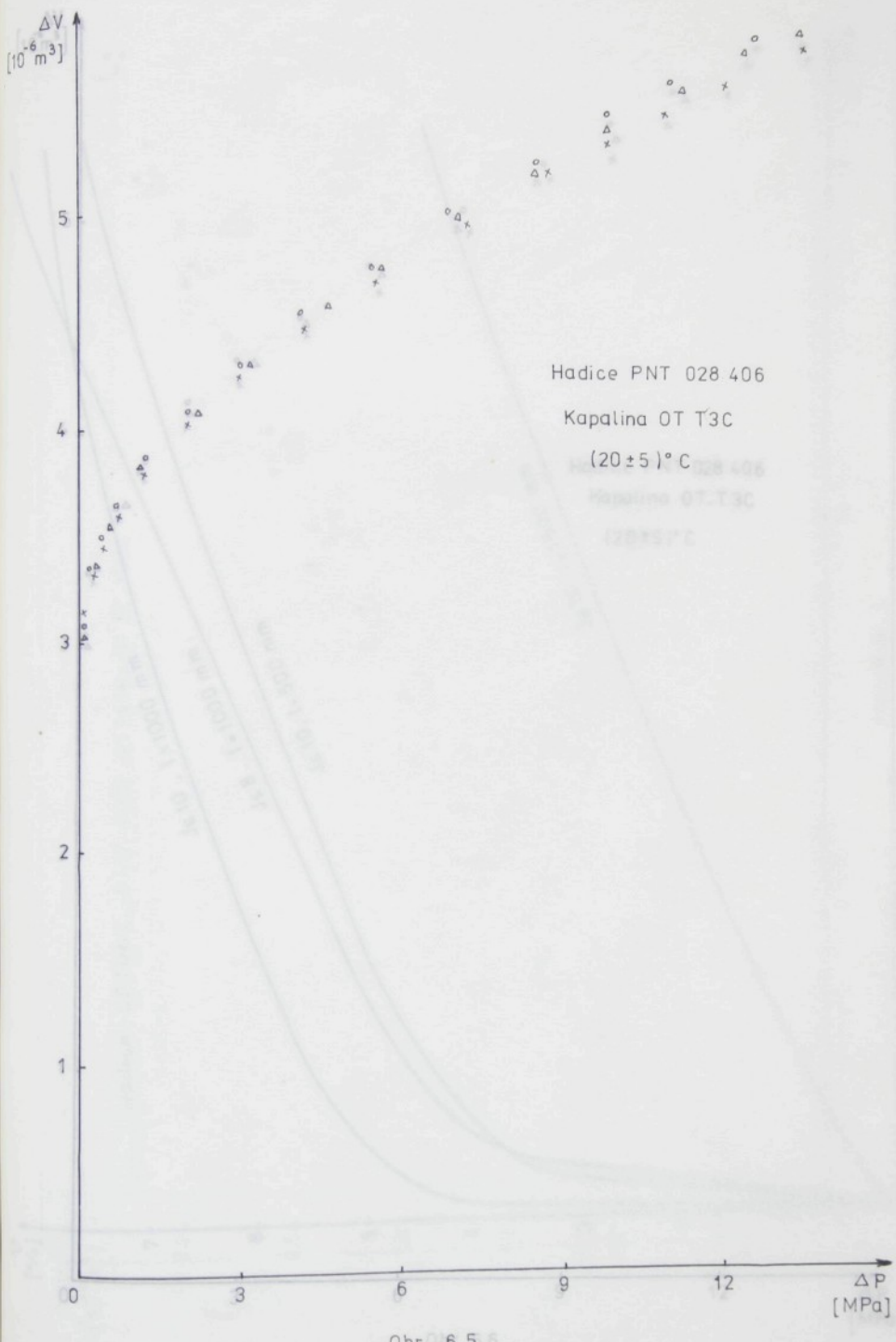


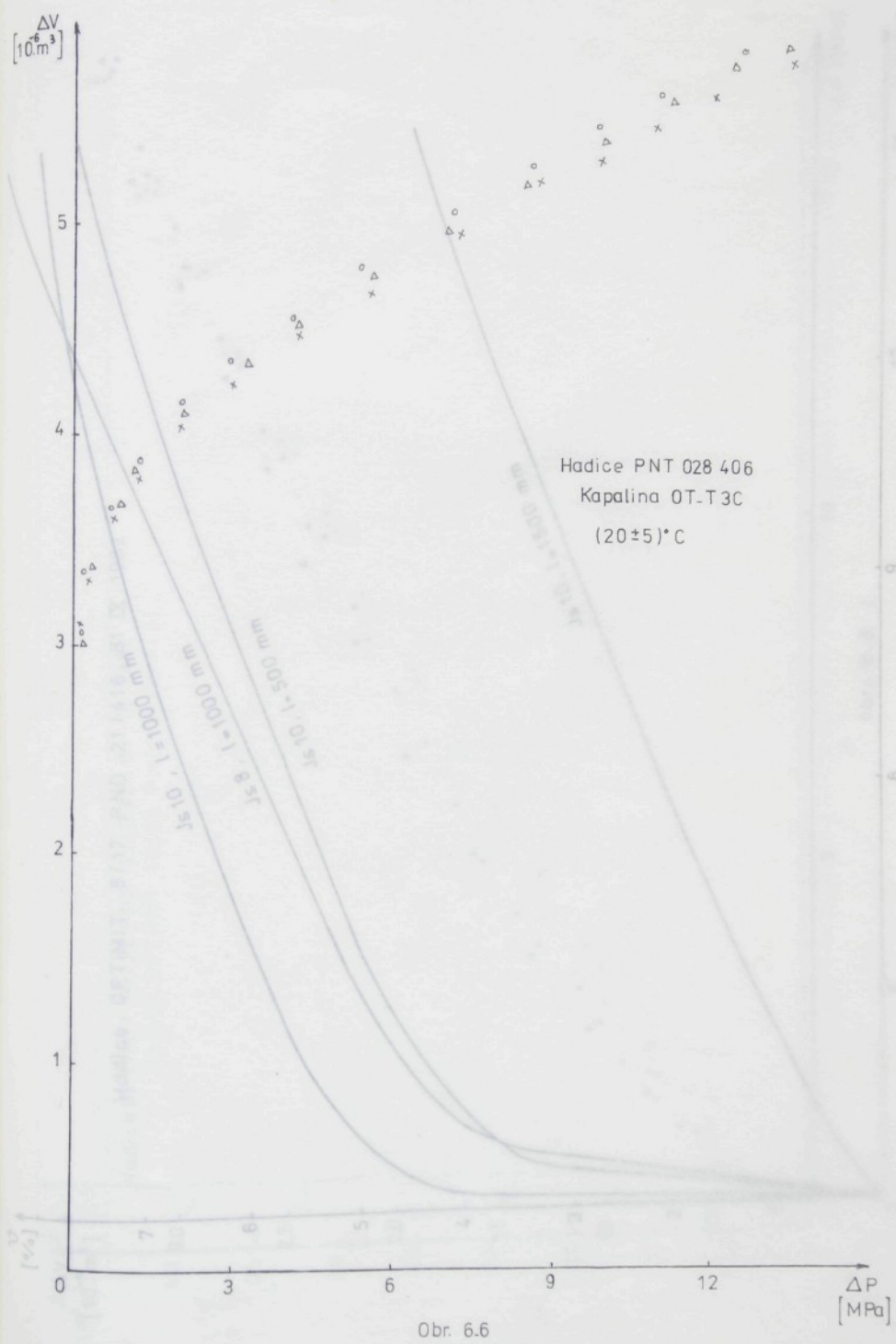


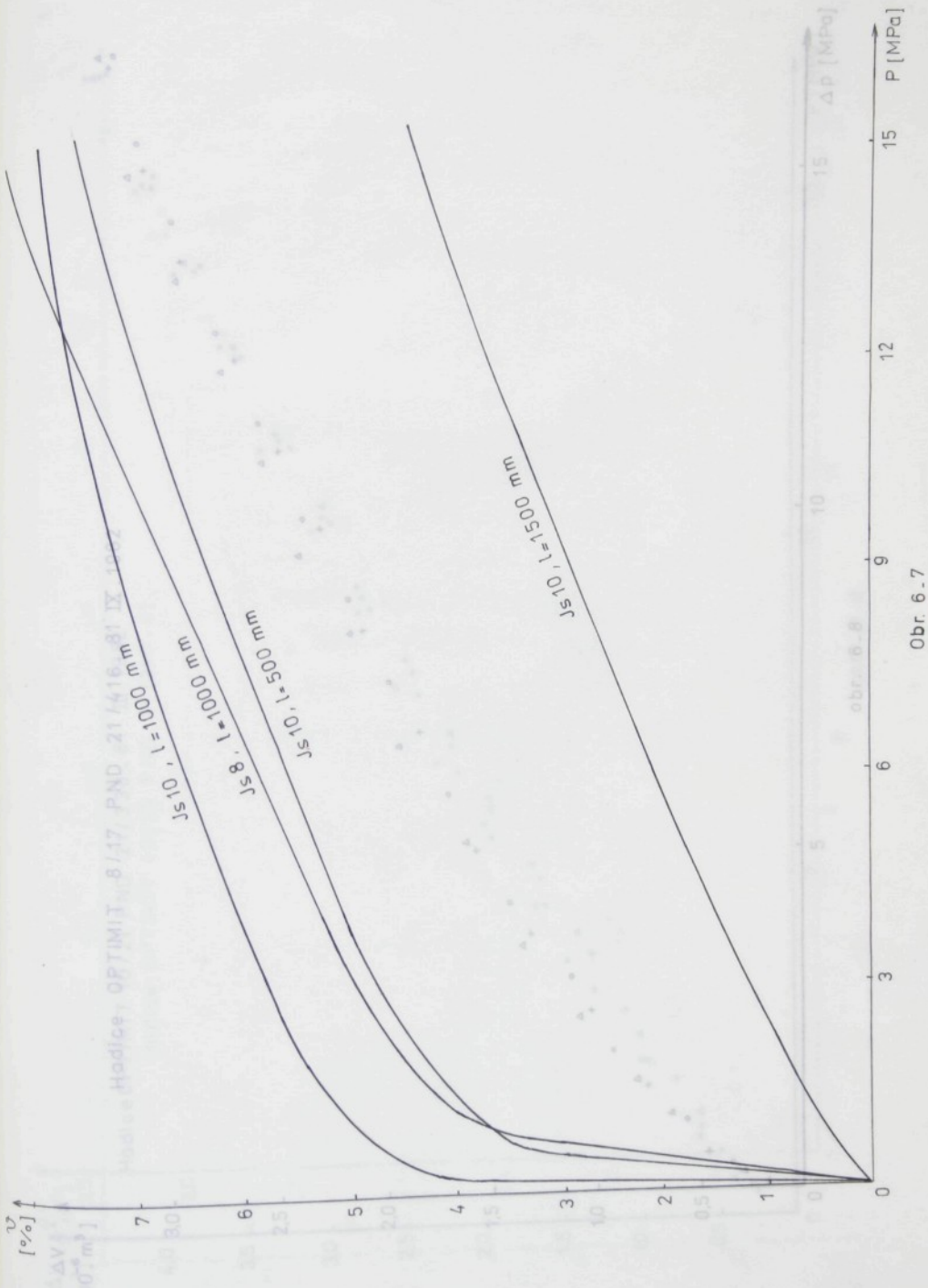
Obr. 6.3

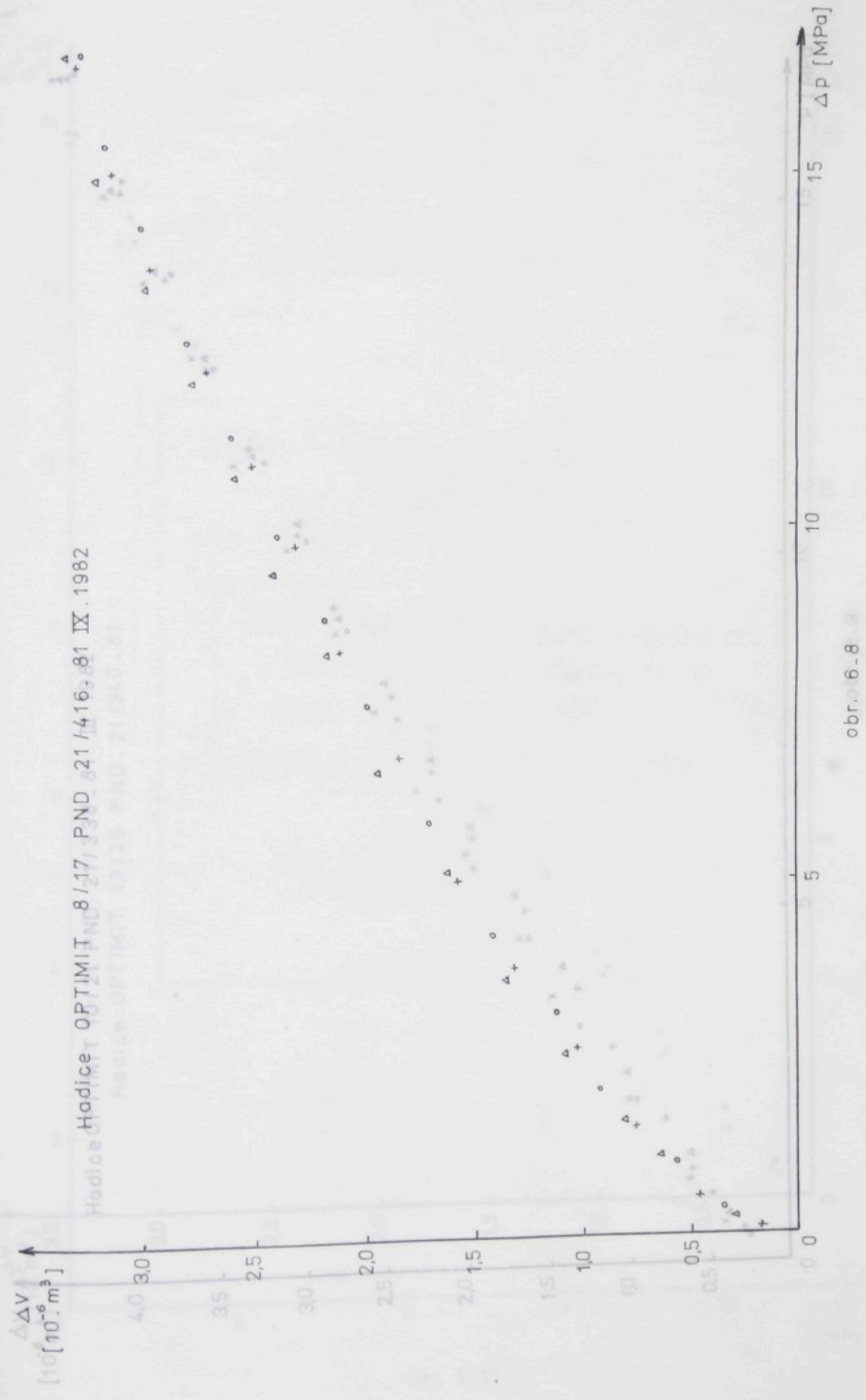


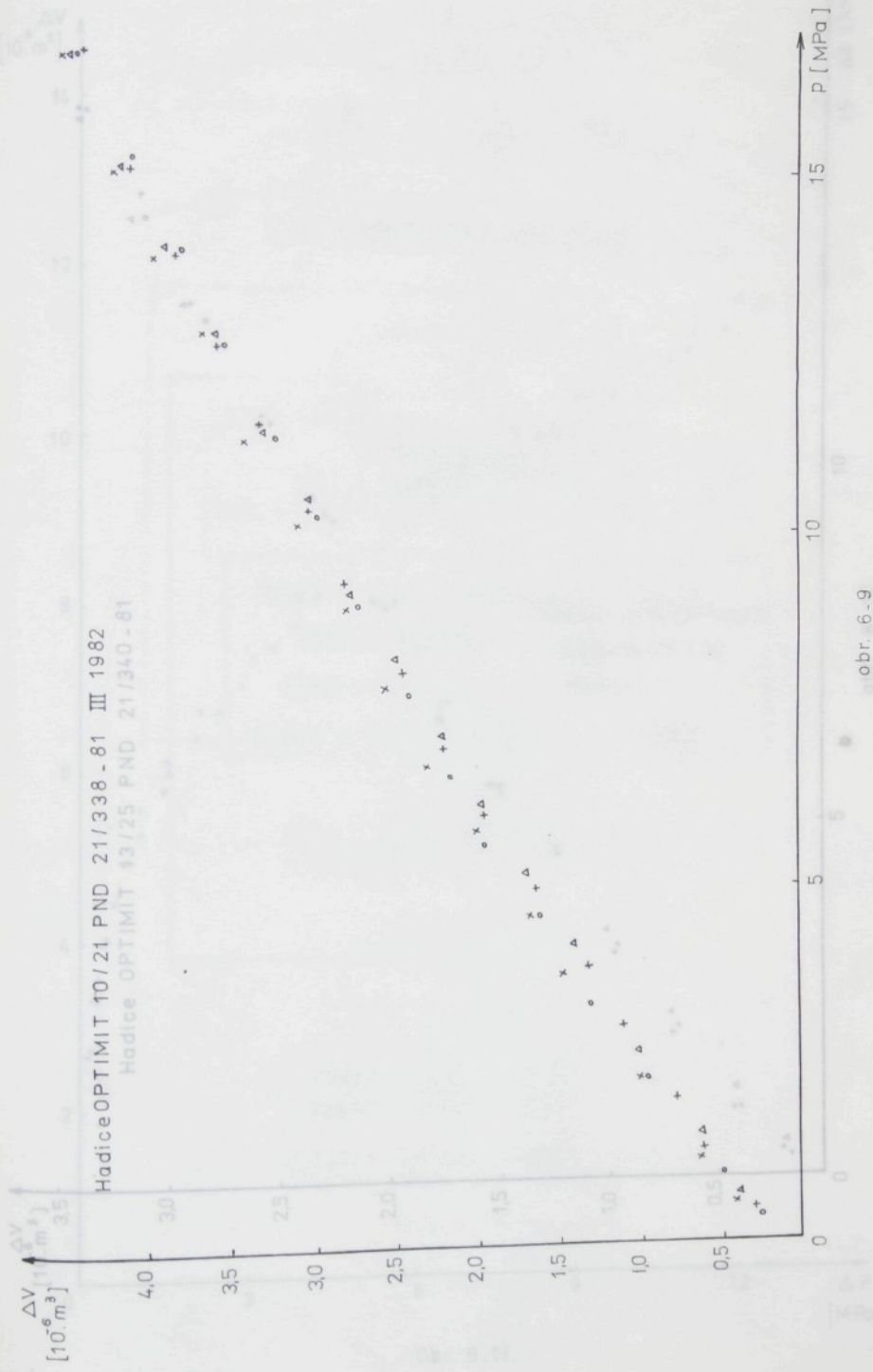


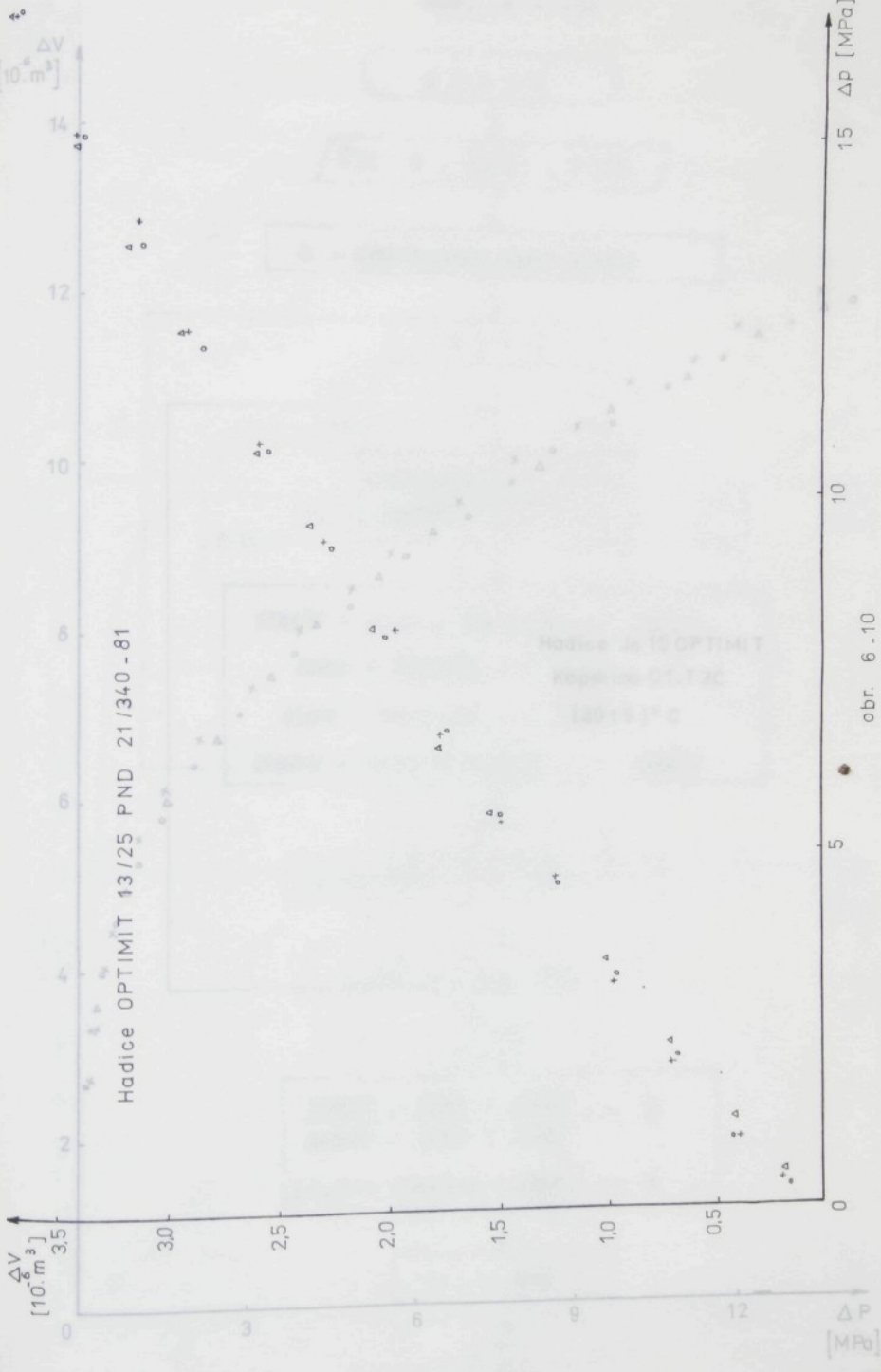




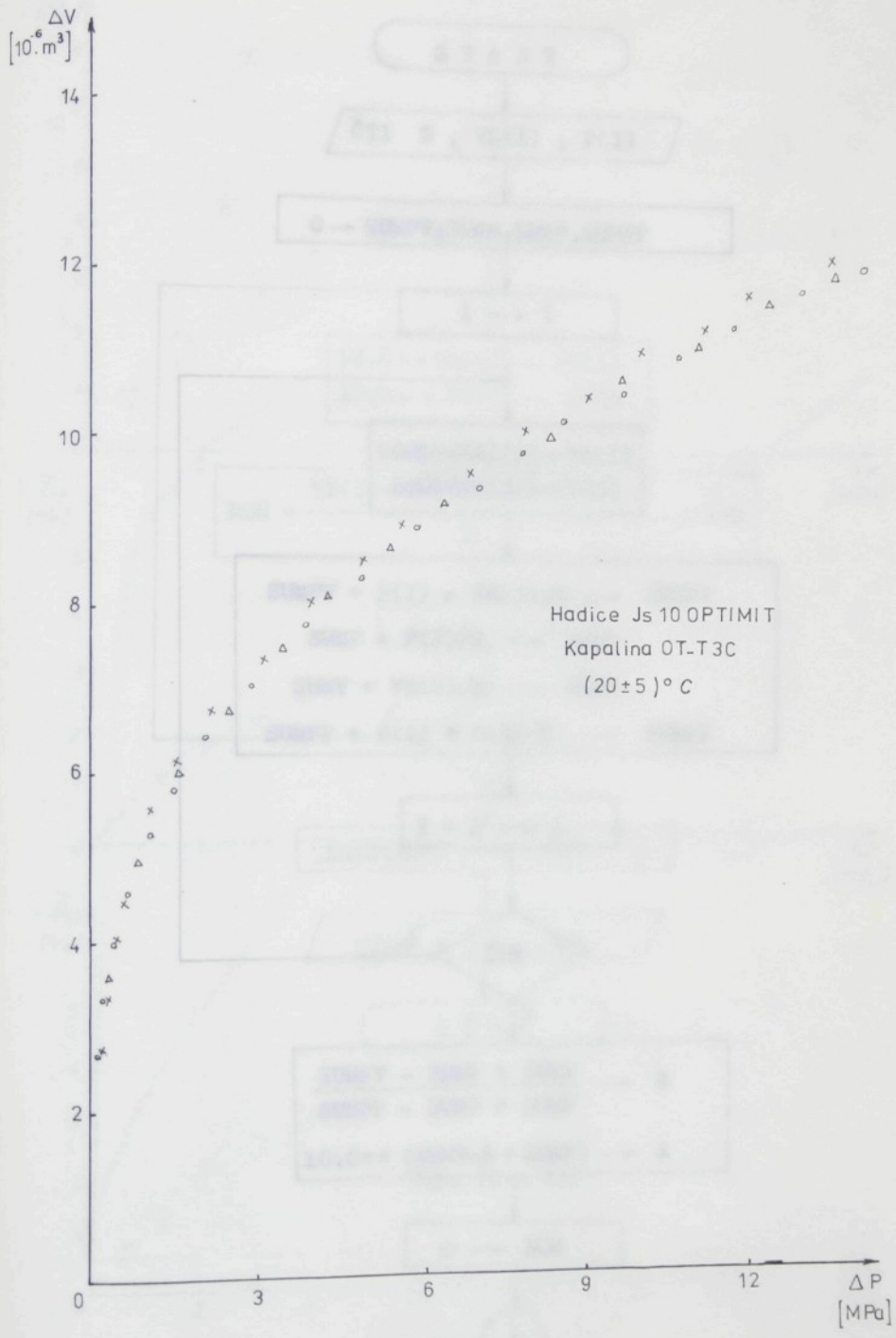




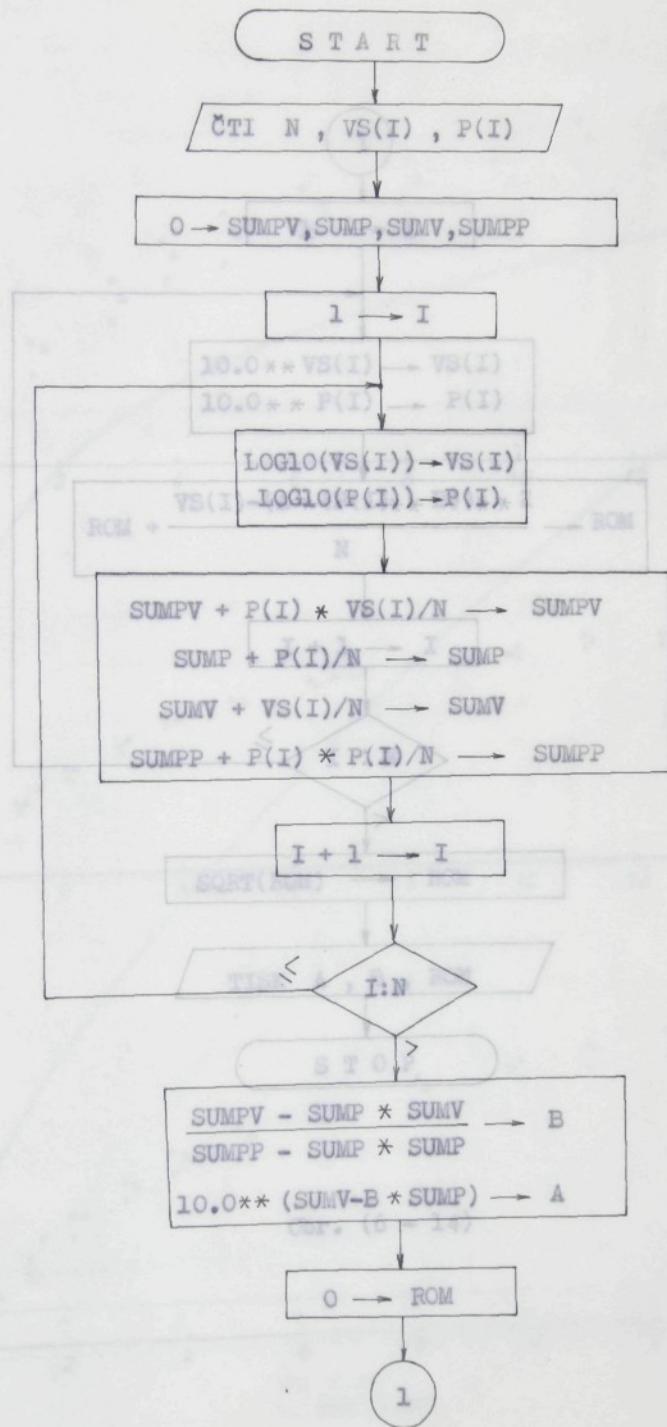


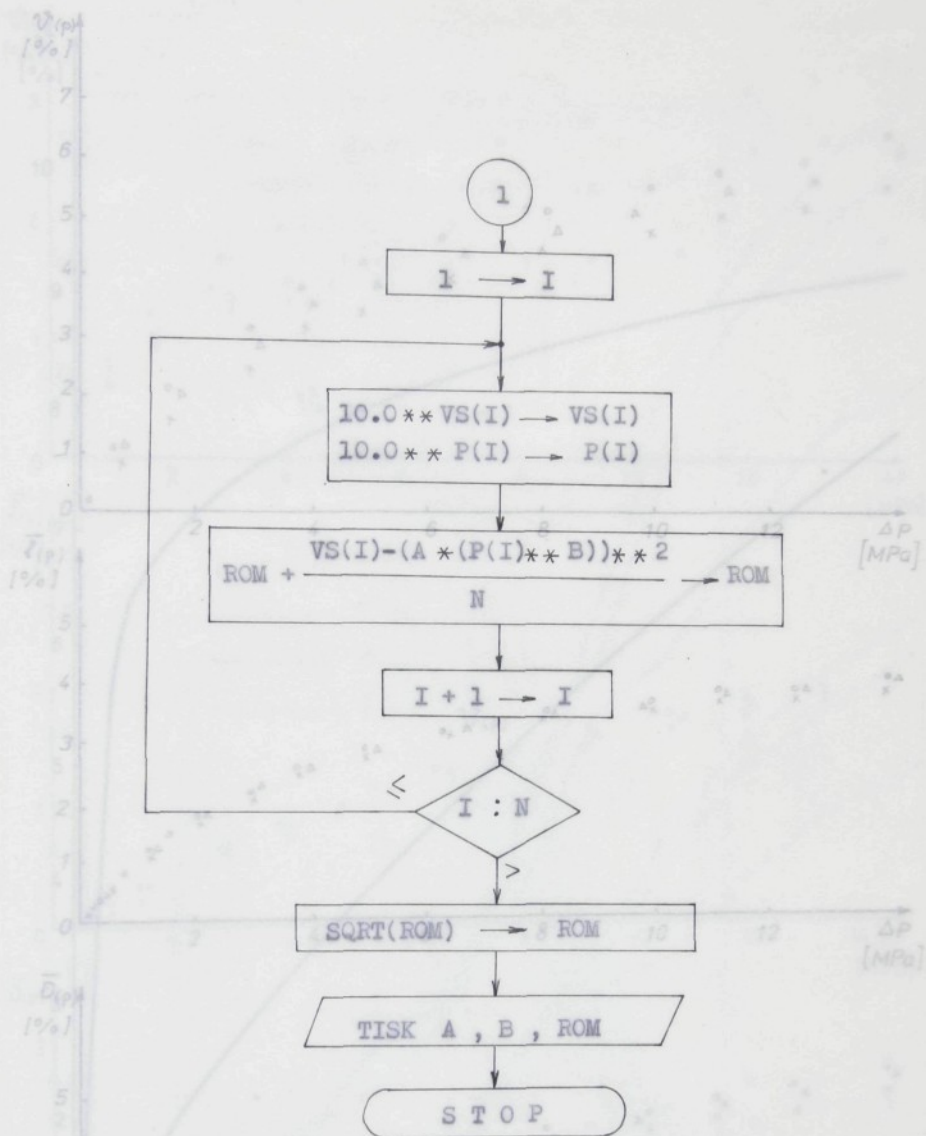


Obr. 6.11

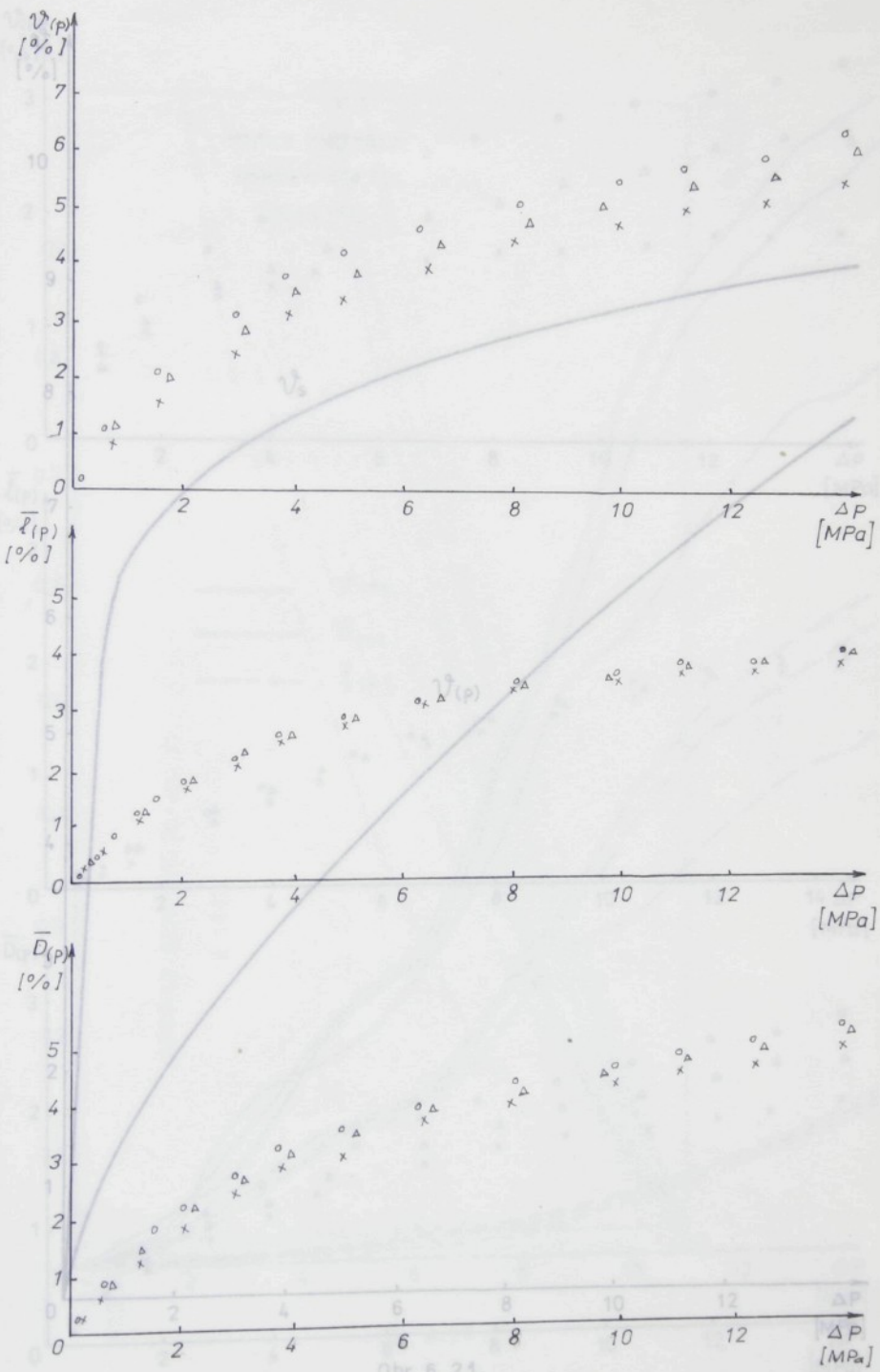


Obr. 6-11



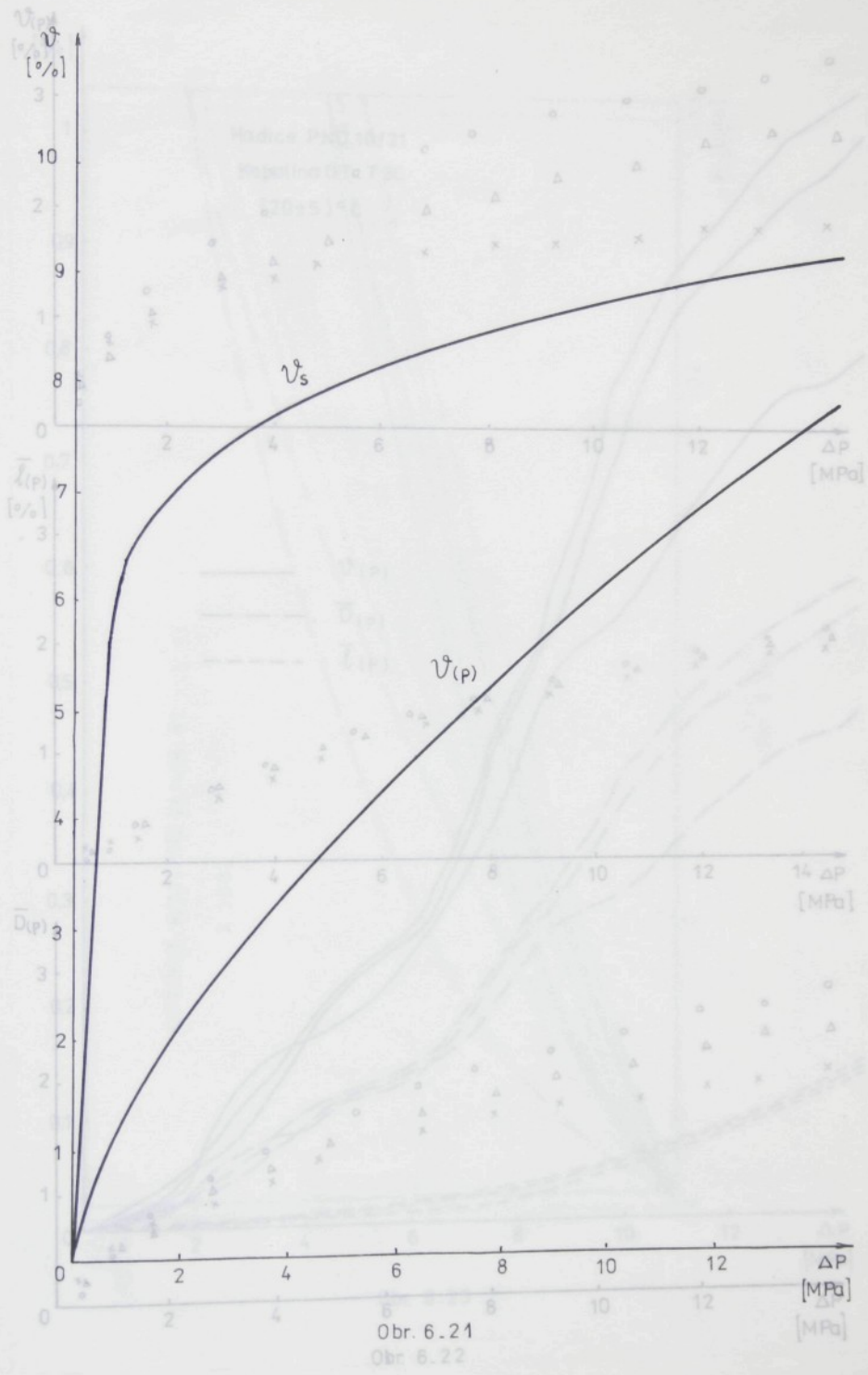


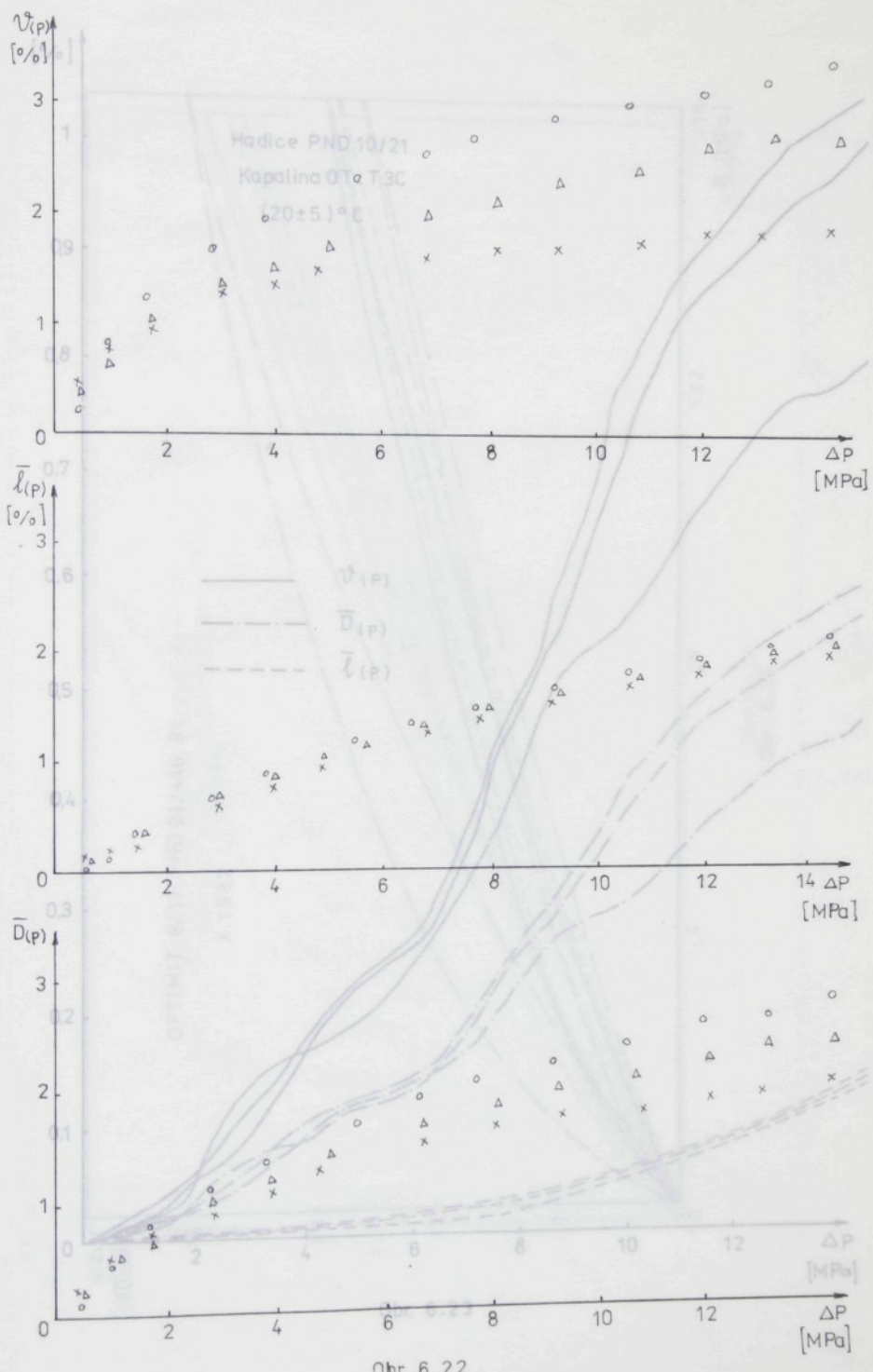
Obr. (6 - 14)



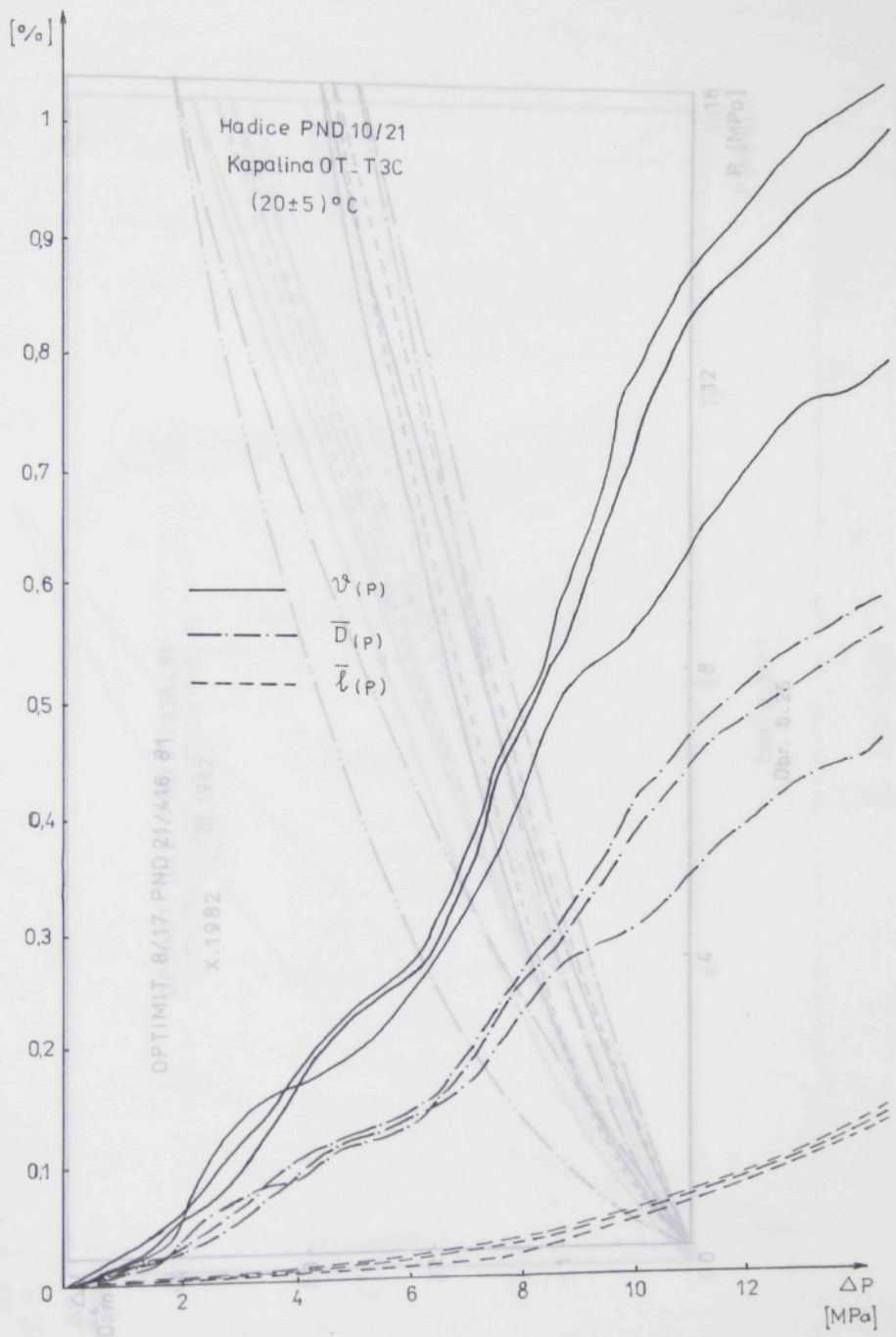
Obr. 6-21

Obr. 6-20

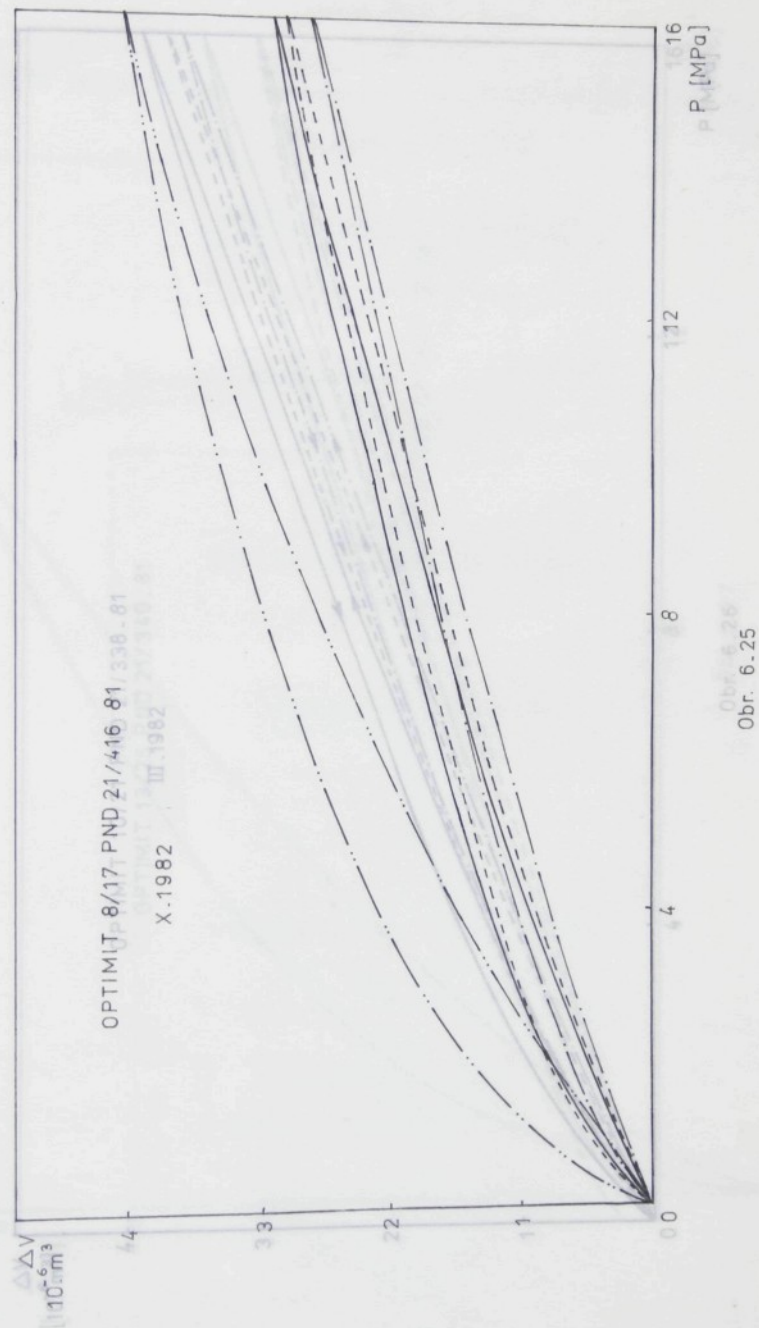


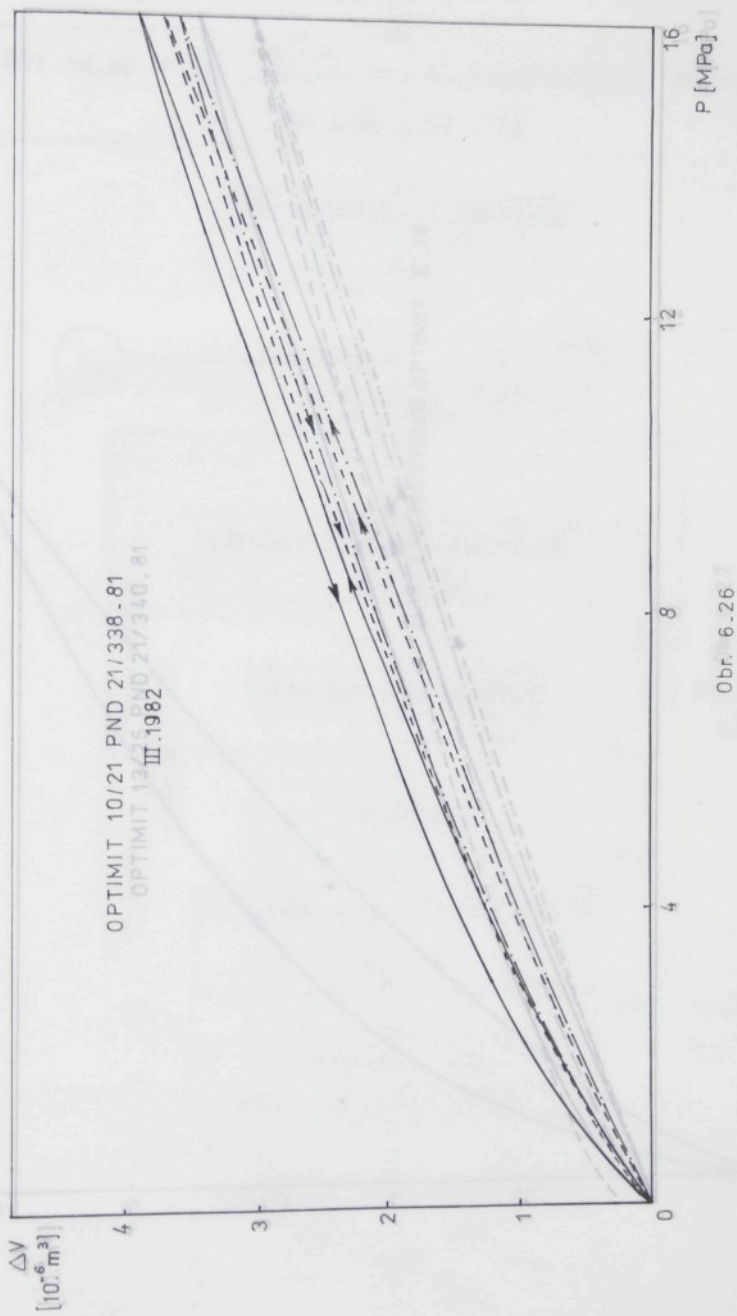


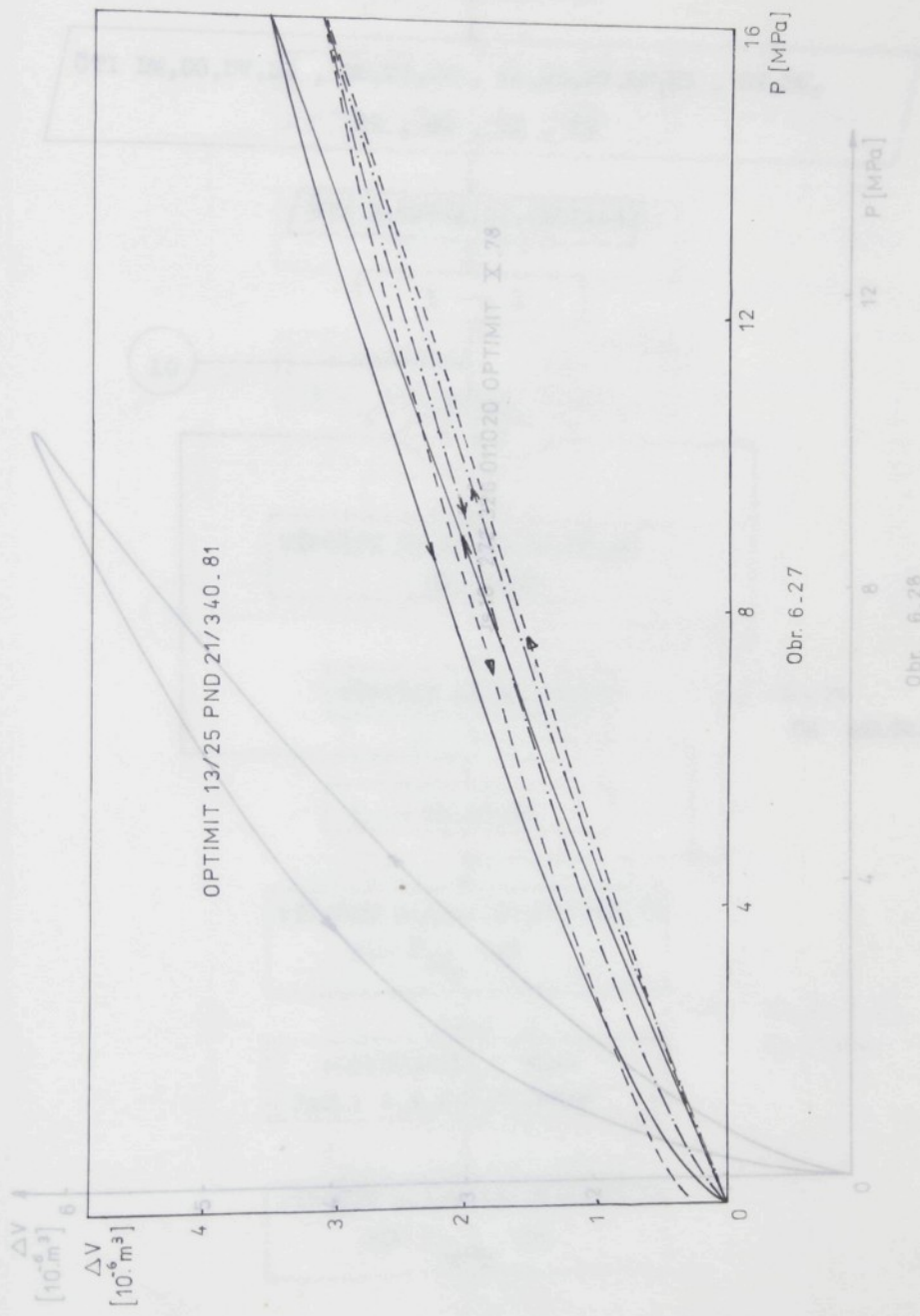
Obr. 6.22

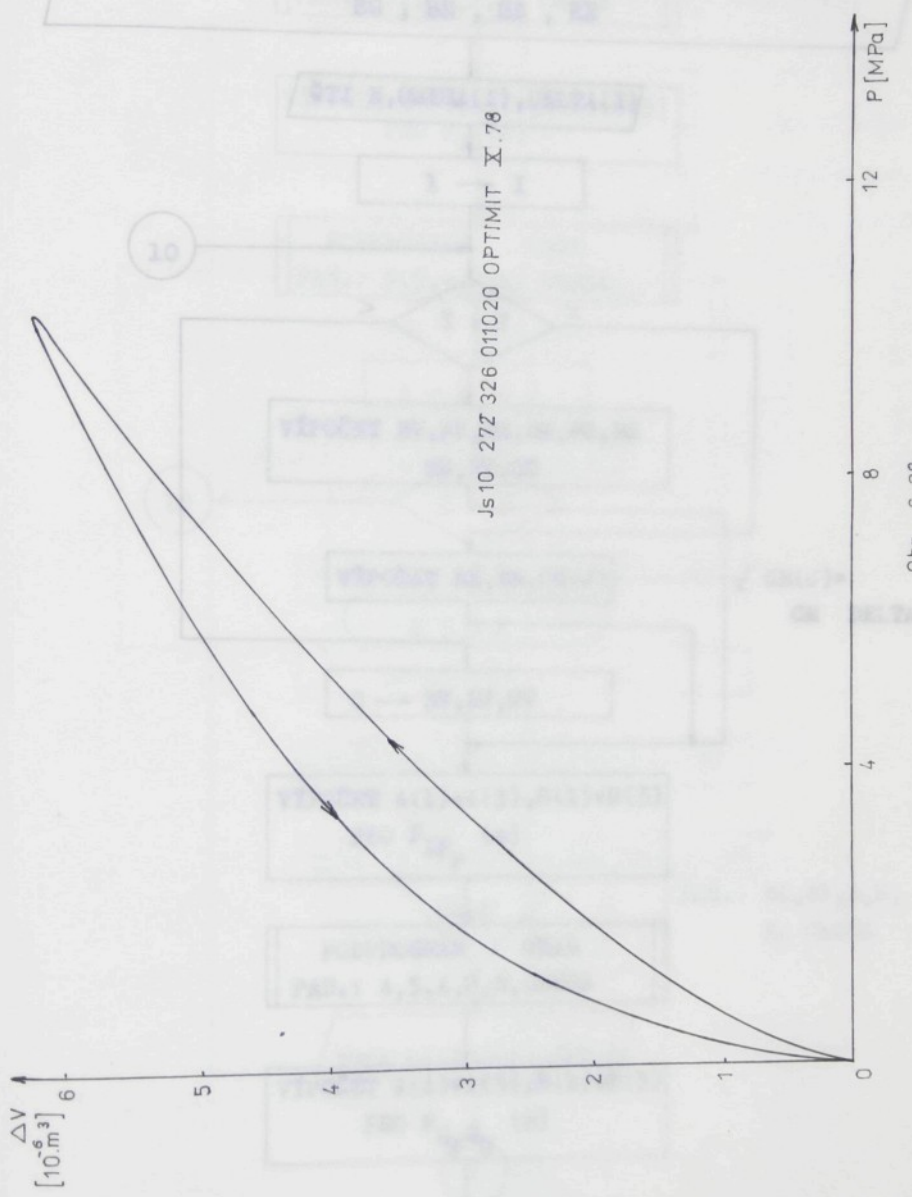


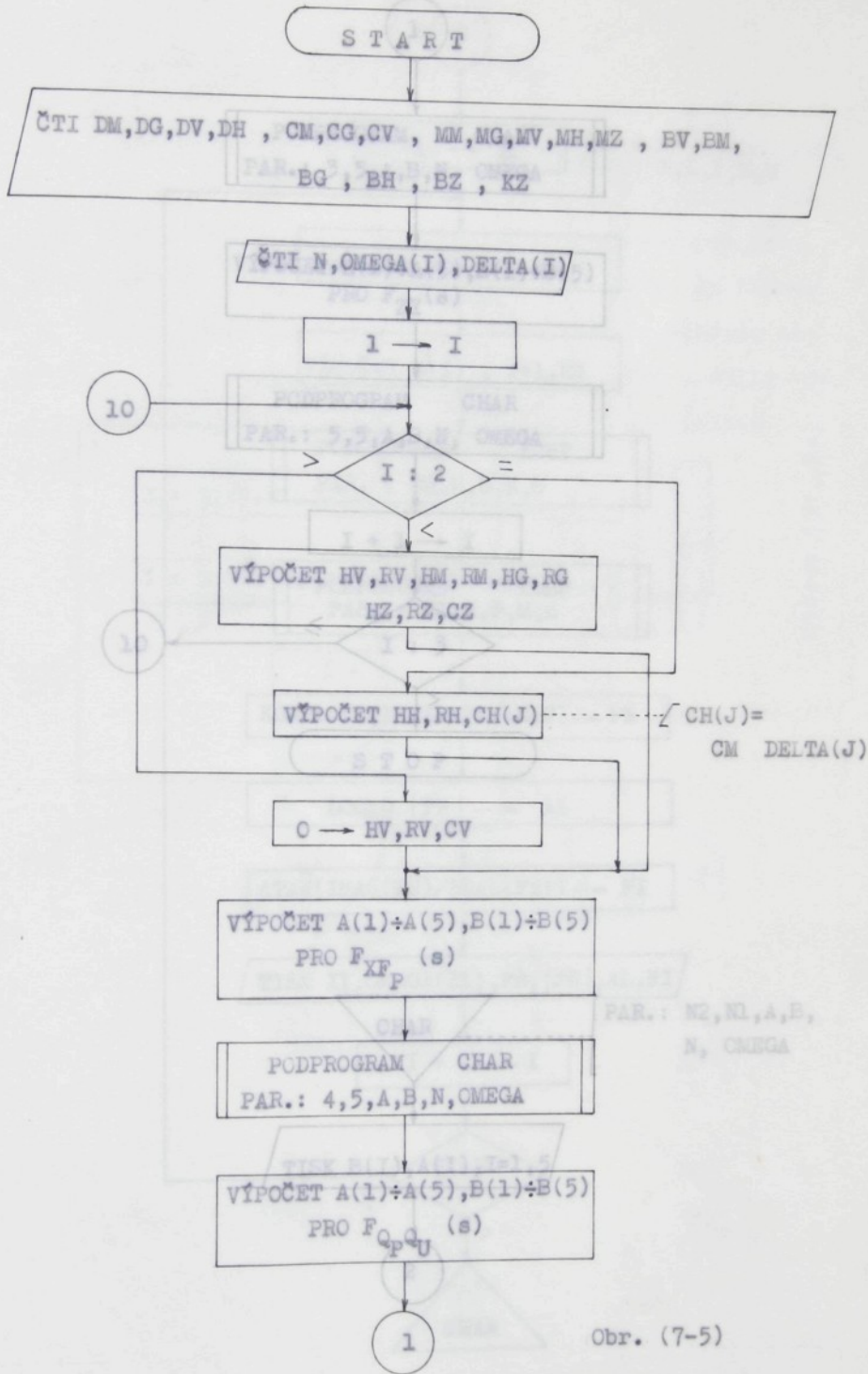
Obr. 6.23

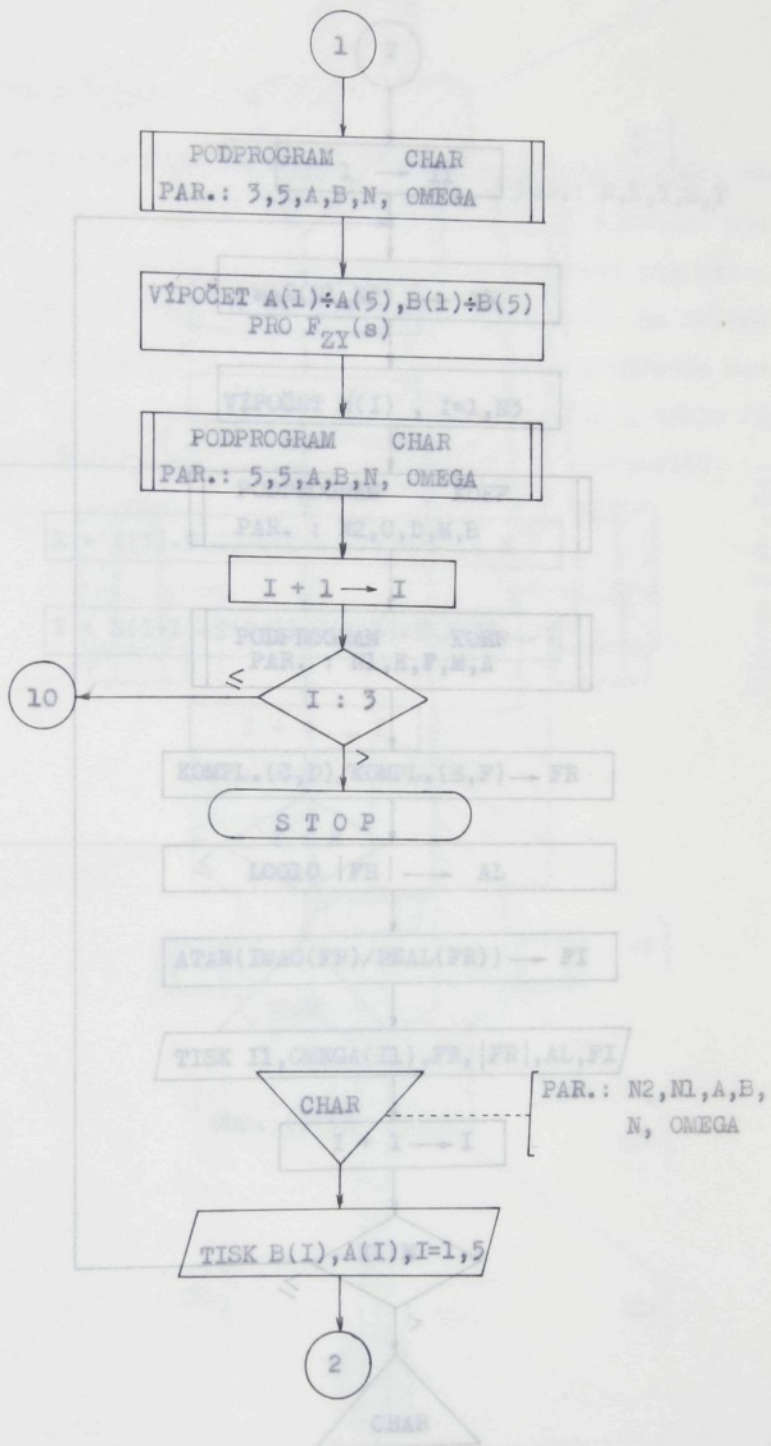


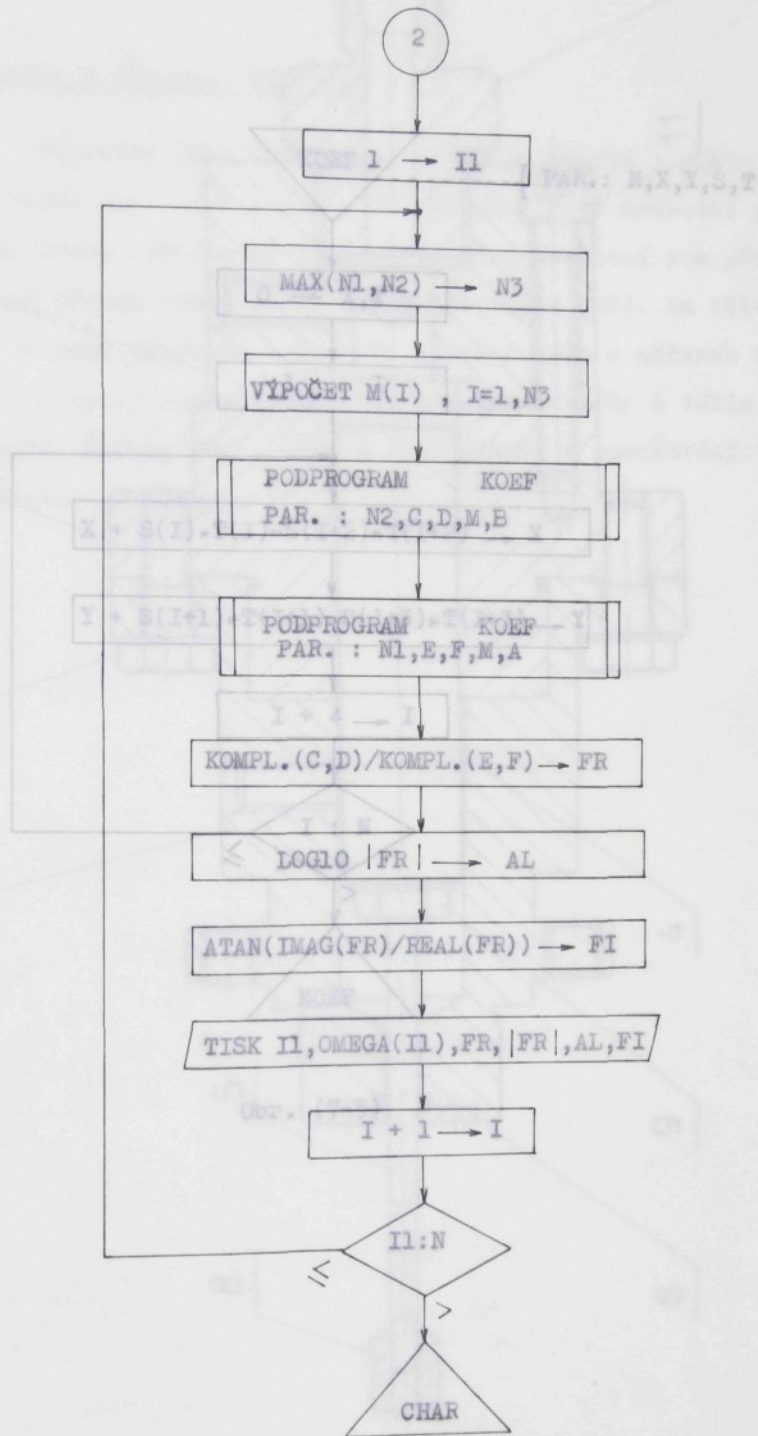


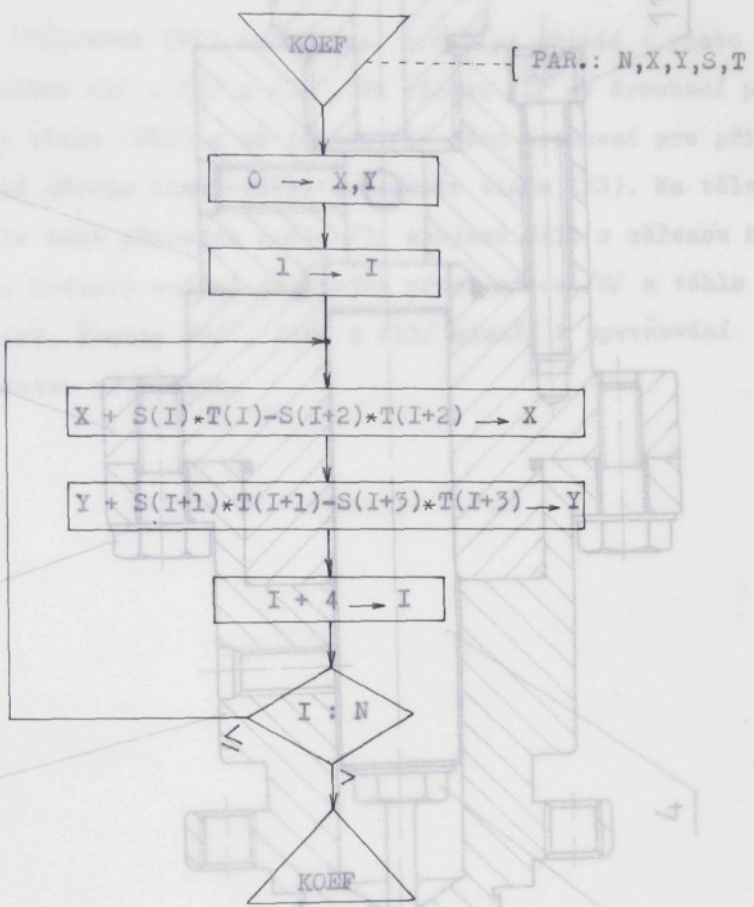






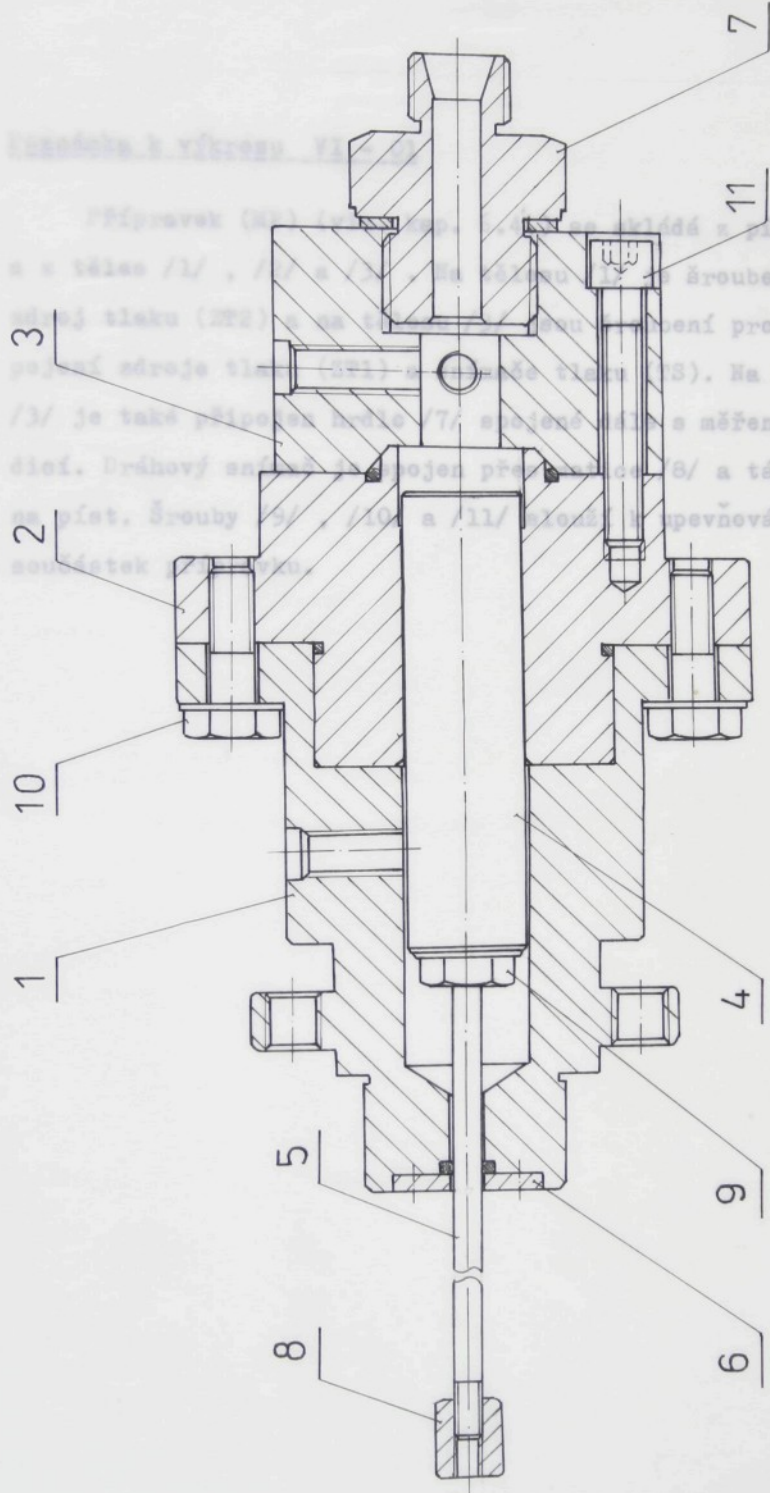






Obr. (7-5)

Vykres (V1 - 01)



Uzávěr k výkresu V1 - 01  
Tlakový přístroj (1) je sestaven z těla (2), vložky (3) a pístu (4), kterým se vložka kládá na pístu (4), a s tělem (1). Tělo (2) je vloženo do výkresu (1) a je upevněno šroubení pro pojistnou tlaku (12). Při vložení vložky (3) do těla (2) se na vložku (3) vloží píst (4). Na těleso (2) je také nanesen výkres (7), měřenou hodnotou s měřenou hodnotou. Drážkový snímek (13) je upevněn předním koncem (8) a těle (5) je upevněn s pístem. Šrouby (9), (10) a (11) slouží k upevnění součástek mezi sebou.

Poznámka k výkresu VI - 01

Přípravek (MP) (viz. kap. 6.4.) se skládá z pístu /4/, a z těles /1/ , /2/ a /3/ . Na tělesu /1/ je šroubení pro zdroj tlaku (ZT2) a na tělesu /3/ jsou šroubení pro připojení zdroje tlaku (ZT1) a snímače tlaku (TS). Na těleso /3/ je také připojen hrdlo /7/ spojené dále s měřenou hadicí. Dráhový snímač je spojen přes matice /8/ a táhlo /5/ na píst. Šrouby /9/ , /10/ a /11/ slouží k upevňování součástek přípravku.